

MINISTERUL EDUCATIEI SI INVATAMINTULUI
INSTITUTUL POLITEHNIC "TRAIAN VUIA" TIMISOARA
FACULTATEA DE ELECTROTEHNICA

Ing. GHEORGHE-MIRCEA BOGOVICI

PORNIREA MASINII DE INDUCTIE CU INELE DE CONTACT,
UTILIZIND UN CONVERTOR IN CIRCUITUL ROTORIC.

TEZA DE DOCTORAT

BIBLIOTECA CENTRALĂ
UNIVERSITATEA "POLITEHNICA"
TIMIȘOARA

Conducător științific,
Prof.dr.ing. TOMA DORDEA

- 1 9 8 6 -

INSTITUTUL POLITEHNIC TIMIȘOARA	
BIBLIOTECA CENTRALĂ	
Volume Nr.	327
Data	21.11.86

INTRODUCERE

Dezvoltarea fără precedent pe care o cunoaște producția industrială în epoca noastră se datorează în mare măsură folosirii sistemelor electrice de acționare. Acestea își găsesc de asemenea aplicații în domeniul transporturilor și a altor ramuri economice neindustriale.

În ultimele decenii, în special în urma progreselor înregistrate în tehnica semiconductoarelor, în sistemele de acționare electrică se impune utilizarea mașinii de inducție comandată cu mutatoare.

Creșterea continuă a necesarului de energie, combinată cu actuala criză a resurselor energetice clasice impune ca și în sistemele de acționare electrică să se respecte o disciplină energetică severă.

Referindu-se la problemele energiei raportate la cerințele economiei noastre, în contextul larg al conjuncturii economice mondiale, documentele programatice ale Congresului al XIII-lea al Partidului Comunist Român indică cu claritate că o sursă inepuizabilă de energie o constituie însăși economia de energie.

Aceasta înseamnă, raportat la domeniul acționărilor electrice, înlocuirea sistemelor de acționare cu randament scăzut cu sisteme moderne mai eficiente, asigurarea utilizării acestora în regimuri de lucru economice, a funcționării lor la parametrii energetici la care au fost proiectate.

În acționările cu motoare asincrone a problema deosebită o ridică procesul de pornire, care ca orice proces tranzitoriu se desfășoară în condiții energetice mai puțin favorabile.

În plus în timpul procesului de pornire apare o creștere importantă a curentului statoric al mașinii ceea ce, ținând cont de numărul mare de mașini asincrone aflate simultan în funcționare și de puterea nominală de valoare ridicată a multora dintre ele, înseamnă pentru rețea repunerea la șocuri de curent repetate. Aceasta poate conduce la scăderea tensiunii rețelei, cu influențe nefavorabile asupra funcționării celorlalți consumatori [3,4,6,17,22,38,40,52,57,64,77,96]

La aceasta se adaugă în ultimul timp poluarea armonică

a rețelelor de alimentare cu energie electrică, datorită prezentei mutațiilor, ceea ce duce practic la apariția unui regim deformat, cuasipermanent [5,6,14,18,27,30,31,43,68,65,66,67].

În același timp însă, motorul asincron prezintă o serie de avantaje constructive și funcționale care au și condus de fapt la folosirea lui în sistemele de acționare electrică, deci ceea ce se impune este soluționarea cât mai corectă a problemelor legate de procesul de pornire.

Pornind de la aceste considerente, lucrarea de față conține studiul teoretic și experimental al unei metode de pornire folosind un redresor semicomandat tri fazat în punte (RTFS), corectat la inelele rotorice, un astfel de studiu neexistând până în prezent în literatura de specialitate.

Lucrarea este organizată pe șase capitole și două anexe. Ea se întinde pe 169 pagini și conține un număr de 59 figuri. În bibliografia anexată lucrării sînt consemnate 103 titluri, din care 5 reprezintă lucrări ale autorului.

Capitolul 1 al lucrării reprezintă o sinteză a problematicei legate de pornirea motoarelor asincrone. Se încearcă o prezentare unitară a metodelor de pornire utilizate, atât în variantele clasice, cât și soluțiile moderne ce utilizează tehnica din domeniul electronicii de putere. Se încearcă înțelegerea și localizarea metodei analizate în lucrare în contextul general al metodelor de pornire făcîndu-se analiză comparativă a acestora.

Capitolul 2 conține o analiză armonică completă a tensiunii rotorice, definite în lucrare ca o funcție de unghiul de aprindere α și de unghiul de stingere forțată β în cazul considerării comutației ideale. Se determină forma de undă a tensiunii rotorice pentru trei situații distincte și pe baza calculului analitic se obțin expresiile coeficienților termenilor în sinus și cosinus și dezvoltării în serie Fourier atât pentru fundamentala cât și pentru armonicile superioare.

În capitolul 3 se face determinarea expresiilor termenilor în sinus și cosinus ai armonicii fundamentale a tensiunii rotorice în condițiile considerării comutației reale. Într-o primă etapă se stabilește o relație de dependență între unghiul de supraunere la comutație și valoarea curentului rotoric la momentul comutației; se stabilesc forma și intervalele

de variație a tensiunii rotorice și pentru fiecare din cele patru cazuri definite se calculează expresia analitică a coeficienților termenilor în sinus și cosinus ai armonicilor fundamentale. Se prezintă de asemenea un program de calcul ALG pentru determinarea valorii coeficienților susmenționați pentru întregul domeniu de definiție al funcției U_R .

În capitolul 4 se prezintă calculul de determinare al parametrilor echivalenți ai circuitului rotoric și a cuplului și curentului de pornire pentru metoda de pornire studiată. În acest sens se concepe o schemă echivalentă a ansamblului circuit rotoric al mașinii circuit de forță al redresorului, schemă ce constituie baza modelului matematic cu care se calculează expresiile rezistenței echivalente de fază R_e , a reactanței echivalente de fază X_e , a rapoartelor K_{ip} - al curentului de pornire față de curentul nominal de sarcină I_n - și K_{mp} - cuplului de pornire față de cuplul nominal al motorului - ca funcții de unghiul α de comandă al tiristoarelor punții. Se prezintă de asemenea ordinograma și schema de lucru a programului de calcul ALG conceput de autor pentru determinarea valorilor mărimilor susmenționate. Sub forma de tabele și reprezentări grafice sunt prezentate rezultatele calculului făcute pentru un motor asincron cu inele de 4 kW.

Capitolul 5 este consacrat cercetărilor experimentale; se prezintă standul de probă conceput și realizat de autor, precum și rezultatele experimentale care confirmă ipotezele teoretice asumate.

Fiecare din cele 5 capitole conțin în încheiere o secțiune de concluzii și observații.

În capitolul 6 sunt prezentate concluziile finale și unele probleme legate de perspectiva cercetărilor în acest domeniu.

Anexa 1 prezintă în extenso calculul armonic aferent capitolului 2, iar anexa 2 cel referitor la capitolul 3.

În elaborarea lucrării au fost aduse o serie de contribuții originale care sunt prezentate în continuare:

- studiul critic al metodelor de pornire utilizate la mașinile de inducție, precum și a condițiilor impuse de acest proces și în acest context încadrarea metodei de pornire propusă;

- determinarea și definirea modului de variație pentru tensiunea rotorică; evidențierea cazurilor destinate precum și stabilirea intervalelor aferente fiecărui caz, folosind teoria ideală a comutației;

- calculul coeficienților armonicii fundamentale și a armonicilor superioare ca funcții de unghiurile α și β ;

- stabilirea formei și a intervalelor de variație a tensiunii u_R cu considerarea comutației reale ;

- calculul coeficienților armonicii fundamentale pe cele patru subîmpărțiri ale domeniului de definiție a tensiunii rotorice u_R ;

- conceperea programului de calcul ALK pentru calculul valorii coeficienților armonici ;

- conceperea și determinarea schemei echivalente a ansamblului circuit rotoric al mașinii - circuit de forță al redresorului ;

- definirea și calculul expresiilor parametrilor echivalenți κ_e și λ_e ca funcții ale unghiului α de comandă al ti-ristoarelor și ale curentului de sarcină (prin intermediul unghiurilor de suprapunere la comutație γ și γ_0) ;

- conceperea programului de calcul ALK pentru calculul valorii parametrilor echivalenți și al mărimilor de pornire prescurtate în lucrare ;

- conceperea și realizarea standului experimental pentru verificarea metodei de pornire analizate în lucrare.

CAPITOLUL I

FORNIREA MOTOARELOR ASINCRONE. METODE DE FORNIRE. TENDINTE MODERNE.

1.1. Fornirea mașinilor electrice în regim de motor ca proces electric și energetic.

În literatura de specialitate [4,15,16,17,22,30,39,40,45,52,64,65,77,78,79,82,83,96] procesul de pornire este considerat ca un proces normal de exploatare în regimul de motor al unei mașini electrice care cuprinde totalitatea fenomenelor mecanice și electromagnetice ce apar din momentul conectării mașinii la rețea și pînă la atingerea vitezei constante de regim.

El trebuie să se desfășoare astfel încît să nu influențeze în mod dezavantajos nici rețeaua de alimentare prin intermediul tensiunii acesteia (să nu existe un șoc de curent la conectarea motorului, care ar duce la scăderea tensiunii rețelei) și nici asupra motorului și instalațiilor acționate (să se poată antrena mașina acționată în condiții cît mai bune).

Pornirea ca un proces tranzitoriu complex cuprinde două etape:

- procesul tranzitoriu electric, determinat de conectarea înfigurărilor motorului electric la rețeaua de alimentare cu energie electrică ;

- procesul tranzitoriu mecanic, considerat din momentul punerii în mișcare a părții mobile a mașinii electrice sub acțiunea cuplului sau a forțelor electromagnetice create în urma alimentării mașinii de la rețea și pînă în momentul atingerii vitezei corespunzătoare regimului nominal de sarcină.

Pentru un studiu amănunțit a procesului de pornire sînt definite [22,30,40,64,77,78,96] o serie de mărimi și funcții de stare și anume:

- raportul K_{Ip} - dintre curentul de pornire și curentul nominal de sarcină al motorului ;

- variația valorii curentului de pornire pe perioada

pornirii, în funcție de timp $i_p = f(t)$;

- raportul C_{mp} dintre cuplul motor la pornire și cuplul nominal al mașinii în regim de motor ;

- variația valorii vitezei părții mobile a mașinii pe perioada pornirii, în funcție de timp: $\Omega = f(t)$ pentru mașini rotative sau $v = f(t)$ pentru mașini lineare;

- finetea pornirii caracterizată prin funcția $s = f(t)$;

- durata pornirii t_p ;

- energia disipată în timpul procesului de pornire;

- încălzirea mașinii în timpul procesului de pornire.

În studiul procesului de pornire se remarcă faptul că, în general nu se face o analiză aparte a procesului electric care este asimilat cu un proces de scurtcircuit (mașina este alimentată și partea mobilă este blocată) considerându-se doar procesul mecanic, deci se pornește cu condițiile inițiale $i = I_p$ și $v(\Omega) = 0$ și se admite că, imediat, părțile mobile ale mașinii se pun în mișcare.

1.2. Pornirea mașinii de inducție în regim de motor.

Elemente de principiu.

Mașina asincronă sau de inducție este o mașină electrică de curent alternativ cu părți mobile în mișcare relativă sau lineară.

În practică ea se folosește cu precădere în regim de motor în acționări electrice datorită avantajelor sale constructive și funcționale [22,40,64,70,96] :

- construcție simplă și robustă ;

- execuție ieftină ;

- siguranță în funcționare (lipsesc elemente componente sensibile cum ar fi colectorul sau lamele de la mașinile de curent continuu);

- alimentare de la rețeaua trifazată.

Dezavantajele pe care le prezintă mașina de inducție în comparație cu alte mașini electrice sînt în principal următoarele:

- mașina consumă pe tot parcursul funcționării putere reactivă și prin urmare înrăutățește factorul de putere al rețelei;

- motoarele asincrone cu rotor în colivie au un curent de pornire de valoare mare, iar cuplul de pornire este de valoare

reduasă;

- cuplul variază proporțional cu patratul tensiunii de alimentare ceea ce face ca el să scadă mult la reducerea valorii tensiunii de alimentare.

Acest ultim enunțat dezavantaj se simte și în timpul pornirii, nepermitând reducerea importantă a tensiunii de alimentare pe perioada pornirii, reducere care urmărește diminuarea valorii șocului de curent la pornire.

Problemele ridicate de pornirea motoarelor de inducție vizează atât implicațiile pe care acest proces le are asupra rețelei de alimentare și a funcționării celorlalți consumatori din rețea cât și cele ce se referă la mașina însăși.

În aprecierea influenței asupra rețelei trebuie pornit de la faptul că acționările cu motoare electrice în general reprezintă cel mai puternic consumator de energie electrică; motoarele utilizate în mod uzual la puteri medii și mari fiind cele asincrone și de curent continuu. Dacă pînă în urmă cu câteva decenii motorul asincron era utilizat cu precădere în acționări unde turația se menținea practic constantă, dat fiind maniabilitatea proprie mai scăzută a acestuia, dezvoltarea actuală a electronicii de putere a permis construirea de dispozitive statice cu semiconductoare, relativ ieftine și cu o fiabilitate corespunzătoare care permit modificarea vitezei motoarelor asincrone în limite largi precis și simplu, făcînd ca acestea să fie comparabile ca performanțe cu motoarele de curent continuu și în acționările cu viteză variabilă.

Toate acestea au condus la creșterea atât a numărului de mașini de inducție aflate în funcțiune, cât și a puterii lor nominale, făcînd ca, la nivelul rețelei de distribuție a energiei electrice procesele de pornire să apară în mod frecvent, însoțite de consecințe importante. Efectele pornirii motoarelor asincrone asupra rețelei de distribuție a energiei electrice fac obiectul a o serie de lucrări apărute în publicațiile de specialitate .

Se apreciază [3,4,8,17,52,57,65,77,82,83,90] că reducerea tensiunii rețelei datorită șocului de curent ce apare la pornirea motoarelor asincrone cu rotor în colivie constituie principalul neajuns. Scăderea valorii tensiunii rețelei

acionează în primul rând asupra motorului, reducând cuplul de pornire și prin aceasta valoarea accelerației, ceea ce face să se mărească timpul de pornire. Întrucât în timpul pornirii curentii prin înfășurările motorului depășesc valorile nominale, cresc și pierderile și asociind și faptul că ventilația nu este nici ea bună (motorul nu a atins turația nominală) rezultă concluzia că încălzirea motorului poate atinge valori periculoase.

Este posibil ca un caz extrem, că la o reducere substanțială a tensiunii rețelei cuplul motorului să scadă sub valoarea cuplului rezistent la pornire și deci să nu poată demara. Din acest motiv normele de vigoare în diverse state [64, 98] impun ca valoarea minimă a tensiunii la bornele motorului să nu fie sub 80-85% din tensiunea nominală.

Scăderea tensiunii de alimentare influențează și comportarea celorlalte motoare conectate la rețea și aflate în funcțiune. Funcționarea lor la tensiune redusă duce la scăderea vitezei de rotație, sau, dacă valoarea cuplului critic la tensiune redusă devine mai mică decât a cuplului static rezistent, la oprirea lor.

Efectele negative ale scăderii tensiunii rețelei se fac resimțite și în funcționarea celorlalți consumatori conectați la rețea.

Ca soluții pentru evitarea șocului de curent la pornirea motoarelor asincrone se recomandă:

- evitarea pornirii prin conectare directă la rețea și utilizarea metodelor de pornire la tensiune redusă [4, 17, 22, 38, 52, 57, 73, 77, 78, 79, 83, 96, 98] ; în special a mașinilor mari;
- conectarea unui condensator la bornele motorului asincron pe perioada pornirii [65, 82, 98] , condensatorul asigurând reducerea puterii reactive absorbită de motor de la rețea pe perioada pornirii și implicit a curentului de pornire; recomandă ca, pentru a se evita un vîrf de tensiune la bornele motorului, condensatorul să fie conectat la rețea înainte de a se alimenta motorul [98] ;
- utilizarea mai frecventă a motorului asincron cu rotor bobinat a cărui pornire se poate face fără șoc de curent ;
- stabilirea pe baza unui studiu aprofundat a caracteristicilor rețelei de alimentare, a regimurilor de funcționare

ale consumatorilor conectați la aceasta, a perioadelor în care motoarele pot fi pornite fără conectare directă fără a perturba funcționarea celorlalți consumatori [17,98]; un astfel de studiu fiind posibil cu ajutorul tehnicii moderne de calcul.

Pornirea motorului este constituită dintr-un proces tranzitoriu electric și unul mecanic. Procesul electric poate fi asimilat cu un fenomen de scurtcircuit brusc, simetric la care curentul are o componentă periodică și una aperiodică. Componenta periodică are valoarea curentului permanent de scurtcircuit, iar componenta aperiodică se amortizează foarte rapid deoarece constanta electromagnetică de timp la scurtcircuit $T = \lambda_{sc}/\omega \cdot K_{sc}$ are valori mici. Din acest motiv valoarea curentului de pornire se consideră egală cu valoarea curentului permanent de scurtcircuit.

Procesul tranzitoriu mecanic durează de la punerea în mișcare a părților mobile până la atingerea practică a vitezei de regim permanent. Timpul cât durează procesul de pornire depinde de valoarea cuplului static rezistent la arborele motorului, de valoarea momentului de inerție al maselor în mișcare de rotație precum și de tipul constructiv al motorului în funcție de care cuplul motor la pornire poate lua diferite valori [30]. Datorită faptului că pe parcursul procesului mecanic curentul de pornire are valori relativ mari pierderile în bobinaje au valori importante și duc la încălzirea mașinii. Un calcul estimativ [38] arată că din energia electromagnetică transmisă prin întrefier către rotor o jumătate se transformă în energie cinetică a maselor în mișcare iar cealaltă jumătate se transformă în căldură. De aici rezultă că reducerea timpului de pornire conduce la diminuarea solicitărilor termice ale mașinii.

Motorul asincron poate porni în orice condiții de încărcare cuprinse între regimul de mers în gol și regimul nominal de sarcină. Cuplul electromagnetic al motorului trebuie să fie pe tot parcursul pornirii mai mare decât cuplul rezistent pentru a asigura accelerarea după diagrama prestabilită a sistemului de acționare. Curentul de pornire, la rândul său nu trebuie să depășească o valoare limită la care solicitările termice și mecanice ale mașinii sînt la valori admisibile.

În alegerea procedurii de pornire concret la o acționare cu motor asincron este necesar să se țină cont de o serie de factori [64]:

- tipul constructiv al rotorului mașinii ;
- puterea mașinii de acționare ;
- puterea rețelei la care este conectat motorul ;
- limitele de timp impuse pornirii ;
- cuplul static rezistent al mașinii de lucru.

Ca modalitate practică, pornirea motoarelor asincrone se poate realiza prin conectare directă la rețea sau folosind diverse procedee de limitare a curentului de pornire al motorului.

La pornirea prin conectare directă înfășurarea statorică a mașinii este alimentată de la rețea la tensiune nominală, și în mașină se instalează un regim de scurtcircuit apropiat de cel nominal, întrucât în acest moment viteza mașinii este nulă. Curenții depășesc mult valoarea curentului nominal și rețeaua suportă un șoc de curent a cărui valoare depinde de puterea mașinii. După ce mașina se pune în mișcare curentul scade relativ rapide așa că solicitările ce apar nu sînt periculoase pentru mașină.

Ținînd cont de faptul că șocul de curent are o influență nefastă asupra rețelei și a celorlalți consumatori legați la rețea, se limitează puterea motoarelor care pot fi pornite prin conectare directă.

Motoarele asincrone cu rotor în scurtcircuit în construcție normală au cuplu de pornire mic chiar în cazul pornirii directe.

În prezent se construiesc motoare asincrone cu colivie cu bare înalte și cu dublă colivie care prezintă caracteristici de pornire îmbunătățite reducînd șocul de curent și mărind valoarea cuplului de pornire, dar în dauna randamentului și factorului de putere.

În fig.1.1. sînt reprezentate caracteristicile mecanice $M = f(s)$ pentru cele trei tipuri de motoare asincrone cu rotor în colivie: curba (a) pentru motorul în colivie normală, curba (b) pentru motorul cu bare înalte și curba (c) pentru motorul cu dublă colivie.

Metodele de pornire, care urmăresc limitarea șocului de curent la pornire se pot clasifica în trei categorii:

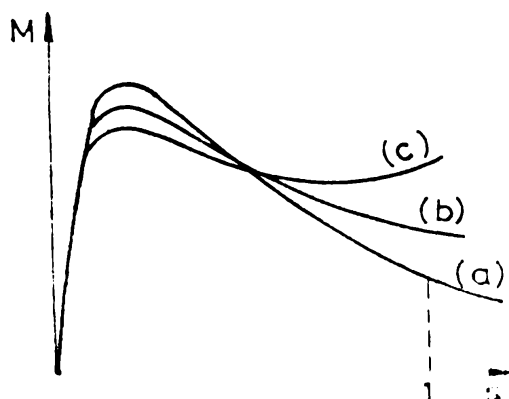


Fig.1.1.

A) care acționează asupra mărimilor statorice ce influențează valoarea curentului de pornire - tensiunea de alimentare a înfășurărilor statorice, impedanța echivalentă a circuitului statoric - și care pot fi aplicate la orice tip constructiv de mașină de inducție.

B) Care acționează asupra unor mărimi rotorice-impedanța totală a circuitului

rotoric, tensiunea din rotor, montaje în cascadă - și care pot fi aplicate doar la mașinile de inducție cu motor bobinat.

C) Care folosesc dispozitive auxiliare.

Metodele de pornire se pot clasifica în două grupe diferite și după criteriul modalității practice de realizare prin care se evidențiază:

- principiul metodei ;

- elementele de nou ne care le introduce utilizarea dispozitivelor cu componente electronice la pornirea motoarelor asincrone.

După acest criteriu se pot deosebi două categorii:

- metode care utilizează procedee clasice ;

- metode care folosesc dispozitive cu semiconductoare (mutatoare).

1.3. Metode de pornire a motoarelor asincrone cu procedee clasice.

1.3.1. Pornirea prin reducerea tensiunii de alimentare.

Metodele utilizate sînt din categoria (A); ele asigură un raport constant de reducere între cuplul de pornire și curentul de pornire. Se folosesc în general două metode:

- cu comutator stea-triunghi ;

- cu autotransformator sau transformator reglabil.

Pornirea cu comutator stea-triunghi [4,22,38,64,70,96] se folosește doar la motoarele care funcționează cu fazele

înfașurării statorice legate în triunghi. Schema principala a comutatorului este prezentată în fig.1.2. Pe poziția 1 fazele înfașurării statorice sînt conectate în stea, iar pe poziția 2 sînt conectate în triunghi.

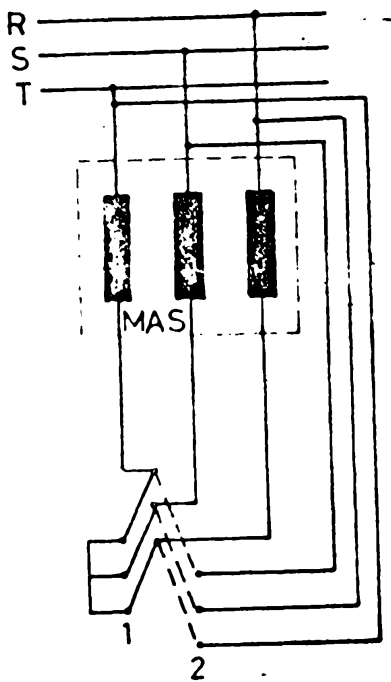


Fig.1.2.

In fig.1.3. sînt reprezentate curbele de variație a cuplului și curentului pe perioada pornirii.

Coeficienții de reducere a curentului K_I și cuplului K_M sînt:

$$K_I = \frac{I_{\Delta Y}}{I_{pd}} = \frac{U}{\sqrt{3} Z_{sc}} \frac{Z_{sc}}{U \sqrt{3}} = \frac{1}{3}$$

$$K_M = \frac{M_{\Delta Y}}{M_{pd}} = \left(\frac{U}{\sqrt{3}} \cdot \frac{1}{U} \right)^2 = \frac{1}{3} \quad (1.1)$$

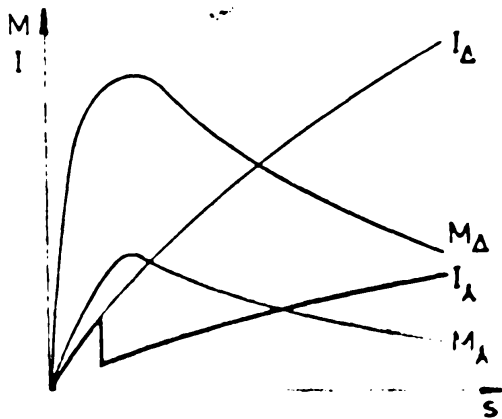


Fig.1.3.

Metoda este simplă însă are și dezavantajul că reducîndu-se mult cuplul motor în momentul pornirii, ea se poate aplica doar la porniri în gol sau la sarcină redusă.

Pornirea cu autotransformator [4,15,22,38,64,96] folosește un autotransformator (transformator) intercalat între rețea și bornele motorului care reduce tensiunea de

alimentare a motorului pe perioada pornirii (fig.1.4).

Alimentarea motorului se comandă prin intermediul unui contactor a cărui contacte K_1 sînt închise, iar K_2 deschise în perioada pornirii, înfașurarea statorică a mașinii fiind alimentată la o tensiune redusă de la autotransformator. La încheierea procesului de pornire se trece la alimentare directă deschizînd contactele K_1 și închizînd K_2 .

Notînd cu k raportul de reducere a tensiunii (raportul de transformare al autotransformatorului coborîtor) coefi-

cienței K_{\perp} și K_{μ} definiți anterior vor lua valorile:

$$K_{\perp} = \frac{I_{pt}}{I_{pd}} = \frac{1}{\lambda^2}$$

$$K_{\mu} = \frac{M_{pt}}{M_{pd}} = \frac{1}{\kappa^2}$$

(1.2)

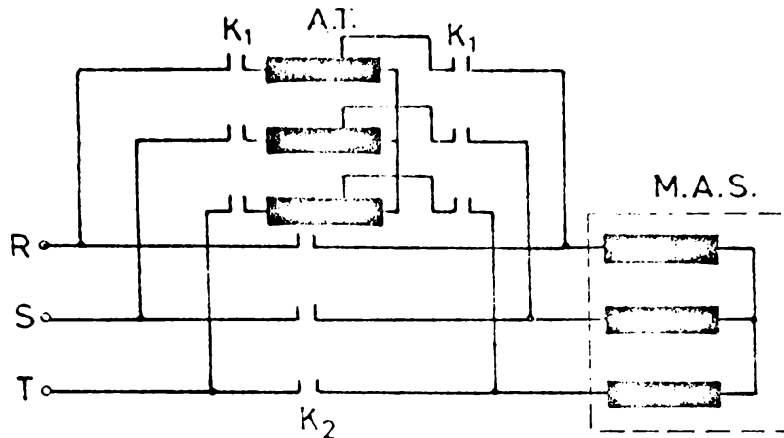


Fig.1.4.

unde I_{pt} , M_{pt} sînt curenții și cuplul la pornirea cu auto-transformator, iar I_{pd} , M_{pd} aceleași măriri la pornirea prin conectare directă la rețea.

Scăderea atât a curenților cît și a cuplului este pronunțată; avantajul metodei fiind posibilitatea modificării raportului de transformare în anumite limite, permițînd adaptarea lui funcție de cuplul rezistent la pornire, dar condiționînd limitarea curenților de pornire.

Metoda este simplă, practică, nu introduce pierderi mari, dar transformatorul utilizat înseamnă o investiție suplimentară și mărește gabaritul instalației de acționare.

1.3.2. Pornirea prin modificarea impedanței echivalente a circuitului statoric.

Metodele de acest tip aparțin categoriei (A). Modificarea impedanței echivalente a circuitului statoric se face prin intercalarea în circuitul statoric de rezistențe, bobine sau condensatoare. Pornirea cu rezistență înseriată în circuitul statoric [4,15,22,38] se realizează cu un montaj a cărui schemă de principiu este prezentată în fig.5. La pornire se închid contactele K_1 (K_2 rămînd deschise) și

se intercalează un reostat R pe fiecare fază a circuitului sta-

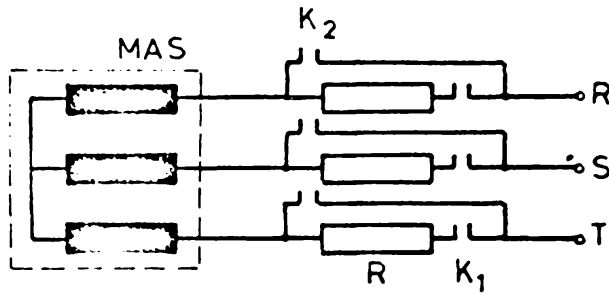


Fig.1.5

toric, iar cind curentul a scizut suficient se inchid contactele K_2 și se deschid contactele K_1 , motorul fiind alimentat la tensiunea nominală.

Coefficientul K_1 de reducere a curentului de pornire depinde de valoarea rezistenței reostatului utilizat; cuplul se

reduce într-un raport $K_M = K_1^2$, deci scade mult mai pronunțat decit curentul.

In locul reostatelor se pot folosi bobine. Aceasta se recomanda la pornirea motoarelor mari, cu tensiuni nominale ridicate, izolarea bobinelor fiind mai ușor de realizat. Si in acest caz se păstrează relația $K_M = K_1^2$, valorile coeficienților depinzind de impedenta bobinelor. Trebuie însă specificat faptul că utilizarea unor bobine înrautățește factorul de putere pe perioada pornirii.

O serie de lucrări aparute in ultimii ani [65, 82, 98] prezintă o metodă de pornire care folosește o baterie de condensatoare conectate in paralel cu înfășurările statorice ale motorului, metodă ce se recomandă a fi utilizată la pornirea motoarelor asincrone de mare putere. Prin introducerea condensatoarelor se urmărește reducerea sau chiar compensarea totală a curen-

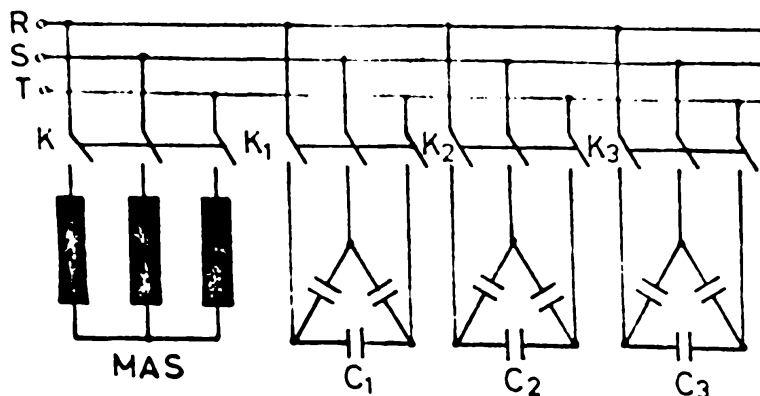


Fig.1.6.

tului reactiv de magnetizare a motorului și implicit reducerea valorii curentului de pornire.

In [65] este prezentată o schemă practică pentru pornirea unui motor asincron de

mare putere (6000 kw) folosind o baterie de condensatoare in trepte, legate independent la rețeaua de alimentare.

Folosirea unei capacități în trepte în locul unui singur condensator elimină creșterea de tensiune care ar apare la bornele motorului la

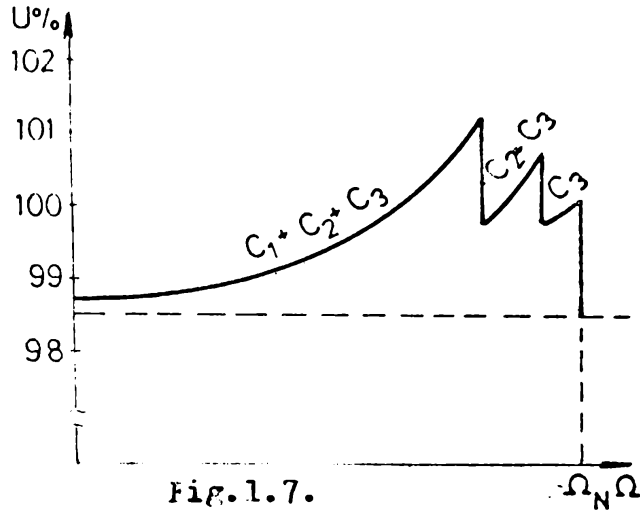


Fig.1.7.

bornele motorului la turatii apropiate de cea nominală în caz că întreaga capacitate ar rămîne conectată în circuitul statoric pînă la stingerea turatiei nominale. Așa cum s-a prezentat în fig.1.7 [65] de tot parcursul pornirii tensiunea la borne-

le motorului se menține în intervalul 98,5 % - 101,5 % Un.

O metodă aparte din această categorie este cea care utilizează amplificatoarele magnetice [15]. Înfișurările principale ale amplificatoarelor joacă rolul de bobine cu reactanță variabilă, comandate de tensiunea la bornele statorului (fig.1.8.a) sau de viteza de rotație (fig.1.8.b) pe perioada pornirii. Curentul din înfișurarea de comandă depinde de una din mărimile susmenționate, a căror valoare crește pe parcursul pornirii ceea ce face ca și curentul de comandă să crească și să reducă reactanța bobinelor astfel încît la turatie nominală reactanța să scadă atît de mult încît amplificatorul să fie practic scurtcircuitat.

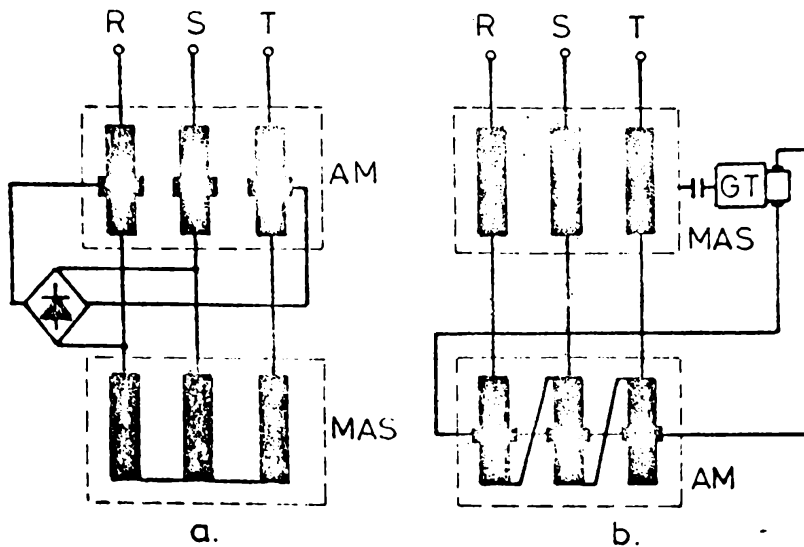


Fig.1.8

1.3.3. Pornirea prin modificări în circuitul rotoric.

Metodele de acest tip formează categoria (B) și se pot utiliza doar la pornirea mașinilor asincrone cu rotor bobinat.

Metoda de pornire tradițională a motoarelor cu rotor bobinat o constituie pornirea cu un reostat conectat în circuitul rotoric. Este un reostat trifazat simetric sau asimetric, reglabil în trepte sau continuu, a cărui reglare se poate face manual sau se poate automatiza prin procedee destul de simple.

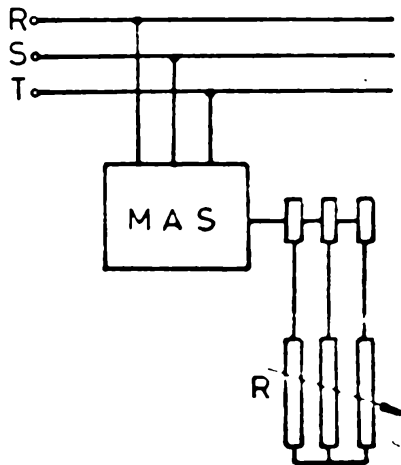


Fig.1.9

Schema de principiu a unei astfel de metode este prezentată în fig.1.9.

Valoarea rezistenței totale pe fază a reostatului de pornire numărul de trepte precum și valorile treptelor de rezistență se determină pe baza unui calcul de

dimensionare care pornește de la condiția ca în timpul pornirii curentul rotoric (și implicit cel statoric) să varieze între două limite I_{max} și I_{min} , astfel încât pe parcursul pornirii solicitările termice și mecanice să nu atingă valori periculoase (limitare superioară) și să se asigure un cuplu motor la pornire capabil să accelereze rotorul și masele cuplate la acesta (limitare inferioară).

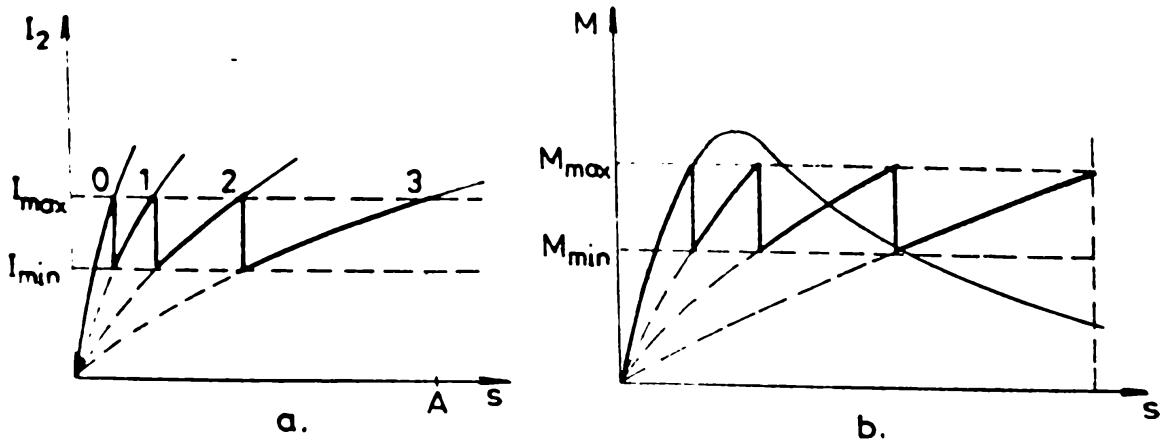


Fig.1.10.

În momentul conectării mașinii la rețea valoarea rezistenței de fază a reostatului este maximă, curentul și cuplul având

valorile I_{max} , respectiv I_{min} (fig.1.10.a și b, curbele 3). În continuare curbele de variație ale celor două mărimi au o formă în trepte reprezentată îngroșat în fig.1.10, până ce la sfârșitul procesului de pornire se atinge punctul normal de funcționare de pe caracteristica naturală (curbele 0 din fig. 1.10). Pentru I_{max} și I_{min} în literatura de specialitate se dau valori orientative în funcție de puterea mașinii. Alegerea valorii lor trebuie să se facă ținând cont de mai multe criterii deoarece dacă, de exemplu, cele două limite se apropie ca valoare una de alta crește numărul de trepte, se reduc virfurile de curent și în același timp reglajul se face mai fin, dar mărirea numărului de trepte al reostatului complică construcția sa și al sistemului său de comandă.

Marele avantaj al acestei metode îl constituie faptul că valoarea cuplului motor de pornire crește față de valoarea pe care ar fi avut-o pe caracteristica naturală, iar curentul de pornire se micșorează mult față de curentul de pornire nominal. Acest avantaj a făcut ca metoda să fie utilizată în cvasitotalitatea cazurilor la pornirea motoarelor asincrone cu rotor bobinat cu toate că prezintă și dezavantaje dintre care pot fi amintite:

- pierderile de putere activă pe rezistența reostatului;
- necesitatea ca trecerea de pe un plat pe altul al reostatului să se facă strict în concordanță cu diagrama timpilor de pornire calculați pentru fiecare treaptă; în caz contrar nu se mai respectă intervalul $I_{max}-I_{min}$ de variație al curentului și pot să apară locuri de curent prin depășirea lui I_{max} , sau agățări (blocări) dacă cuplul mașinii pe perioada pornirii coboară sub valoarea M_{min} .

O variantă automatizată a metodei de pornire cu reostat rotoric este pornirea cu amplificatoare magnetice conectate la inele (fig.1.11).

Valoarea reactanței X a înfășurării principale a amplificatorului magnetic M depinde de frecvența f_2 a tensiunii electromotoare induse în înfășurarea rotorică a motorului asincron și de curentul de comandă i_c debitat de generatorul tahometric GT cuplat mecanic cu motorul asincron MAS .

În momentul cuplării motorului la rețea, viteza rotorului fiind nulă $f_2=f_1$ și $i_c=0$ și deci reactanța X va fi maximă, fiind astfel calculată încît $X \gg R$. Ca urmare curentul rotor

ric I_2 va trece aproape în întregime prin R, adică $I_2 = I_R$ iar $I_{AM} = 0$, motorul pornind cu întreaga rezistență R conectată la inele.

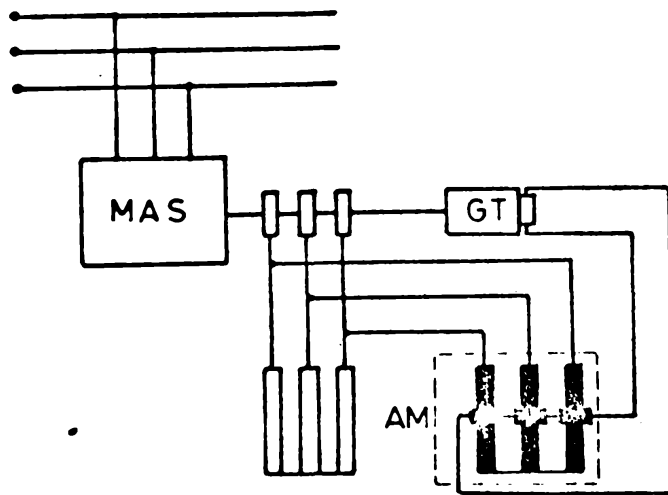


Fig.1.11.

Pe măsură ce rotorul accelerează frecvența rotorică f_2 scade, iar i_c dat de generatorul tahometric crește, ceea ce determină scăderea continuă a reactanței X, deci o parte tot mai mare a curentului I_2 va trece prin X, ceea ce este echivalent cu scurtcircuitarea continuă și progresivă a rezistenței R. La terminarea procesului de pornire f_2 fiind minimă și miezul amplificatorului complet saturat, reactanța înfășurării principale a amplificatorului magnetic scade practic la C și restul este scurtcircuitat.

În locul rezistenței de pornire se poate folosi o impedanță trifazată legată la inele care poate fi un condensator și o rezistență inseriate pe fiecare fază sau o bobină de reactanță.

În [92] se face o analiză detaliată a comportării mașinii asincrone cu inele având o impedanță conectată în circuitul rotoric. Pe baza unei analize teoretice care investighează diverse combinații ale elementelor R,L,C, ca variante constructive ale impedanței de pornire, autorii se opresc asupra soluției constructive cu rezistență fixă și capacitate variabilă inseriate pe fiecare fază a impedanței suplimentare conectate la curentul rotoric.

Caracteristicile artificiale obținute (fig.1.12) în caz că se utilizează doar un reostat (b) sau variația susamintit (c), prezintă cupluri de pornire mai mari ca în cazul pornirii caracteristica naturală (a). Valoarea cea mai mare a cuplului de pornire se obține pe caracteristica (c) și se poate explica astfel:

- rezistența suplimentară face ca alunecarea critică să

aiă valori apropiate de 1 ;

- reactanța capacitivă introdusă duce la micșorarea reac-
tanței echivalente a circuitului rotoric și deci la mărirea
cuplului critic;

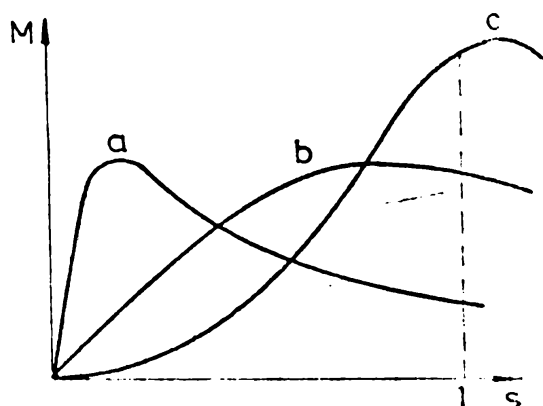


Fig.1.12

rezonanței fac ca metoda să nu fie utilizată în mod frecvent.

Deși este enunțată teoretic, posibilitatea utilizării
unei impedanțe de tip nu legată la bornele rotorului nu se
întâlnește practic decât ca o variantă a pornirii cu amplifi-
catoare. Schema de principiu este prescurtată în fig.1.13 și
conține următoarele elemente:

- un reostat de pornire cu două trepte de rezistență R_{I} și R_{II} ;
- o bobină de reactanță cu rezistență R_b și reactanță X_b .

Bobina de reactanță este legată în paralel cu treapta
doua a reostatului. Rezistența rămâne permanent conectată
avînd rolul de a asigura o caracteristică de funcționare mai
moale decât caracteristica.

La pornire cînd frecvența din rotor este egală cu frec-
vența rețelei ($f_2=f_1$), reactanța X_b are valori mari ceea ce
face ca impedanța echivalentă a circuitului rotoric să fie
mare și să micșoreze valoarea circuitului.

O dată cu creșterea vitezei are loc o micșorare a reac-
tanței X_b și deci o modificare continuă a impedanței echi-
valente la bornele rotorului. La viteza de regim, impedanța
bobinei este practic nulă ceea ce duce la scurtcircuitarea
treptei de rezistență R_{II} a reostatului.

Schema are avantajul simplității, a numărului redus de

Reactanța capacitivă
este invers proporțională
cu alunecarea și pe măsură
ce turația crește duce la
reducerea valorii cuplului
mașinii, așa cum se obser-
vă și în fig.1.12.

Acest dezavantaj, la
care se adaugă și posibili-
tatea apariției unor vir-
furi de tensiune datorită

contacte și rezistențe. Ea se utilizează în practică la acționarea troliilor de foraj.

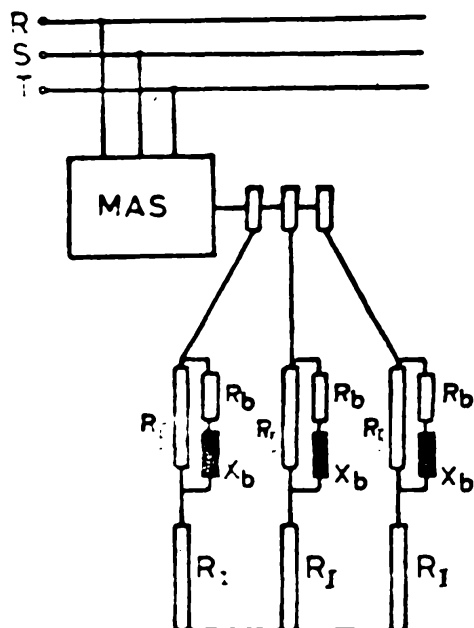


Fig. 1.13.

Metoda este prea pretentioasă pentru a fi folosită doar la pornire, de regulă ea se folosește la modificarea turatiei, dar dacă există instalația, ea se poate folosi și pentru pornire asigurând o comandă completă a acționării respective.

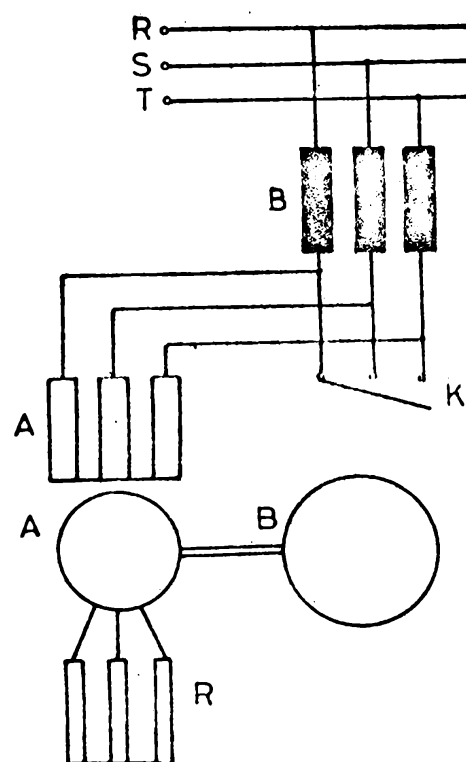
1.3.4. metoda de pornire care folosesc dispozitive auxiliare.

Sînt metode care se utilizează în anumite situații speciale, fără a fi aplicate în mod curent.

O astfel de metodă este pornirea cu motor auxiliar [22]. Metoda se utilizează la pornirea motoarelor asincrone de mare putere la care nu se poate porni la tensiune redusă, iar tensiunea din circuitul rotoric fiind relativ mare nu se pot folosi reostate de pornire.

În figura 1.14 s-a reprezentat schema de principiu. S-a notat cu B motorul de mare putere și cu A motorul auxiliar. Înfișurările statorice a celor două mașini sînt legate în serie și alimentate de la aceeași rețea; circuitul rotoric al mașinii A s-a introdus un reostat reglabil, iar circuitul rotoric al mașinii B este scurtcircuitat. În momentul pornirii tensiunea se repartizează în cea mai mare parte pe înfișurarea

statorică a mașinii auxiliare care antrenează și rotorul mașinii auxiliare. Pe măsură ce crește



turația tensiunea de înfășurarea mașinii principale crește, iar la atingerea turației nominale se întrerupe alimentarea înfășurării statorice a mașinii A prin închiderea întrerupătorului K.

O altă metodă de pornire folosește o cuplă centrifugă care se intercalează între motor și mașina de lucru acționată. Cupla centrifugă are două părți care pot aluneca una față de cealaltă, forța de frecare dintre ele depinzând de turație. Din stare de repaus motorul pornește practic în gol astfel că se poate porni cu tensiune de alimentare redusă. Când motorul se apropie de turația de regim și cu-

Fig. 1.14

rentul de pornire a scăzut ca valoare cupla acționează și începe să transmită cuplu către mașina de lucru.

Din cele prezentate anterior se pot desprinde următoarele trăsături ale metodelor amintite:

- sînt metode simple care nu sînt adecvate la instalații complicate, dar și performanțele sînt modeste;

- folosirea uneia sau alteia din metode este limitată de anumite condiții locale așa că sînt rare cazurile în care pentru o anumită acționare să existe situație de a putea alege pe cea mai bună dintre două sau mai multe metode.

1.4. Tendințe moderne în tehnica de pornire a mașinii de inducție.

1.4.1. Probleme generale

Metodele clasice utilizate rezolvau în principiu problemele ridicate de pornire dar nu erau în toate situațiile o soluție optimă constructivă și funcțională.

Utilizarea dispozitivelor statice cu semiconductori în procesul de pornire al mașinii de inducție în regim de motor a însemnat un pas înainte prin asigurarea unui control mai pre-

cia al proceselor, o mărire a finetei comenzii, a posibilității unei comenzi automate.

În marea majoritate a cazurilor mutatoarele se folosesc pentru modificarea turăției motoarelor de inducție, dar prezența lor permite utilizarea lor și în procesul de pornire. Există însă cazuri în care se folosesc dispozitive cu semiconductoare specifice pentru pornire.

Implementarea în comanda motoarelor de inducție a dispozitivelor cu semiconductoare a fost facilitată de dezvoltarea rapidă a electronicii de putere cauzată pe de o parte de realizarea de noi dispozitive semiconductoare complexe ca tiristoarele, triacurile, circuitele integrate și mai recent microprocesoarele și pe de altă parte de progresele tehnicii ce au permis obținerea de astfel de dispozitive pentru curenți de lucru mari și tensiuni de vârf ridicate (la elementele circuitelor de forță: tiristoare, triacuri), la un preț care permite utilizarea lor pe scară largă.

Tiristoarele și triacurile sînt de fapt întrerupătoare lucrînd într-un singur sens de conducție sau în ambele sensuri, care se comandă folosind o putere foarte mică și care nu au părți în mișcare. Circuitele integrate permit obținerea de scheme de comandă complexe a mutatoarelor, cu gabarit redus și fiabilitate ridicată, iar microprocesoarele pot asigura conducerea automată pe criterii optimizate a procesului de pornire.

Este un adevăr de necontestat faptul că, pentru acționările electrice în general folosirea dispozitivelor cu semiconductoare a însemnat și înseamnă un progres evident deși în marea lor majoritate, în cursul proceselor ce au loc în timpul funcționării în circuit apar tensiuni și curenți a căror formă de undă nu mai este sinusoidală și acest fapt implică o serie de neajunsuri.

În literatura de specialitate au fost publicate o serie de lucrări [5,6,14,15,27,29,30,31,43,55,69,70,85,86,87,89,90] în care sînt evidențiate principalele dezavantaje ale folosirii mutatoarelor:

- fenomenul de "poluare armonică" a rețelei cu toate implicațiile sale
- rezonanță de tensiune.

Apariția armonicilor de tensiune este practic imposibil de evitat. Analiza armonică efectuată a permis evaluarea cantiti-

tativă și calitativă a armonicilor ce apar în diverse situații concrete și ca urmare s-au putut proiecta și realiza filtre corespunzătoare.

Existența filtrelor și a altor elemente de circuit care conțin capacități poate conduce la apariția fenomenului de rezonanță pentru una sau mai multe armonici superioare de tensiune și prin aceasta la perturbatii în funcționarea rețelei. Eliminarea de la început a unor astfel de fenomene este greu de realizat deoarece în calcule este practic imposibil de prins toate inductivitățile și capacitățile existente în rețea.

Intr-o serie de lucrări de dată recentă [30,31,69,70,85,86,87,90] se apreciază că această problemă nu este insolubilă. În practica este necesară filtrarea eficientă a armonicilor impare de ordin mic (până cca la ordinul 11-13); armonicile de ordin superior având o influență mai mică, iar datorită structurii complexe a rețelei rareori sînt întrunite condițiile de apariție a fenomenului de rezonanță, fără ca această posibilitate să fie efectiv eliminată.

Dispozitivele cu tiristoare pentru pornire se aleg în funcție nu numai de condițiile de pornire cît și în funcție de destinația ulterioară a acționării cu motor de inducție, de cerințele de modificare a turației în timpul funcționării, de tipul de frinare folosit, de fapt dacă este necesară sau nu reversarea turației în timpul funcționării. Respectarea acestor condiții nu este posibilă în întregime, cerințele fiind de multe ori contradictorii.

Se poate întâmpla ca un motor să pornească în condiții ușoare, neneccitînd un echipament special, dar în timpul funcționării să fie necesară modificarea turației în limite largi cu un convertor de frecvență variabilă. Ideal ar fi ca, dat fiind costul relativ ridicat și complexitatea instalațiilor lor cu dispozitive semiconductoră, ele să se utilizeze atît la pornire cît și la modificările turației necesitate în timpul funcționării: de exemplu în cazul susmenționat să se pornească prin modificarea frecvenței de la o valoare mică pînă la valoarea nominală, limitîndu-se totodată și curentul. Procedeele de pornire a motorului de inducție care utilizează dispozitive cu semiconductoră pot fi grupate după același criteriu ca și metodele așa-zise clasice.

1.4.2. Pornirea prin reducerea tensiunii de alimentare

Pentru acest tip de pornire se folosesc varistoare de tensiune alternativă cu tiristoare. După tipul de comandă folosit ele se împart în două categorii:

- cu comandă de tip închis-deschis, numite și contactoare;
- cu comandă de fază.

Contactorul se recomandă a se utiliza în situația în care momentul de inerție al maselor în mișcare este suficient de mare încât să nu epușă șocuri. Metoda constă în alimentarea înfășurării statorice a mașinii cu impulsuri de tensiune; într-un ciclu de funcționare T , pe un interval t_f tiristoarele din circuitul de forță al contactorului sînt în conducție și motorul este alimentat, iar pe intervalul t_n tiristoarele sînt blocate și alimentarea motorului întreruptă.

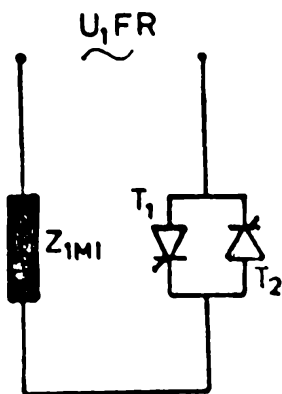


Fig.1.15

În fig.1.15 este prezentată schema de principiu a unei faze a circuitului statoric alimentat de la contactor. Între sursa de tensiune alternativă notată cu U_{1FR} și faza înfășurării statorice a mașinii de inducție reprezentată prin impedanța de fază Z_{1M1} interpoște o pereche de tiristoare T_1 și T_2 montate în antiparalel, care reprezintă circuitul de forță al tiristorului.

Intr-o primă aproximație se poate considera că motorul alimentat cu impulsuri se comportă ca și cum ar fi alimentat în mod permanent, însă de la o tensiune de valoare U_{ln} efectivă U_{li} mai mică decît tensiunea nominală de alimentare U_{1n} .

Valoarea efectivă a acestei tensiuni "echivalente" U_{li} se poate calcula cu relația:

$$U_{li} = \sqrt{\frac{1}{T} \int_0^T U_{ln}^2 dt} \quad (1.3)$$

Din (1.3) rezultă că valoarea U_{li} depinde de timpul de lucru al contactorului t_f a cărui durată variază între 0 și timpul total al ciclului T .

Contactorul static are avantajul unei scheme de comandă simple. El asigură alimentarea mașinii la tensiune sinusoidală-

lă și deci în rețea nu apar armonici. El nu poate asigura însă modificarea tensiunii în limite largi.

În fig.1.16 sînt prezentate cîteva variante constructive ale circuitului de forță al variatoarelor de tensiune (VI) pentru comanda motoarelor de inducție cu înfășurarea statorică conectată în stea (a) sau triunghi (b).

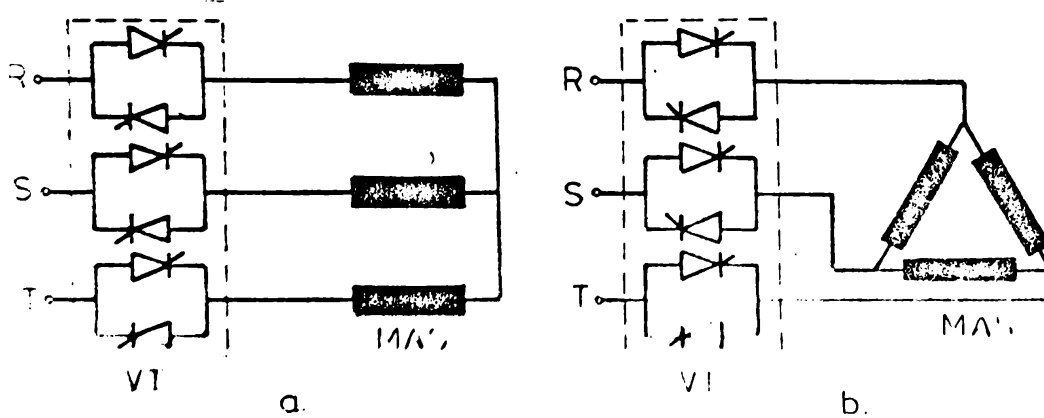


Fig.1.16

Se folosesc tiristoare montate în antiparalel (a,b) pentru a permite curentului alternativ să circule în ambele sensuri, tiristorul fiind element cu conducție unidirecțională.

La variatorul de tensiune alternativă spre deosebire de contactor comanda se face prin controlul de fază a aprinderii tiristorului. Circuitul de comandă al variatorului poate face ca momentul aprinderii tiristorului să fie decalat cu un timp Δt (respectiv cu unghi de fază α) față de momentul comutației naturale.

Modificînd unghiul de întîrziere α se modifică în fond tensiunea de alimentare a motorului. În fig.1.17 este reprezentată tensiunea pe o fază a circuitului statoric a mașinii de inducție alimentate de la un variator de tensiune.

În momentul pornirii unghiul α are o valoare mare (α_1) tiristorul conduce un interval mic de timp și tensiunea de alimentare a motorului are o valoare redusă. Pe măsură ce viteza motorului crește, unghiul α se micșorează iar în apropierea vitezei de regim α devine foarte mic (α_2) tensiunea de alimentare avînd practic valoarea nominală. Prin această metodă curentul de pornire se limitează la valori practic acceptabile, fără pierderi importante de energie.

Scăderea valorii tensiunii de alimentare duce în mod implicit la reducerea valorii cuplului de pornire al motoru-

lui. Din acest motiv metoda în ambele variante se aplică

coar la acționări de mică putere la care motorul pornește la sarcină redusă. Față de varianta contactor utilizarea variatorului de tensiune cu control de fază duce la apariția de armonici de tensiune în rețea și înrăutățește factorul de putere al rețelei, datorită necesarului de putere reactivă de comandă.

Deși folosirea variatorului implică dezavantajele susmenționate, simplitatea lui constructivă și funcțională face ca el să fie destul de des utilizat. Se construiesc dispozitive specializate pentru pornirea motoarelor de inducție [17,57] folosind variatoare de tensiune, variatoare la care comanda unghiului α se face automat, elementul de referință fiind de regulă

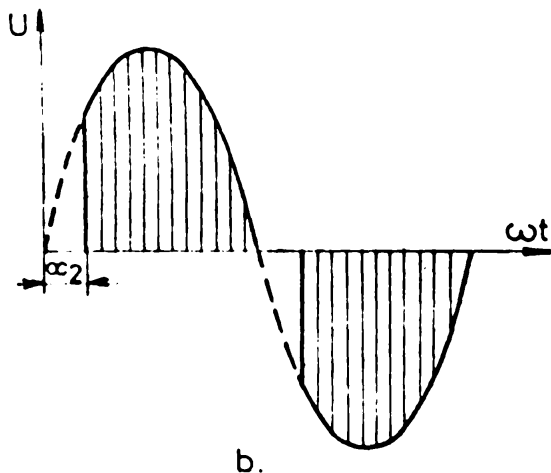
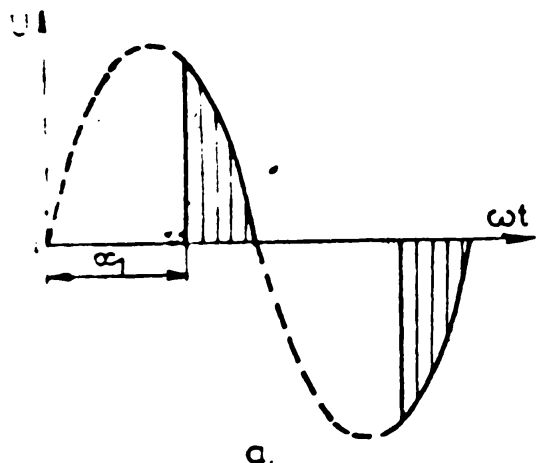


Fig.1.17

limitarea curentului de pornire.

1.4.3. Pornirea prin modificarea impedanței echivalente a circuitului statoric.

O schemă practică a unei astfel de metode este prezentată în fig.1.1b.

În serie cu o fază a înfășurării statorice Z_1 se conectează un reostat cu treptele de rezistență R_a și R_b . În paralel cu treapta R_b se conectează o pereche de tiristoare în antiparalel T_1 și T_2 . Modificând unghiul de aprindere al tiristoarelor sistemul se comportă ca o rezistență variabilă între valorile R_a și $R_a + R_b$.

Se întâlnesc și alte scheme de realizare a ansamblului

reostat-tiristoare, fără ca principiul de funcționare să difere însă.

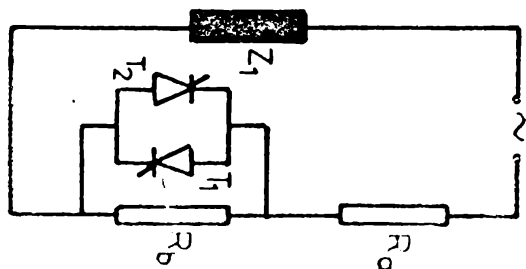


Fig.1.18

tiristoarelor.

Acest ultim dezavantaj poate fi înlăturat prin folosirea unei comenzi de tip contactor.

1.4.4. Pornirea prin modificări în circuitul rotoric.

Schemele de comandă a motorului de inducție care utilizează dispozitive statice cu semiconductoare conectate în circuitul rotoric al motorului pot fi împărțite în două categorii:

- scheme de variere a impedanței echivalente a circuitului rotoric ;
- scheme în cascadă.

Ambele tipuri de scheme se pot utiliza atât la pornirea motorului cât și la modificarea vitezei.

Schemele din prima categorie sînt relativ simple etînd din punct de vedere constructiv cît și funcțional, fiind în principiu o variantă modernă a metodei de pornire cu reostat în circuitul rotoric. Față de controlerul utilizat la modificarea în trepte a rezistenței reostatului de pornire prezintă avantajul eliminării contactelor mobile, al unui timp de execuție mai rapid, al unui gabarit redus.

Un tip de scheme din această categorie realizează reglarea prin impulsuri a rezistenței reostatului de pornire (fig.1.19).

Schema de principiu (a) constă în legarea în paralel cu o fază a reostatului R , a unei perechi de tiristoare T_1 și T_2 în antiparalel. În fig.1.19.b sînt reprezentate variația în timp a curentului prin tiristor și a rezistenței suplimentare pe fază. În intervalul de timp $(0, t_g)$ cînt unul din tiristoare este în conducție rezistența R este scurtcircuit-

Metoda este simplă, dar are două dezavantaje:

- pierderi suplimentare de energie, datorate reostatului ;

- apariția de armonici datorită comenzii prin control de fază al

tată, iar pe intervalul $t_p = t_c - t_a$ tiristoarele sînt blocate

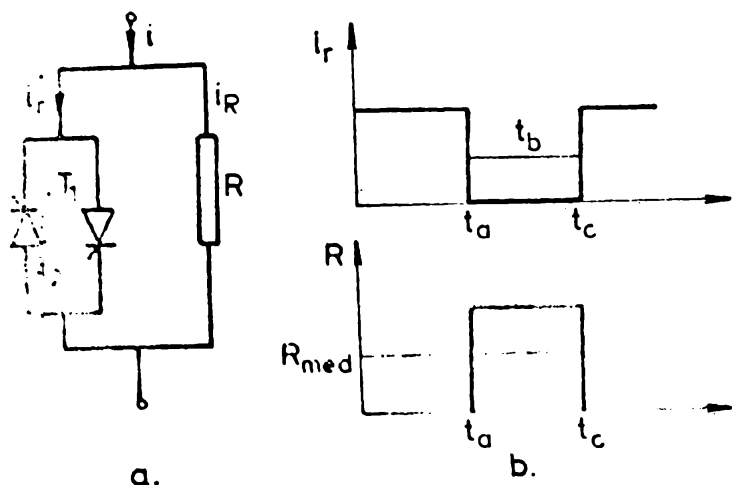


Fig.1.19

rezistența R fiind introdusă în circuit.

Valoarea medie a rezistenței de fază a reostatului este:

$$R_{med} = \left(1 - \frac{t_a}{t_c}\right) R$$

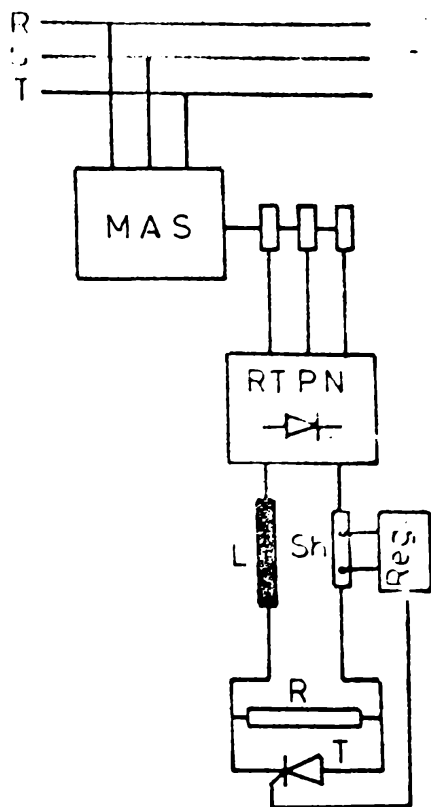
Modificînd timpul de conducție al tiristoarelor între 0 și t_c , rezistența suplimentară pe fază variază între 0 și R și cum comanda tiristoarelor se poate face în trepte foarte fine rezultă că se asigură cu această schemă o pornire lină, fără șocuri de curent.

O altă schemă din prima categorie denumită în mod uzual pornire cu rezistență pulsată este prezentată în fig.1.20.

În circuitul rotoric al motorului asincron cu rotor bobinat MAS se conectează un redresor trifazat în punte ne-comandat (cu diode) K&Kw. Tensiunea culeasă la inelele motorului este redresată și filtrată prin intermediul bobinei L. Pe partea de curent continuu a redresorului se leagă rezistența de pornire R și în paralel cu ea este conectat un tiristor T. Tiristorul este aprins și stins de regulatorul R_{eg} care primește de la guntul Sh un semnal de comandă proporțional cu curentul rotoric redresat.

Ca și la schema precedentă tiristorul poate să scurtcircuiteze rezistența R (atunci cînd el este în stare de conducție sau să lase să treacă curentul prin ea (practic să o reconecteze), atunci cînd este blocat. Valoarea medie a rezistenței R a reostatului de pornire este determinată de rapor-

tul dintre timpul de conducție și de blocare al tiristorului.



Schemele în cascadă cu mutatoare sînt o variantă a cascadelor clasice care utilizează motorul asincron în combinație cu alte mașini rotative.

În cazul cascadelor cu mutatoare la inelele motorului asincron se conectează un convertor static de frecvență. Cascada asincronă permite recuperarea energiei de alunecare a motorului asincron cu rotor bobinat și ca urmare asigură acționării electrice reglabile un randament ridicat.

Datorită complexității schemei și a costului ei relativ ridicat cascada asincronă nu se folosește în mod expres ca dispozitiv de pornire, însă în caz că acționarea necesită pentru

Fig.1.20.

comanda ei un montaj în cascadă al mașinii de inducție el se va folosi inclusiv pentru pornire.

Metoda de pornire analizată în lucrare face parte din categoria metodelor care se pot utiliza doar la mașini de inducție cu inele de contact. Schema de principiu este prezentată în fig.1.21.

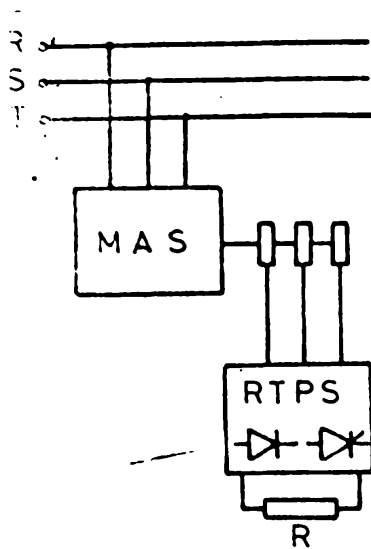
Motorul asincron cu inele MAS are conectat în circuitul rotoric un redresor trifazat în punte semicomandat (RAPS). La ieșire de curent continuu a punții se poate conecta un reostat R sau se pot scurtcircuita bornele de ieșire.

Prin comanda unghiului de aprindere al tiristoarelor punții se realizează modificarea valorii tensiunii redresate, deci și a curentului din fazele înfășurării rotorice.

La modificarea unghiului de comandă, curentul de sarcină este distorsionat, în afară de fundamentală el mai conține o serie de armonici superioare. Datorită distorsionării curentului chiar la o sarcină pur rezistivă la bornele RAPS apare o deplasare a fundamentalei care duce la apariția unei consum

de putere reactivă.

Aceasta înseamnă că prin combinarea sarcinii rezistive



cu dispozitivul static comandabil, sistemul conectat la inelele de contact se comportă ca o impedanță variabilă funcție de unghiul α de întârziere al aprinderii tiristoarelor.

Această metodă se poate utiliza cu bune rezultate la pornirea motoarelor asincrone cu rotor bobinat de putere medie sau mare.

Fig.1.21

Avantajele prelimina-

te ale metodei ar fi următoarele:

a) în comparație cu metoda de pornire care utilizează un reostat trifazic:

- asigură menținerea practic constantă a curentului pe perioada pornirii ;
- are pierderi de putere mai mici ;
- permite o pornire automată, cu controlul valorii curentului pe toată perioada pornirii ;

b) față de alte metode de pornire care utilizează dispozitive statice:

- are o schemă relativ simplă și folosește un număr mai mic de tiristoare ;
- datorită plasării în circuitul rotoric al dispozitivului static, reduce poluarea armonică a rețelei.

1.5. Concluzii

Pornirea mașinii de inducție în regim de motor este un regim tranzitoriu, în care curenții prin înfășurările mașinii ating valori mari, de ordinul de mărime a curenților de scurtcircuit nominal.

Socul de curent la o pornire nu are consecințe defavorabile asupra mașinii, dacă procesul de pornire este de scurtă durată.

Tinând cont de numărul relativ ridicat de motoare de inducție de medie și mare putere aflate în funcționare este necesar să se ia în considerare influența pe care șocul de curent de la pornire o are asupra tensiunii rețelei de alimentare.

Reducerea șocului de curent folosind metoda de pornire prin reducerea tensiunii de alimentare nu este o soluție convenabilă pentru acționarea deoarece reduce cuplul motor al mașinii de inducție, impunând prin aceasta condiții de pornire la sarcina redusă sau chiar în gol și în același timp lungeste durata procesului tranzitoriu cu toate consecințele nefavorabile pentru mașină decurgând din aceasta.

Rezultă de aici că se recomandă folosirea cu precădere a mașinii de inducție cu rotor bobinat, căreia i se poate aplica pornirea cu reostat în circuitul rotoric care elimină șocul de curent la pornirea la tensiune nominală și permite creșterea cuplului de pornire teoretic până la valoarea cuplului critic. Există o rețineră în folosirea mașinii de inducție cu rotor bobinat la puteri mici și medii, deoarece este mai scumpă și mai pretențioasă, (mai puțin fiabilă) decât varianta constructivă a mașinii de inducție cu rotor în colivie

Ca o soluție de viitor se propune [98] controlul și coordonarea proceselor de pornire la nivelul unei rețele de distribuție prin intermediul unui ordinator electronic. Aceasta permite alegerea momentului optim de conectare al motorului astfel încât șocul de curent să aibă o influență nefavorabilă minimă asupra rețelei. Este o soluție avantajoasă deoarece permite utilizarea motoarelor de inducție cu rotor în colivie și pornirea lor prin conectare directă la rețea deci la cuplu de pornire nominal.

Utilizarea dispozitivelor statice cu semiconductoare în tehnica acționărilor cu mașini de inducție a constituit un factor evident de progres și în domeniul pornirii. Fără să introducă elemente principial noi, a permis reevaluarea unor metode sau creșterea performanțelor pentru altele.

Ele însă au determinat apariția unui nou fenomen ce influențează negativ funcționarea rețelei numit în literatură poluare armonică.

De asemenea folosirea dispozitivelor de comandă cu con-

trol de fază a condus la înrăutățirea factorului de putere al rețelei, datorită puterii reactive de comandă apărută suplimentar în rețea.

Inercind să dea o soluție la aceste probleme, lucrarea prezintă metoda de pornire cu RTFS în circuitul rotoric care prin avantajele prezentate anterior își poate găsi loc într-o serie de domenii concrete.

CAPITOLUL II

ANALIZA ARMONICĂ A TENSIUNII ROTORICE

2.1. Metode de analiză a regimurilor nesinusoidale în electrotehnică. Alegerea metodei adecvate pentru analiza propusă

În practica actuală în electrotehnică sînt tot mai numeroase cazurile în care regimul permanent în care lucrează mașinile și aparatele electrice nu este în regim sinusoidal ci un regim nesinusoidal sau deformant. O definiție a acestui regim deformant este dată în [2] ca fiind regimul alternativ la care cel puțin una din unde, de curent sau tensiune, nu este sinusoidală. În această categorie se încadrează și regimul de lucru al mașinii de inducție cu rotor bobinat căruia i se intercalează un redresor semicomandat în circuitul rotor.

Calea cea mai frecvent utilizată în studiul regimurilor nesinusoidale este dezvoltarea în serie Fourier. Ea se aplică pentru toate funcțiile $f(t)$ periodice, nesinusoidale care satisfac condițiile lui Dirichlet pe intervalul de existență $[a, b]$ și anume [1]:

- funcția $f(t)$ este mărginită și are cel mult un număr finit de puncte de discontinuitate în acest interval;
- intervalul $[a, b]$ poate fi împărțit într-un număr finit de subintervale, astfel încît pe fiecare subinterval $f(t+kT)$ (unde T =perioada de funcție) să fie monotonă.

O astfel de funcție poate fi reprezentată printr-o serie Fourier (trigonometrică) de forma:

$$f(t) = a_0 + \sum_{n=1}^{\infty} (a_n \sin n \omega t + b_n \cos n \omega t) \quad (2.1)$$

unde $\omega = \frac{2\pi}{T}$, este pulsația fundamentalei

- a_0 , este termenul continuu al dezvoltării

$$a_0 = \frac{1}{T} \int_t^{t+T} f(t) dt \quad (2.2)$$

- a_n , este coeficientul termenului general în sinus al dezvoltării:

$$a_n = \frac{2}{T} \int_t^{t+T} f(t) \sin n\omega t dt \quad (2.3)$$

- b_n este coeficientul termenului general în cosinus al dezvoltării:

$$b_n = \frac{2}{T} \int_t^{t+T} f(t) \cos n\omega t dt \quad (2.4)$$

Dezvoltarea în serie Fourier a funcției $f(t)$ se poate scrie și sub alte forme:

- forma restrinsă în care se întâlnesc doar termeni în sinus sau doar termeni în cosinus:

$$f(t) = a_0 + \sum_{n=1}^{\infty} c_n \sin(n\omega t + \gamma_n) \quad (2.5)$$

unde:

$$c_n = \sqrt{a_n^2 + b_n^2} ; \gamma_n = \arctg \frac{a_n}{b_n} \quad (2.6)$$

- forma complexă a seriei Fourier:

$$f(t) = \sum_{n=-\infty}^{\infty} \frac{1}{2} \sqrt{a_n^2 + b_n^2} e^{(j\omega t - \gamma_n)} \quad (2.8)$$

Metoda clasică pentru determinarea coeficienților Fourier este calculul analitic pe baza relațiilor (2.2)-(2.4), ceea ce în unele situații se dovedește a fi complicat. În literatură [2,5,6,56,72] sînt indicate și alte proceduri de calcul mai simple și mai puțin laborioase, care însă sînt în general aplicabile doar la anumite tipuri de funcții periodice.

O astfel de metodă practică este metoda Lelescu-Abason-Eagle [2,72], care este denumită și metoda discontinuităților sau incidentelor geometrice. Ea se aplică în cazul funcțiilor

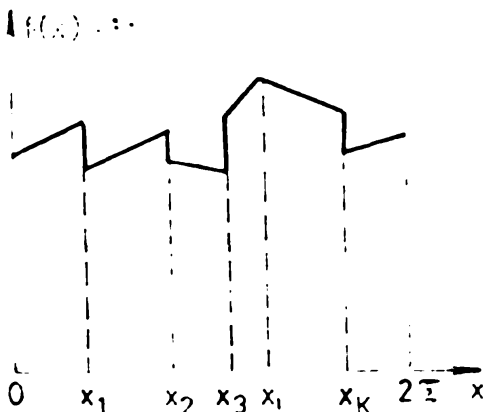


Fig.2.1

are o discontinuitate (salt).

Pentru o astfel de funcție se definesc două tipuri de

periodice nesinusoidale poligonale a căror diagramă de variație pe intervalul $[0, 2\pi]$ corespunzător unei perioade este o linie poligonală formată din segmente de dreaptă.

În fig.2.1 este reprezentată o astfel de funcție care pe fiecare interval $[x_i, x_{i+1}]$ are o variație liniară, iar în dreptul fiecărei abscise x_i

salturi:

- saltul de ordonată σ_i , a cărui relație de calcul este

$$\sigma_i = f(x_i+0) - f(x_i-0) \quad (2.9)$$

unde:

$f(x_i+0)$ reprezintă valoarea funcției $f(x)$ în punctul de abscisă x_i , după salt.

$f(x_i-0)$ reprezintă valoarea funcției $f(x)$ în punctul de abscisă x_i , înainte de salt.

- salturi unghiulare sau de tangentă ζ_i

$$\zeta_i = k_{i-1} - k_i \quad (2.10)$$

unde:

$k_i \dots$ sînt coeficienții unghiulari ai segmentelor de dreaptă care compun funcția $f(x)$.

Aceste salturi notate unitar cu \tilde{v}_i constituie incidente-geometrice ale funcției.

Folosind metoda incidentelor se înlocuiește termenul general al dezvoltării Fourier:

$$a_n \sin nx + b_n \cos nx \quad (2.11)$$

cu o expresie de forma:

$$\frac{1}{n\pi} \sum_i \tilde{v}_i \sin n(x-x_i) + \frac{1}{n2\pi} \sum_k \tilde{v}_k \cos n(x-x_k) \quad (2.12)$$

unde i primește toate valorile lui x din intervalul $[0, 2\pi]$ în care există salturi de ordonată σ_i , iar la valorile lui x pentru care există salturi de tangentă ζ_i .

Pornind de la relația (2.12) obișnuită pentru cazul funcției poligonale s-a reușit [72] să se obțină pe baza aceluiași principiu relații pentru coeficienții termenului general al dezvoltării în serie Fourier și pentru funcții inperiodice formate din arce de sinusoidă:

$$a_n = \frac{1}{\pi} \sum_i \frac{1}{\lambda^2 - n^2} \left[n \sigma_i \sin nx_i + \zeta_i \cos nx_i \right] \quad (2.13)$$

$$b_n = \frac{1}{\pi} \sum_i \frac{1}{\lambda^2 - n^2} \left[-n \sigma_i \cos nx_i + \zeta_i \sin nx_i \right]$$

dacă arcul de sinusoidă este definit prin relația:

$$f_i(x) = A_i \sin(\lambda x - \varphi_i) \quad (2.14)$$

pentru un interval $[x_{i-1}, x_i]$ iar λ este același pentru toate

ardele de sinusoidă ce intră în componența funcției.

În relațiile (2.13) δ_i și ζ_i reprezintă salturile funcției (de ordonată) și ale derivatei de ordinul I (coeficient unghiular).

$$\begin{aligned} \delta_i &= f(x_i+0) - f(x_i-0) = A_{i+1} \sin(\lambda x_i - \varphi_{i+1}) - A_i \sin(\lambda x_i - \varphi_i) \\ \zeta_i &= f'(x_i+0) - f'(x_i-0) = A_{i+1} \cos(\lambda x_i - \varphi_{i+1}) - A_i \cos(\lambda x_i - \varphi_i) \end{aligned} \quad (2.15)$$

O variantă a relațiilor (2.13), care utilizează scrierea în complex a termenilor dezvoltării în serie Fourier este prezentată în [5,6].

Metoda grafică Thomson-Runge [72] este o metodă aproximativă de calcul a coeficienților termenilor dezvoltării în serie Fourier a funcțiilor periodice reprezentate prin curbe obținute de regulă experimental, cărora nu li se poate scrie expresia analitică și nici nu pot fi approximate cu linii poligonale sau arce de funcții elementare.

Principiul metodei constă în transformarea pe cale grafică a integralelor care intervin în calculul coeficienților termenilor Fourier în sume finite. Intervalul de o perioadă a funcției se împarte în subintervale egale, de regulă un număr par $2p$.

Relațiile de calcul pentru coeficienții Fourier sînt:

$$\begin{aligned} a_0 &= \frac{1}{2p} \sum_{i=1}^{2p} f_i(x) \\ a_n &= \frac{1}{p} \sum_{i=1}^{2p} f_i(x) \sin k_i \frac{\pi}{p} \\ b_n &= \frac{1}{p} \sum_{i=1}^{2p} f_i(x) \cos k_i \frac{\pi}{p} \end{aligned} \quad (2.16)$$

unde $f_i(x)$ este o valoare medie a funcției $f(x)$ pe intervalul i .

Calculul coeficienților Fourier prin această metodă rămîne destul de laborios în ciuda simplificărilor introduse.

În cazul în care analiza armonică nu sã satisfacă, se pot utiliza metode compacte [72] care utilizează calculul operațional sau permit calcularea pentru mărimea (funcția) periodică nesinusoidală a unei sinusoidे echivalente.

În final, față de cele prezentate se impun cîteva considerații:

a) Metoda dezvoltării în serie Fourier este corectă în măsura în care numărul de termeni ales este suficient; teoretic pentru a prezenta perfect funcția $f(t)$ ar trebui să se ia o infinitate de termeni ai dezvoltării, practic în toate cazurile însă este suficient un număr finit. Se poate demonstra faptul că erorile cele mai mari datorate neglijării termenilor de ordin superior se întâlnesc în jurul punctelor de discontinuitate (efectul Gibbs). Rezultă deci, că procedeul se poate utiliza doar atunci când un număr redus de termeni este suficient pentru o reprezentare corectă a funcției, deci termenii de la un anumit ordin în sus pot fi neglijabili, astfel metoda devine anevoioasă sau rezultatele sînt incorecte.

b) Pentru cazul analizat în prezenta lucrare, metoda adecvată de calcul a coeficienților termenilor dezvoltării în serie Fourier este metoda analitică prin integrare, deoarece permite o determinare exactă a acestora. Procedeul de calcul propus în [72] așa cum rezultă și din relațiile (2.13) nu permite determinarea coeficienților armonicii fundamentale, iar cel din [5,6] nu se poate aplica pentru funcții definite de arce de sinusoidă a căror perioadă este 2π . Folosirea metodei Thouson-Funge nu se justifică, deoarece volumul de calcul necesar este mare, relațiile obținute sînt aproximative și rezultatele sînt afectate de erori.

2.2. Determinarea formei deundă a tensiunii rotorice în cazul considerării comutației ideale. Condiții initiale.

Principiul metodei de pornire propuse și analizate în continuare a fost prezentat în capitolul I.

În studiul și calculele care urmează se admit următoarele ipoteze:

a) se consideră momentul pornirii ($s=1$), atunci când frecvența fenomenelor electrice din circuitul rotorice este egală cu cea a tensiunii de alimentare a înfășurării statorice;

b) circuitul rotorice este simetric; drept urmare se va analiza doar una din faze (R); rezultatele obținute se vor considera valabile și pentru celelalte faze ;

c) elementele semiconductoare (tiristoare și diode) din circuitul de forță al redresorului sînt idealizate, considerîndu-se că au rezistența nulă în timpul conducției și infinită când

sînt blocate;

d) comutația se consideră ideală, instantanee.

În fig.2.2 este reprezentată schema electrică a circuitului rotoric a unui motor de inducție cu inele de contact avînd conectat circuitul de forță al unui redresor trifazat în punte semicomandat. În circuitul rotoric pe fiecare fază s-au simbolizat cu $u_{e.R.S.T}$ - tensiunile electromotoare induse, cu R_2 și L_2 rezistența și respectiv inductivitatea de dispersie a fazei înfășurării rotorice. S-au notat cu T tiristoarele și cu D - diodele circuitului de forță al redresorului, iar R reprezintă rezistența reostatului conectat la bornele de ieșire ale redresorului.

Considerînd că ventilele din circuitul de forță al redresorului acționează ca niște întreruptoare cu acțiune instantanee ale circuitului rotoric, se poate afirma că prin faza R curentul este deferit de zero în intervalele de timp în care se află în conducție unul din ventilele fazei R a redresorului împreună cu un ventil complementar (dăvidă față de tiristor și invers) de pe una din celelalte două faze, așa cum reiese din fig.2.2. există patru astfel de situații, fiecare-ia corespunzîndu-i un traseu al curentului.

Pentru fiecare din cele patru situații, circuitul prin care se închide curentul i_R este un circuit de tip RL pe care aplicînd $\int E \cdot dt$ se poate scrie ecuația circuitului:

$$u = R \cdot i + L \frac{di}{dt} \quad (2.17)$$

1) Pentru intervalul de timp în care conduc tiristorul T_R și dioda D_S curentul i_R se închide prin fazele R și S și aplicînd (2.17) rezultă:

$$u_{eR} - u_{eS} = i_R(2R_2 + R) + 2L_2 \frac{di_R}{dt} \quad (2.18)$$

2) Pentru intervalul de timp în care conduc tiristorul T_R și dioda D_T , curentul i_R se închide prin fazele R și T și aplicînd (2.17) rezultă:

$$u_{eR} - u_{eT} = i_R(2R_2 + R) + 2L_2 \frac{di_R}{dt} \quad (2.19)$$

3) Pentru intervalul de timp în care conduc tiristorul T_S și dioda D_R , curentul i_R se închide prin fazele S și R și aplicînd (2.17) rezultă:

$$u_{eR} - u_{eS} = i_R(2R_2 + R) + 2L_2 \frac{di_R}{dt} \quad (2.20)$$

Traseu	Simbol	Ventile cu conductie
1		T_R D_S
2		T_R D_T
3		T_S D_R
4		T_T D_R

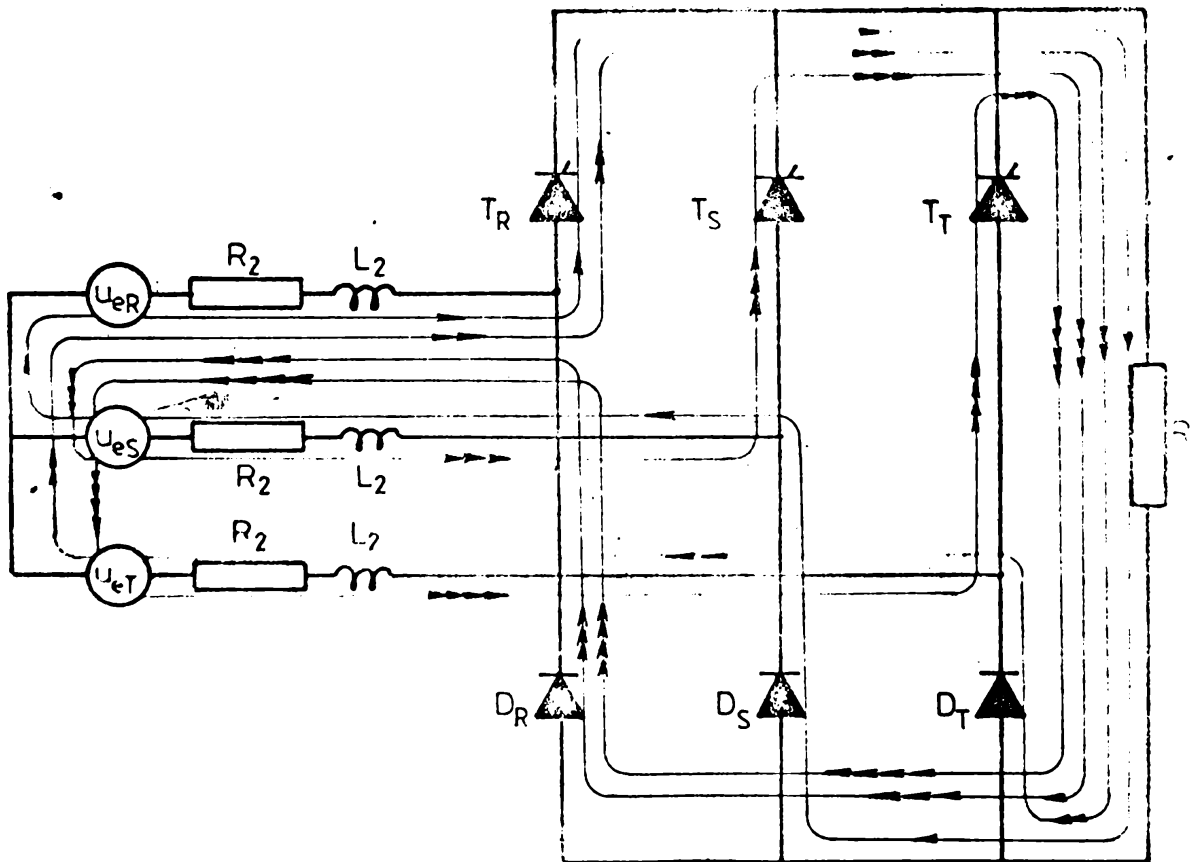


Fig. 2.2

$\frac{II}{E}$

4) Pentru intervalul de timp în care conduc tiristorul T_1 și dioda D_R curentul i_R se închide prin fazele T și R și aplicînd (2.17) rezultă:

$$u_{eR} - u_{eT} = i_R(2R_2 + R) + 2L_2 \frac{di_R}{dt} \quad (2.21)$$

În relațiile (2.18 - 2.21), $u_{eR, S, T}$ au expresiile:

$$\begin{aligned} u_{eR} &= 2 U_2 \sin \omega t \\ u_{eS} &= 2 U_2 \sin \left(\omega t - \frac{2\pi}{3} \right) \\ u_{eT} &= 2 U_2 \sin \left(\omega t - \frac{4\pi}{3} \right) \end{aligned} \quad (2.22)$$

unde $\omega = 2\pi f$, f fiind frecvența tensiunii rețelei de alimentare.

Trebuie făcută precizarea că deși tensiunile u_e sînt mărimi sinusoidale, întrucît intervalele de timp susmenționate sînt mai mici decît o perioadă, tensiunile din termenul stîng al relațiilor (2.18 - 2.21), reprezentate prin arce de sinusoidă dau pentru o perioadă $T = \omega/2\pi$ o funcție rezultantă alternativă nesinusoidală. Această tensiune $u(t)$ care reprezintă tensiunea de alimentare a fazei rotorice R se va denumi în continuare tensiune rotorică, definirea formei de variație a acestei tensiuni rotorice se va face în continuare avînd în vedere un caz general. Se consideră că prin procedee adecvate se poate realiza pentru tiristoarele punții, întîrzierea momentului intrării în conducție precum și grăbirea stingerii acestora. Pentru aprecierea cantitativă se notează cu α unghiul de întîrziere la aprindere și cu β unghiul de stingere forțată.

În mod teoretic, acceptat de teoria ideală a comutației, unghiul α poate lua valori între 0 și π . Domeniul de variație al lui α se divide în două:

$$\begin{aligned} 1) & 0 \leq \alpha \leq \frac{\pi}{3} \\ 2) & \frac{\pi}{3} \leq \alpha \leq \pi \end{aligned}$$

Pentru primul interval, există două situații distincte, funcție de valorile unghiurilor α și β .

$$\begin{aligned} \beta - \alpha &< \frac{\pi}{3} \\ \beta - \alpha &< \frac{\pi}{3} \end{aligned}$$

Rezultă pentru definirea formei de undă a tensiunii roto-

rice trei cazuri distincte:

- I) $0 \leq d \leq \frac{\pi}{3}$ și $\beta - d < \frac{\pi}{3}$
- II) $0 \leq d \leq \frac{\pi}{3}$ și $\beta - d > \frac{\pi}{3}$
- III) $\frac{\pi}{3} < d \leq \pi$

Fig.2.3 este explicativă pentru cazul I. S-au reprezentat tensiunile de fază (2.3.a) și tensiunea rotorică (2.3.b) ca funcții de (ωt) . Originea axei ωt s-a considerat în momentul trecerii prin zero în sens pozitiv a tensiunii u_{eP} . Ca origine a unghiului de întârziere la aprindere d s-a considerat momentul în care tiristorul ar intra în mod natural în conducție (corespunzător lui I_{Δ} rezultă $(\omega t = \frac{\pi}{6})$). Pentru unghiul de stingere forțată β s-a luat ca origine momentul încheierii perioadei de conducție pentru tiristor în absența grăbirii comutației (corespunzător pentru I_{Δ} rezultă $\omega t = \frac{2\pi}{6} + d$) și sensul de creștere invers cu sensul pozitiv al axei ωt . Pentru tiristoarele I_3 și I_1 aceste puncte se deplasează pe axa ωt cu $\frac{2\pi}{3}$ și respectiv $\frac{4\pi}{3}$.

Rezultă că pentru cazul (I) funcția $u(t)$ este definită o perioadă $[0, 2\pi]$ prin:

$$\begin{aligned}
 u(t) &= u_{RS} \quad \text{pt} \quad \omega t \in \left[\frac{\pi}{6} + d; \frac{\pi}{2} \right] \\
 u(t) &= u_{R1} \quad \text{pt} \quad \omega t \in \left[\frac{\pi}{2}; \frac{2\pi}{6} + d - \beta \right] \\
 u(t) &= u_{RS} \quad \text{pt} \quad \omega t \in \left[\frac{7\pi}{6}; \frac{3\pi}{2} + d - \beta \right] \\
 u(t) &= u_{R1} \quad \text{pt} \quad \omega t \in \left[\frac{3\pi}{2} + d; \frac{11\pi}{6} \right]
 \end{aligned}
 \tag{2.23}$$

În restul intervalului $[0, 2\pi]$ $u(t) = 0$.

În (2.23), ca și în general, u_{RS} și u_{R1} sînt date de relațiile:

$$\begin{aligned}
 u_{RS} &= u_{eR} - u_{eS} = U_2 \sqrt{6} \sin\left(\omega t + \frac{\pi}{6}\right) \\
 u_{R1} &= u_{eR} - u_{e1} = U_2 \sqrt{6} \sin\left(\omega t - \frac{\pi}{6}\right)
 \end{aligned}
 \tag{2.24}$$

Fig.2.4 este explicativă pentru cazul II. S-au reprezentat tensiunile de fază (2.4.a) și tensiunea rotorică (2.4.b). Se mențin aceleași convenții de notare și de reprezentare ca în fig.2.3.

Pentru cazul (II) funcția $u(t)$ este definită pe o perioadă

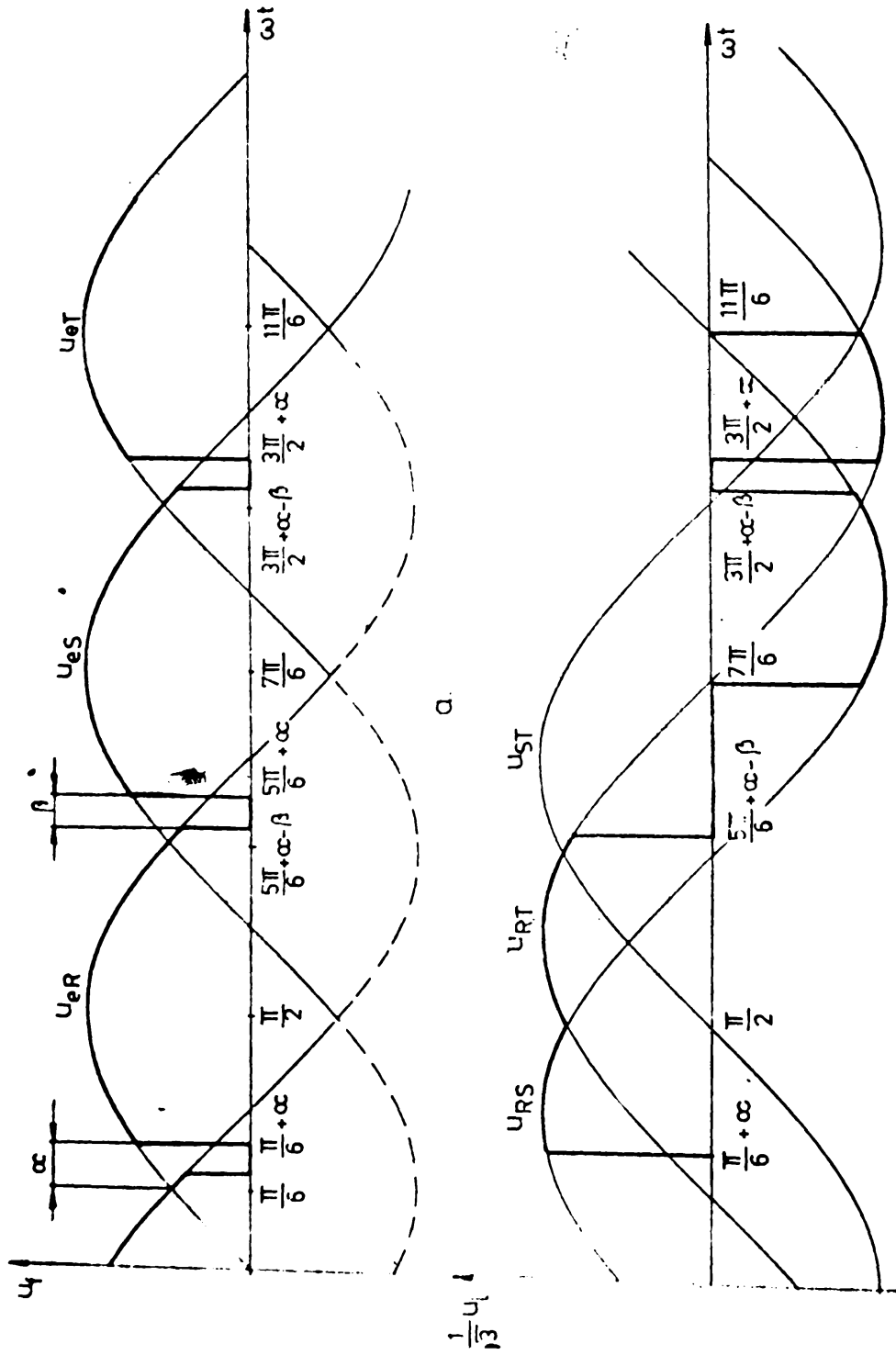
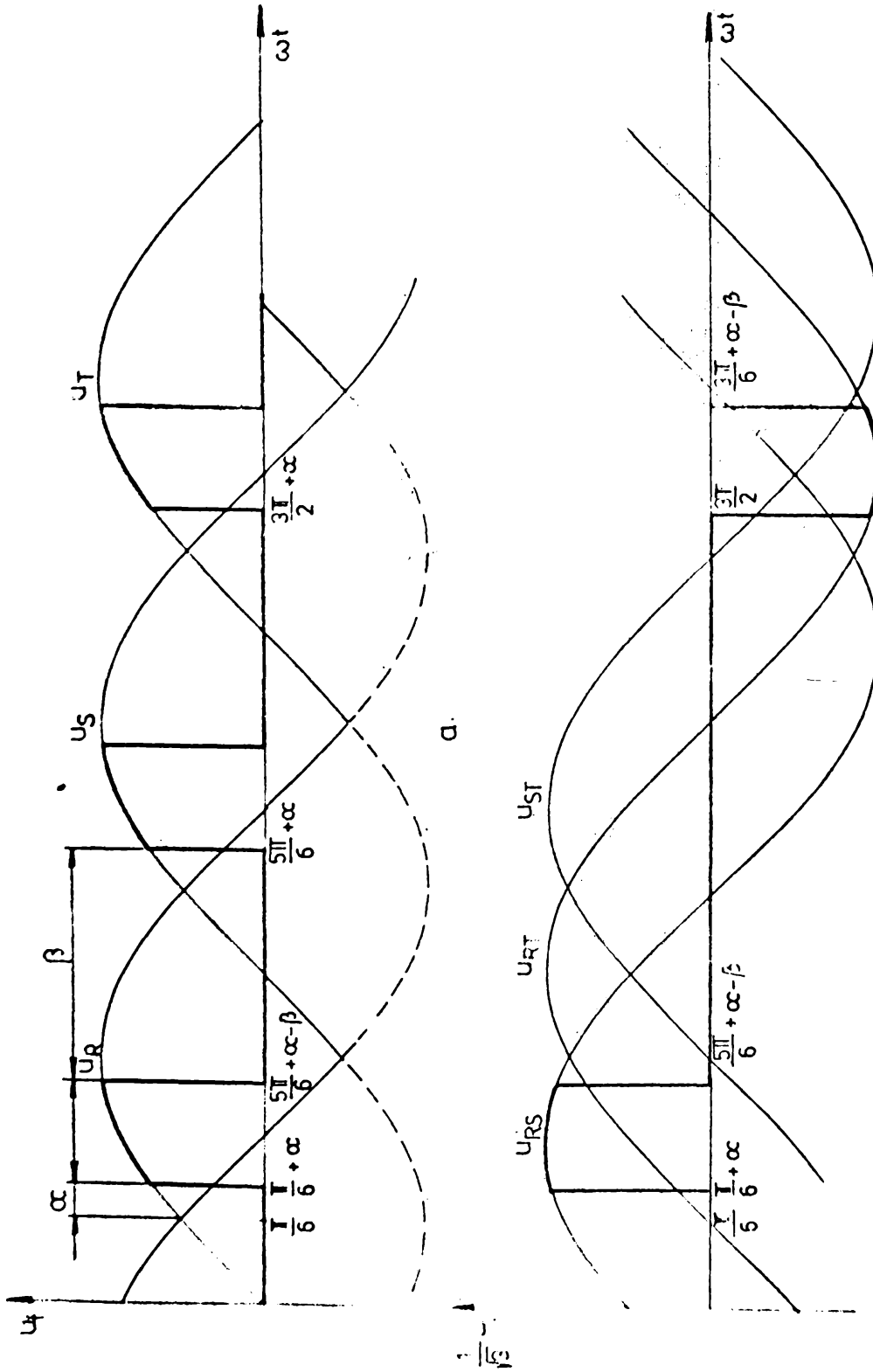


Fig. 2.3



b.
Fig. 2.4.

INSTITUTUL POLITEHNIC DE
TIMIȘOARA
BIBLIOTECA CENTRALĂ

dă $[0, 2\pi]$ prin:

$$u(t) = u_{RS} \quad \text{pt } \omega t \in \left[\frac{\pi}{6} + \alpha; \frac{5\pi}{6} + \alpha - \beta \right] \quad (2.25)$$

$$u(t) = u_{RT} \quad \text{pt } \omega t \in \left[\frac{3\pi}{2} + \alpha; \frac{13\pi}{6} + \alpha - \beta \right]$$

In restul domeniului $[0, 2\pi]$ $u(t) = 0$.

Fig.2.5 este explicativă pentru cazul III. Si aici s-au reprezentat tensiunile de fază (2.5.a) și tensiunea rotorică (2.5.b). In ceea ce privește convențiile de notare și reprezentare se modifică doar originea pentru unghiul β care devine pentru tiristorul T_R momentul corespunzător lui $\omega t = \frac{7\pi}{6}$.

Pentru cazul (III) funcția $u(t)$ este definită pe o perioadă $[0, 2\pi]$ prin:

$$u(t) = u_{RT} \quad \text{pt } \omega t \in \left[\frac{\pi}{6} + \alpha; \frac{7\pi}{6} - \beta \right] \quad (2.26)$$

$$u(t) = u_{RS} \quad \text{pt } \omega t \in \left[\frac{5\pi}{6} + \alpha; \frac{11\pi}{6} - \beta \right]$$

In restul domeniului $[0, 2\pi]$ $u(t) = 0$.

Funcția $u(t)$ definită prin relațiile (2.23), (2.25) și (2.26) este deci o funcție alternativă nesinusoidală. Analiza armonică a tensiunii rotorice se efectuează pentru cele trei cazuri enunțate anterior. In cadrul analizei armonice se calculează expresiile următorilor termeni din seria Fourier ca funcții de unghiurile α și β :

- termenul continuu a_0
- coeficientul termenului în sinus al fundamentalei a_1
- coeficientul termenului în cosinus al fundamentalei b_1
- coeficientul termenului general în sinus a_m ($m \neq 1$)
- coeficientul termenului general în cosinus b_m ($m \neq 1$)

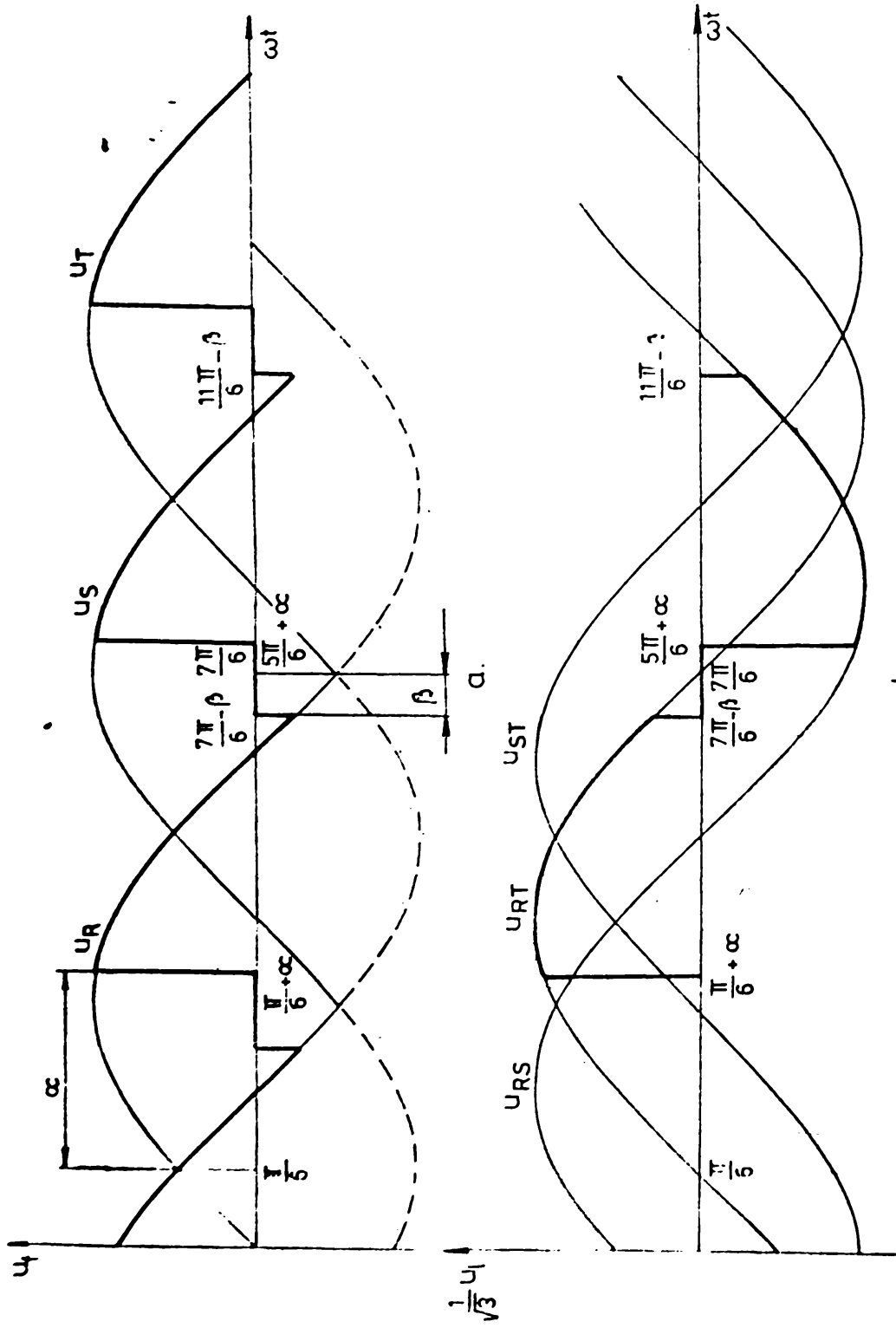
Din considerente de simplificare a calculului se introduc mărimi raportate conform relațiilor:

$$A_0 = \frac{a_0}{U_2 \sqrt{6}}; \quad A_1 = \frac{a_1}{U_2 \sqrt{6}}; \quad B_1 = \frac{b_1}{U_2 \sqrt{6}}; \quad A_m = \frac{a_m}{U_2 \sqrt{6}}; \quad B_m = \frac{b_m}{U_2 \sqrt{6}} \quad (2.27)$$

In aceste condiții relațiile de calcul pentru coeficienții dezvoltării în serie Fourier 1 sînt:

$$A_0 = \frac{1}{2\pi} \int_0^{2\pi} \frac{u(t)}{U_2 \sqrt{6}} d(\omega t) \quad (2.28)$$

$$A_1 = \frac{1}{\pi} \int_0^{2\pi} \frac{u(t)}{U_2 \sqrt{6}} \sin \omega t d(\omega t) \quad (2.29)$$



b. Fig. 2.5

$$B_1 = \frac{1}{\pi} \int_0^{2\pi} \frac{u(t)}{U_2 \sqrt{6}} \cos \omega t d(\omega t) \quad (2.30)$$

$$A_m = \frac{1}{\pi} \int_0^{2\pi} \frac{u(t)}{U_2 \sqrt{6}} \sin m \omega t d(\omega t) \quad (2.31)$$

$$B_m = \frac{1}{\pi} \int_0^{2\pi} \frac{u(t)}{U_2 \sqrt{6}} \cos m \omega t d(\omega t) \quad (2.32)$$

Calculul coeficienților Fourier este prezentat în anexa 1.

2.3. Expresiile coeficienților seriei Fourier a funcției u(t) în cazul (I)

Conform anexei I avem:

$$A_{0I} = 0.$$

$$A_{1I} = \frac{1}{\pi} \left[\frac{3}{4} + \frac{\pi \sqrt{3}}{3} - \frac{\beta \sqrt{3}}{3} + \frac{\sqrt{3}}{2} \cos(2\alpha - \beta) \sin\left(\frac{\pi}{3} - \beta\right) \right] \quad (2.33)$$

$$B_{1I} = -\frac{\sqrt{3}}{2} \sin(2\alpha - \beta) \sin\left(\frac{\pi}{3} - \beta\right) \quad (2.34)$$

- pentru armonici pare ($m = 2K \quad K=1,2,\dots$)

$$A_{mI} = \frac{2}{\pi} \left[\frac{1}{2K-1} \cos \frac{2K-1}{2} (\pi + 2\alpha - \beta) \cos \frac{2K-1}{2} \left(\frac{\pi}{3} - \beta\right) \sin \frac{K\pi}{3} - \frac{1}{2K+1} \cos \frac{2K+1}{2} (\pi + 2\alpha - \beta) \cos \frac{2K+1}{2} \left(\frac{\pi}{3} - \beta\right) \sin \frac{K\pi}{3} \right] \quad (2.35)$$

$$B_{mI} = \frac{1}{\pi} \left[\frac{(-1)^{k+1}}{4k^2-1} + \frac{(-1)^{k+1}}{2k-1} \cos \frac{2(k-1)\pi}{3} + \frac{(-1)^k}{2k+1} \cos \frac{2(k+1)\pi}{3} - \right.$$

$$\left. - \frac{2}{2k-1} \sin \frac{2k-1}{2} (\pi + 2\alpha - \beta) \cos \frac{2k-1}{2} \left(\beta - \frac{\pi}{3}\right) \sin \frac{k\pi}{3} + \right.$$

$$\left. + \frac{2}{2k+1} \sin \frac{2k+1}{2} (\pi + 2\alpha - \beta) \cos \frac{2k+1}{2} \left(\beta - \frac{\pi}{3}\right) \sin \frac{k\pi}{3} \right] \quad (2.36)$$

- pentru armonici impare ($m = 2k+1, \quad k = 1,2,\dots$)

$$A_{mI} = \frac{1}{\pi} \left[\frac{(-1)^{k+1}}{4k(k+1)} + \frac{(-1)^{k+1}}{2k} \cos \frac{2(k+1)\pi}{3} + \frac{(-1)^k}{2(k+1)} \cos \frac{2k\pi}{3} - \frac{1}{2k+1} \cos \frac{2k+1}{2} (\pi + 2\alpha - \beta) \cos \frac{2k+1}{2} \left(\frac{\pi}{3} - \beta\right) \sin \frac{k\pi}{3} \right] \quad (2.37)$$

$$B_{mI} = \frac{1}{\pi} \left[\frac{1}{k} \sin k (\pi + 2\alpha - \beta) \sin k \left(\frac{\pi}{3} - \beta\right) \sin \frac{(k-1)\pi}{3} + \frac{1}{k+1} \sin (k+1) (\pi + 2\alpha - \beta) \sin (k+1) \left(\frac{\pi}{3} - \beta\right) \sin \frac{\pi(k-1)}{3} \right] \quad (2.38)$$

2.4. Expresiile coeficientilor seriei Fourier a functiei u(t) în cazul (II)

Conform anexei I avem:

$$A_{0\text{ II}} = 0$$

$$A_{1\text{ II}} = \frac{1}{\pi} \left[\frac{\pi\sqrt{3}}{3} - \frac{\beta\sqrt{3}}{2} + \frac{\sqrt{3}}{2} \cos\left(\frac{\pi}{3} + 2\alpha - \beta\right) \cos\left(\frac{\pi}{6} - \beta\right) \right] \quad (2.39)$$

$$B_{1\text{ II}} = - \frac{\sqrt{3}}{2} \sin\left(\frac{\pi}{3} + 2\alpha - \beta\right) \cos\left(\frac{\pi}{6} - \beta\right) \quad (2.40)$$

$$A_{m\text{ II}} = \frac{2}{\pi} \left[\frac{1}{m-1} \sin \frac{m-1}{2} \left(\frac{2\pi}{3} - \beta\right) \cos \frac{m-1}{2} \left(\frac{7\pi}{3} + 2\alpha - \beta\right) \sin \frac{2m\pi}{3} + \frac{1}{m+1} \sin \frac{m+1}{2} \left(\frac{2\pi}{3} - \beta\right) \cos \frac{m+1}{2} \left(\frac{7\pi}{3} + 2\alpha - \beta\right) \sin \frac{2m\pi}{3} \right] \quad (2.41)$$

$$B_{m\text{ II}} = \frac{2}{\pi} \left[\frac{1}{m+1} \sin \frac{m+1}{2} \left(\frac{7\pi}{3} + 2\alpha - \beta\right) \sin \frac{m+1}{2} \left(\frac{2\pi}{3} - \beta\right) \sin \frac{2m\pi}{3} - \frac{1}{m-1} \sin \frac{m-1}{2} \left(\frac{7\pi}{3} + 2\alpha - \beta\right) \sin \frac{m-1}{2} \left(\frac{2\pi}{3} - \beta\right) \sin \frac{2m\pi}{3} \right] \quad (2.42)$$

2.5. Expresiile coeficientilor seriei Fourier a functiei u(t) în cazul (III)

Conform anexei I avem:

$$A_{0\text{ III}} = 0$$

$$A_{1\text{ III}} = \frac{\sqrt{3}}{2} \left[\pi - \beta - \alpha + \sin(\alpha + \beta) \cos(\alpha - \beta) \right] \quad (2.43)$$

$$B_{1\text{ III}} = - \frac{\sqrt{3}}{2} \sin(\alpha + \beta) \sin(\alpha - \beta) \quad (2.44)$$

- pentru armonici pare ($m=2k, k=1,2,\dots$)

$$A_{m\text{ III}} = \frac{2}{\pi} \left[\frac{(-1)^k}{2^{k-1}} \cos \frac{2k-1}{2} (\alpha + \beta) \cos \frac{2k-1}{2} (\alpha - \beta) \sin \frac{2k\pi}{3} + \frac{(-1)^{k+1}}{2^{k+1}} \cos \frac{2k+1}{2} (\alpha + \beta) \cos \frac{2k+1}{2} (\alpha - \beta) \sin \frac{2k\pi}{3} \right] \quad (2.45)$$

$$B_{m\text{ III}} = \frac{2}{\pi} \left[\frac{(-1)^k}{2^{k-1}} \cos \frac{2k-1}{2} (\alpha + \beta) \sin \frac{2k-1}{2} (\alpha - \beta) \sin \frac{2k\pi}{3} + \frac{(-1)^{k+1}}{2^{k+1}} \cos \frac{2k+1}{2} (\alpha + \beta) \sin \frac{2k+1}{2} (\alpha - \beta) \sin \frac{2k\pi}{3} \right] \quad (2.46)$$

- pentru armonici impare ($m=2k+1, k=1,2,\dots$)

$$A_{n \text{ III}} = \frac{1}{n} \left[\frac{(-1)^{k+1}}{k} \sin k(\alpha + \beta) \cos k(\alpha - \beta) \sin \frac{(2k+1)\pi}{3} + \frac{(-1)^k}{k+1} \sin(k+1)(\alpha + \beta) \cos(k+1)(\alpha - \beta) \sin \frac{(2k+1)\pi}{3} \right] \quad (2.47)$$

$$B_{n \text{ III}} = \frac{1}{n} \left[\frac{(-1)^k}{k} \sin k(\alpha + \beta) \sin k(\alpha - \beta) \sin \frac{(2k+1)\pi}{3} + \frac{(-1)^{k+1}}{k+1} \sin(k+1)(\alpha + \beta) \sin(k+1)(\alpha - \beta) \sin \frac{(2k+1)\pi}{3} \right] \quad (2.48)$$

2.6. Exempletu de calcul

Ca explicație s-a luat o parte a domeniului de variație a unghiului α și anume intervalul $\left[0; \frac{\pi}{3}\right]$. Același interval de valori s-a luat și pentru unghiul β .

S-au calculat expresiile analitice ale coeficienților termenilor în sinus și cosinus seriei Fourier a funcției $u(t)$ pentru armonici până la ordinul 5, (armonicile de ordinul 3 și 6 sînt nule).

Pentru domeniul ales de variație al unghiurilor α și β corespunzător cazurilor (I) și (II), au rezultat următoarele expresii ale coeficienților:

$$A_{1 \text{ I}} = \frac{\sqrt{3}}{2\pi} \left[\frac{\sqrt{3}}{2} + \frac{2\pi}{3} - \beta + \cos(2\alpha - \beta) \sin\left(\frac{\pi}{3} - \beta\right) \right] \quad (2.49)$$

$$A_{1 \text{ II}} = \frac{\sqrt{3}}{2\pi} \left[\frac{2\pi}{3} - \beta + \cos\left(\frac{\pi}{3} + 2\alpha - \beta\right) \sin\left(\frac{\pi}{3} + \beta\right) \right]$$

$$B_{1 \text{ I}} = -\frac{\sqrt{3}}{2\pi} \sin(2\alpha - \beta) \sin\left(\frac{\pi}{3} - \beta\right) \quad (2.50)$$

$$B_{1 \text{ II}} = -\frac{\sqrt{3}}{2\pi} \sin\left(\frac{\pi}{3} + 2\alpha - \beta\right) \sin\left(\frac{\pi}{3} + \beta\right)$$

$$A_{2 \text{ I}} = \frac{\sqrt{3}}{\pi} \left[-\sin\left(\alpha - \frac{\beta}{2}\right) \cos\left(\frac{\pi}{6} - \frac{\beta}{2}\right) - \frac{1}{3} \sin 3\left(\alpha - \frac{\beta}{2}\right) \sin \frac{3\beta}{2} \right] \quad (2.51)$$

$$A_{2 \text{ II}} = \frac{\sqrt{3}}{\pi} \left[\sin\left(\frac{\pi}{3} - \frac{\beta}{2}\right) \cos\left(\frac{\pi}{6} + \alpha - \frac{\beta}{2}\right) - \frac{1}{3} \sin 3\left(\alpha - \frac{\beta}{2}\right) \sin \frac{3\beta}{2} \right]$$

$$B_{2 \text{ I}} = \frac{\sqrt{3}}{\pi} \left[\frac{\sqrt{3}}{2} - \cos\left(\alpha - \frac{\beta}{2}\right) \cos\left(\frac{\pi}{6} - \frac{\beta}{2}\right) - \frac{1}{3} \cos 3\left(\alpha - \frac{\beta}{2}\right) \sin \frac{3\beta}{2} \right] \quad (2.53)$$

$$B_{2 \text{ II}} = -\frac{\sqrt{3}}{\pi} \left[\sin\left(\frac{\pi}{6} + \alpha - \frac{\beta}{2}\right) \sin\left(\frac{\pi}{3} - \frac{\beta}{2}\right) + \frac{1}{3} \cos 3\left(\alpha - \frac{\beta}{2}\right) \sin \frac{3\beta}{2} \right]$$

$$A_{4 \text{ I}} = \frac{\sqrt{3}}{6} \left[\frac{1}{3} \sin 3(\alpha - \frac{\beta}{2}) \sin \frac{3\beta}{2} - \frac{1}{3} \sin 5(\alpha - \frac{\beta}{2}) \cos(\frac{\pi}{6} + \frac{5\beta}{2}) \right] \quad (2.53)$$

$$A_{4 \text{ II}} = \frac{\sqrt{3}}{6} \left[\frac{1}{3} \sin 3(\alpha - \frac{\beta}{2}) \sin \frac{3\beta}{2} - \frac{1}{3} \cos 5(\frac{\pi}{6} - \alpha - \frac{\beta}{2}) \sin(\frac{2\pi}{3} - \frac{5\beta}{2}) \right]$$

$$B_{4 \text{ I}} = \frac{\sqrt{3}}{6} \left[\frac{\sqrt{3}}{10} - \frac{1}{3} \cos 3(\alpha - \frac{\beta}{2}) \sin \frac{3\beta}{2} - \frac{1}{3} \cos 5(\alpha - \frac{\beta}{2}) \cos(\frac{\pi}{6} + \frac{5\beta}{2}) \right]$$

$$B_{4 \text{ II}} = -\frac{\sqrt{3}}{6} \left[\frac{1}{3} \cos 3(\alpha - \frac{\beta}{2}) \sin \frac{3\beta}{2} + \frac{1}{3} \sin 5(\frac{\pi}{6} + \alpha - \frac{\beta}{2}) \sin(\frac{2\pi}{3} - \frac{5\beta}{2}) \right] \quad (2.54)$$

$$A_{5 \text{ I}} = -\frac{\sqrt{3}}{24} \left[\frac{\sqrt{3}}{4} + \frac{1}{2} \cos 2(2\alpha - \beta) \sin 2(\frac{\pi}{3} - \beta) + \frac{1}{3} \cos 3(2\alpha - \beta) \sin 3\beta \right] \quad (2.55)$$

$$A_{5 \text{ II}} = \frac{\sqrt{3}}{24} \left[\frac{1}{2} \cos 4(\frac{\pi}{6} + \alpha - \frac{\beta}{2}) \sin(\frac{\pi}{3} - 3\beta) - \frac{1}{3} \cos 6(\alpha - \frac{\beta}{2}) \sin 3\beta \right]$$

$$B_{5 \text{ I}} = \frac{\sqrt{3}}{24} \left[\frac{1}{2} \sin 2(2\alpha - \beta) \sin 2(\frac{\pi}{3} - \beta) - \frac{1}{3} \sin 3(2\alpha - \beta) \sin 3\beta \right] \quad (2.56)$$

$$B_{5 \text{ II}} = -\frac{\sqrt{3}}{24} \left[\frac{1}{2} \sin 4(\frac{\pi}{6} + \alpha - \frac{\beta}{2}) \sin(\frac{\pi}{3} - 2\alpha) + \frac{1}{3} \sin 6(\alpha - \frac{\beta}{2}) \sin 3\beta \right]$$

Valorile coeficienților armonicilor C_n sînt:

$$C_n = \sqrt{A_n^2 + B_n^2} \quad (2.57)$$

iar conținutul în armonici, caracterizat cantitativ prin coeficientul ϵ_n este

$$\epsilon_n = \frac{C_n}{C_1} \quad (2.58)$$

Rezultatele obținute pentru o serie de valori ale lui α și β sînt prezentate în tabelul 2.1.

2.7. Concluzii

Importanța analizei armonice a formei de undă a tensiunii rotorice rezidă în special în concluziile ce se pot trage privind conținutul de armonici de tensiune pe fazale în funcția rotorice, ale modului, în care valorile armonicilor sînt dependente de măsurările de contact ale tiristoarelor punții.

Metoda utilizată este mai laborioasă decît o analiză cu ordinatoar electronic, dar are o serie de avantaje:

- duce la obținerea unor expresii analitice pentru coeficienții termenilor în sinus, în cosinus și pentru modulul

Tabelul 2.1

	C ₁	C ₂	K ₂	C ₄	K ₄	C ₅	K ₅	
0	0	1,05482	0,00000	0,00000	0,00000	0,23673	0,125	
	10	1,04362	0,08323	0,080	0,08071	0,077	0,22436	0,215
	20	1,01068	0,16582	0,163	0,14631	0,144	0,18287	0,180
	30	0,95803	0,23881	0,250	0,18448	0,193	0,11936	0,125
	40	0,88919	0,32661	0,367	0,18809	0,211	0,04146	0,047
	50	0,80952	0,40357	0,500	0,15644	0,193	0,04146	0,051
10	0	0,97662	0,08666	0,089	0,01638	0,017	0,28767	0,294
	10	0,97662	0,08666	0,089	0,01631	0,017	0,28767	0,294
	20	0,95669	0,16785	0,175	0,05314	0,055	0,20047	0,209
	30	0,91807	0,25741	0,280	0,11960	0,130	0,12406	0,135
	40	0,86331	0,34215	0,396	0,17553	0,203	0,11289	0,131
	50	0,79647	0,41789	0,525	0,19069	0,239	0,04877	0,061
20	0	0,88844	0,17632	0,198	0,03149	0,035	0,26378	0,297
	10	0,89705	0,1325	0,148	0,01554	0,017	0,33468	0,373
	20	0,88844	0,17632	0,198	0,03149	0,035	0,26378	0,297
	30	0,86315	0,26266	0,304	0,08051	0,093	0,12179	0,141
	40	0,82288	0,35211	0,423	0,13906	0,169	0,12086	0,147
	50	0,77065	0,43414	0,563	0,18121	0,235	0,12492	0,182
30	0	0,79411	0,26337	0,332	0,11995	0,151	0,17942	0,226
	10	0,80783	0,19569	0,242	0,04588	0,057	0,31115	0,385
	20	0,80783	0,19569	0,242	0,04588	0,057	0,31115	0,385
	30	0,79411	0,26337	0,332	0,11995	0,151	0,17942	0,226
	40	0,76764	0,35272	0,460	0,15569	0,203	0,07410	0,096
	50	0,73046	0,43743	0,600	0,16287	0,223	0,13310	0,182
40	0	0,68574	0,50657	0,739	0,18193	0,265	0,09189	0,134
	0	0,69849	0,34247	0,490	0,20766	0,297	0,07371	0,105
	10	0,71296	0,26130	0,366	0,13391	0,188	0,14344	0,201
	20	0,71792	0,22464	0,313	0,00722	0,030	0,20345	0,283
	30	0,71296	0,26130	0,366	0,13391	0,188	0,20380	0,286
	40	0,69849	0,34247	0,490	0,20766	0,297	0,14411	0,206
50	0,67572	0,43069	0,637	0,19756	0,292	0,10480	0,155	
	60	0,64670	0,50688	0,784	0,15706	0,243	0,10832	0,168

	C_1	C_2	K_2	C_4	K_4	C_5	K_5	
	0	0,60740	0,40898	0,673	0,25345	0,417	0,07514	0,124
	10	0,61744	0,32177	0,521	0,22209	0,360	0,14303	0,232
	20	0,62272	0,25874	0,415	0,08828	0,142	0,20357	0,327
	30	0,62272	0,25874	0,415	0,08938	0,143	0,20357	0,327
50	40	0,61744	0,32177	0,521	0,22209	0,360	0,14303	0,232
	50	0,60740	0,40898	0,673	0,25345	0,417	0,07514	0,124
	60	0,59360	0,49201	0,829	0,16498	0,312	0,06876	0,116
	0	0,52741	0,45944	0,871	0,23891	0,453	0,11937	0,226
	10	0,52741	0,37211	0,705	0,26820	0,508	0,11937	0,226
	20	0,52741	0,29269	0,555	0,17651	0,335	0,11937	0,226
	30	0,52741	0,25764	0,488	0,02198	0,042	0,11937	0,226
60	40	0,52741	0,29269	0,555	0,17651	0,335	0,11937	0,226
	50	0,52741	0,37211	0,705	0,26820	0,508	0,11937	0,226
	60	0,52741	0,45944	0,871	0,23891	0,453	0,11937	0,226
	0	0,45003	0,40898	0,909	0,25345	0,563	0,16898	0,375
	10	0,45003	0,40898	0,909	0,25345	0,563	0,16898	0,375
	20	0,43939	0,32177	0,732	0,22209	0,505	0,09594	0,218
	30	0,43223	0,25874	0,597	0,08938	0,207	0,03594	0,083
70	40	0,43223	0,25874	0,597	0,08938	0,207	0,03594	0,083
	50	0,43939	0,32177	0,732	0,22209	0,505	0,09594	0,218
	60	0,45003	0,40898	0,909	0,25345	0,563	0,16898	0,375

armonicilor în funcție de α și β , permițând un studiu amănunțit a acestor funcții;

- calculul pe baza acestor relații obținute duce la rezultate exacte neintervenind aproximări.

- în cazul în care acest lucru se impune, cu relațiile obținute se pot calcula intervalele de variație ale unghiurilor de comandă ale tiristoarelor în care conținutul în armonici superioare este redus sau chiar în care se pot elimina anumite armonici.

Abordarea analizei armonice în această manieră a permis delimitarea exactă a domeniilor de variație a unghiurilor α și β pentru care sînt valabile anumite relații de calcul ale coeficienților armonici, în acest sens se menționează delimitarea cazurilor (I) și (II) în premieră.

Corectitudinea analizei făcute este certificată de faptul că în punctele comune de limită între domenii relațiile de calcul pentru cazul (I) și (II) și respectiv (III) au condus la același rezultat.

CAPITOLUL III

DETERMINAREA EXPRESIILOR ARMONICII FUNDAMENTALE A TENSIUNII ROTORICE IN CONDITIILE CONSIDERARII COMUTATIEI REALE

3.1. Probleme generale

In capitolul precedent pentru simplificarea calculelor s-a considerat așa numita teorie "ideală" a comutației [62,63]. In această teorie s-a presupus că elementele semiconductoare din schemă nu au rezistență proprie, că forma și valoarea curenților ce circulă prin mutator sînt determinate de forma și valoarea ce o au tensiunile de alimentare a mutatorului; alimentarea mutatorului făcîndu-se în general de la un transformator de rețea, caz căruia poate să i se asimileze și "alimentarea" de la rotorul imobil al motorului asincron în momentul pornirii. In această situație teoria ideală a comutației consideră că procesul de comutație are loc în salt, într-un timp extrem de scurt, adică practic comutația este instantanee. În crurile nu pot fi considerate totdeauna ca decurgînd astfel, uneori introducîndu-se erori prea mari.

In cele ce urmează se consideră ca bază pentru calcul teoria convențională a comutației mutatoarelor.

3.2. Procesul comutației reale la dispozitivele cu semiconductoare

In teoria mașinilor electrice, noțiunea de comutație se utilizează pentru a denumi procesul de trecere a unei bobine dintr-o cale de înfășurare în alta, respectiv de trecere a curentului de la valoarea $+i_a$ la valoarea $-i_a$ [22,64,38].

In electronica de putere se numește comutație trecerea curentului din latura de circuit care conține ventilul semiconductor care a condus pînă în acel moment, în latura de circuit care conține ventilul semiconductor care intră în stare de conducție [33,41,62,63]. In intervalul de timp cît durează comutația, curentul circulă prin ambele laturi, adică ambele ventile sînt în conducție.

In stare de conducție pe ventilele reale există o cădere de tensiune care nu depinde linear de valoarea curentului de

sarcină. Aceasta are în general o valoare redusă, la tiristoare fiind de cca.1,3 V. De asemenea în stare blocată prin elementul semiconductor circulă un curent de valoare foarte mică numit curent rezidual.

Trebuie luată în considerare la analiza procesului de comutație și prezența transformatorului de rețea, care are inductivități de dispersie și pierderi pe rezistențele de fază. Pornind de la aceste elemente se poate reprezenta o schemă echivalentă a circuitelor în timpul procesului de comutație (fig.3.1). Cele două laturi ale circuitului din

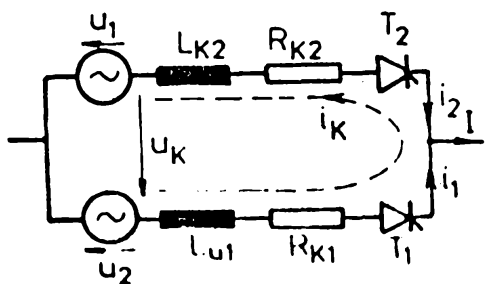


Fig.3.1

rele T_1 și T_2 .

Dacă u_k este o tensiune provenită de la rețea atunci comutația este naturală. Condiția necesară pentru a avea comutație naturală este ca valoarea momentană a tensiunii din ramura ventilului care trebuie să preia curentul să fie mai mare ca valoarea instantanee a tensiunii din ramura ventilului prin care a trecut curent pînă în acel moment.

În momentul cînd această condiție este îndeplinită ($u_2 > u_1$) tiristorul T_2 intră în conducție, fără ca simultan să se anuleze curentul i_1 prin tiristorul T_1 . Tensiunea de comutație $u_k = u_2 - u_1$, face ca să apară un curent de circulație în terioară numit curent de comutație i_k , (fig.3.1), astfel încît pe durata comutației, t_k (fig.3.2) se poate scrie relația

$$i_1 + i_2 = I \quad (3.1)$$

Efectuînd $\int E dt$ pe circuitul de comutație se poate scrie ecuația tensiunilor circuitului:

fig.3.1 reprezintă două faze ale unui transformator de rețea inseriate cu ventilele respective între care are loc procesul de comutație. Au fost figurate tensiunile de fază u_1 și u_2 , inductivitățile de dispersie L_{k1} și L_{k2} și rezistențele R_{k1} și R_{k2} ale fazelor secundarului transformatorului de rețea precum și tiristos-

$$u_k = L_{k2} \frac{di_2}{dt} - L_{k1} \frac{di_1}{dt} + R_{k2} i_2 - R_{k1} i_1 \quad (3.2)$$

Datorită acestui fenomen de suprapunere pe intervalul de timp t_k tensiunea medie redresată este mai mică [62,63].

Ea are valoarea (fig.3.3)

$$u = \frac{1}{2} (u_1 + u_2) \quad (3.3)$$

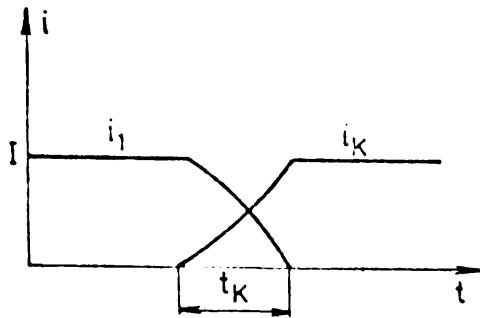


Fig.3.2

Se poate considera în marea majoritate a cazurilor că influența rezistențelor R_k asupra procesului de comutație rămâne în general neînsemnată [33,41,62,63]

În aceste condiții ecuația (3.2) se poate scrie:

$$u_k = L_{k2} \frac{di_2}{dt} - L_{k1} \frac{di_1}{dt} \quad (3.2')$$

Pentru a calcula suprafața corespunzătoare intervalului

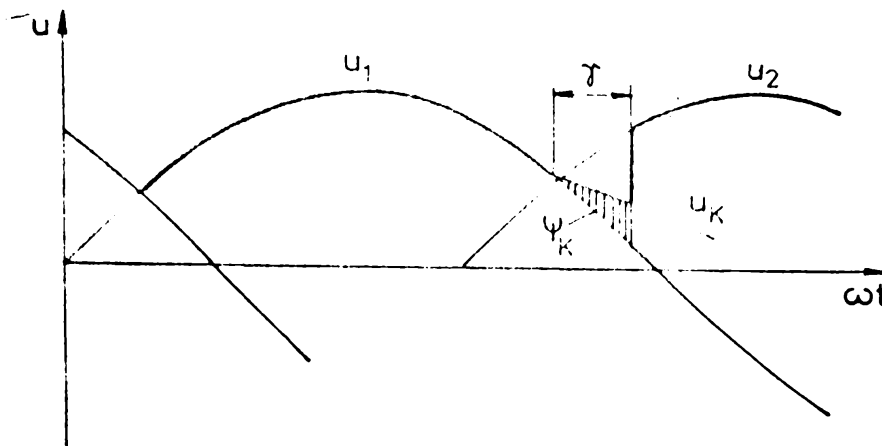


Fig.3.3

de suprapunere anodică, Ψ_k , se definește unghiul de suprapunere anodică $\gamma = \omega \cdot t_k$; Ψ_k se calculează cu relația:

$$\Psi_k = \int_{\alpha}^{\alpha+\gamma} u_k d\omega t = u_{sc} \frac{I}{I_n} U \quad (3.4)$$

și rezultă următoarea relație de definire a unghiului γ

$$\cos \alpha - \cos(\alpha + \gamma) = k_{sc} \cdot u_{sc} \frac{I}{I_n} \quad (3.5)$$

unde:

k_{sc} - este un coeficient care ține cont de tipul redresorului, pentru un redresor trifazat în punte $k_{sc}=1$.

u_{sc} - este tensiunea nominală de scurtcircuit exprimată

in procente.

I și I_n sînt curentul de sarcină, respectiv curentul nominal de sarcină.

In cazul particular al redresorului necomandat relația

(3.5) devine:

$$1 - \cos \gamma_0 = k_{sc} \cdot u_{sc} \frac{1}{I_{sc}} \quad (3.5')$$

Cu ajutorul relației (3.5) se poate exprima γ , sub forma $\gamma = f(\alpha, k)$ unde prin k s-a notat termenul drept al relației (3.5) care pentru un anumit redresor și un anumit transformator depinde doar de curentul de sarcină și prin urmare (3.5) devine:

$$\cos \alpha - \cos(\alpha + \beta) = k$$

Se face schimbarea de variabilă:

$$\sin \gamma = \frac{2t}{1+t^2} \quad (3.6)$$

$$\cos \gamma = \frac{1-t^2}{1+t^2}$$

unde:

$$t = \operatorname{tg} \frac{\gamma}{2}$$

Inlocuind în (3.5) și efectuînd adunarea termenilor se obține în final:

$$t^2(2 \cos \alpha - k) + 2t \sin \alpha - k = 0 \quad (3.7)$$

cu soluția:

$$t_{1,2} = \frac{-\sin \alpha \pm \sqrt{\sin^2 \alpha + 2k \cos \alpha - k^2}}{2 \cos \alpha - k} \quad (3.8)$$

Din condiția evidentă ca la $k=0$, $\gamma=0$ rezultă că în feța radicalului se păstrează doar semnul "+"

In mod similar din (3.5') sau prin particularizarea relației (3.8) rezultă:

$$\gamma_0 = \arccos(1 - k) \quad (3.9)$$

Pentru calculele următoare prezintă un deosebit interes cunoașterea valorilor pe care le obțin unghiurile γ și γ_0 pentru diferite valori ale unghiului α și ale curentului de sarcină I .

Pentru determinarea valorilor unghiurilor γ și γ_0 s-au stabilit domeniile de variație ale lui α și k , cele mai largi practic posibile.

Intrucît s-a considerat

$$k = k_{sc} u_{sc} \frac{I}{I_n}$$

s-a căutat să se determine limitele între care variază k . În mod cert limita inferioară este 0 cînd $I=0$ și în această situație fenomenul de suprapunere nu se manifestă ($\gamma, \gamma_0=0$).

Limita superioară a valorilor lui k se poate considera cînd $I=I_{sc n}$, în cazul considerat acesta fiind curentul de pornire în sarcină nominală la conectarea directă la rețea I_{pn} .

Cum termenul $u_{scn} \cdot I_{scn} / I_n$ [22,38,64] are valoarea 1 și întrucît k_{sc} pentru redresoare semicomandate în punte trifazică este egal cu 1, valoarea maximă a lui k este 1.

În cele afirmate pînă aici s-a considerat că la funcționarea mutatorului cu comutație naturală, în afara intervalului de comutație pe fiecare din cele două subansamble ale punții (comandat și necomandat) conduce un singur ventil, iar în timpul procesului de comutație intră în conducție și al doilea ventil.

Această situație este valabilă atunci cînd curenții de sarcină au valori pînă la ordinul de mărime al curentului nominal. În cazul în care curenții de sarcină trec mult de această valoare tinzînd către regimul de scurtcircuit unghiul de suprapunere crește mult, apărînd așa numita comutație multiplă [62,63] la care iau parte mai mult de două ventile. În general însă, comutația multiplă nu apare decît la curenți foarte mari sau la mutatoare cu număr mare de pulsuri ($p \geq 12$) iar în cazul concret tratat în lucrare se propune, prin însăși metoda de pornire folosită, limitarea curentului la valori maxime de cca $(2 - 3)I_n$, pentru care de fapt se elaborează metoda.

Conform [22,38,64] valorile uzuale ale tensiunii nominale de scurtcircuit ale mașinilor electrice asincrone trifazate sînt de cca 15-20 %. În conformitate cu cele afirmate mai sus, valorile maxime pe care le poate lua constanta k sînt de (0,5-0,6).

În ceea ce privește valoarea maximă pe care o poate lua unghiul de comandă α se consideră [33,41,62,63] că limita de 180° este pur teoretică și poate fi atinsă doar la comutația ideală.

Luind in considerare atat durata comutației naturale cît și timpul de blocare și de revenire al tiristoarelor se poate lua ca valoare maximă pentru α unghiul de 150° .

Folosind relația (3.8') s-au calculat valorile unghiului de comutație γ în funcție de α și k .

Calculul a fost făcut cu programul ALF elaborat și rulat pe un ordinator ILLIAC C-256.

Rezultatele calculului sînt prezentate în tabelul 3.1.

Valorile unghiului γ_0 , unghiul de comutație al diodelor din partea necomandată a redresorului sînt obținute pentru $\alpha = 0$.

Din studierea rezultatelor calculului făcut rezultă o serie de concluzii:

1. Valorile lui γ_0 sînt sensibil mai mari decît valorile lui γ .

2. Valorile unghiului sînt mai mici și practic au o variație redusă în domeniul uzual de variație al unghiului de comandă ($30^\circ - 120^\circ$).

3. Valorile unghiului γ pentru aceeași valoare a lui cresc cu creșterea valorii lui k .

4. În orice caz, valorile lui γ și γ_0 nu pot fi neglijate și în consecință în paragraful următor se vor recalcula valorile componentei armonice principale din dezvoltarea în serie Fourier a tensiunii u_a , cu considerarea comutației reale.

3.3. Stabilirea formei și a intervalelor de variație a tensiunii u_p la un redresor trifazat semicomandat în cazul considerării comutației reale.

Se consideră faza R a înfășurării rotorice a unui motor asincron cu inele, în cazul în care la bornele înfășurării rotorice este conectat un redresor trifazat în punte semicomandată (RFS). Admitem cazul comutației naturale, fără stingere forțată din următoarele considerente: pentru scopul urmărit, asigurarea unei metode de pornire pentru motoare asincrone cu inele, nu se justifică complicarea schemei de comandă, prevăzîndu-se stingerea forțată a tiristoarelor care s-ar justifica dacă se urmărește îmbunătățirea factorului de putere al ansamblului mașină-redresor, ori pe durata relativ scurtă a pornirii acest lu-

Tabelul 3.1 $\gamma = f(\alpha, k)$

	0,1	0,2	0,3	0,4	0,5	0,6	0,7
0	25,89	36,89	45,57	53,13	60,00	66,45	72,54
5	21,33	32,23	40,88	48,40	55,25	61,66	67,78
10	17,77	26,30	36,73	44,21	51,00	57,37	63,45
15	15,01	25,01	33,25	40,53	47,23	53,53	59,58
20	12,91	22,29	30,23	37,34	43,91	50,14	56,13
25	11,26	20,06	27,68	34,58	41,03	47,2	53,09
30	18,24	25,53	32,23	38,53	44,57	50,44	56,21
35	9,01	16,75	23,72	30,22	36,39	42,34	48,16
40	8,24	15,52	22,22	28,53	34,57	40,44	46,21
45	7,62	14,53	20,98	27,11	33,04	38,85	44,59
50	7,12	13,72	19,95	25,95	31,73	37,57	43,28
55	6,73	13,06	19,12	25,00	30,78	36,51	41,69
60	6,42	12,54	18,46	24,26	30,00	35,74	41,53
65	6,18	12,14	17,96	23,7	29,44	35,21	41,10
70	5,99	11,83	17,59	23,32	29,09	34,95	40,98
75	5,86	11,63	17,36	23,12	28,96	34,95	41,18
80	5,78	11,51	17,26	23,08	29,05	35,23	44,62
85	5,74	11,48	17,29	23,23	29,38	35,85	45,79
90	5,74	11,54	17,46	23,57	30,00	36,87	44,43
95	5,79	11,69	17,78	24,15	30,96	38,4	46,92
100	5,88	11,94	18,27	25,00	32,35	40,68	50,88
105	6,03	12,31	18,97	26,2	34,36	44,18	58,5
110	6,23	12,82	19,94	27,9	37,35	50,4	61,4
115	6,51	13,51	21,27	30,35	42,31	56,63	67,5
120	6,87	14,43	23,13	34,16	60,00	62,4	69,7

cru nu are o importanță prea mare.

Principalele elemente care definesc funcționarea RTPS (fig.3.4) sînt cele care urmează:

Redresorul trifazat în punte semicomandat este realizat prin conectarea în serie a două mutatoare cu trei pulsuri: unul comandat, realizat cu tiristoarele T_R, T_S, T_T și unul necomandat cu diodele D_R, D_S, D_T .

Prin conectarea în serie a mai multor mutatoare se urmărește și reducerea puterii reactive de comandă. De asemenea întrucît în timpul funcționării schemei nu se urmărește trecerea mutatorului în regim de inverter, este justificată folosi-

rea RIPS în locul variantei complet comandate.

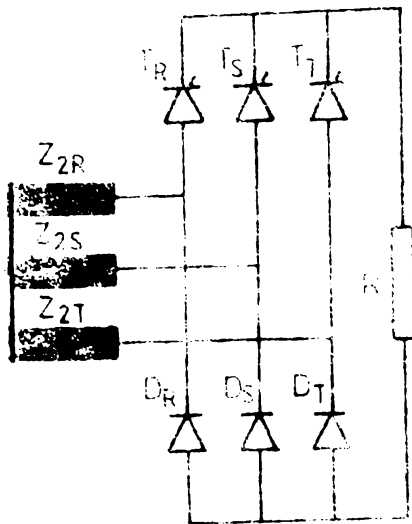


Fig. 3.4

diferența de potențial între fazele R și T se anulează. În acest moment datorită tensiunii induse corespunzătoare inductanțelor din circuit se va deschide dioda D_R care va conduce ca diodă de nul împreună cu tiristorul T_R până ce se comandă tiristorul T_S.

Tensiunea redresată este diferită de zero în afara intervalelor în care tiristorul și dioda de pe aceeași ramură a punții conduc ca o diodă de nul și este dată de diferența dintre tensiunile de pe fazele care au elemente în stare de conducție.

La un unghi de comandă $\alpha = 0$ forma de undă a tensiunii redresate corespunde celei de la un redresor hexafazat cu diode, iar pe măsură ce unghiul de comandă crește ea devine tot mai asimetrică.

Dacă se neglijează diferența dintre unghiurile de comutație la tiristoare și diode se poate considera că semiconductoarele din RIPS conduc curent în intervale de timp egale, deci sînt solicitate în mod egal.

În general redresoarele se concep cu comutație naturală, datorită sistemului de comandă utilizat și anume prin întârzierea la aprindere a tiristoarelor cu unghiul α , are loc o decalare a fundamentalei curentului din rețea față de tensiune ceea ce face ca mutatorul să preia din rețea putere reactiv-inductivă. El se comportă ca o sarcină complexă formată dintr-o rezistență și o inductivitate. Aceasta conduce la o

Pentru urmărirea funcționării schemei, se consideră momentul cînd la un unghi de comandă α intră în conducție tiristorul T_R. Pînă în acel moment dioda D_T și tiristorul T_T au lucrat ca o diodă de nul. În acest moment diodei D_T i se aplică tensiunea cea mai negativă, ea lucrînd în continuare ca diodă redresoare și conduce curent împreună cu tiristorul T_R pînă ce

înrautățire a factorului de putere al ansamblului mașină-eletrică-mutator și implicit al întregii rețele. O soluție pentru eliminarea acestui neajuns o reprezintă utilizarea comutației forțate mai precis a stingerii forțate care la o alegere potrivită a lui β (notația din cap.II pentru unghiul de stingere forțată) conduce la eliminarea defazajului între curentul și tensiunea pe o fază.

În cazul analizat în lucrare, la pornirea motorului asincron cu inele, mutatorul este în funcțiune numai în perioadele de pornire care chiar și în cazul unor utilaje cu conectări dese reprezintă doar câteva procente din timpul total de funcționare. În aceste condiții nu prezintă interes eventuala înrautățire a factorului de putere al rețelei pe timpul procesului de pornire ; contează momentul de pornire și curentul de pornire, mai precis menținerea lor în limite care să permită o pornire corespunzătoare.

Pentru studiul procesului de comutație la RAPS se împarte domeniul de variație al unghiului de comandă α în mai multe intervale, pe care desfășurarea procesului de comutație se poate considera aceeași.

Domeniul de variație al unghiului de comandă α este cuprins între limitele 0 și $\pi - \gamma$ [62,63] și se divide în două intervale.

$$A) 0 \leq \alpha \leq \frac{\pi}{3}$$

$$B) 0 \leq \alpha \leq \pi - \gamma$$

Pentru intervalul A există două cazuri:

I) În care comutația tiristoarelor și respectiv a diodelor se face distinct în timp și corespunde condiției:

$$\alpha + \gamma \leq \frac{\pi}{3}$$

II) În care comutația diodelor este întârziată de faptul că nu s-a terminat comutația tiristoarelor în momentul în care, în mod natural ar trebui să înceapă comutația diodelor și care corespunde condiției:

$$\alpha + \gamma \geq \frac{\pi}{3}$$

Pentru intervalul B există de asemenea două cazuri:

III) În care se suprapune un timp anume, comutația tiristoarelor cu comutația diodelor; acest proces de suprapunere este în general greu de definit în sensul de astabili care ventile intră mai întâi în comutație [62,63] și de aceea s-a

considerat o situație în care intră mai întâi în comutație diodele care au un timp de comutație mai lung, apoi tiristoarele comută suprapus cu diodele și întrucât ele au un timp de comutație mai mic ca al diodelor termină primele comutație ; pentru acest caz este valabilă condiția:

$$\frac{\pi}{3} \leq \alpha \leq \frac{\pi}{3} + \gamma_0 - \gamma$$

IV) În care din nou cele două perechi de ventile: tiristoare și respectiv diode comută separat și pentru care este valabilă condiția:

$$\frac{\pi}{3} + \gamma_0 - \gamma \leq \alpha \leq \pi - \gamma$$

În situația analizată în lucrare se poate considera că ventilele RIPS sînt pe post de întrerupătoare care închid pe rînd circuite formate din 2 faze ale înfășurării rotorice a mașinii asincrone, rezistența R și ramurile redresorului.

Analizînd intervalul de timp pe parcursul unei perioade în care circulă curent prin faza R a înfășurării rotorice, după modul în care sînt în conducție ventilele redresorului pot apare trei situații distincte:

- i) conduc două tiristoare în comutație și o diodă;
 - ii) conduc un tiristor și o diodă ;
 - iii) conduc un tiristor și două diode în comutație ;
- cu observația că unul din ventile este neapărat de pe faza R a RIPS.

Se aplică metoda teoremelor lui Kirckhoff în fiecare din aceste situații și rezultă în final ecuația tensiunilor pentru un circuit ce cuprinde faza R a înfășurării rotorice, rezistența R conectată la ieșirea RIPS, una din fazele S sau T ale înfășurării rotorice și ventilele în conducție, adică circuitul prin care se închide curentul i_R .

Se prezintă în continuare deducerea ecuațiilor tensiunilor pentru cele trei situații definite mai sus, luînd în considerare exemple concrete.

Pentru situația (i) se ia ca exemplu circuitul din fig. 3.5 în care comută tiristoarele de pe fazele R și T și se află în conducție dioda de pe faza S .

În fig. 3.5 s-au făcut următoarele notații:

- $u_{eR,S,T}$ - tensiunile electromotoare induse în fazele înfășurării rotorice ;
 R_2 - rezistența de fază a înfășurării rotorice ;

- $L_2 \sigma$ - inductivitatea de dispersie a unei faze a înfăşurării rôtorice ;
- R_1 - rezistenţa internă a tiristorului ;
- R_D - rezistenţa externă a unei diode.

In cazul reprezentat în fig.3.5 se consideră că tiristo-

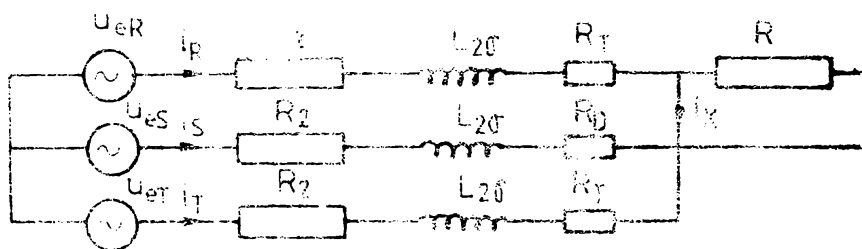


Fig.3.5

rul T_1 iese din conducţie şi comută cu tiristorul T_A care intră în conducţie, deci la $t=0$, $i_T = i$ şi $i_R=0$, iar la $t=t_k$ (timpul de comutaţie $t_k = \gamma/\omega$) $i_T=0$ şi $i_R=i$ unde:

i - curentul de sarcină prin rezistenţa R

i_k - curentul de comutaţie

Se consideră un timp intermediar $S \quad 0 < t < t_k$.

Conform primei teoreme a lui Kirchoff

$$i_R = i + i_k$$

sau

$$(3.10)$$

$$i_R + i_S + i_T = 0$$

unde $i_S = -i$

$$i_T = -i_k$$

$$(3.10')$$

Cu teorema II-a a lui Kirchoff se scriu ecuaţiile:

$$u_{eR} - u_{eS} = i_R(R_2 + R_1) + L_2 \sigma \frac{di_R}{dt} - i_S(R_2 + R_D) - L_2 \sigma \frac{di_S}{dt} + i R \quad (3.11)$$

$$u_{eR} - u_{eT} = i_R(R_2 + R_1) + L_2 \sigma \frac{di_R}{dt} - i_T(R_2 + R_1) - L_2 \sigma \frac{di_T}{dt} \quad (3.12)$$

Inlocuind pe (3.10) şi (3.10') în (3.11) şi (3.12) rezultă:

$$u_{eR} - u_{eS} = 2i \left(R_2 + \frac{R_1 + R_D}{2} \right) + 2L_2 \sigma \frac{di}{dt} + i_k(R_2 + R_1) + L_2 \sigma \frac{di_k}{dt} + i R \quad (3.11')$$

$$u_{eR} - u_{eT} = i(R_2 + R_1) + L_2 \sigma \frac{di}{dt} + 2i_k(R_2 + R_1) + 2L_2 \sigma \frac{di_k}{dt} \quad (3.12')$$

Din (3.12') rezultă

$$i_k (R_2 + R_T) + L_2 \sigma \frac{di_k}{dt} = \frac{1}{2}(u_{eR} - u_{eT}) - \frac{1}{2} \left[i(R_2 + R_T) + L_2 \sigma \frac{di}{dt} \right] \quad (3.12'')$$

Inlocuind în (3.11') pe (3.12'') rezultă ecuația tensiunilor pentru circuitul în care se închide curentul fazei R;

$$\frac{1}{2}(u_{eR} + u_{eT}) - u_{eS} = i \left(\frac{3}{2} R_2 + R_T + \frac{R_D}{2} + R \right) + \frac{3}{2} L_2 \sigma \frac{di}{dt} \quad (3.13)$$

Pentru situația (ii) se ia în considerare circuitul din fig. 3.6 în care se află în conducție tiristorul T_R și dioda D_S .

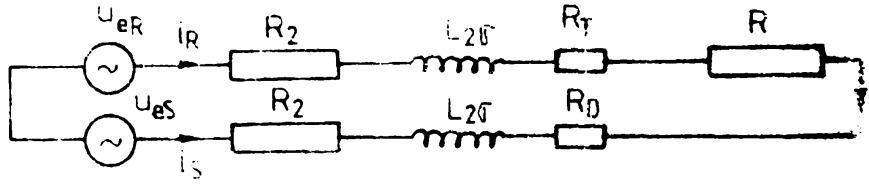


Fig. 3.6

Se păstrează aceleași notații ca în figura 3.5. Se scriu relațiile:

$$\begin{aligned} i_R &= i \\ i_S &= -i \end{aligned} \quad (3.14)$$

$$u_{eR} - u_{eS} = i (R_2 + R_T) + L_2 \sigma \frac{di_R}{dt} - i (R_2 + R_D) - L_2 \sigma \frac{di_S}{dt} + i \cdot R \quad (3.15)$$

Inlocuind pe (3.14) în (3.15) rezultă:

$$u_{eR} - u_{eS} = i(2R_2 + R_T + R_D + R) + 2L_2 \sigma \frac{di}{dt} \quad (3.16)$$

Pentru situația (iii) se ia în considerare circuitul din fig. 3.7, în care dioda D_S iese din conducție și comută cu dioda D_T care intră în conducție, deci la $t=0$, $i_S = -i$ și $i_T = 0$, iar la $t' = t'_k$ ($t'_k = \gamma_0 / \omega$) $i_S = 0$ și $i_T = -i$.

Se consideră un timp intermediar $0 < t' < t'_k$

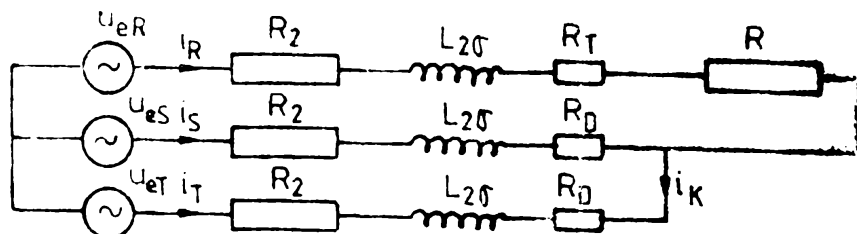


Fig. 3.7

Conform primei teoreme a lui Kirchoff

$$i_R + i_S + i_T = 0 \quad (3.17)$$

unde:

$$\begin{aligned} i_R &= i \\ i_S &= i_k - i \\ i_T &= -i_k \end{aligned} \quad (3.17')$$

Cu teorema II-a a lui Kirchoff se scriu relațiile:

$$u_{eR} - u_{eS} = i_R (R_2 + R_1) + L_2 \sigma \frac{di_R}{dt} - i_S (R_2 + R_D) - L_2 \sigma \frac{di_S}{dt} + R_1 i \quad (3.18)$$

$$u_{eS} - u_{eT} = i_S (R_2 + R_D) + L_2 \sigma \frac{di_S}{dt} - i_T (R_2 + R_D) - L_2 \sigma \frac{di_T}{dt} \quad (3.19)$$

Inlocuind pe (3.17') în (3.18) și (3.19) rezultă:

$$u_{eR} - u_{eS} = i(2R_2 + R_1 + R_D + R) + 2L_2 \sigma \frac{di}{dt} - i_k (R_2 + R_D) - L_2 \sigma \frac{di_k}{dt} \quad (3.18')$$

$$u_{eS} - u_{eT} = -i(R_2 + R_D) - L_2 \sigma \frac{di}{dt} - 2 i_k (R_2 + R_D) - 2L_2 \sigma \frac{di_k}{dt} \quad (3.19')$$

Din (3.19') rezultă:

$$-i_k (R_2 + R_D) - L_2 \sigma \frac{di_k}{dt} = \frac{1}{2} (u_{eS} - u_{eT}) - \frac{1}{2} \left[i(R_2 + R_D) + L_2 \sigma \frac{di}{dt} \right] \quad (3.19'')$$

Inlocuind pe (3.19'') în (3.18') rezultă:

$$u_{eR} - \frac{1}{2}(u_{eS} + u_{eT}) = i \left(\frac{3}{2}R_2 + R_1 + \frac{R_D}{2} + R \right) + \frac{3}{2} L_2 \sigma \frac{di}{dt} \quad (3.20)$$

Relațiile (3.13), (3.16) și (3.20) sînt forme tipice ale ecuației tensiunilor pentru circuitul în care circulează curentul pe fază R, acoperind toate situațiile posibile, bineînțeles cu notația corespunzătoare a indicilor mărimilor ce intervin.

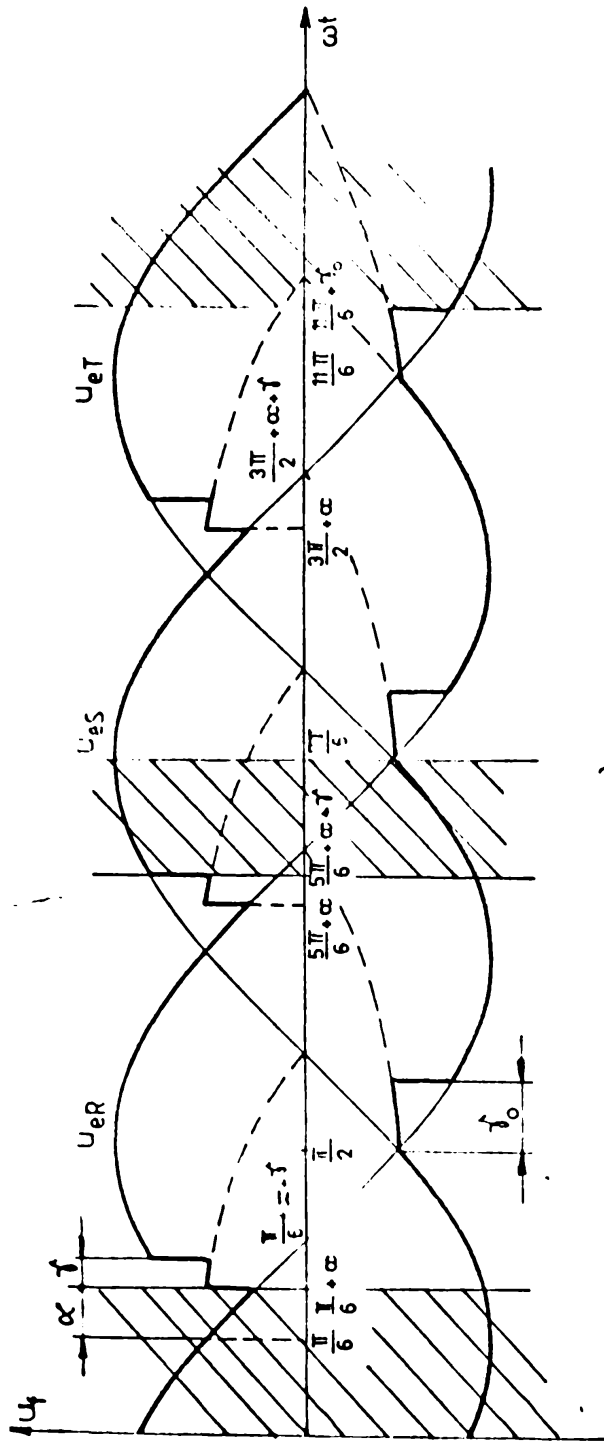
Membrul stîng al ecuației cuprinde o expresie care se consideră a fi tensiunea de alimentare a acestui circuit, notată în continuare cu $u(t)$, o tensiune alternativă nesinusoidală care pe o perioadă se compune din arce de sinusoidă sau are valoarea nulă.

În continuare aplicînd relațiile susmenționate se va defini funcția $u(t)$ pentru fiecare din cazurile (I-IV).

În cazul I (fig. 3.8) ventilele ambelor părți comută fără influențare reciprocă. Se observă că, de exemplu, tiristorul T_1 nu iese din conducție la momentul cînd $\omega t = \frac{\pi}{6} + \alpha$ și conduce împreună cu tiristorul T_R un interval γ , fapt ce se întîmplă și la comutația celorlalte tiristoare. Pe aceste intervale tensiunea de fază este egală cu semisuma tensiunilor de pe fazele celor două tiristoare în comutație.

Pe partea necomandată a punții diodele comută în intervalele de comutație γ_0 , în care de asemenea tensiunea de fază este egală cu semisuma tensiunilor de pe fazele celor două diode în comutație.

Spre exemplificare în fig. 3.9 este reprezentată tensiunea



a)

ωt	$\frac{\pi}{6} + \alpha$	$\frac{\pi}{6} + \alpha + \delta_0$	$\frac{\pi}{2}$	$\frac{\pi}{2} + \delta_0$	$\frac{5\pi}{6}$	$\frac{5\pi}{6} + \alpha$	$\frac{5\pi}{6} + \alpha + \delta_0$	$\frac{7\pi}{6}$	$\frac{7\pi}{6} + \delta_0$	$\frac{3\pi}{2}$	$\frac{3\pi}{2} + \alpha$	$\frac{3\pi}{2} + \alpha + \delta_0$	$\frac{11\pi}{6}$	$\frac{11\pi}{6} + \delta_0$
Ventile în conductie	T _T	T _R	T _R		T _T	T _R	T _T	T _S		T _T	T _S	T _T	T _R	T _T
	D	DS	DS	DT	DT	DT	DT	DT	DR	DR	DR	DR	DR	DS
Obs.	Comutatie tiristoare		Comutatie tiristoare		Comutatie tiristoare		Comutatie tiristoare	Comutatie tiristoare	Comutatie tiristoare	Comutatie tiristoare	Comutatie tiristoare	Comutatie tiristoare	Comutatie tiristoare	Comutatie diode

b)

Fig. 3.8

fazei R.

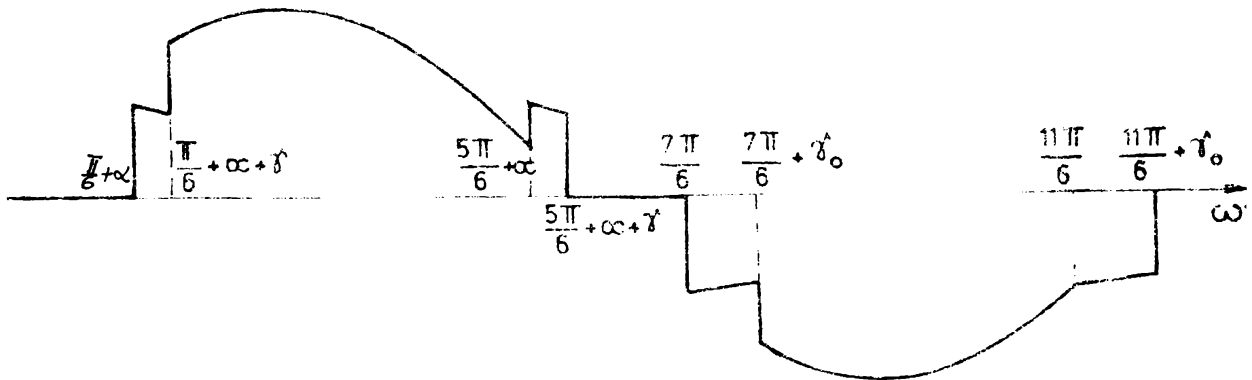


Fig. 3.9

Din figura 3.8 rezultă un număr de 10 intervale pe care funcția $u(t)$ este nenulă și pentru care se scriu ecuațiile următoare:

$$1) \frac{\pi}{6} + \alpha \leq \omega t \leq \frac{\pi}{6} + \alpha + \gamma$$

$$\frac{1}{2}(u_{eR} + u_{eT}) - u_{eS} = i \left(\frac{3}{2} R_2 + \frac{R_1}{2} + R_D + R \right) + \frac{3}{2} L_2 \sigma \frac{di}{dt} \quad (3.21)$$

$$2) \frac{\pi}{6} + \alpha + \gamma \leq \omega t \leq \frac{5\pi}{6}$$

$$u_{eR} - u_{eS} = i(2R_2 + R_1 + R_D + R) + 2L_2 \sigma \frac{di}{dt} \quad (3.22)$$

$$3) \frac{5\pi}{6} \leq \omega t \leq \frac{5\pi}{6} + \gamma_0$$

$$u_{eR} - \frac{1}{2}(u_{eS} + u_{eT}) = i \left(\frac{3}{2} R_2 + R_1 + \frac{R_D}{2} + R \right) + \frac{3}{2} L_2 \sigma \frac{di}{dt} \quad (3.23)$$

$$4) \frac{5\pi}{6} + \gamma_0 \leq \omega t \leq \frac{7\pi}{6} + \alpha$$

$$u_{eR} - u_{eT} = i(2R_2 + R_1 + R_D + R) + 2L_2 \sigma \frac{di}{dt} \quad (3.24)$$

$$5) \frac{7\pi}{6} + \alpha \leq \omega t \leq \frac{7\pi}{6} + \alpha + \gamma$$

$$\frac{1}{2}(u_{eR} + u_{eS}) - u_{eT} = i \left(\frac{3}{2} R_2 + \frac{R_1}{2} + R_D + R \right) + \frac{3}{2} L_2 \sigma \frac{di}{dt} \quad (3.25)$$

$$6) \frac{7\pi}{6} \leq \omega t \leq \frac{7\pi}{6} + \gamma_0$$

$$\frac{1}{2}(u_{eR} + u_{eT}) - u_{eS} = i \left(\frac{3}{2} R_2 + R_1 + \frac{R_D}{2} + R \right) + \frac{3}{2} L_2 \sigma \frac{di}{dt} \quad (3.26)$$

$$7) \frac{7\pi}{6} + \gamma_0 \leq \omega t \leq \frac{5\pi}{2} + \alpha$$

$$u_{eR} - u_{eS} = i(2R_2 + R_1 + n_D + n) + 2L_2 \sigma \frac{di}{dt} \quad (3.27)$$

$$8) \frac{3\pi}{2} + \alpha \leq \omega t < \frac{3\pi}{2} + \alpha + \gamma$$

$$u_{eR} - \frac{1}{2}(u_{eS} + u_{eT}) = i\left(\frac{3}{2}R_2 + \frac{n_D}{2} + R_1 + n\right) + \frac{3}{2}L_2 \sigma \frac{di}{dt} \quad (3.28)$$

$$9) \frac{3\pi}{2} + \alpha + \gamma \leq \omega t < \frac{11\pi}{6}$$

$$u_{eR} - u_{eT} = i(2R_2 + R_1 + n_D + n) + 2L_2 \sigma \frac{di}{dt} \quad (3.29)$$

$$10) \frac{11\pi}{6} \leq \omega t < \frac{11\pi}{6} + \gamma_0$$

$$\frac{1}{2}(u_{eR} + u_{eS}) - u_{eT} = i\left(\frac{3}{2}R_2 + R_1 + \frac{n_D}{2} + n\right) + \frac{3}{2}L_2 \sigma \frac{di}{dt} \quad (3.30)$$

Funcția $u(t)$ poate fi definită astfel:

<u>Intervalul de variație a lui ωt</u>	<u>Expresia funcției</u>
$0 - \frac{\pi}{6} + \alpha$	$u(t) = 0$
$\frac{\pi}{6} + \alpha \div \frac{\pi}{6} + \alpha + \gamma$	$u(t) = \frac{1}{2}(u_{eR} + u_{eT}) - u_{eS}$
$\frac{\pi}{6} + \alpha + \gamma \div \frac{\pi}{2}$	$u(t) = u_{eR} + u_{eS}$
$\frac{\pi}{2} \div \frac{\pi}{2} + \gamma_0$	$u(t) = u_{eR} - \frac{1}{2}(u_{eS} + u_{eT})$
$\frac{\pi}{2} + \gamma_0 \div \frac{5\pi}{6} + \alpha$	$u(t) = u_{eR} - u_{eT}$
$\frac{5\pi}{6} + \alpha \div \frac{5\pi}{6} + \alpha + \gamma$	$u(t) = \frac{1}{2}(u_{eR} + u_{eS}) - u_{eT}$
$\frac{5\pi}{6} + \alpha + \gamma \div \frac{7\pi}{6}$	$u(t) = 0$
$\frac{7\pi}{6} \div \frac{7\pi}{6} + \gamma_0$	$u(t) = \frac{1}{2}(u_{eR} + u_{eT}) - u_{eS}$
$\frac{7\pi}{6} + \gamma_0 \div \frac{3\pi}{2} + \alpha$	$u(t) = u_{eR} - u_{eS}$
$\frac{3\pi}{2} + \alpha \div \frac{3\pi}{2} + \alpha + \gamma$	$u(t) = u_{eR} - \frac{1}{2}(u_{eS} + u_{eT})$
$\frac{3\pi}{2} + \alpha + \gamma \div \frac{11\pi}{6}$	$u(t) = u_{eR} - u_{eT}$
$\frac{11\pi}{6} \div \frac{11\pi}{6} + \gamma_0$	$u(t) = \frac{1}{2}(u_{eR} + u_{eS}) - u_{eT}$
$\frac{11\pi}{6} + \gamma_0 \div 2\pi$	$u(t) = 0$

Coefficienții termenilor în sinus, respectiv cosinus ai

armonicilor fundamentale ai dezvoltării în serie Fourier ai funcției periodice $u(t)$ se calculează cu ajutorul relațiilor (2.29) și (2.30).

Conform anexei 2 rezultă pentru coeficienții susmenționați relațiile:

$$A_{1R I} = \frac{\sqrt{3}}{2\pi} \left(\frac{2\pi}{3} + \sin\left(\gamma_0 + \frac{\pi}{3}\right) \cos \gamma_0 + \cos(2\alpha + \gamma) \cos\left(\gamma - \frac{\pi}{6}\right) \right) \quad (3.31)$$

$$B_{1R I} = -\frac{\sqrt{3}}{2\pi} \left(\sin\left(\gamma_0 + \frac{\pi}{3}\right) \sin \gamma_0 + \sin(2\alpha + \gamma) \cos\left(\gamma - \frac{\pi}{6}\right) \right) \quad (3.32)$$

În cazul II (fig.3.10) diodele nu pot să înceapă procesul de comutație în momentul aprinderii naturale deoarece nu s-a încheiat procesul de comutație la tiristoare. Aceasta înseamnă că este încă în conducție tiristorul de pe aceeași ramură a punții ca și dioda care urma să intre în comutație și deci apare o întârziere spontană a momentului comutației diodelor. Luând ca exemplu comutația diodelor de fazele S și T care trebuia să înceapă la momentul corespunzător lui $\omega t = \pi/2$, atunci când tensiunea de pe faza S devine mai negativă, decât tensiunea fazei T, se observă (fig.3.10) că procesul de comutație începe cu întârziere, doar la $\omega t = \frac{\pi}{6} + \alpha + \gamma$, adică atunci când s-a încheiat comutația între tiristoarele de pe fazele T și R și deci tiristorul T_1 a ieșit din conducție. Această întârziere a comutației diodelor apare când:

$$\frac{\pi}{6} + \alpha + \gamma > \frac{\pi}{2} \quad (3.33)$$

deci

$$\alpha + \gamma > \frac{\pi}{3}$$

condiție ce definește cazul II.

În fig.3.11 este reprezentată curba tensiunii de fază u_R în cazul II.

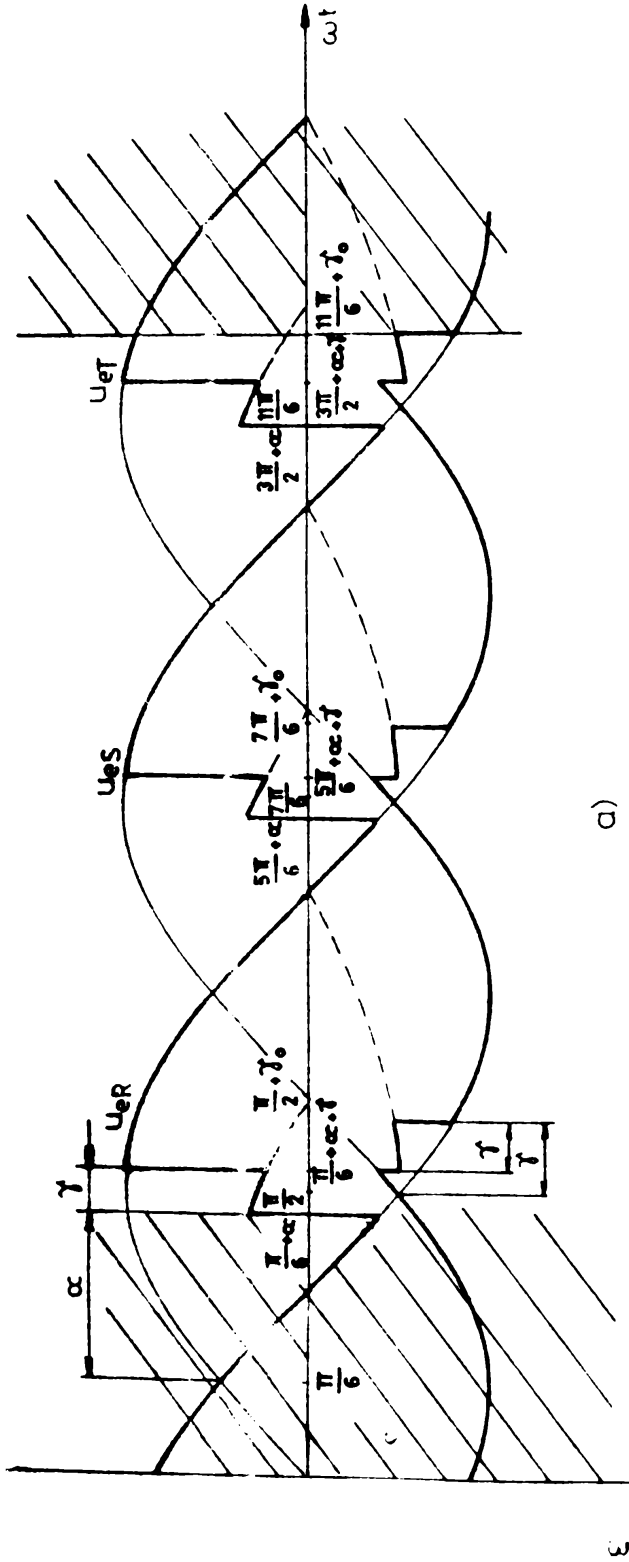
Conform fig.3.10 rezultă un număr de 6 intervale pe care funcția $u(t)$ este nenulă și pentru care se scriu ecuațiile:

$$1) \frac{\pi}{6} + \alpha \leq \omega t \leq \frac{\pi}{6} + \alpha + \gamma$$

$$\frac{1}{2}(u_{eR} + u_{eT}) - u_{eS} = i \left(\frac{3}{2} R_2 + \frac{R_1}{2} + R_D + R \right) + \frac{3}{2} L_2 \sigma \frac{di}{dt} \quad (3.34)$$

$$2) \frac{\pi}{6} + \alpha + \gamma \leq \omega t \leq \frac{\pi}{2} + \gamma_0$$

$$u_{eR} - \frac{1}{2}(u_{eS} + u_{eT}) = i \left(\frac{3}{2} R_2 + R_1 + \frac{R_D}{2} + R \right) + \frac{3}{2} L_2 \sigma \frac{di}{dt} \quad (3.35)$$



a)

ωt	$\frac{\pi}{6} + \alpha$	$\frac{\pi}{6} + \alpha + \gamma$	$\frac{\pi}{2} + \gamma_0$	$\frac{5\pi}{6} + \alpha$	$\frac{5\pi}{6} + \alpha + \gamma$	$\frac{7\pi}{6} + \gamma_0$	$\frac{3\pi}{2} + \alpha$	$\frac{3\pi}{2} + \alpha + \gamma$	$\frac{11\pi}{6} + \gamma_0$
Ventile in conductive	T _T , T _T	T _R	T _R , T _S	T _R , T _S	T _S	T _S , T _T	T _S , T _T	T _T	
	D _S , D _S	D _S , D _T	D _T	D _T , D _R	D _R	D _R , D _S	D _R , D _S		
Obs.	comutatie tiristoare	comutatie diode	comutatie tiristoare	comutatie diode	comutatie tiristoare	comutatie tiristoare	comutatie diode	comutatie diode	

b)

Fig. 3.10

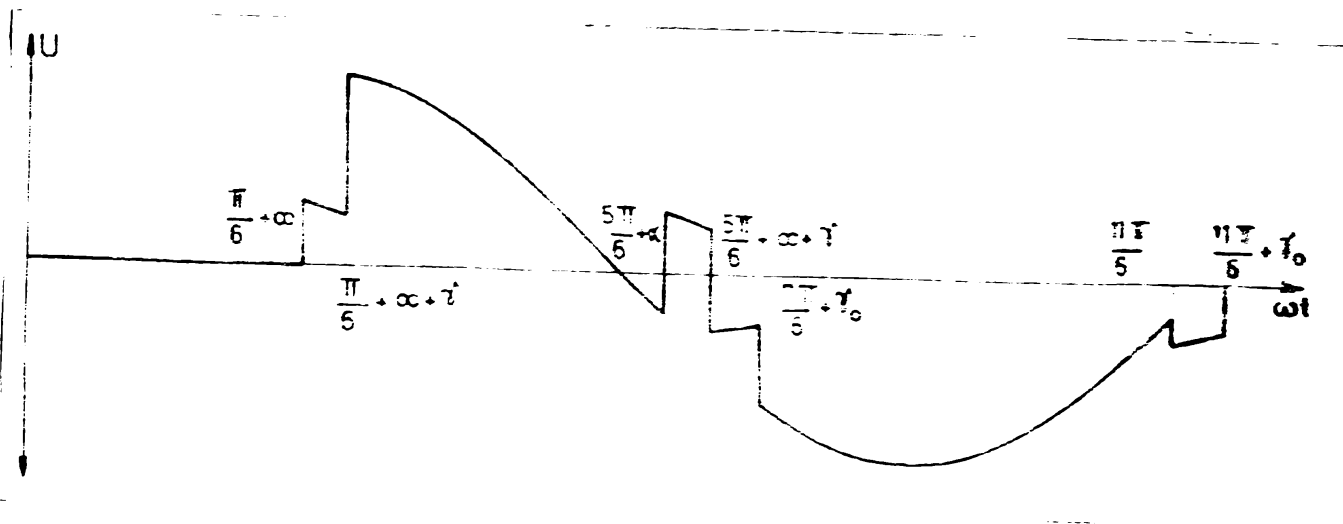


Fig. 3.11

$$3) \frac{\pi}{2} + \gamma_0 \leq \omega t \leq \frac{5\pi}{6} + d$$

$$u_{eR} - u_{eT} = i(2R_2 + R_1 + R_D + R) + 2L_2\sigma \frac{di}{dt} \quad (3.36)$$

$$4) \frac{5\pi}{6} + d \leq \omega t \leq \frac{5\pi}{6} + d + \gamma$$

$$\frac{1}{2} (u_{eR} + u_{eS}) - u_{eT} = i\left(\frac{3}{2}R_2 + \frac{R_1}{2} + R_D + R\right) + \frac{3}{2}L_2\sigma \frac{di}{dt} \quad (3.37)$$

$$5) \frac{5\pi}{6} + d + \gamma \leq \omega t \leq \frac{7\pi}{6} + \gamma_0$$

$$\frac{1}{2}(u_{eR} + u_{eT}) - u_{eS} = i\left(\frac{3}{2}R_2 + \frac{R_1}{2} + R_D + R\right) + \frac{3}{2}L_2\sigma \frac{di}{dt} \quad (3.38)$$

$$6) \frac{7\pi}{6} + \gamma_0 \leq \omega t \leq \frac{3\pi}{2} + d$$

$$u_{eR} - u_{eS} = i(2R_2 + R_1 + R_D + R) + 2L_2\sigma \frac{di}{dt} \quad (3.39)$$

$$7) \frac{3\pi}{2} + d \leq \omega t \leq \frac{3\pi}{2} + d + \gamma$$

$$u_{eR} - \frac{1}{2}(u_{eS} + u_{eT}) = i\left(\frac{3}{2}R_2 + \frac{R_1}{2} + R_D + R\right) + \frac{3}{2}L_2\sigma \frac{di}{dt} \quad (3.40)$$

$$8) \frac{3\pi}{2} + d + \gamma \leq \omega t \leq \frac{11\pi}{6} + \gamma_0$$

$$\frac{1}{2}(u_{eR} + u_{eS}) - u_{eT} = i\left(\frac{3}{2}R_2 + R_1 + \frac{R_1}{2} + R\right) + \frac{3}{2}L_2\sigma \frac{di}{dt} \quad (3.41)$$

Funcția $u(t)$ poate fi definită astfel:

Intervalul de variație a lui ωt

Expresia funcției

$$0 \div \frac{\pi}{6} + d$$

$$u(t) = 0$$

$$\frac{\pi}{6} + \alpha \div \frac{\pi}{6} + \alpha + \gamma$$

$$u(t) = \frac{1}{2}(u_{eR} + u_{eT}) - u_{eS}$$

$$\frac{\pi}{6} + \alpha + \gamma \div \frac{\pi}{2} + \gamma_0$$

$$u(t) = u_{eR} - \frac{1}{2}(u_{eS} + u_{eT})$$

$$\frac{\pi}{2} + \gamma_0 \div \frac{5\pi}{6} + \alpha$$

$$u(t) = u_{eR} - u_{eT}$$

$$\frac{5\pi}{6} + \alpha \div \frac{5\pi}{6} + \alpha + \gamma$$

$$u(t) = \frac{1}{2}(u_{eR} + u_{eS}) - u_{eT}$$

$$\frac{5\pi}{6} + \alpha + \gamma \div \frac{7\pi}{6} + \gamma_0$$

$$u(t) = \frac{1}{2}(u_{eR} + u_{eT}) - u_{eS}$$

$$\frac{7\pi}{6} + \gamma_0 \div \frac{3\pi}{2} + \alpha$$

$$u(t) = u_{eR} - u_{eS}$$

$$\frac{3\pi}{2} + \alpha \div \frac{3\pi}{2} + \alpha + \gamma$$

$$u(t) = u_{eR} - \frac{1}{2}(u_{eS} + u_{eT})$$

$$\frac{3\pi}{2} + \alpha + \gamma \div \frac{11\pi}{6} + \gamma_0$$

$$u(t) = \frac{1}{2}(u_{eR} + u_{eS}) - u_{eT}$$

$$\frac{11\pi}{6} + \gamma_0 \div 2\pi$$

$$u(t) = 0$$

Coeficienții termenilor în sinus, respectiv cosinus ai armonicii fundamentale ai dezvoltării în serie Fourier ale funcției periodice $u(t)$ se calculează cu ajutorul relațiilor (2.29) și (2.30).

Conform Anexei 2 rezultă pentru coeficienții susmenționați relațiile:

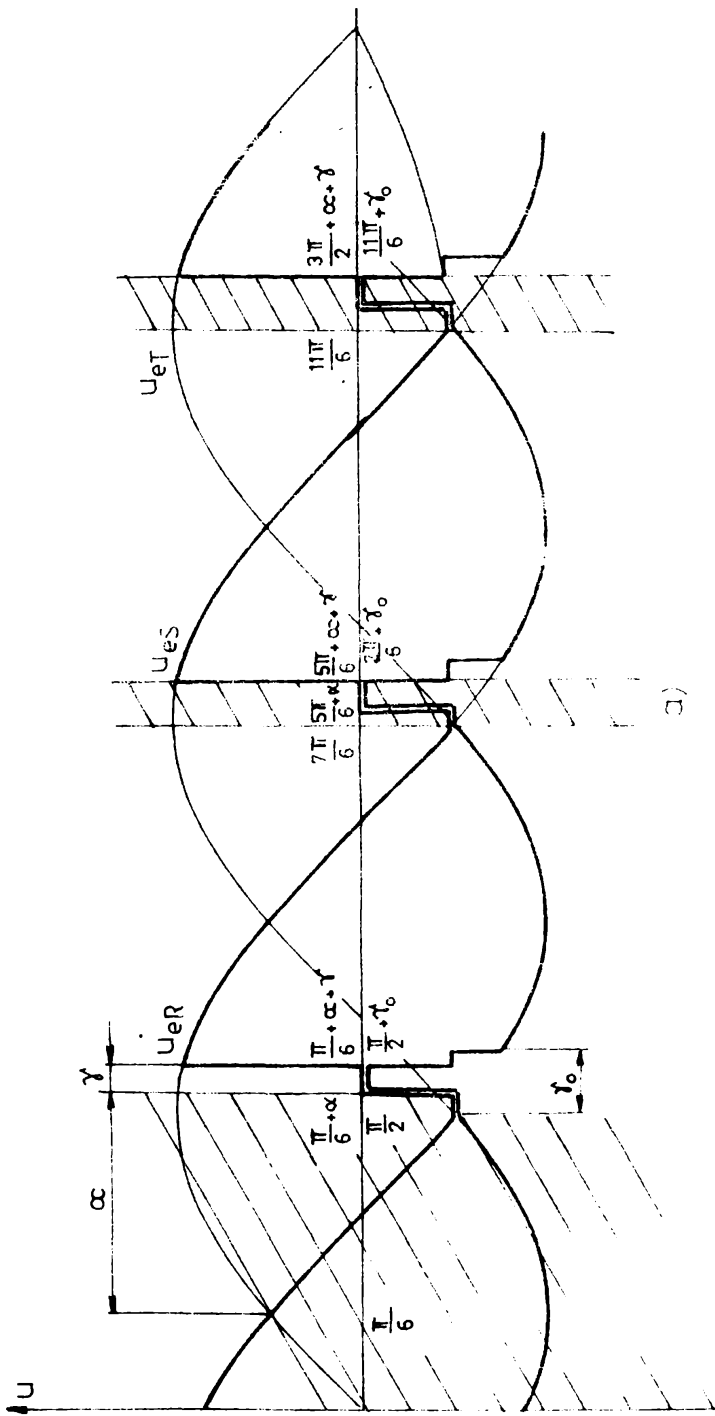
$$A_{1R II} = \frac{\sqrt{3}}{2\pi} \left[\frac{2\pi}{3} + \sin\left(\frac{\pi}{3} + \alpha + \gamma + \gamma_0\right) \cos(\alpha + \gamma - \gamma_0) + \cos\left(\gamma - \frac{\pi}{3}\right) \sin\left(\frac{\pi}{3} + 2\alpha + \gamma\right) \right] \quad (3.42)$$

$$B_{1R II} = \frac{\sqrt{3}}{2\pi} \left[\cos\left(\frac{\pi}{3} + \alpha + \gamma + \gamma_0\right) \cos(\alpha + \gamma - \gamma_0) + \cos\left(\gamma - \frac{\pi}{3}\right) \cos\left(\frac{\pi}{3} + 2\alpha + \gamma\right) \right] \quad (3.43)$$

În cazul III (fig. 312), comutațiile a câte două perechi de ventile comandabile și necomandabile se întretaie. În aceste perioade tensiunea continuă la bornele de ieșire ale punții este nulă.

În funcție de valoarea unghiului de comandă α , una din perechile de ventile poate încheia comutația înaintea celeilalte sau într-un anumit caz ele pot încheia comutația simultan [62,63].

În literatura de specialitate [62,63] se afirmă că acest



ωt	$\frac{\pi}{6} + \alpha + \gamma$	$\frac{\pi}{2} + \gamma_0$	$\frac{7\pi}{6}$	$\frac{5\pi}{6} + \alpha + \gamma$	$\frac{11\pi}{6}$	$\frac{3\pi}{2} + \alpha + \gamma$	$\frac{11\pi}{6} + \gamma_0$
Ventile in conductie	T	TR		TS		TT	
	D	D _S , D _T	D _T	D _T , D _R	DR	DR, D _S	
Obs.	comutatie diode			comutatie diode		comutatie diode	

b)

Fig. 3.12

caz nu are o importanță deosebită pentru practică, considera rea mai mult sau mai puțin precisă a situației comutației în acest caz avînd influențe neînsemnate asupra caracteristicilor de comandă. Din punct de vedere teoretic însă se impune o considerare corespunzătoare și a acestui caz.

Pe baza analizei modului în care are loc comutația suprapusă a perechilor de ventile și a modului cum evoluează procesul de comutație atunci cînd unghiul α crește către limita superioară $(\bar{\mu} - \gamma)$ se propune în lucrare considerarea unui caz aparte, cazul III, definit în cele ce urmează pentru intervalul de variație al lui α cuprins între $\frac{\pi}{3}$ și $\frac{\pi}{3} + \gamma_0 - \gamma$.

Pentru a explica modul în care se consideră a avea loc comutația ventilelor și implicit modul de variație al tensiunii $u(t)$ în cazul III se are în vedere un moment anterior începerii comutației diodelor de pe fazele S și T (D_S și D_T) (fig.3.12). La momentul corespunzător lui $\omega t = \frac{\pi}{2}$, diodele D_S și D_T încep să comute, dar în acel moment tiristorul T_A este încă în conducție și deci fiind în conducție ambele ventile de pe faza T a mutatorului, ieșirea sa este scurtcircuitată și tensiunea continuă la ieșire este 0. Acest fenomen se petrece pînă la momentul corespunzător lui $\omega t = \frac{\pi}{6} + \alpha + \gamma$ cînd comutația între T_A și T_R se încheie și T_A iese din conducție. Se încheie apoi comutația diodelor D_T și D_S la momentul pentru care $\omega t = \frac{\pi}{2} + \gamma_0$. În continuare conduc tiristorul T_R și dioda D_S pînă ce are loc o nouă comutație de data asta a diodelor D_T și D_R și procesul se repetă ca și în situația anterior descrisă. La fel se petrec lucrurile și în cazul comutației diodelor D_R și D_S .

În fig.3.13 este reprezentată curba tensiunii de fază u_A în cazul III.

Așa cum reiese și din fig.3.12 există un număr de 5 intervale pe care funcția $u(t)$ este nenulă și pentru care se scriu ecuațiile:

$$1) \frac{\pi}{6} + \alpha + \gamma \leq \omega t \leq \frac{\pi}{2} + \gamma_0$$

$$u_{eR} - \frac{1}{2}(u_{eS} + u_{eT}) = i \left(\frac{3}{2} R_2 + R_1 + \frac{R_D}{2} + R \right) + \frac{3}{2} L_{2G} \frac{di}{dt} \quad (3.44)$$

$$2) \frac{\pi}{2} + \gamma_0 \leq \omega t \leq \frac{7\pi}{6}$$

$$u_{eR} - u_{eT} = i(2R_2 + R_1 + R_D + R) + 2L_{2G} \frac{di}{dt} \quad (3.45)$$

$$3) \frac{5\pi}{6} + \alpha + \gamma \leq \omega t \leq \frac{7\pi}{6} + \gamma_0$$

$$\frac{1}{2}(u_{eR} + u_{eT}) - u_{eS} = i \left(\frac{3}{2} R_2 + R_1 + \frac{R_D}{2} + R \right) + \frac{3}{2} L_2 \sigma \frac{di}{dt} \quad (3.46)$$

$$4) \frac{7\pi}{6} + \gamma_0 \leq \omega t \leq \frac{11\pi}{6}$$

$$u_{eR} - u_{eS} = i(2R_2 + R_1 + R_D + R) + 2L_2 \sigma \frac{di}{dt} \quad (3.47)$$

$$5) \frac{3\pi}{2} + \alpha + \gamma \leq \omega t \leq \frac{11\pi}{6} + \gamma_0$$

$$\frac{1}{2}(u_{eR} + u_{eS}) - u_{eT} = i \left(\frac{3}{2} R_2 + R_T + \frac{R_D}{2} + R \right) + \frac{3}{2} L_2 \sigma \frac{di}{dt} \quad (3.48)$$

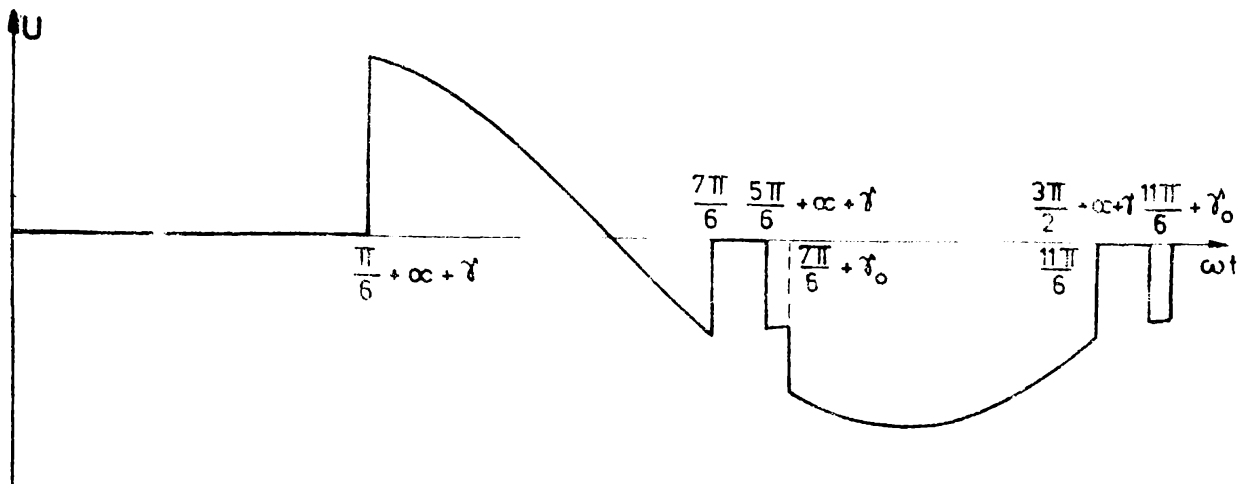


Fig. 3.13

Funcția $u(t)$ poate fi definită astfel:

Intervalul de variație a lui t

Expresia funcției

$$0 \div \frac{\pi}{6} + \alpha + \gamma$$

$$u(t) = 0$$

$$\frac{\pi}{6} + \alpha + \gamma \div \frac{\pi}{2} + \gamma_0$$

$$u(t) = u_{eR} - \frac{1}{2}(u_{eS} + u_{eT})$$

$$\frac{\pi}{2} + \gamma_0 \div \frac{7\pi}{6}$$

$$u(t) = u_{eR} - u_{eT}$$

$$\frac{7\pi}{6} \div \frac{5\pi}{6} + \alpha + \gamma$$

$$u(t) = 0$$

$$\frac{5\pi}{6} + \alpha + \gamma \div \frac{7\pi}{6} + \gamma_0$$

$$u(t) = \frac{1}{2}(u_{eR} + u_{eT}) - u_{eS}$$

$$\frac{7\pi}{6} + \gamma_0 \div \frac{11\pi}{6}$$

$$u(t) = u_{eR} - u_{eS}$$

$$\frac{11\pi}{6} \div \frac{3\pi}{2} + \alpha + \gamma$$

$$u(t) = 0$$

$$\frac{3\pi}{2} + \alpha + \gamma \div \frac{11\pi}{6} + \gamma_0$$

$$u(t) = \frac{1}{2}(u_{eR} + u_{eS}) - u_{eT}$$

$$\frac{11\pi}{6} + \gamma_0 \div 2\pi$$

$$u(t) = \theta$$

Coeficienții termenilor în sinus și respectiv în cosinus ai armonicii fundamentale ai dezvoltării în serie Fourier ai funcției periodice $u(t)$ se calculează cu relațiile (2.29) și (2.30).

Conform Anexei 2 rezultă pentru coeficientul susmenționat expresiile:

$$A_{1R III} = \frac{\sqrt{3}}{2\pi} \left[\pi - \alpha - \gamma + \sin\left(\frac{\pi}{3} + \alpha + \gamma + \gamma_0\right) \cos(\alpha + \gamma - \gamma_0) \right] \quad (3.48)$$

$$B_{1R III} = -\frac{\sqrt{3}}{2\pi} \left[\frac{1}{2} - \cos\left(\frac{\pi}{3} + \alpha + \gamma + \gamma_0\right) \cos(\alpha + \gamma - \gamma_0) \right] \quad (3.59)$$

În cazul IV (fig.3.14), perechile de ventile de pe partea comandată și respectiv necomandată a punții comută din nou independent în intervale de timp distincte. Intervalul de variație a unghiului α pentru acest caz este cuprins între $\frac{\pi}{3} + \gamma - \gamma_0$ și $\pi - \gamma$. În legătură cu limita superioară ($\pi - \gamma$) a domeniului de variație a lui α , care este și valoarea maximă, α_{max} , pe care o poate lua în realitate unghiul de comandă α este necesar să se facă unele precizări.

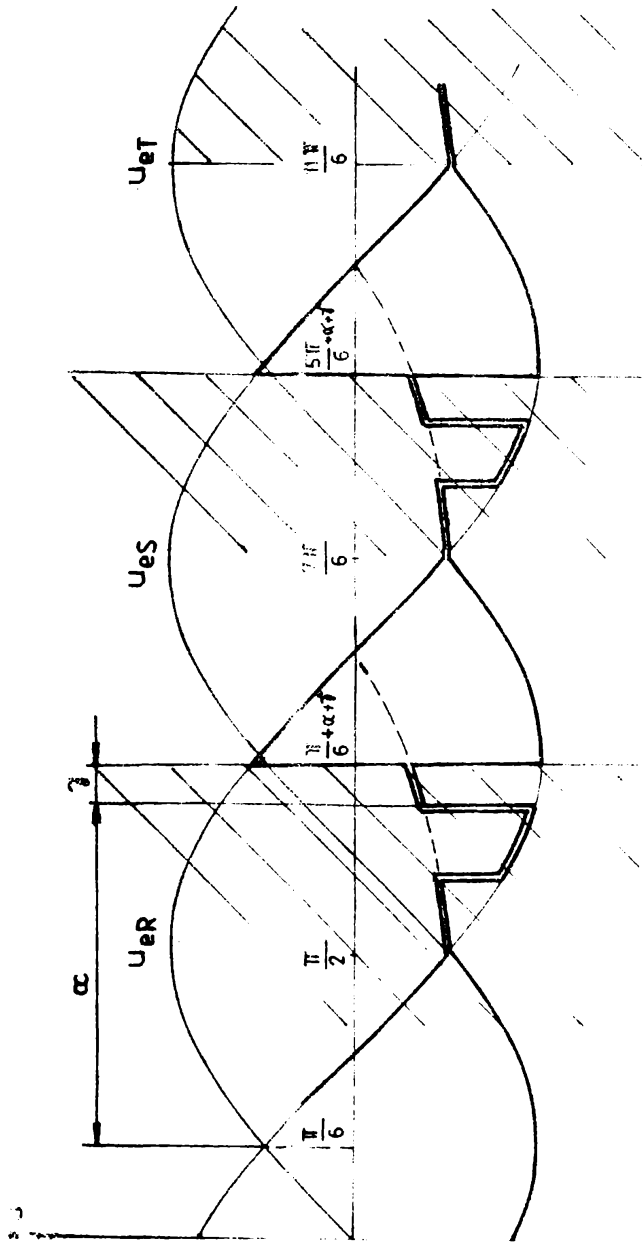
În mod evident, valoarea lui α_{max} este $\pi - \gamma$, situație în care tensiunea la bornele punții este nulă. Această afirmație nu este în opoziție cu precizările din literatură [62,63] care dau ca limită pentru α valoarea $\pi - \gamma_0$, ci este o definiție mai exactă a lui α_{max} .

Se demonstrează că la $\alpha = \alpha_{max}$ unghiul de comutație γ al tiristoarelor tinde către valoarea γ_0 (vezi și par.3.2), corespunzătoare comutației diodelor sau altfel spus situației când $\alpha = 0$, pentru orice valoare a lui k . Deci se poate da ca valoare limită pentru α în cazul IV

$$\alpha_{max} = \pi - \gamma \quad (3.54)$$

deoarece limitarea lui α este impusă de comutația tiristoarelor și nu a diodelor, cu mențiunea că valoarea lui γ la limita domeniului tinde către γ_0 .

La considerarea exactă a valorii lui α_{max} se cere însă să se țină cont și de un alt element și anume de polarizarea inversă a tiristoarelor, introducând un unghi ωt_q [33,63] corespunzător timpului de revenire t_q necesar tiristoarelor. Va exista deci în realitate o limită $\alpha'_{max} < \alpha_{max}$.



a)

ωt	$\frac{\pi}{6} + \alpha + \gamma$	$\frac{7\pi}{6}$	$\frac{5\pi}{6} + \alpha + \gamma$	$\frac{11\pi}{6}$
Ventile in conductie	T	T_R		T_T
	D	D_S		D_R
Obs				

b)

Fig. 3.14

8 6 π : =
: 8 6 π =

$$\alpha'_{\max} = \alpha_{\max} - \omega t_q = \pi - \gamma - \omega t_q \quad (3.52)$$

Utilizarea tiristoarelor rapide cu timp de revenire foarte mic face posibilă neglijarea termenului ωt_q din relația (3.52) fără erori inadmisibile; în cazul tiristoarelor obișnuite eroarea este ceva mai mare dar pentru obținerea unor expresii simple în vederea utilizării lor în practică se consideră în continuare relația (3.51).

În fig. 3.15 este reprezentată curba tensiunii de fază u_a în cazul IV.

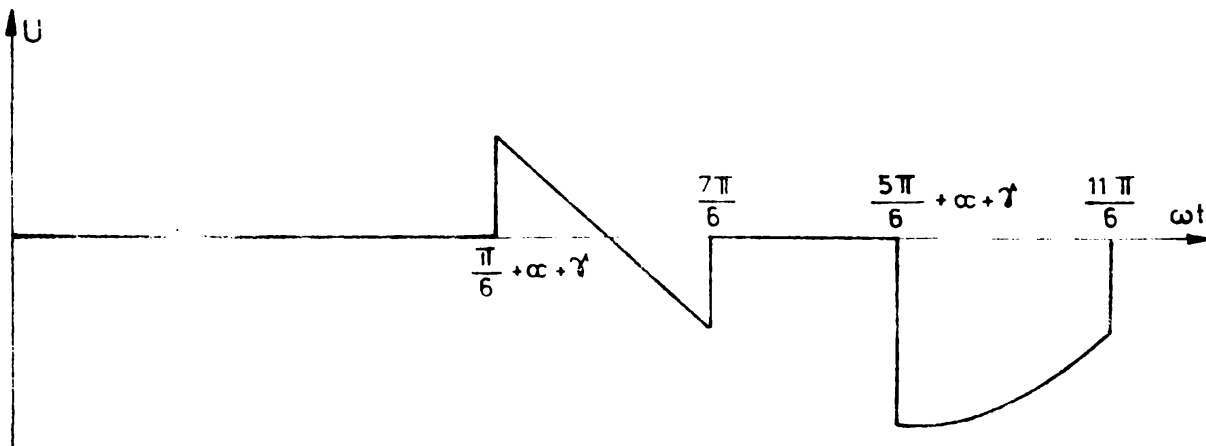


Fig. 3.15

Așa cum reiese și din fig. 3.14 există un număr de 2 intervale pentru care funcția $u(t)$ este nenulă și pentru care se scriu ecuațiile:

$$1) \frac{\pi}{6} + \alpha + \gamma \leq \omega t \leq \frac{7\pi}{6}$$

$$u_{eR} - u_{eS} = i(2R_2 + R_1 + R_D + \alpha) + 2L_2 \sigma \frac{di}{dt} \quad (3.53)$$

$$2) \frac{5\pi}{6} + \alpha + \gamma \leq \omega t \leq \frac{11\pi}{6}$$

$$u_{eR} - u_{eT} = i(2R_2 + R_1 + R_D + \alpha) + 2L_2 \sigma \frac{di}{dt} \quad (3.54)$$

Funcția $u(t)$ poate fi definită astfel:

Intervalul de variație a lui t

$$0 \div \frac{\pi}{6} + \alpha + \gamma$$

$$\frac{\pi}{6} + \alpha + \gamma \div \frac{7\pi}{6}$$

$$\frac{7\pi}{6} \div \frac{5\pi}{6} + \alpha + \gamma$$

$$\frac{5\pi}{6} + \alpha + \gamma \div \frac{11\pi}{6}$$

Expresia funcției

$$u(t) = 0$$

$$u(t) = u_{eR} - u_{eS}$$

$$u(t) = 0$$

$$u(t) = u_{eR} - u_{eT}$$

$$\frac{11\pi}{6} \div 2\pi$$

$$u(t) = 0$$

Coeficienții termenilor în sinus și respectiv cosinus ai armonicii fundamentale ai dezvoltării în serie Fourier ai funcției periodice $u(t)$ se calculează cu relațiile (2.29) și (2.30).

Conform Anexei 2 rezultă:

$$A_{1R \text{ IV}} = \frac{\sqrt{3}}{2\pi} \left[\pi - \alpha - \gamma + \frac{1}{2} \sin 2(\alpha + \gamma) \right] \quad (3.55)$$

$$B_{1R \text{ IV}} = -\frac{\sqrt{3}}{2\pi} \sin 2(\alpha + \gamma) \quad (3.56)$$

3.4. Calculul valorilor coeficienților A_{1R} și B_{1R} ai termenilor în sinus și respectiv cosinus ai armonicii fundamentale a funcției $u(t)$

Cu expresiile obținute în paragraful 3.3 se pot calcula valorile lui A_{1R} și B_{1R} pentru întreg domeniul real de variație a unghiului de comandă .

Metoda de calcul utilizată a fost concepută în ideea de a corespunde următoarelor cerințe:

- să permită calculul lui A_{1R} și B_{1R} pentru orice valoare a lui α , la un anumit $I(K)$;
- să se ia în considerare un număr suficient de valori ale lui K în domeniul normal de lucru ;
- să se facă o comparație cu valorile lui A_1 și B_1 obținute în capitolul II, pentru cazul comutației ideale.

A fost conceput programul de calcul ALK. Etapele programului ALK sînt următoarele:

- 1) Inițializarea valorii unghiului α
- 2) Calcularea lui A_1 , B_1 și $C_1 = \sqrt{A_1^2 + B_1^2}$ (3.57)
- 3) Inițializarea valorii coeficientului K
- 4) Calculul unghiurilor de comutație γ și γ_0
- 5) Calculul lui $A_{1R}(\alpha, K)$, $B_{1R}(\alpha, K)$ și al lui

$$C_{1R}(\alpha, K) = \sqrt{A_{1R}^2 + B_{1R}^2} \quad (3.58)$$

- 6) Calculul coeficienților de corecție

$$K_A = \frac{A_{1R}}{A_1} ; K_B = \frac{B_{1R}}{B_1} ; K_C = \frac{C_{1R}}{C_1} \quad (3.59)$$

- 7) Creșterea valorii lui K și reluarea etapelor 4-6 pînă la valoarea $K=1$.
- 8) Creșterea valorii lui α și reluarea etapelor 2-7 pînă ce unghiul α atinge valoarea lui α_{\max}

Intervalul de variație al lui α s-a luat între 0 și α_{\max} cu creșterea pe o treaptă de $\pi/36$ (5°), iar pentru constante K s-a luat un interval de la 0 la 1 cu creșterea de o treaptă de 0,1.

Ordinograma programului ALF este trasată în fig.3.16, iar în figurile 3.17 și 3.18 sînt detaliate etapele de calcul notate cu (I) și (II) în ordinogramă.

La cele prezentate în fig.3.17 se face observația că relațiile de calcul indicate sînt particularizate pentru cazul stingerii naturale a tiristoarelor, deci cînd unghiul $\beta = 0$.

Rezultatele calculelor sînt date în tabelele 3.2 și 3.3.

În tabelul 3.2 sînt date valori obținute pentru coeficienții armonicii A_{1R} și B_{1R} în domeniul uzual de lucru, adică pentru valori ale unghiului de comandă α cuprinse între 0 și 120° ($2\pi/3$), și pentru valori ale constantei K cuprinse între 0,1 și 0,5, cu alte cuvinte pînă la curenți de pornire de cca $(3-4)I_n$, situația considerată acoperitoare pentru cazul concret studiat.

În tabelul 3.3 sînt prezentate valorile coeficienților K_A, K_B, K_C pentru aceleași intervale de valori ale lui α și K .

3.5. Concluzii

Comparînd rezultatele obținute în capitolele II și III în calculul coeficienților termenilor în sinus și în cosinus ai armonicii fundamentale ai funcției $u(t)$ se pot face observațiile:

a) în ceea ce privește coeficientul termenului în sinus - pentru o anumită valoare a unghiului α , diferența între valoarea coeficientului A_{1R} , calculat în cazul considerării comutației reale și a lui A_1 , calculat în considerarea teoriei ideale a comutației, există o diferență care crește cu creșterea valorii constantei K , dar nu linear. Pentru valori mici ale lui K ($K < 0,1$) acolo unde funcționarea este aproape de mers în gol, la sarcină redusă, diferența este practic neglijabilă. Pentru valori ale lui $K \in (0,1-0,3)$ atunci cînd I crește pînă la cca $(1 - 1,5)I_n$ diferența crește cvasilinear atîngînd valori de cca $(0,2-0,3)A_{1R}$, iar pentru valori ale lui $K > 0,3$ diferența între A_{1R} și A_1 crește foarte mult.

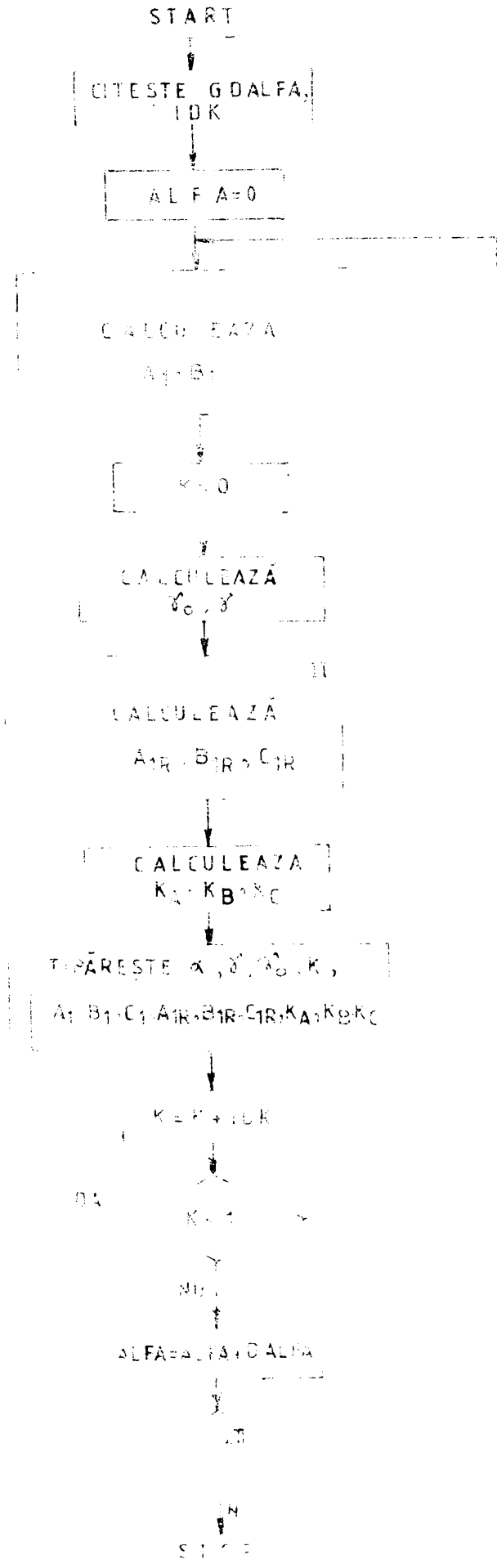


FIG. 3.16

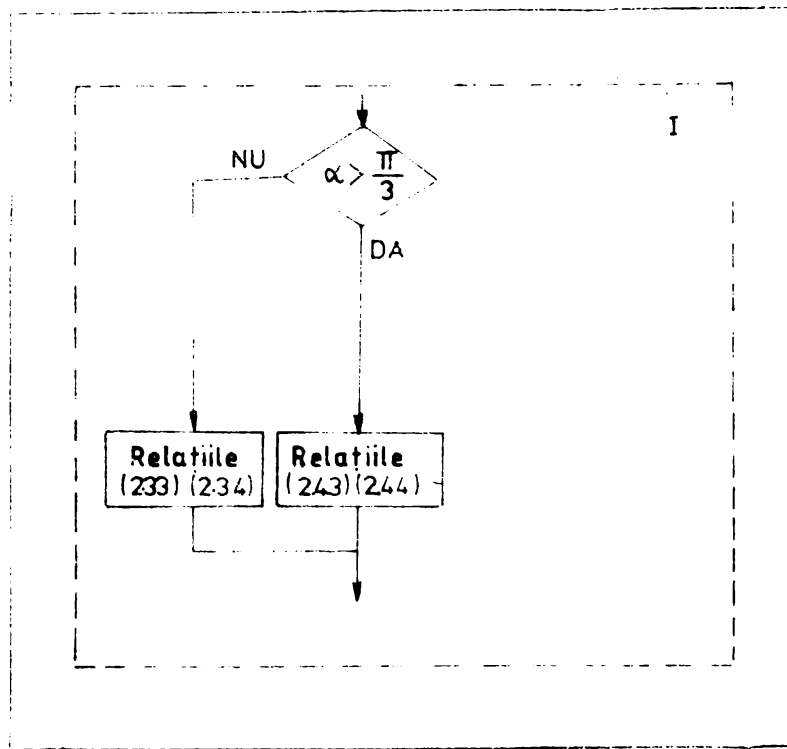


Fig. 3.17

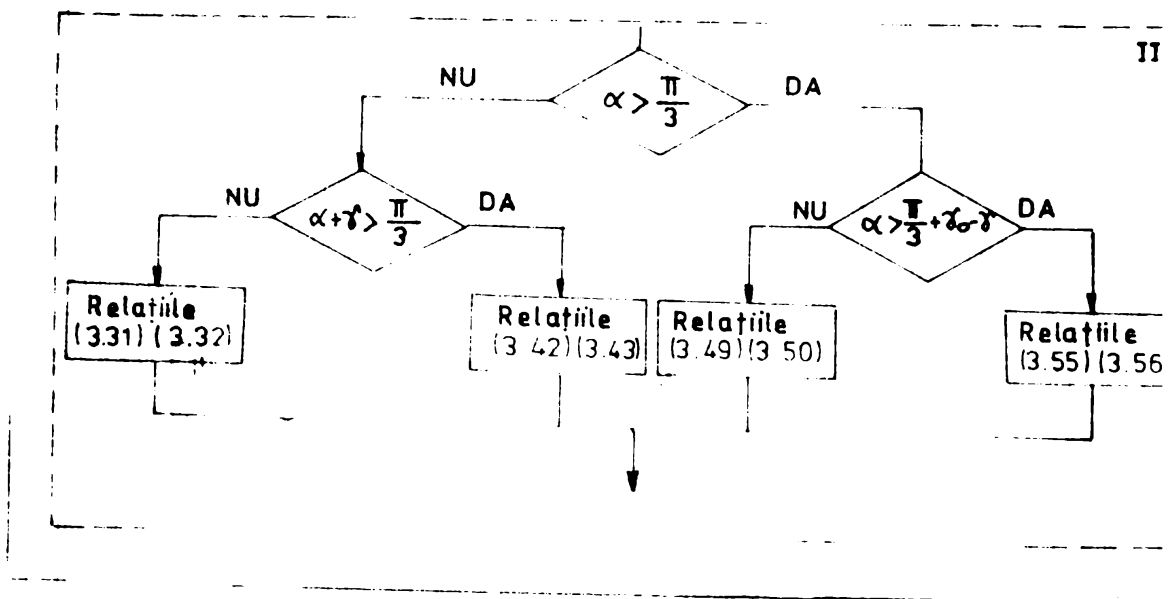


Fig. 3.18

Tabelul 3.2

	K = 0,1		K = 0,3		K = 0,5	
	A _{1R}	B _{1R}	A _{1R}	B _{1R}	A _{1R}	B _{1R}
0	1,072	-0,240	0,949	-0,379	0,816	-0,413
5	1,058	-0,261	0,934	-0,400	0,800	-0,434
10	1,038	-0,285	0,913	-0,418	0,773	-0,454
15	1,013	-0,308	0,887	-0,433	0,738	-0,472
20	0,984	-0,330	0,857	-0,449	0,697	-0,487
25	0,950	-0,349	0,822	-0,459	0,646	-0,497
30	0,913	-0,368	0,785	-0,461	0,590	-0,502
35	0,879	-0,372	0,745	-0,463	0,530	-0,500
40	0,833	-0,374	0,690	-0,470	0,467	-0,488
45	0,791	-0,372	0,628	-0,476	0,401	-0,468
50	0,750	-0,362	0,552	-0,477	0,338	-0,437
55	0,703	-0,360	0,480	-0,465	0,278	-0,393
60	0,642	-0,373	0,410	-0,462	0,219	-0,344
65	0,607	-0,265	0,500	-0,271	0,390	-0,274
70	0,565	-0,259	0,456	-0,275	0,346	-0,268
75	0,520	-0,268	0,410	-0,275	0,301	-0,259
80	0,474	-0,274	0,363	-0,271	0,256	-0,248
85	0,436	-0,264	0,316	-0,263	0,212	-0,228
90	0,403	-0,233	0,279	-0,247	0,169	-0,207
95	0,372	-0,208	0,257	-0,221	0,157	-0,183
100	0,346	-0,184	0,240	-0,196	0,149	-0,163
105	0,325	-0,159	0,227	-0,173	0,145	-0,157
110	0,307	-0,136	0,218	-0,153	0,144	-0,148
115	0,293	-0,113	0,213	-0,136	0,144	-0,142
120	0,284	-0,093	0,211	-0,124	0,119	-0,106

- pentru aceeași valoare a lui K, diferența dintre A_{1R} și A₁ este mai puțin pronunțată pentru $\alpha \in \left[0; \frac{\pi}{3}\right]$ ca apoi să crească mult într-un sens sau altul ;

b) în ceea ce privește coeficientul termenului în cosinus:

- în comparație cu termenul în sinus, la coeficientul termenului în cosinus diferențele între cele două valori calculate B_{1R} și B₁ sînt mult mai pronunțate în special la valori mici ale unghiului α . Această observație trebuie coroborată și cu faptul că B_{1R} are valori absolute mult mai mici decît

Tabelul 3.3

	K = 0,1			K = 0,3			K = 0,5		
	K _A	K _B	K _C	K _A	K _B	K _C	K _A	K _B	K _C
0	1,02	-	1,02	0,90	-	0,92	0,77	-	0,80
5	1,01	6,30	1,03	0,89	9,64	0,96	0,76	10,5	0,86
10	1,00	3,49	1,03	0,88	5,16	0,96	0,74	5,56	0,86
15	0,99	2,50	1,03	0,87	3,65	0,96	0,72	3,96	0,85
20	0,98	2,12	1,02	0,86	2,93	0,95	0,70	3,17	0,84
25	0,98	1,91	1,02	0,85	2,50	0,95	0,67	2,72	0,83
30	0,98	1,76	1,02	0,84	2,24	0,95	0,63	2,43	0,81
35	0,97	1,67	1,02	0,83	2,06	0,95	0,59	2,23	0,79
40	0,97	1,60	1,03	0,80	2,00	0,94	0,54	2,00	0,76
45	0,97	1,59	1,03	0,76	2,00	0,92	0,49	1,96	0,73
50	0,97	1,54	1,03	0,71	2,03	0,90	0,44	1,86	0,68
55	0,96	1,61	1,03	0,68	2,07	0,87	0,38	1,76	2,62
60	0,92	1,81	1,03	0,59	2,14	0,82	0,31	1,67	0,56
65	0,92	1,09	0,94	0,76	1,19	0,81	0,59	1,21	0,68
70	0,91	1,07	0,94	0,74	1,13	0,80	0,56	1,10	0,66
75	0,91	1,04	0,93	0,71	1,07	0,79	0,57	1,01	0,63
80	0,90	1,02	0,92	0,69	1,01	0,77	0,49	0,92	0,60
85	0,91	0,93	0,91	0,66	0,96	0,74	0,44	0,83	0,56
90	0,93	0,84	0,91	0,64	0,89	0,72	0,39	0,75	0,52
95	0,97	0,76	0,90	0,67	0,81	0,72	0,41	0,67	0,51
100	1,03	0,69	0,91	0,71	0,74	0,72	0,44	0,61	0,52
105	1,11	0,62	0,93	0,79	0,68	0,74	0,50	0,57	0,53
110	1,24	0,56	0,97	0,88	0,63	0,77	0,58	0,57	0,58
115	1,42	0,50	1,03	1,03	0,60	0,82	0,69	0,70	0,69
120	1,68	0,45	1,12	1,25	0,60	0,91	0,71	1,00	0,89

A_{1F} astfel încât influența lui (și implicit a fluctuațiilor valorii sale) asupra rezultatelor calculelor este mai redusă;

c) coeficientul K_C are în general variații mici, valoarea lui se menține în jurul lui 1 pentru $\alpha \in [0, \frac{2}{3}]$ pentru K < 0,2 ca apoi pentru valori mai mari ale lui K să aibă variații mai mari în jurul lui $\alpha = \frac{1}{3}$.

În consecință:

1) Analiza comparativă a rezultatelor calculului coeficienților armonicii fundamentale a dezvoltării în serie Fourier a funcției periodice u(t) obținute cu considerarea comutației ideale și respectiv a teoriei convenționale a comuta-

ției evidențiază faptul că pentru domeniul normal de lucru $K > 0,2$) diferențele între valorile obținute pe cele două căi sînt apreciable.

2) Pentru valori mici ale lui K (sub 0,15) acolo unde și α au valori de cîteva grade se pot considera relațiile simplificate obținute în capitolul II. Aceasta are o importanță mai mică pentru practică, întrucît dacă se ține cont de faptul că tensiunea de scurtcircuit nominală pentru motoare asincrone cu rotor bobinat are valori de cca 0,15-0,2, această situație corespunde unui curent de sarcină sub $0,5I_n$, adică pornirilor în gol sau la sarcină redusă, care nu sînt des întîlnite.

3) Calculul efectuat în acest capitol a permis determinarea expresiilor analitice ale coeficienților termenilor în sinus și cosinus ai armonicii fundamentale ai tensiunii de fază din înfășurarea rotorică a mașinii asincrone la inelele căreia este conectat un redresor trifazat în punte semicomandat. Aceste expresii permit pe întreg domeniul de variație a lui α , studiul conținutului de armonici ai tensiunii u_R . De asemenea relațiile obținute țin cont de valoarea curentului de pornire, deci de cuplul rezistent al pornirea motorului.

4) Calculul valorilor lui A_{1R} și B_{1R} se poate face simplu și rapid utilizînd ordinatorul electronic.

CAPITOLUL IV

CALCULUL DE DETERMINARE A PARAMETRILOR ECHIVALENTI AI INFĂȘURĂRII ROTORICE ȘI A PARAMETRILOR DE FORMARE PENTRU UN MOTOR ASINCRON CU ROTOR SOBOLĂȚI CU UN REDRESOR TRIFAZAT ÎN PUNTE, SEMI-COMANDAȚIA CONECTAT LA BORNILE INFĂȘURĂRII ROTORICE

4.1. Probleme generale

În situația în care mașina asincronă este alimentată de la un sistem trifazat simetric de tensiune alternativă se poate considera că prin înfășurările sale circula curenți sinusoidali.

Din cele analizate în capitolele precedente se poate concluziona că pentru cazul tratat în lucrare această afirmație nu mai este valabilă. Prezența ventilelor comandate și necomandate în serie cu înfășurarea rotorică face ca să existe curenți alternativi, dar nu și sinusoidali având forma unor pulsuri care prin analiza Fourier pot fi descompuși într-un număr de armonici.

Dacă redresorul este necomandat, adică este echipat cu diode sau se menține unghiul de aprindere al tiristoarelor

$\alpha = 0$, armonica fundamentală a curențului este practic în fază cu tensiunea, deci nu se absoarbe o putere reactivă suplimentară de la rețea.

Dacă redresorul este comandat se constată o deplasare între curent și tensiune care crește odată cu unghiul α . Acest fenomen se manifestă și atunci când sarcina de pe partea de curent continuu a redresorului are un

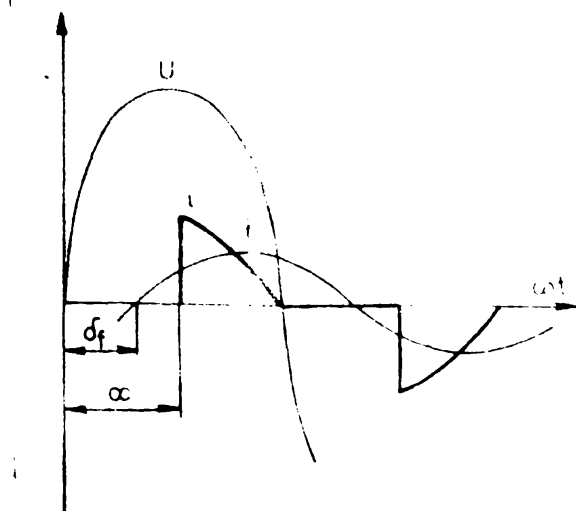


Fig.4.1
caracter pur ohmic (fig.4.1) [39,41,62] .

În fig.4.1 s-a notat cu U tensiunea de fază, i curentul de fază din redresor cu i_f armonica fundamentală a acestuia, iar cu α_f unghiul de defazaj între tensiune și armonica fun-

damentală a curentului. Rezultă deci că și în cazul unei sarcini pur ohmice mutatorul ia din rețea putere reactivă. Ea este puterea reactivă de comandă [39,41,62,63] și depinde de valoarea unghiului de comandă a tiristoarelor.

Valoarea unghiului de defazaj \mathcal{J}_f între tensiunea de fază a rețelei și armonica fundamentală a curentului de fază al mutatorului poate fi calculată dacă se cunosc expresiile coeficienților termenilor în sinus și cosinus ai fundamentalei, obținându-se o relație care exprimă dependența lui \mathcal{J}_f de unghiul α și de caracterul sarcinii.

În cele ce urmează se consideră puterea reactivă totală datorată mutatorului.

Intrucât factorul de putere al ansamblului mașină electrică-mutator depinde în mai mare măsură de unghiul de comandă α , decât de valoarea inductanțelor circuitului, se poate considera totul ca o sarcină complexă compusă dintr-o rezistență și o reactanță inductivă care depind de unghiul α .

Aceasta înseamnă că în locul schemei electrice reale, ce cuprinde înfășurarea rotorică și redresorul semicomandat, se poate utiliza o schemă echivalentă de calcul în care un circuit rotoric care ca parametri, în locul rezistenței R_2 și a reactanței X_2 , o rezistență echivalentă R_e și o reactanță echivalentă X_e , ambele variind în funcție de unghiul α .

4.2. Determinarea parametrilor schemei echivalente și a mărimilor de pornire

În teoria mașinilor electrice [22,38,64] considerându-se că tensiunile și curenții variază sinusoidal în timp, ecuațiile mașinii pot fi scrise în mărimi complexe.

$$\begin{aligned} \underline{U}_1 &= \underline{Z}_1 \underline{I}_1 - \underline{U}_{e1} \\ \underline{U}_2 &= -\underline{Z}_{1s} \underline{I}_2 + \underline{U}_{e2s} \\ \underline{U}_{e1} &= -\underline{Z}_{1m} \underline{I}_{o1} \\ \underline{U}_{e2s} &= -\frac{1}{K_e} \underline{Z}_{1m} \underline{I}_{o1} e^{-j\gamma_0} \\ \underline{I}_{o1} &= \underline{I}_1 + \frac{1}{K_1} \underline{I}_2 e^{j\gamma_0} \end{aligned} \quad (4.1)$$

O serie de mărimi rotorice ce apar în ecuațiile (4.1) sînt afectate de simbolul "s", indicînd faptul că ele depind de alunecare.

În calcul se înlocuiește rotorul real cu un rotor echivalent imobil care are aceeași solenație, același defazaj între tensiunea indusă și curent și care înmagazinează aceeași energie reactivă în câmpul lui magnetic ca și rotorul real.

Ecuatiile tensiunilor rotorice se scriu pentru rotorul echivalent sub forma:

$$\underline{U}_2 = -Z_2 \underline{I}_2 + \underline{U}_{e2} \quad (4.1')$$

unde $Z_2 = \frac{R_2}{s} + j X_2$

$$\underline{U}_{e2} = \frac{\underline{U}_{e2s}}{s}$$

Efectuindu-se și reducerea rotorului la stator se poate trece în continuare la construirea unei scheme echivalente unice a mașinii asincrone în care înfăgurările statorică și rotorică sînt cuplate galvanic. Dintre tipurile de scheme

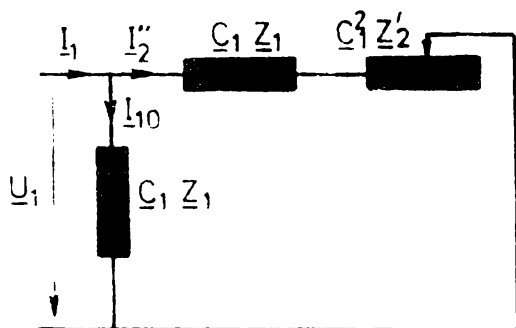


Fig.4.2

echivalente utilizate se reține în continuare schema echivalentă în L (fig.4.2) ale cărei relații de legătură între mărimile ce o compun sînt:

$$\begin{aligned} C_1 &= 1 + \frac{Z_1}{Z_{1m}} \\ I_{10} &= \frac{U_1}{C_1 Z_{1m}} \end{aligned} \quad (4.2)$$

$$I_2'' = \frac{U_1}{C_1 Z_1 + C_1^2 Z_2'}$$

$$U_1 = C_1 Z_{1m} I_{10} = (C_1 Z_1 + C_1^2 Z_2') I_2''$$

$$I_1 = I_{10} + I_2''$$

Rezultă expresia curentului I_1

$$I_1 = \frac{U_1 (Z_{1m} + Z_1 + C_1^2 Z_2')}{C_1 Z_{1m} (C_1 Z_1 + C_1^2 Z_2')} \quad (4.3)$$

Pornind de la schema echivalentă în L și de la relațiile între mărimile și parametrii schemei se face în continuare calculul parametrilor schemei echivalente ce înglobează în circuitul rotoric al mașinii și circuitul de forță al redresorului.

Se consideră într-o primă fază doar circuitul rotor, pentru un rotor echivalent imobil, redus la stator. Întrucât parametrii schemei se determină în momentul pornirii ($s=1$), mărimile și parametrii schemei nu sunt afectați de alunecare și atunci ecuația tensiunilor din circuitul rotor, pentru o mașină alimentată de la rețea și fără rezistențe sau impedanțe suplimentare în circuitul rotor, se scrie:

$$\underline{U}'_{e2} = \underline{U}_{e1} = (R'_2 + j X'_2) I'_2 \quad (4.4)$$

Se pot evidenția următoarele elemente care stau la baza modelului matematic ce conduce la calculul parametrilor echivalenți ai ansamblului circuit rotor - circuit de forță al RIPS:

- prin faza R a înfășurării rotorice (luată ca exemplu) circula curent cât timp unul din ventilele (tiristor sau diodă) de pe faza R a mutatorului este în conducție (singur sau comutat cu ventilul de pe faza vecină) ;

- curentul circula în același timp (se închide) prin rezistența R conectată la ieșirea de curent continuu a redresorului și prin aceea din fazele S sau T ;

- armonică de un ordin oarecare a curentului este determinată de armonica respectivă a tensiunii și parametrii electrice ai circuitului.

În această situație deși din momentul alimentării mașinii asincrone de la rețea în circuitul rotor se induce o tensiune electromotoare, căderea de tensiune pe fază impedanța fazei este o tensiune periodică alternativă, dar nesinusoidală compusă din arce de sinusoidă. Se consideră că această tensiune $u_R(t)$ se referă doar la armonica fundamentală $u_{1R}(t)$ a tensiunii susamintite și reprezintă căderea de tensiune pe circuitul de închidere al curentului i_R (fig.4-3). Se vor putea scrie relațiile:

$$\begin{aligned} u_{1R} &= U'_{e2} \sqrt{6} (A_{1R} \sin \omega t + B_{1R} \cos \omega t) = \\ &= U'_{e2} \sqrt{6} \sqrt{A_{1R}^2 + B_{1R}^2} \sin (\omega t + \psi) \end{aligned} \quad (4.5)$$

$$\text{unde } \psi = \text{arctg } \frac{B_{1R}}{A_{1R}}$$

Rezultă curentul i_R :

$$i_R = \frac{U'_{e2} \sqrt{6} \sqrt{A_{1R}^2 + B_{1R}^2}}{2 \sqrt{R_{2p}^2 + X_2^2}} \sin (\omega t + \psi - \varphi) \quad (4.6)$$

unde $\varphi = \arctg \frac{X_2'}{R_{2p}'}$

Se consideră același circuit dar se face ipoteza că

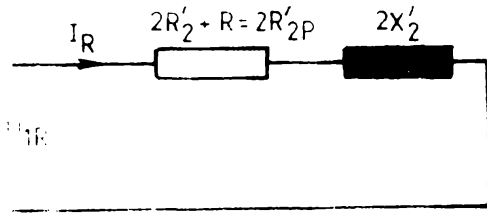


Fig.4.3

echivalentă a circuitului $R_e(\alpha)$ și reactanța echivalentă $X_e(\alpha)$ (fig.4.4),

Pentru armonica fundamentală aceasta revine la o considerare efectul prezentei mutatorului conectat în circuitul rotorului al mașinii asincrone, similar cu cel produs de prezența unei impedanțe trifazate conectate la inelele rotorului, tensiunea și curentul de fază fiind mărimi sinusoidale.

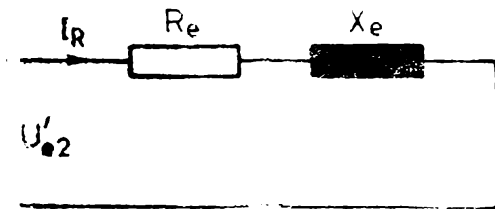


Fig.4.4

tensiunea rotorică u_R este în mod permanent egală cu tensiunea electromotoare u_{e2} , iar unghiul de aprindere influențează parametrii schemei care nu mai sînt constanți ci se definesc ca niște funcții de unghiul de aprindere: rezistența

Ecuațiile pentru schema electrică din fig.4.4 se pot scrie

$$u_{e2}' = U_{e2}'\sqrt{2} \sin \omega t \quad (4.7)$$

$$i_R = \frac{U_{e2}'\sqrt{2}}{R_e^2 + X_e^2} \sin(\omega t - \delta) \quad (4.8)$$

unde $\delta = \arctg \frac{X_e}{R_e}$

Din compararea relațiilor (4.6) și (4.8) rezultă:

$$\frac{U_{e2}'\sqrt{6} \sqrt{A_{1k}^2 + R_{1k}^2}}{2 \sqrt{R_{2p}'^2 + X_2'^2}} = \frac{U_{e2}'\sqrt{2}}{\sqrt{R_e^2 + X_e^2}} \quad (4.9)$$

$$\psi - \varphi = \delta \quad (4.10)$$

Relația (4.10) se poate scrie:

$$\frac{\operatorname{tg} \psi - \operatorname{tg} \varphi}{1 + \operatorname{tg} \psi \operatorname{tg} \varphi} = \operatorname{tg} \delta \quad (4.11)$$

și înlocuind expresiile tangentelor în funcție de parametri rezultă:

$$\frac{\frac{X_2'}{R_{2p}'} - \frac{B_{1R}}{A_{1R}}}{1 + \frac{X_2'}{R_{2p}'} \frac{B_{1R}}{A_{1R}}} = \frac{X_e}{R_e} \quad (4.12)$$

și în final:

$$\frac{R_e}{X_e} = \frac{A_{1R} X_2' - B_{1R} R_{2p}'}{A_{1R} R_{2p}' + B_{1R} X_2'} \quad (4.12')$$

Se aduce și relația (4.9) la o formă convenabilă:

$$R_e^2 + X_e^2 = \frac{4(R_{2p}'^2 + X_2'^2)}{3(A_{1R}^2 + B_{1R}^2)} \quad (4.9')$$

Înlocuind pe X_e în funcție de R_e din relația (4.12') în (4.9') se obține în final expresia lui R_e , rezistența echivalentă:

$$R_e(d) = \frac{2}{\sqrt{3}} \frac{A_{1R} R_{2p}' + B_{1R} X_2'}{A_{1R}^2 + B_{1R}^2} \quad (4.13)$$

și corespunzător

$$X_e(\) = \frac{2}{\sqrt{3}} \frac{A_{1R} X_2' - B_{1R} R_{2p}'}{A_{1R}^2 + B_{1R}^2} \quad (4.14)$$

Cu ajutorul acestor parametri echivalenți se calculează mărimile de pornire care interesează:

- K_{Ip} - reprezintă raportul dintre curentul statoric la momentul pornirii și curentul nominal de sarcină pentru care a fost proiectată mașina

$$K_{Ip} = \frac{I_{1p}}{I_{1n}} \quad (4.15)$$

- K_{Mp} - reprezintă raportul dintre cuplul de pornire și cuplul nominal al mașinii:

$$K_{Mp} = \frac{M_p}{M_n} \quad (4.16)$$

Expresia curentului de pornire este dată de relația (4.3) în care se înlocuiesc parametrii de fază ai rotorului la funcționare normală cu parametri echivalenți. Astfel că se poate scrie pentru K_{Ip} relația:

$$K_{Ip} = \frac{I_{1p}}{I_{1n}} = \frac{U_1}{I_{1n}} \frac{\sqrt{(R_1 + R_m + C_1 R_e)^2 + (X_1 + X_m + C_1 X_e)^2}}{\sqrt{C_1^2 R_m^2 + X_m^2 \cdot (R_1 + C_1 R_e)^2 + (X_1 + C_1 X_e)^2}} \quad (4.17)$$

Pentru cuplul mașinii de inducție în literatură 22 se dă relația:

$$M = \frac{p m_1 U_1^2}{\omega_1} \frac{R_2'/s}{(R_1 + C_1 R_2'/s)^2 + (X_1 + C_1 X_2')^2} \quad (4.18)$$

Făcînd aceleași înlocuiri de parametri și luînd pentru M_p alunecarea $s=1$ rezultă în final:

$$K_{Mp} = \frac{p m_1 U_1^2}{\omega_1 M_n} \frac{R_e}{(R_1 + C_1 R_e)^2 + (X_1 + C_1 X_e)^2} \quad (4.19)$$

Din punct de vedere energetic este important de determinat ce pierderi prin efect Joule apar la metoda analizată în lucrare și în ce raport sînt cu pierderile ce apar la metoda de pornire care utilizează un reostat trifazat conectat la inele.

Pentru comparație se consideră că în ambele situații:

- (1) cînd se folosește reostat
- (2) cînd se folosește RAPS

se asigură limitarea curentului de pornire la aceeași valoare I_1 , careia îi corespunde o valoare I_2 a curentului din circuitul rotoric. Pierderile în circuitul statoric fiind aceleași se vor analiza comparativ doar pierderile prin efect Joule din circuitul rotoric. Acestea au valorile $-3R_{p1} I_1^2$ și respectiv $3R_{p2} I_2^2$, în cele două cazuri. R_{p1} reprezintă rezistența totală a unei faze a circuitului rotoric a unui motor asincron care are conectat la inele un reostat, iar R_{p2} este rezistența unei faze a circuitului rotoric în cazul metodei (2) analizată în lucrare.

Curenții în cele două cazuri fiind egali se pot scrie relațiile:

$$I_2^2 = \frac{U_e^2}{R_{p1}^2 + X_2^2} \quad (4.20)$$

$$I_2^2 = \frac{U_e^2}{R_e^2 + X_e^2} \quad (4.21)$$

Din (4.12) se poate scrie:

$$R_e^2 + X_e^2 = \frac{4}{3} \frac{(R_{p2}^2 + X_2^2)}{(X_{1R}^2 + B_{1F}^2)} \quad (4.22)$$

Înlocuind în (4.21) și egalînd cu (4.20) rezultă:

$$\frac{U_{2e}^2}{R_{p1}^2 + X_2^2} = \frac{3}{4} \frac{U_{2e}^2 (A_{1R}^2 + B_{1R}^2)}{(R_{p2}^2 + X_2^2)} \quad (4.23)$$

$A_{1R}^2 + B_{1R}^2 = C_{1R}^2$, iar C_{1R} așa cum rezultă și din programul ALF (cap. III) este o mărime în general szbunitară.

Din (4.23) rezultă:

$$R_{p2}^2 = \frac{3C_{1R}^2 R_{p1}^2 - (4-3 C_{1R}^2) X_2^2}{4} \quad (4.24)$$

Luind pe $C_{1R} = 1$ (valoare acoperitoare), rezultă:

$$R_{p2}^2 = \frac{3}{4} R_{p1}^2 - \frac{1}{4} X_2^2 \quad (4.24')$$

deci:

$$R_{p2} < R_{p1} \quad (4.25)$$

și în mod implicit:

$$3R_{p2} I_2^2 < 3 R_{p1} I_2^2 \quad (4.26)$$

Rezultă în concluzie că prin metoda propusă în lucrare curentul de pornire se limitează la o anumită valoare cu pierderi prin efect Joule mai mici decât prin metoda clasică cu reostat de pornire.

Observație. Considerînd înfășurarea rotorică a unei mașini asincrone un sistem electric simetric, rezultatele obținute pentru faza R sînt valabile și pentru celelalte faze.

4.3. Procedul de calcul pentru determinarea mărimilor

R_e, X_e, K_{IpR} și K_{mBR} . Exemplu de calcul.

Pentru determinarea valorilor mărimilor R_e, X_e, K_{Ip} și K_{mB} pentru diferite motoare asincrone, s-a conceput un program de calcul ALFIM a cărei ordinogramă este prezentată în fig.4.5.

În conceperea programului s-a ivit de la început o problemă legată de calculul coeficienților A_{1R}, B_{1R} .

Așa cum a rezultat din expresiile calculate în capitolul III, coeficienții A_{1R} și B_{1R} depind de unghiurile γ și γ_0 , care la rîndul lor sînt funcție atît de unghiul de aprindere

α al tiristoarelor cît și de coeficientul K prin care se ține cont de valoarea curentului de sarcină, care trebuie prelininat.

Pornind de la concluziile rezultate din compararea valorilor obținute pentru coeficienții termenilor în sinus și cosinus și armonicii fundamentale din dezvoltarea în serie Fourier a funcției periodice $u_R(t)$, în cele două situații, cu considerarea comutației instantanee și cu considerarea comutației reale și care s-a arătat că în domeniul uzual de lucru ele diferă dar au o variație asemănătoare s-a preliminariat K_{Ip} , calculându-l cu coeficienții A_1 și B_1 . Cu acest I_p rezultat ca și curent de sarcină s-au calculat A_{1R} și B_{1R} și apoi s-a calculat un coeficient $K_{IpR} = I_{1R}/I_{1n}$. S-a comparat valoarea lui K_{IpR} cu K_{Ip} și dacă diferența depășea o anumită limită (în program limita s-a impus 0,05) printr-un calcul iterativ se ajunge la o situație convenabilă calculul convergînd către limita impusă.

Etapile principale ale programului de calcul sînt următoarele:

1. Se citește valorile de pe cartelele de date ;
 2. Se inițializează R_{2p} și α
 3. Se calculează K_{Ip} preliminar
 4. Se calculează γ^p și γ^o
 5. Se calculează A_{1R} , B_{1R} , R_e și X_e
 6. Se calculează K_{IpR}
 7. Se compară valoarea lui K_{IpR} cu valoarea preliminară pentru acest coeficient și dacă este în limita admisă se continuă cu punctul ; dacă nu, atunci se revine la punctul 4 cu noua valoare a lui K_{IpR} și se iterează pînă la obținerea valorii corespunzătoare pentru K_{IpR} .
 8. Se calculează K_{mpR}
 9. Se tipăresc valorile mărimilor care interesează
 10. Se mărește valoarea lui α și se reia calculul începînd de la punctul 3.
 11. Cînd unghiul α atinge valoarea de 120° se trece la o nouă valoare a lui R_{2p} și se reia calculul de la 2.
 12. Cînd $R_{2p} = R_2$ programul de calcul se oprește.
- S-a impus pentru α_{max} în programul de calcul valoarea de 120° pentru a scurta durata de calcul a programului, pornind și de la considerentul că pentru domeniul normal de lucru unghiul de comutație γ are valori de cca $40-60^\circ$, deci calculul acoperă întreg domeniul pe care se lucrează în mod obișnuit.

Exemplul de calcul s-a rulat cu datele unui motor asincron cu inele pe care s-au făcut și încercările experimentale.

Datele principale ale motorului sînt următoarele:

- putere nominală $P_n = 4 \text{ kW}$
- turație nominală $n_n = 940 \text{ rot/min}$
- tensiune de fază în stator $U_1 = 220 \text{ V}$
- curentul statoric nominal $I_{1n} = 10 \text{ A}$
- numărul de perechi de poli $p=3$
- parametrii înfășurării statorice $R_1=1,1 \Omega$; $X_1=2,29 \Omega$
- parametrii reduși la stator ai înfășurării rotorice $R_2' = 1,03 \Omega$; $X_2' = 2,29 \Omega$
- parametrii de magnetizare ai schemei echivalente $R_m=2,09 \Omega$
 $X_m = 34,76 \Omega$
- coeficientul $C_1 = 1,07$
- conexiunea atât pentru înfășurarea rotorică cît și pentru cea statorică este în stea
- tensiunea indusă în rotor $U_2 = 127 \text{ V}$
- curentul rotoric $I_2 = 20 \text{ A}$

Rezultatele numerice obținute pentru mărimile precizate în cadrul programului de calcul sînt prezentate sub formă tabelară și grafică după cum urmează:

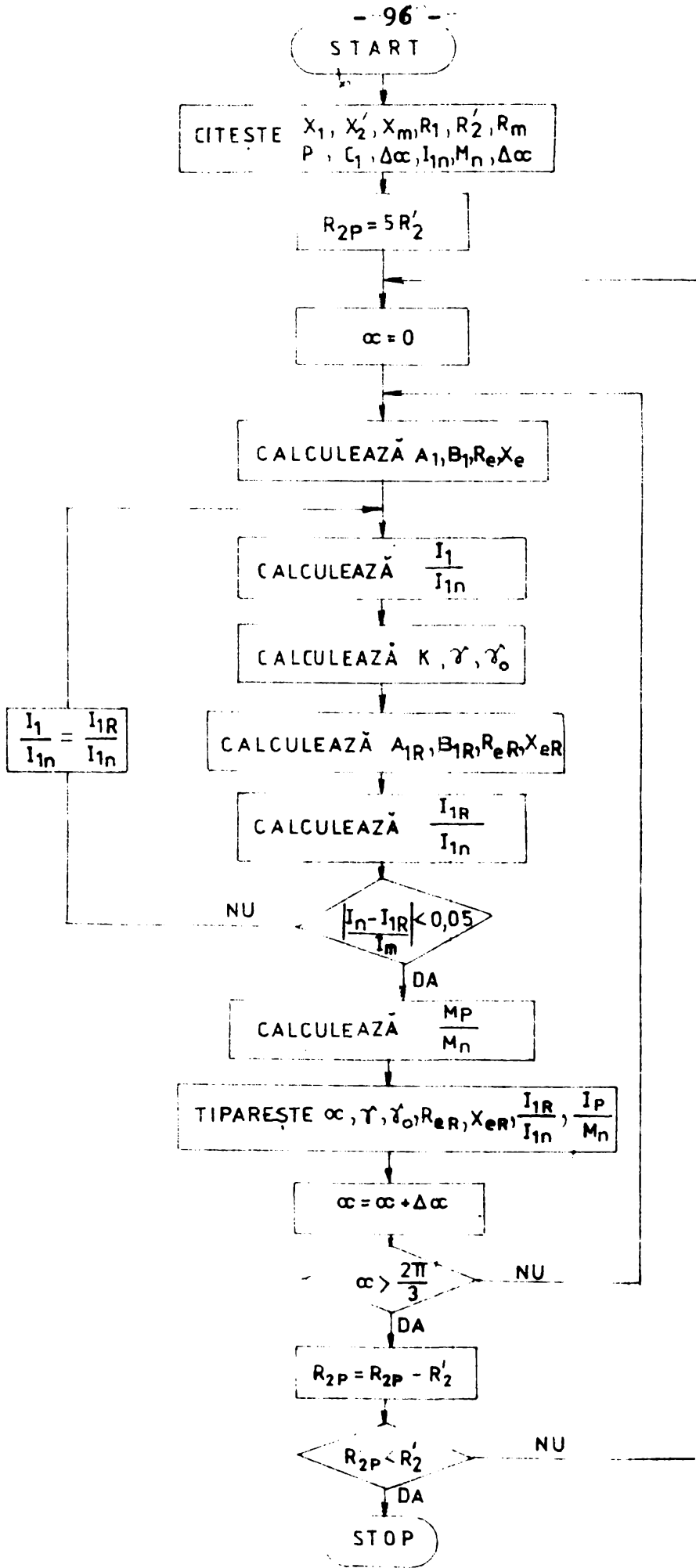
- pentru rezistența echivalentă R_e și reactanța echivalentă X_e ale circuitului rotoric la care se află conectat circuitul de forță al RPS rezultatele sînt prezentate în tabelele 4.1 și 4.2, în funcție de unghiul α și pentru diferite valori ale rezistenței rezistorului R conectat la bornele de ieșire ale RPS.

- pentru rapoartele K_{IPR} și K_{MPR} s-au trasat graficele de variație ale acestor mărimi ca funcție de unghiul α (fig.4.6 și 4.7) avînd ca parametru valoarea rezistenței rezistorului R .

4.4. Observații, concluzii

Analizînd valorile numerice obținute pentru parametrii echivalenți ai schemei și pentru mărimile depornire K_{IPR} și K_{MPR} precum și modul cum variază aceștia în funcție de unghiul α de comandă al tiristoarelor punții și de valoarea rezistenței rezistorului R se pot desprinde următoarele:

1. Față de valorile uzuale ale rezistenței și a reactanței rotorice a unui motor asincron cu inele, valorile parametrilor echivalenți ai schemei cresc foarte mult. Așa cum rezultă și din tabelul 4.1, valoarea rezistenței echivalente are valori cuprinse



Tabelul 4.1 $R_e = f(\alpha)$

$\alpha \backslash R$	$8R_2^1$	$6R_2^1$	$4R_2^1$	$2R_2^1$	0
0	8,32608	7,49397	6,62200	5,84713	5,00700
5	8,36810	7,43584	6,47605	5,80125	5,00979
10	8,36987	7,42935	6,48575	5,81535	5,02829
15	8,41680	7,46473	6,54767	5,89139	5,26310
20	8,42950	7,60560	6,66712	6,03449	5,36979
25	8,60549	7,77930	6,85102	6,23416	5,52384
30	8,85680	8,05654	7,10889	6,36932	6,00897
35	9,19695	8,42234	7,60600	6,79316	6,43532
40	9,64660	8,91428	8,11416	7,46165	7,00212
45	10,73552	9,37188	8,79167	7,94755	7,43856
50	11,20300	10,20855	9,42834	9,04169	7,49698
55	12,32311	11,24812	10,43612	10,18574	8,79992
60	20,90200	20,69033	19,82088	18,19991	16,69787
65	23,04579	22,63898	21,50390	19,74559	17,47452
70	27,55663	25,67259	22,77370	21,07791	19,19437
75	29,11455	28,10649	25,26308	24,04161	22,05571
80	32,34631	30,92050	26,98524	25,67093	23,76712
85	31,11987	34,79569	30,99708	29,48097	12,80594
90	26,66669	24,61850	22,68454	21,49638	19,32312
95	30,78397	28,36512	26,29062	25,07674	22,71730
100	35,99701	34,70503	31,11302	29,82085	26,74641
105	48,13269	41,31413	37,75312	35,10846	34,38523
110	55,23519	51,21252	47,23479	44,32125	41,30232
115	66,27820	66,02769	64,01218	54,16457	54,88550
120	87,81404	89,24603	86,57364	83,54030	79,98135

între $(5 - \infty)R_2^1$, ceea ce ar fi greu de obținut folosind un reostat clasic. Se modifică în mod sensibil și reactanța circuitului; în cazul calculat valoarea lui X_e este cuprinsă în domeniul de $(1,5 - 15) X_2^1$.

2. Valoarea numerică a parametrilor echivalenți este influențată în principal de valoarea unghiului α și variația lui R_e și X_e în funcție de unghiul α este în general monotună. Face excepție doar un interval care corespunde cazului III (vezi cap. III) unde apare o discontinuitate și datorază faptului că în conformitate cu cele precizate în cap. III dat fiind complexitatea fenomenelor de comutație suprapusă s-au

Tabelul 4.2 $X_e = f(\alpha)$

α / R	$8R_2^1$	$6R_2^1$	$4R_2^1$	$2R_2^1$	0
0	5,46532	5,16968	4,76453	4,33613	3,74479
5	5,60657	5,30359	4,79646	4,37631	3,74716
10	5,77627	5,46174	4,91717	4,44781	3,76497
15	6,01794	5,65934	5,06624	4,54453	3,85306
20	6,30546	5,89992	5,24623	4,66927	3,85646
25	6,64160	6,18648	5,46061	4,82388	3,92216
30	7,03530	6,52226	5,70903	5,01161	4,07357
35	7,48226	6,91419	6,10391	5,14460	4,18499
40	8,00679	7,57217	6,46447	5,46472	4,32552
45	8,59939	7,90908	6,88967	5,67936	4,42337
50	9,48666	8,35116	7,84327	6,11347	4,43466
55	10,34632	9,61547	7,76197	6,52311	4,88774
60	5,38904	5,39106	5,67214	5,84912	6,05684
65	5,69238	5,71526	5,96467	6,13371	6,22889
70	6,03262	6,19704	6,17656	6,37043	6,55436
75	6,29028	6,56441	6,58494	6,87210	7,06257
80	6,74123	6,97120	7,15060	7,13503	7,34520
85	12,10144	7,50358	7,44368	7,41964	7,09624
90	15,15071	13,15649	11,26407	9,50629	7,38904
95	16,97530	14,65056	12,43570	10,56661	7,93730
100	19,17628	16,76320	13,84325	11,39105	8,71902
105	21,87584	18,98367	15,56482	12,41132	9,47286
110	25,25887	21,75350	17,71748	13,97577	10,22273
115	29,61963	25,30838	20,95206	15,98592	11,48552
120	34,51030	30,05000	24,58374	19,01477	13,37426

folosit unele simplificări și deci fenomenul nu a putut fi analizat strict amanunțit.

Valorile obținute pentru acest domeniu sînt însă încadra-
bile între celelalte valori și nu duc la destorsionarea curbelor
marimilor de pornire K_{1pR} și K_{MPR} (vezi fig.4.6 și 4.7).

3. Calculul evidentiază faptul că modificarea valorii re-
zistenței reostatului suplimentar nu duce la o modificare impor-
tantă a valorii parametrilor echivalenți și în ultimă instanță
eliminarea lui din schemă este posibilă.

4. Curentul de pornire al motorului asincron, a cărui va-
riație în funcție de unghiul α este reprezentată în fig.4.6

-97-

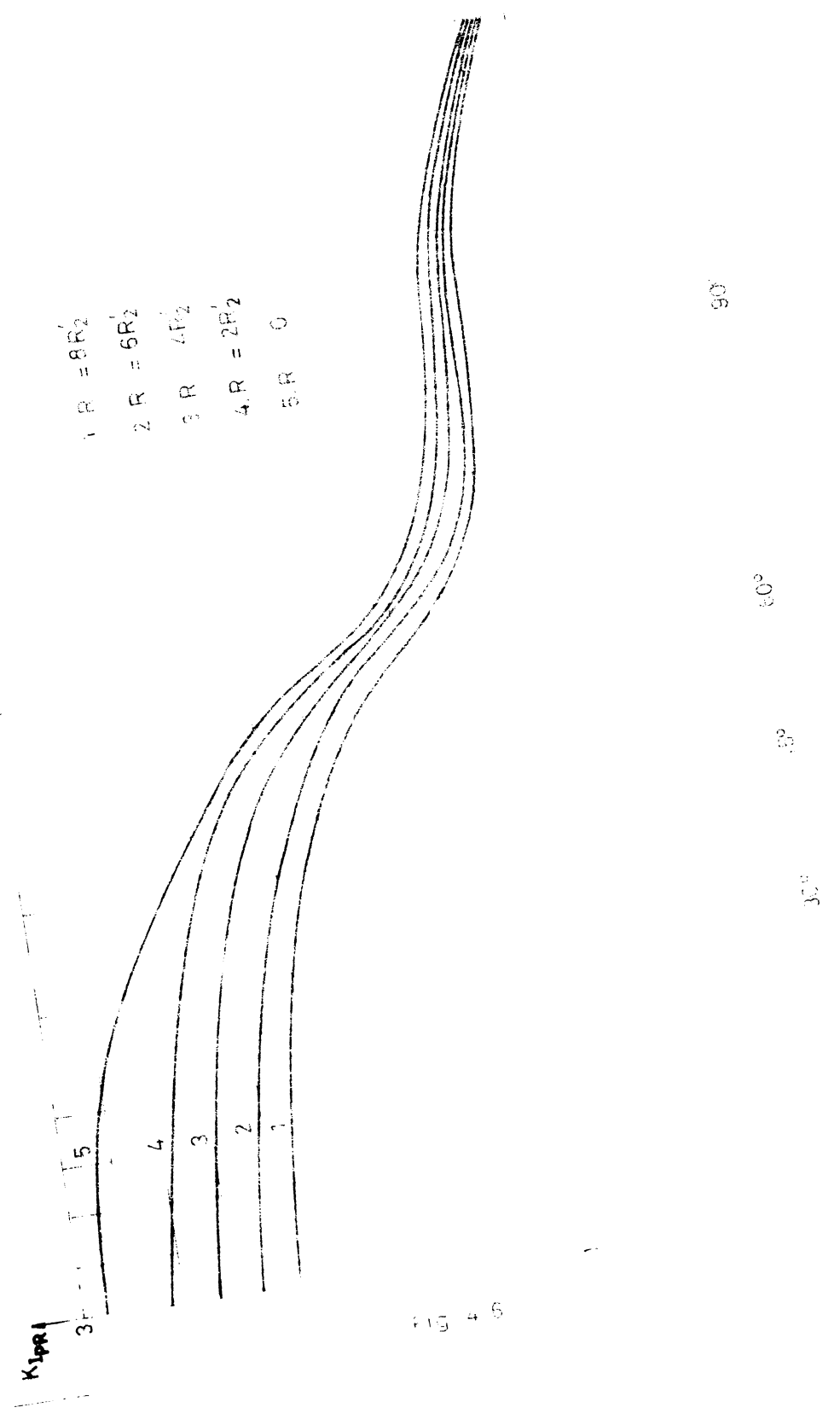
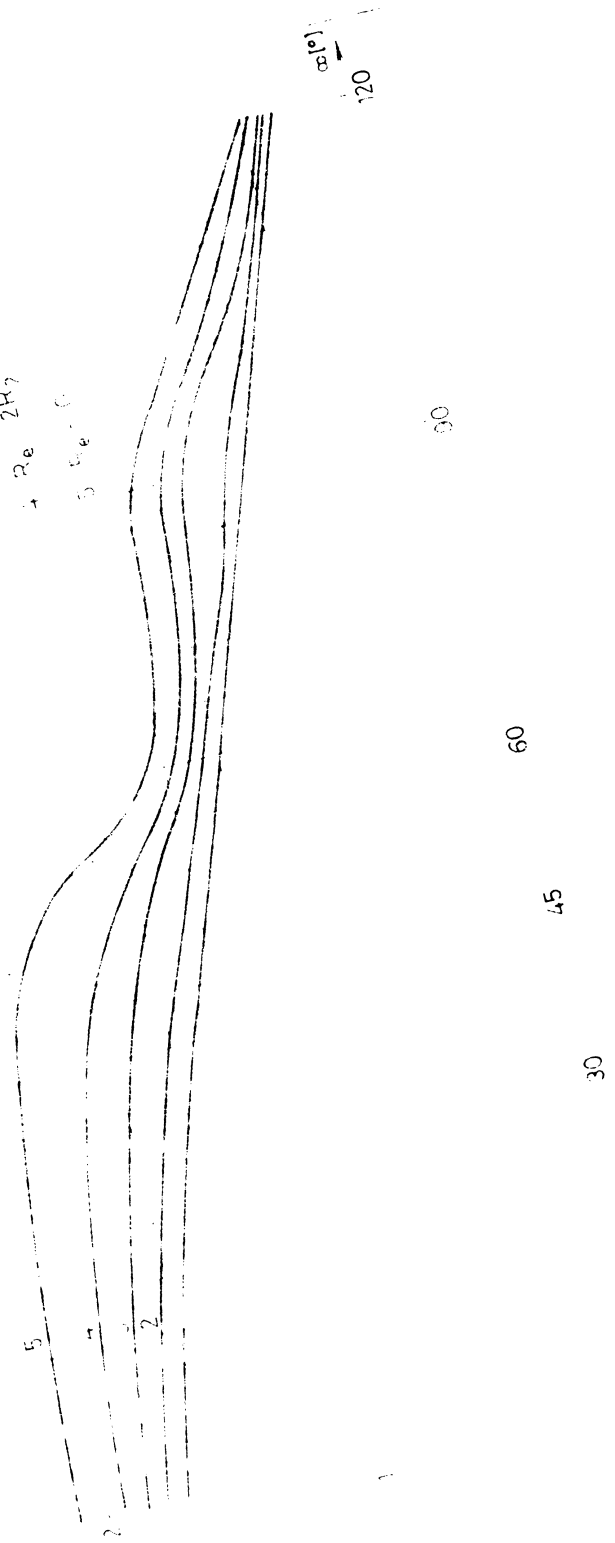


FIG 4 6

-98°

$R_1 = b R_2$
 $h_e = 6 R_2$
3 $P_e = 4 R_2$
4 $R_e = 2 R_2$
5 $S_e = C$



KMPR 1

prin intermediul raportului K_{IpR} , variază pe intervalul calculat în limite largi, putând lua valori între $(0,7-2,9)I_n$. Influența rezistenței suplimentare se face simțită la valori mici ale unghiului α , ca apoi (pentru $\alpha > 60^\circ$) practic să nu influențeze valoarea lui K_{IpR} .

5. Cuplul de pornire al motorului a cărui variație, tot în funcție de unghiul α este reprezentată în fig. 4.7 prin intermediul raportului K_{mDR} poate lua valori cuprinse între $(2,1 - 0,4)I_n$.

Si în cazul cuplului de pornire influența valorii rezistenței reostatului suplimentar R este redusă (mai ales la valori ale lui $R_c > 4R_2$).

6. Se poate concluziona în final că este posibil, dat fiind limitele între care pot varia curentul și cuplul de pornire să se prescrie un astfel de interval de variație al unghiului și eventual să se utilizeze o rezistență suplimentară de valoare corespunzătoare, care să asigure o pornire a sistemului de acționare automat de un motor asincron cu un PIPS intercalat în circuitul rotoric, care să asigure și o reducere corespunzătoare a curentului și un cuplu de pornire suficient.

CAPITOLUL V

REZULTATE EXPERIMENTALE

5.1. Probleme generale

Pentru cercetările experimentale s-a conceput și realizat un stand de probă care cuprinde în principal mașina asincronă, redresorul semicomandat, instrumentele de măsură și aparatura necesară.

S-a urmărit atât evidențierea calitativă^{est} și evaluarea cantitativă a fenomenelor urmărite în cadrul experimentărilor.

5.2. Motorul de acționare

Motorul de acționare este un motor asincron cu rotor bobinat a cărui date principale trecute pe plăcuță sînt:

$$P_n = 4 \text{ kW}, \quad n_n = 940 \text{ rot/min}$$

$$\text{stator: } U_{1nr} = 220 \text{ V}, \quad I_{1n} = 10 \text{ A} \quad \text{conex Y}$$

$$\text{rotor: } U_{2nf} = 127 \text{ V}, \quad I_{2n} = 20 \text{ A} \quad \text{conex Y}$$

Este motorul cu a cărui date s-a rulat programul ALFA (cap. IV).

Parametrii motorului s-au determinat pe baza unor probe de mers în gol și de scurtcircuit [22,64,78,94].

Rezistența unei faze a înfășurării statorice s-a măsurat prin metoda comparației și a rezultat valoarea $R_1 = 1,1 \Omega$.

În urma prelucrării rezultatelor de la proba de mers în gol și de la proba în scurtcircuit au rezultat următoarele valori ale parametrilor schemei echivalente a mașinii asincrone:

$$\text{- parametri de magnetizare} \quad R_m = 2,09 \Omega, \quad X_m = 34,76 \Omega$$

$$\text{- parametri de scurtcircuit} \quad R_{sc} = 2,13 \Omega, \quad X_{sc} = 458 \Omega$$

Cum R_1 a rezultat din măsurători directe se poate calcula $R_2' = R_{sc} - R_1 = 1,03 \Omega$.

Pentru reactanțele de dispersie s-a considerat că $X_1 = X_2' = 0,5 X_{sc} = 2,29 \Omega$ neavînd importanță esențială separarea, deoarece intervine suma lor. Se calculează de asemenea și tensiunea nominală de scurtcircuit $u_{sc} = 0,23 U_n$.

Considerînd constanta C_1 ca o mărime reală și avînd valorile lui X_1 și X_{1m} rezulta pentru C_1 valoarea 1,07.

Astfel s-au determinat parametrii și mărimile schemei echivalente în L a mașinii asincrone și totodată datele necesare rulării programului ALFIL.

5.3. Redresorul bifazat semicomandat în punte.

Redresorul utilizat la experimentări a fost proiectat și realizat de către autor și un colectiv de studenți.

Părțile constitutive principale ale redresorului sînt:

- circuitul de forță ;
- circuitul de comandă.

Elementele circuitului de forță sînt tiristoarele, diodele și sistemele de protecție.

Schema de principiu a circuitului de forță a fost prezentată în fig.2.2, diodele și tiristoarele folosite sînt de construcție I.P.F.S.Băneasa și sînt montate pe radiatoare H.

În circuitul de forță au fost montate siguranțe fuzibile ultrarapide.

Atît diodele cîtși tiristoarele au fost alese cu un curent nominal de 60 A, siguranțele ultrarapide sînt de asemenea un curent nominal de 60 A.

Circuitul de comandă al redresorului se compune din:

- blocul generator de impulsuri ;
- amplificatorul final al impulsurilor ;
- stabilizatorul tensiunii de sincronizare.

Principiul schemei de comandă folosită constă în faptul că semnalele de comandă ale tiristoarelor sînt declanșate nu direct la trecerea prin zero a tensiunii alternative, ci pentru o comandă a valorii medii, mai întîi aceste impulsuri fiind supuse unei modulări în poziție.

Tensiunea de comparație necesară pentru modulare (tensiunea în rampă) este sincronizată cu trecerea prin zero a tensiunii U_2 de la înelurile colectoare ale motorului asincron.

Că schema bloc de comandă a unghiului de aprindere a tiristoarelor pentru o singură fază (un singur canal) este prezentată în fig.5.1.

Impulsurile de comandă pe grila tiristoarelor sînt sincronizate cu tensiunea rotorică a motorului asincron. Ele pot fi defazate față de tensiunea prin zero a tensiunii U_2 cu un unghi determinat de o tensiune continuă de comandă.

Elementul principal al blocului de comandă pe grilă este

circuitul integrat β AA 146 . Acest circuit integrat este spe-

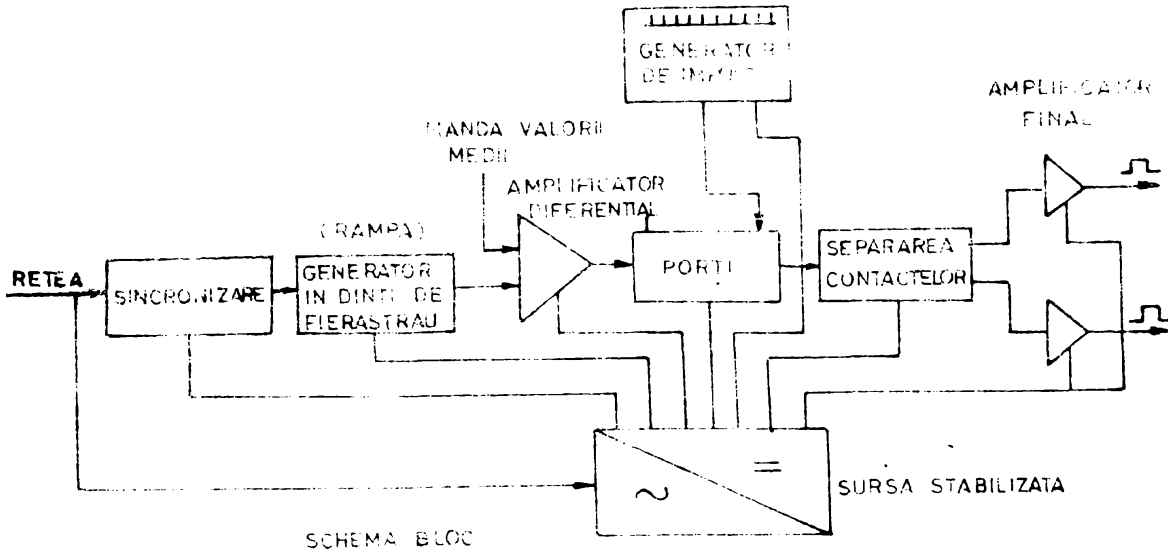


Fig.5.1

cializat în generarea impulsurilor sincronizate cu tensiunea de alimentare.

Nivelul tensiunii impulsurilor oferit de schema de comandă a tiristoarelor fiind prea scăzut, a fost necesară o ampli-

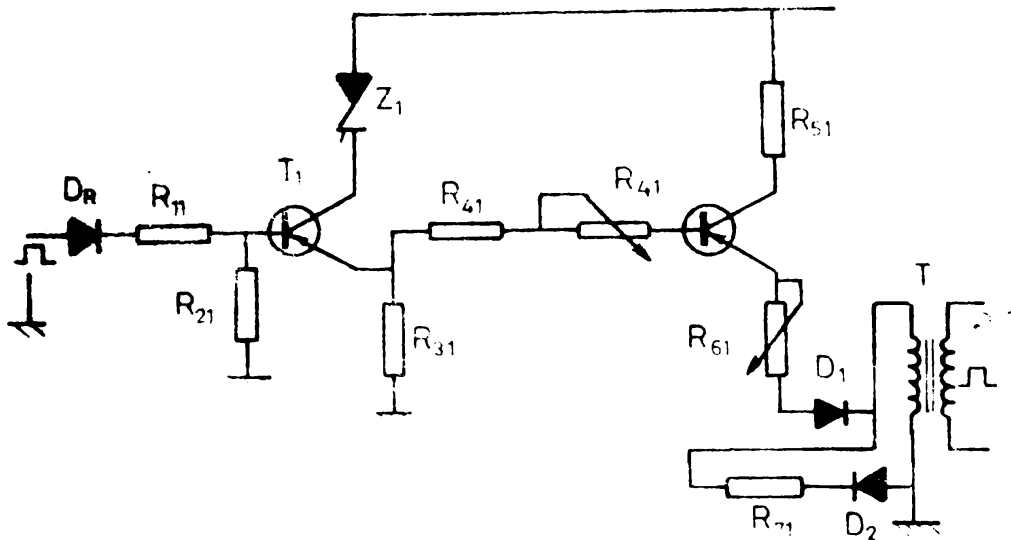


Fig.5.2

ficare a acestuia. Pentru aceasta în schemă se folosește un amplificator cu cele două tranzistoare pentru fiecare fază (fig. 5.2).

Schema este astfel concepută încât în momentul în care blo-

cul generator de impulsuri nu oferă la ieșire impulsuri, schema nu consumă energie, deci nu are loc amplificare. În momentul apariției unui impuls, tranzistoarele conduc la saturație și amplifică corespunzător ca nivel de tensiune și curent. Impulsul obținut este capabil să deschidă tiristorul astfel comandat.

Intrucât valoarea maximă a tensiunii alternative de sincronizare luată din circuitul rotoric al motorului asincron nu are voie să depășească o valoare limită este necesar un circuit de stabilizare a tensiunii rotorice. Acest lucru se realizează cu un montaj cu diode Zenner în antiparalel.

5.4. incercări pe stand

Schema electrică de principiu a standului experimental este prezentată în fig.5.3.

Elementele componente ale instalației experimentale sînt:

- sistemul de alimentare cu tensiune variabilă format dintr-un transformator reglabil sub sarcină AT și întrerupătorul K ;

- sistemul de măsurare și control compus din trusa Wattmetrică (TW) pentru măsurarea mărimilor electrice din statorul mașinii (U, I, P), ampermetrul A și voltmetrul V din circuitul rotoric al mașinii asincrone precum și un osciloscop care nu este figurat în schemă ;

- motorul asincron (MA) cu datele prezentate în 5.2 ;

- mașina de lucru pentru încărcarea motorului asincron, un generator de c.c. cu excitație separată ($G.c.c.$) ;

- redresorul semicomandat reprezentat prin circuitul de forță cu tiristoarele T și diodele D , circuitul de comandă DCG și protecția prin siguranțe ultrarapide S_f ;

- rezistența suplimentară R conectată la bornele de ieșire ale redresorului.

Incercările experimentale au început cu verificarea sistemului de acționare astfel conceput, efectuîndu-se porniri în gol și la diverse încărcări ale motorului asincron comandat cu RIPS.

Incercările au evidențiat corectitudinea soluției adoptate în lucrare asigurîndu-se pornirea lină a sistemului de acționare și menținînd prin controlul de fază al unghiului α , intensitatea curenților din înfășurările mașinii în limitele

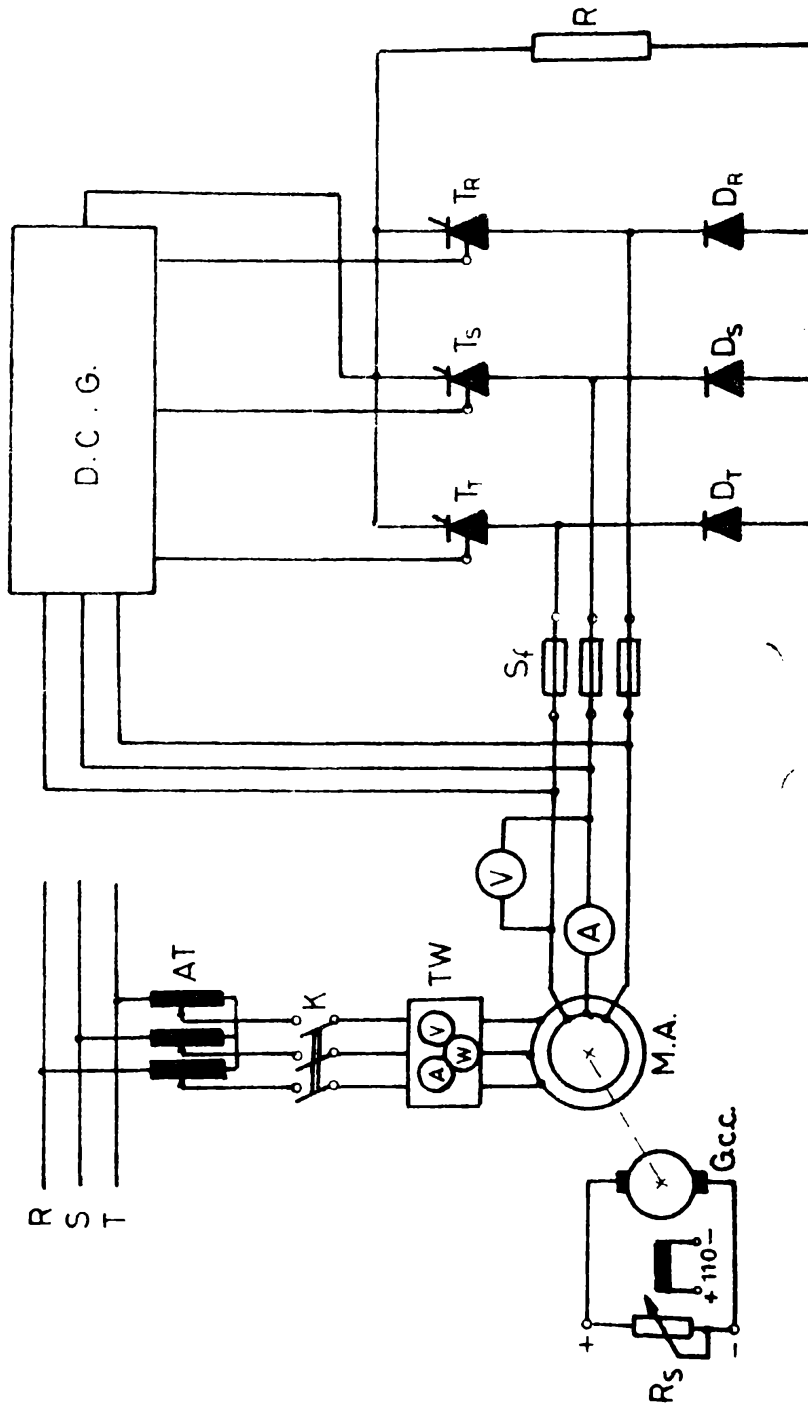


Fig. 5.3

b

admise pe parcursul pornirii.

În continuare s-au efectuat încercări în regim de scurt-circuit, simulându-se astfel momentul de început al procesului de pornire, și s-au oscilografiat tensiunea redresată, tensiunea pe tiristor și curentul prin fazele înfășurării rotorice, care, dat fiind caracterul rezistiv al circuitului impus de prezența rezistenței suplimentare, se poate considera că are aceeași formă ca și tensiunea rotorică de fază.

În figurile 5.4 - 5.7 sînt reprezentate oscilogramele:

a) tensiunii redresate nefiltrate de la bornela de curent continuu de RIPS $U_{redr} = f(\omega t)$.

b) tensiunii pe tiristorul fazei R = RIPS $U_{TR} = f(\omega t)$;

c) curentului (tensiunii rotorice) pe faza R $U_A = f(\omega t)$

Oscilogramele au fost ridicate pentru cazul cînd rezistența rezistorului suplimentar R a avut valoarea $R = 6R_2$ și în patru situații corespunzînd valorilor unghiului de comandă:

$$\alpha = \begin{cases} 36^\circ & \text{(fig. 5.4)} \\ 72^\circ & \text{(fig. 5.5)} \\ 108^\circ & \text{(fig. 5.6)} \\ 144^\circ & \text{(fig. 5.7)} \end{cases}$$

Un ultim obiectiv al cercetărilor experimentale l-a constituit determinarea valorilor curentului de pornire al motorului asincron în cazul analizat în lucrare. Pentru aceasta s-a folosit schema de montaj din fig. 5.2. făcîndu-se o probă de scurtcircuit.

S-au făcut măsurători în trei situații corespunzător a trei valori pentru rezistența rezistorului suplimentar R

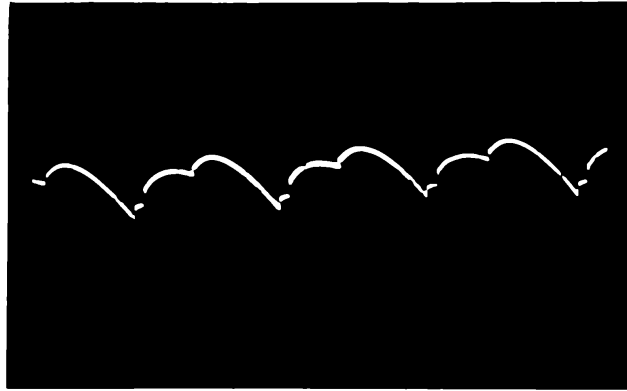
$$R = 6R_2 \quad \text{(fig. 5.6 - curba 1)}$$

$$R = 4R_2 \quad \text{(fig. 5.8 - curba 2)}$$

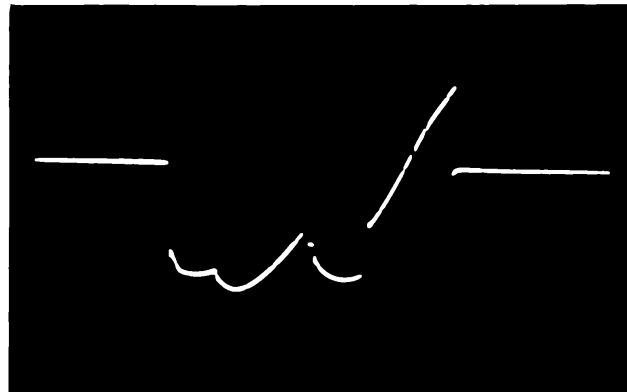
$$R = 0 \quad \text{(fig. 5.8 - curba 3)}$$

Unghiul de comandă α al tiristoarelor a fost variat în domeniul de $(54^\circ - 135^\circ)$.

$$\alpha = 36^\circ$$



$$a) U_{\text{recr}} = f(\omega t)$$



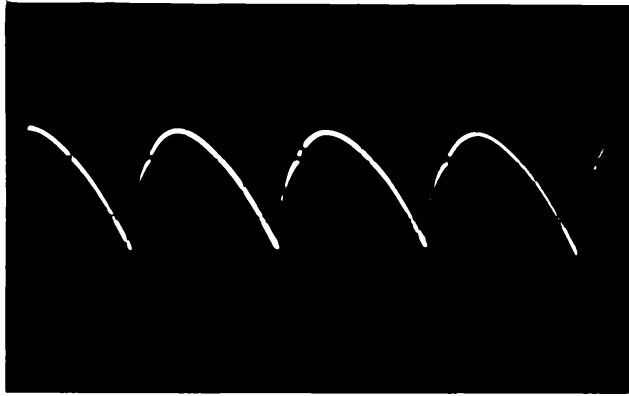
$$b) U_{LH} = f(\omega t)$$



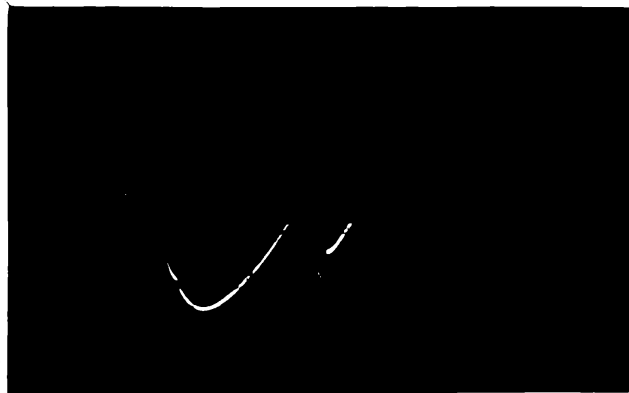
$$c) U_A = f(\omega t)$$

Fig. 9.4

$$\alpha = 72^\circ$$



a) $U_{redr} = f(\omega t)$



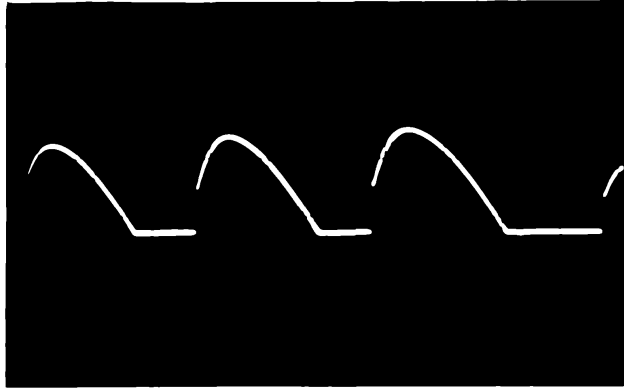
b) $U_{\Delta A} = f(\omega t)$



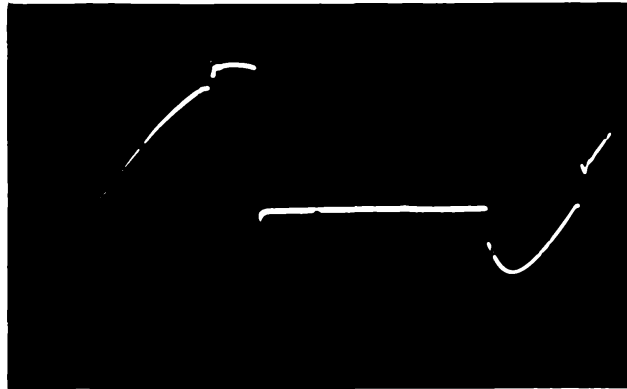
c) $U_{\Delta} = f(\omega t)$

Fig. 5.5

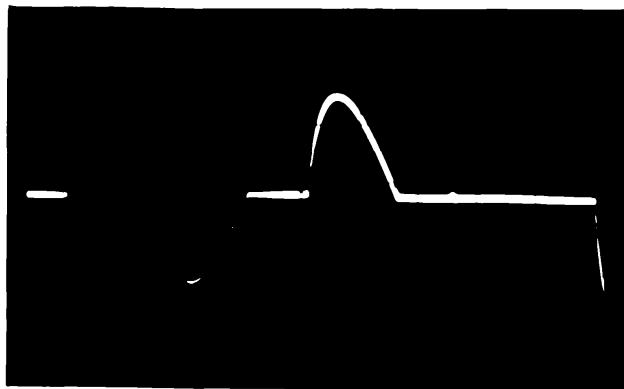
$$\alpha = 108^\circ$$



$$a) U_{редr} = f(\omega t)$$



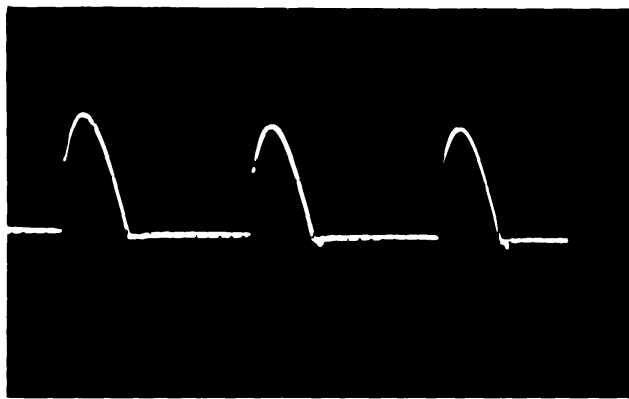
$$b) U_{TR} = f(\omega t)$$



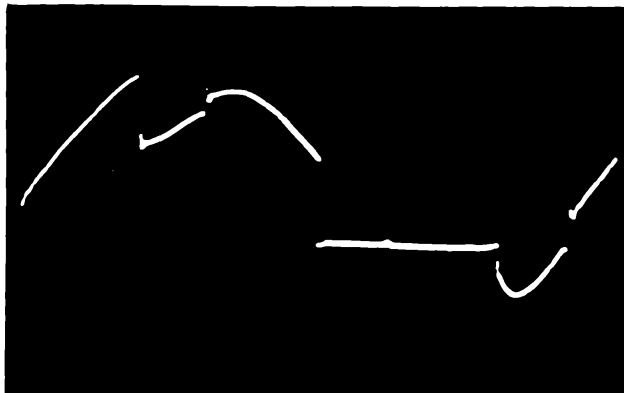
$$c) U_A = f(\omega t)$$

Fig. 5.6

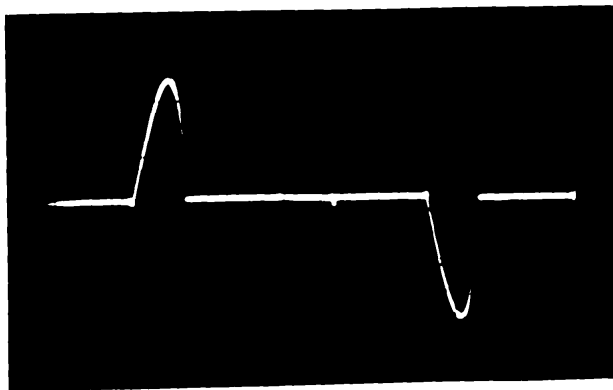
$$\alpha = 144^\circ$$



a) $U_{\text{redr}} = f(\omega t)$

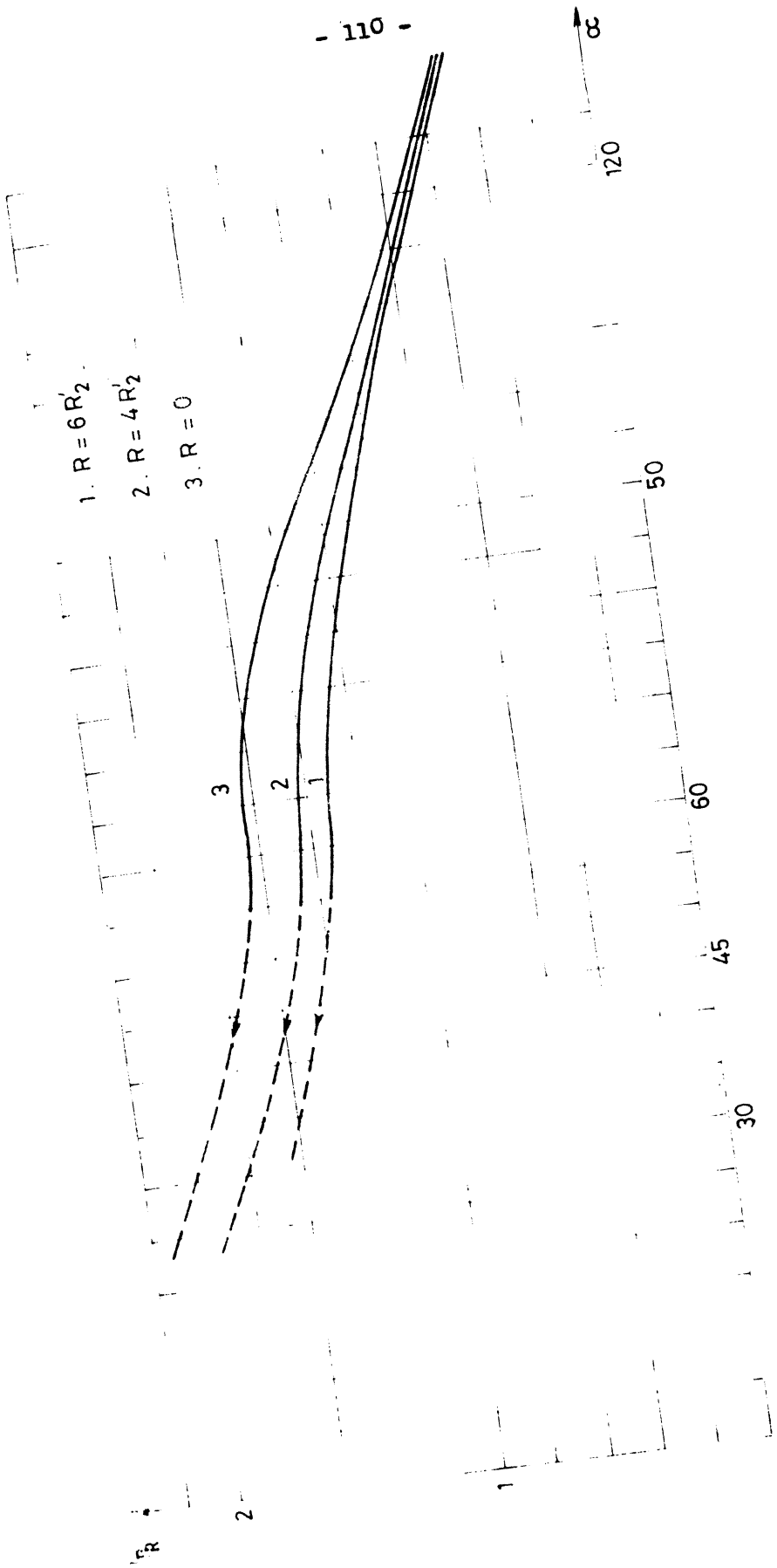


b) $U_{\text{AK}} = f(\omega t)$



c) $U_{\text{K}} = f(\omega t)$

Fig.5.7



x-

5.5. Observații, concluzii

1. Se poate observa din oscilogramele tensiunii rotorice că forma acesteia corespunde în general formei considerate teoretic. La valori mici ale unghiului de comandă α se constată că trecerea la 0 a valorii tensiunii este bruscă, ceea ce este evidențiat de panta practic verticală de limitare laterală a arcelor de sinusoidă. Aceasta se explică prin faptul că la valori mici ale lui α , puterea reactivă de comandă fiind mică (ea variază cu $\sin \alpha$) influența inductivităților din circuitul care întârzie comutația, este mai redusă, deci în aceste situații se poate considera comutația apropiată de cea ideală.

La valori mai mari ale unghiului de comandă se constată o "rotunjire" a formei pulsurilor tensiunii rotorice, rezultat al influenței crescute a inductivităților din circuit.

Pentru tensiunea redresată și pentru căderea de tensiune pe tiristor nu sînt necesare mențiuni speciale, formele lor de undă fiind cele obișnuite pentru funcționarea RPS.

2. Pornind de la faptul că în momentul inițial al procesului de pornire, cînd viteza rotorului este nulă se poate considera că mașina asincronă este în regim de scurtcircuit se poate afirma că I_p , curentul de pornire are valoarea I_{sc} , curentul de scurtcircuit. Raportînd valoarea acestui curent la curentul nominal de sarcină s-a calculat factorul K_{IpR} care s-a reprezentat în fig.5.8.

Comparînd curbele obținute experimental cu cele rezultate în urma calculului analitic (fig.4.6) se constată următoarele:

- în general, pe domeniul analizat, formele de variație ale curbelor sînt asemănătoare, iar valorile obținute pentru K_{IpR} la aceeași valoare a lui K și la același unghi α sînt foarte apropiate ;

- în domeniul învecinat valorii de 60° a unghiului α se constată că valorile lui K_{IpR} sînt mai mari pentru curbele experimentale, ceea ce face să dispară a cea variație bruscă din cazul curbelor teoretice; aceasta se poate explica prin faptul că pentru domeniul din jurul valorii de 60° a unghiului α , așa cum s-a arătat în capitolul III, este foarte dificil să se obțină o formă de undă exactă a tensiunii rotorice, datorită faptului că suprapunerea la comutație a pere-

chilor de tiristoare și de diode nu se face după o lege de succesiune precisă pe întreaga perioadă de suprapunere, iar pentru studiul teoretic a fost necesară însă adaptarea unei anumite forme de undă "echivalente" pentru întreaga perioadă susamintită ;

- diferențele care apar între modelul teoretic și rezultatele experimentale sînt inerente, este însă important faptul că nu sînt diferențe mari, pe domeniul măsurat diferențele fiind cuprinse între (1,6 - 9,8)% din valoarea calculată și nu duc la modificări esențiale ale formei curbelor curentului de pornire.

3. Pentru aplicarea practică a soluției de pornire analizate în lucrare este important să se arate că se pot obține valori reduse ale curentului de pornire, fără a diminua valoarea cuplului de pornire, că sistemul de comandă adoptat:

- asigură un domeniu larg de modificare a lui K_{Ip} ;
- este precis, asigurînd o reglare fină a valorii curentului de pornire ;

- simplu de manevrat, se acționează de fapt asupra unui potențiomtru reglabil ;

- nu are inerție și nu apar oscilații sensibile ale curentului în timpul operației de modificare a valorii sale.

CAPITOLUL VI

CONCLUZII FINALE, PERSPECTIVE

Tema lucrării deși se încadrează în domeniul studiului comportării mașinii asincrone în sisteme de acționare cu dispozitive statice, un domeniu intens studiat în ultimul timp, are în vedere un caz care nu a mai fost studiat în amănunt până în prezent.

Aceasta face ca, deși s-au folosit mijloace de investigație și de studiu îndeobște cunoscute, strategia și modul de abordare a problemelor din lucrare să fie concepute de autor.

Analizând în mod concret o metodă de pornire pentru motorul asincron cu rotor bobinat care folosește un redresor trifazat în punte semicomandată, în lucrare se face ipoteza că se poate studia metoda folosind o schemă echivalentă în care apare în locul redresorului o impedanță variabilă în funcție de unghiul de aprindere al tiristoarelor.

Pornind de la acest model matematic se determină expresiile analitice ale parametrilor echivalenți și ale mărimilor de pornire, cuplu și curent, și se calculează valorile lor concrete pentru un caz real.

Experimentările au fost făcute pe același motor ale cărui date au fost introduse în programul de calcul.

Se pot stabili următoarele concluzii generale:

1.- Pornirea mașinii de inducție în regim de motor este un regim tranzitoriu care influențează rețeaua de alimentare datorită șocului de curent care apare în acest proces.

2.- Cu toate dezavantajele constructive și funcționale pe care le are în comparație cu mașina asincronă cu rotor în scurtcircuit, mașina asincronă cu rotor bobinat este superioară din punct de vedere al condițiilor de pornire, putând avea concomitent un curent de pornire de valoare relativ redusă și un cuplu la pornire suficient de mare.

3.- Metoda de pornire analizată în lucrare care se recomandă a fi utilizată la pornirea motoarelor asincrone, cu rotor bobinat asigură aceste cerințe în condițiile unei scheme relativ simple și a unei poluări armonice reduse a rețelei.

4.- Metoda analitică de determinare a coeficienților termenilor dezvoltării în serie Fourier a funcției $u(t)$, atât în

cazul considerării comutației ideale cît și pentru comutația reală conduce la obținerea unor expresii analitice exacte a acestora. Acest lucru permite calculul exact al coeficienților Fourier și stă la baza unui întreg sistem de programe de calcul pe ordinator care pot avea în vedere pe lîngă obiectivele rezolvate în lucrare și alte probleme în perspectivă.

5.- Corectitudinea calculului efectuat și a ipotezelor asumate în cazul comutației reale este confirmată și de faptul că prin particularizarea se obțin expresiile din cazul comutației considerate ideală.

6. În practică, în funcție de o serie de factori, (încălcarea mașinii, valorile parametrilor circuitului rotoric, existența sau nu a unei rezistențe suplimentare conectate la bornele de ieșire ale RFP) situația concretă poate fi încadrată în unul din cazurile menționate anterior.

7.- Schema echivalentă concepută în lucrare pentru ansamblul circuit rotoric al mașinii asincrone și circuit de forță al redresorului și modelul matematic de calcul a permis determinarea expresiilor analitice ale parametrilor echivalenți - rezistență R_e și reactanța X_e - precum și a mărimilor de pornire - curent și cuplu - în funcție de o serie de factori care intervin.

8.- Programul de calcul ALFA, care ține cont de valoarea curentului de pornire, se influențează unghiul de suprapunere la comutație, a evidențiat prin rezultatele obținute influența redusă a valorii rezistenței suplimentare asupra parametrilor și mărimilor de pornire, fapt confirmat și experimentat. Acest lucru este de o importanță deosebită pentru practică, deoarece permite într-o serie de situații eliminarea ei din schemă.

9.- Experimentările au confirmat corectitudinea ipotezelor și a metodelor de calcul utilizate în capitolele III - IV.

Ținînd cont de importanța temei studiate, de implicațiile ei se poate considera că rezultatele la care s-a ajuns nu apreciază în totalitate domeniul, ci deschid noi perspective pentru cercetări ulterioare.

Ca preocupări de perspectivă se pot enumera:

- studiul pe calculator al influenței armonicilor superioare asupra funcționării mașinii, cu evidențierea modalităților practice de reducere a conținutului de armonici pentru situațiile concrete în care se aplică metoda;

- determinarea și în cazul comutației reale a expresiilor armonicilor superioare și efectuarea unei analize armonice complete ;

- abordarea cazului în care se folosește pentru pornirea motorului asincron un redresor complet comandat și efectuarea unui studiu comparativ față de cazul analizat în lucrare;

- analiza parametrilor ce definesc regimul energetic al pornirii (rendament, factor de putere) și a influenței regimului deformatant introdus de armonici asupra comportării energetice a mașinii.

- extinderea studiului asupra regimului de modificare a turației mașinii asincrone, folosind schema analizată în lucrare.

- lărgirea ariei investigațiilor experimentale;

- elaborarea unei metodici simple de calcul, pentru proiectarea unui astfel de sistem de acționare.

A N E X A 1
(la capitolul II)

CALCULUL EXPRESIEI ANALITICE PENTRU COEFICIENTII
SERIEI FOURIER AI FUNCȚIEI $u(t)$

1.1. Cazul I $\left[0 \leq d \leq \frac{\pi}{3}\right]$ și $\left[\beta - d < \frac{\pi}{3}\right]$

Expresia funcției periodice $u(t)$ pe intervalul de o perioadă este:

a) $\left[\frac{\pi}{6} + d; \frac{\pi}{2}\right]$	$u(t) = U\sqrt{6} \sin(\omega t + \frac{\pi}{6})$
b) $\left[\frac{\pi}{2}; \frac{5\pi}{6} + d - \beta\right]$	$u(t) = U\sqrt{6} \sin(\omega t - \frac{\pi}{6})$
c) $\left[\frac{7\pi}{6}; \frac{3\pi}{2} + d - \beta\right]$	$u(t) = U\sqrt{6} \sin(\omega t + \frac{\pi}{6})$
d) $\left[\frac{3\pi}{2} + d; \frac{11\pi}{6}\right]$	$u(t) = U\sqrt{6} \sin(\omega t - \frac{\pi}{6})$

Pe restul intervalului $[0, 2\pi]$ $u(t) = 0$.

1.1.1. Calculul termenului A_{0I}

$$A_0 = \frac{1}{2\pi} \int_0^{2\pi} \frac{u(t)}{U\sqrt{6}} d\omega t \quad (A1.1)$$

Se calculează integrala Fourier pe cele 4 intervale pe care $u(t)$ nu este nulă.

$$A_{0I} = A_{0Ia} + A_{0Ib} + A_{0Ic} + A_{0Id} \quad (A1.2)$$

$$A_{0Ia} = \frac{1}{2\pi} \int_{\frac{\pi}{6}+d}^{\frac{\pi}{2}} \sin(\omega t + \frac{\pi}{6}) d\omega t = \frac{1}{2\pi} \left[\cos(d + \frac{\pi}{3}) - \cos \frac{2\pi}{3} \right] \quad (A1.3)$$

$$A_{0Ib} = \frac{1}{2\pi} \int_{\frac{\pi}{2}}^{\frac{5\pi}{6}+d-\beta} \sin(\omega t - \frac{\pi}{6}) d\omega t = \frac{1}{2\pi} \left[\cos \frac{\pi}{3} - \cos(\frac{2\pi}{3} + d - \beta) \right] \quad (A1.4)$$

$$A_{0Ic} = \frac{1}{2\pi} \int_{\frac{7\pi}{6}}^{\frac{3\pi}{2}+d-\beta} \sin(\omega t + \frac{\pi}{6}) d\omega t = \frac{1}{2\pi} \left[\cos \frac{4\pi}{3} + \cos(\frac{2\pi}{3} + d - \beta) \right] \quad (A1.5)$$

$$A_{0Id} = \frac{1}{2\pi} \int_{\frac{3\pi}{2}+d}^{\frac{11\pi}{6}} \sin(\omega t - \frac{\pi}{6}) d\omega t = \frac{1}{2\pi} \left[-\cos(d + \frac{\pi}{3}) - \cos \frac{5\pi}{3} \right] \quad (A1.6)$$

Inlocuind în (A1.2) expresiile (A1.3 - A1.6) se obține:

$$A_{0I} = 0$$

1.1.2. Calculul coeficientului A_{1I}

$$A_1 = \frac{1}{\pi} \int_0^{2\pi} \frac{u(t)}{U\sqrt{6}} \sin \omega t \, d(\omega t) \quad (A1.7)$$

$$A_{1I} = A_{1Ia} + A_{1Ib} + A_{1Ic} + A_{1Id} \quad (A1.8)$$

$$A_{1Ia} = \frac{1}{\pi} \int_{\frac{\pi}{6} + \alpha}^{\frac{\pi}{2}} \sin(\omega t + \frac{\pi}{6}) \sin \omega t \, d\omega t = \frac{\sqrt{3}}{8\pi} \left[\sin(\frac{\pi}{3} + 2\alpha) + \frac{2\pi}{3} - 2 \right] + \frac{1}{8\pi} \left[\cos(\frac{\pi}{3} + 2\alpha) + 1 \right] \quad (A1.9)$$

$$A_{1Ib} = \frac{1}{\pi} \int_{\frac{\pi}{2}}^{\frac{\pi}{6} + \alpha - \beta} \sin(\omega t - \frac{\pi}{6}) \sin \omega t \, d\omega t = \frac{\sqrt{3}}{8\pi} \left[\sin(\frac{2\pi}{3} + 2\alpha - 2\beta) + \frac{2\pi}{3} + 2\alpha - 2\beta \right] + \left[\frac{1}{8\pi} \left[1 - \cos(\frac{2\pi}{3} + 2\alpha - 2\beta) \right] \right] \quad (A1.10)$$

$$A_{1Ic} = \frac{1}{\pi} \int_{\frac{7\pi}{6}}^{\frac{3\pi}{2} + \alpha - \beta} \sin(\omega t + \frac{\pi}{6}) \sin \omega t \, d\omega t = \frac{\sqrt{3}}{8\pi} \left[\frac{\sqrt{3}}{2} + \sin(2\alpha - 2\beta) + \frac{2\pi}{3} + 2\alpha - 2\beta \right] + \frac{1}{8\pi} \left[\frac{1}{2} + \cos(2\alpha - 2\beta) \right] \quad (A1.11)$$

$$A_{1Id} = \frac{1}{\pi} \int_{\frac{3\pi}{2} + \alpha}^{\frac{4\pi}{6}} \sin(\omega t - \frac{\pi}{6}) \sin \omega t \, d\omega t = \frac{\sqrt{3}}{8\pi} \left[\frac{\sqrt{3}}{2} - \sin 2\alpha + \frac{2\pi}{3} - 2\alpha \right] + \frac{1}{8\pi} \left[\frac{1}{2} + \cos 2\alpha \right] \quad (A1.12)$$

Inlocuind pe (A1.9) - (A1.12) în (A1.7) se obține:

$$A_{1I} = \frac{1}{\pi} \left[\frac{3}{4} + \frac{\pi\sqrt{3}}{3} - \frac{\beta\sqrt{3}}{3} + \frac{\sqrt{3}}{2} \cos(2\alpha - \beta) \sin(\frac{\pi}{3} - \beta) \right] \quad (A1.13)$$

1.1.3. Calculul coeficientului B_{1I}

$$B_1 = \frac{1}{\pi} \int_0^{2\pi} \frac{u(t)}{U\sqrt{6}} \cos \omega t \, d\omega t \quad (A1.14)$$

$$B_{11I} = B_{11Ia} + B_{11Ib} + B_{11Ic} + B_{11Id} \quad (A1.15)$$

$$B_{11Ia} = \frac{1}{\pi} \int_{\frac{\pi}{6}+d}^{\frac{\pi}{2}} \sin(\omega t + \frac{\pi}{6}) \cos \omega t \, d\omega t = \frac{\sqrt{3}}{8\pi} \left[\cos(\frac{\pi}{3} + 2d) - 1 \right] +$$

$$+ \frac{1}{8\pi} \left[-\sin(\frac{\pi}{3} + 2d) + \frac{2\sqrt{3}}{3} - 2d \right] \quad (A1.16)$$

$$B_{11Ib} = \frac{1}{\pi} \int_{\frac{\pi}{2}}^{\frac{3\pi}{6}+d-\beta} \sin(\omega t - \frac{\pi}{6}) \cos \omega t \, d\omega t = \frac{\sqrt{3}}{8\pi} \left[1 + \cos(\frac{2\pi}{3} + 2d - 2\beta) \right] +$$

$$+ \frac{1}{8\pi} \left[\sin(\frac{2\pi}{3} + 2d - 2\beta) - \frac{2\sqrt{3}}{3} - 2d + 2\beta \right] \quad (A1.17)$$

$$B_{11Ic} = \frac{1}{\pi} \int_{\frac{3\pi}{6}}^{\frac{3\pi}{6}+d-\beta} \sin(\omega t + \frac{\pi}{6}) \cos \omega t \, d\omega t = \frac{\sqrt{3}}{8\pi} \left[\cos(2d - 2\beta) + \frac{1}{2} \right] +$$

$$+ \frac{1}{8\pi} \left[-\sin(2d - 2\beta) - \frac{\sqrt{3}}{2} + \frac{2\sqrt{3}}{3} + 2d - 2\beta \right] \quad (A1.18)$$

$$B_{11Id} = \frac{1}{\pi} \int_{\frac{3\pi}{2}+d}^{\frac{4\pi}{6}} \sin(\omega t - \frac{\pi}{6}) \cos \omega t \, d\omega t = \frac{\sqrt{3}}{8\pi} \left[-\frac{1}{2} - \cos 2d \right] +$$

$$+ \frac{1}{8\pi} \left[\frac{\sqrt{3}}{2} - \sin 2d - \frac{2\sqrt{3}}{3} + 2d \right] \quad (A1.19)$$

Încuind pe (A1.16)-(A1.19) în (A1.15) se obține:

$$B_{11I} = -\frac{\sqrt{3}}{2\pi} \sin(2d - \beta) \sin(\frac{\pi}{3} - \beta) \quad (A1.20)$$

1.1.4. Calculul coeficientului A_{mI} .

$$A_m = \frac{1}{\pi} \int_0^{\frac{\pi}{2}} \frac{u(t)}{U\sqrt{6}} \sin m\omega t \, d\omega t \quad (A1.21)$$

$$A_{mI} = A_{mIa} + A_{mIb} + A_{mIc} + A_{mId} \quad (A1.22)$$

$$\begin{aligned} A_{mIa} &= \frac{1}{\pi} \int_{\frac{\pi}{6} + d}^{\frac{\pi}{2}} \sin(\omega t + \frac{\pi}{6}) \sin m\omega t \, d\omega t = \frac{\sqrt{3}}{4\pi} \left[\frac{1}{m-1} (\sin(m-1)\frac{\pi}{2} - \right. \\ &\quad \left. - \sin(m-1)(\frac{\pi}{6} + d)) + \frac{1}{m+1} (-\sin(m+1)\frac{\pi}{2} + \sin(m+1)(\frac{\pi}{6} + d)) \right] + \\ &\quad + \frac{1}{4\pi} \left[\frac{1}{m+1} (\cos(m+1)(\frac{\pi}{6} + d) - \cos(m+1)\frac{\pi}{2}) + \frac{1}{m-1} (\cos(m-1)(\frac{\pi}{6} + d) - \right. \\ &\quad \left. - \cos(m-1)\frac{\pi}{2}) \right] \quad (A1.23) \end{aligned}$$

Pentru simplificare se rescrie expresia considerînd:

- armonici pare ($m=2K$)

$$\begin{aligned} A_{mIa} &= \frac{\sqrt{3}}{4\pi} \left[\frac{1}{2k-1} ((-1)^{k+1} - \sin(2k-1)(\frac{\pi}{6} + d)) + \frac{1}{2k+1} ((-1)^{k+1} + \right. \\ &\quad \left. + \sin(2k+1)(\frac{\pi}{6} + d)) \right] + \frac{1}{4\pi} \left[\frac{1}{2k+1} \cos(2k+1)(\frac{\pi}{6} + d) + \right. \\ &\quad \left. + \frac{1}{2k-1} \cos(2k-1)(\frac{\pi}{6} + d) \right] \quad (A1.23)' \end{aligned}$$

- armonici impare ($m=2k+1$)

$$\begin{aligned} A_{mIa} &= \frac{\sqrt{3}}{8\pi} \left[-\frac{1}{k} \sin k(\frac{\pi}{3} + 2d) + \frac{1}{k+1} \sin(k+1)(\frac{\pi}{3} + 2d) \right] + \\ &\quad + \frac{1}{8\pi} \left[\frac{1}{k+1} (\cos(k+1)(\frac{\pi}{3} + 2d) + (-1)^k) + \frac{1}{k} (\cos k(\frac{\pi}{3} + 2d) + \right. \\ &\quad \left. + (-1)^{k+1}) \right] \quad (A1.23)'' \end{aligned}$$

$$\begin{aligned} A_{mIb} &= \frac{1}{\pi} \int_{\frac{\pi}{2}}^{\frac{5\pi}{6} + d - \beta} \sin(\omega t - \frac{\pi}{6}) \sin m\omega t \, d\omega t = \frac{\sqrt{3}}{4\pi} \left[\frac{1}{m-1} (\sin(m-1) \right. \\ &\quad \left. (\frac{5\pi}{6} + d - \beta) - \sin(m-1)\frac{\pi}{2}) + \frac{1}{m+1} (-\sin(m+1)(\frac{5\pi}{6} + d - \beta) + \right. \end{aligned}$$

$$+ \sin(m+1)\frac{\pi}{2} \Big] + \frac{1}{4n} \left[\frac{1}{m+1} (\cos(m+1)(\frac{5\pi}{6} + d - \beta) - \cos(m+1)\frac{\pi}{2}) + \right. \\ \left. + \frac{1}{m-1} (\cos(m-1)(\frac{5\pi}{6} + d - \beta) - \cos(m-1)\frac{\pi}{2}) \right] \quad (A1.24)$$

Pentru armonici pare ($m=2k$) relatia (A1.23) devine:

$$A_{mIb} = \frac{\sqrt{3}}{4n} \left[\frac{1}{2k-1} (\sin(2k-1)(\frac{5\pi}{6} + d - \beta) + (-1)^k + \frac{1}{2k+1} (-\sin(2k+1) \right. \\ \left. (\frac{5\pi}{6} + d - \beta) + (-1)^k) \right] + \frac{1}{4n} \left[\frac{1}{2k+1} \cos(2k+1)(\frac{5\pi}{6} + d - \beta) + \right. \\ \left. + \frac{1}{2k-1} \cos(2k-1)(\frac{5\pi}{6} + d - \beta) \right] \quad (A1.24)''$$

Pentru armonici impare ($m=2k+1$) relatia (A1.23) devine:

$$A_{mIb} = \frac{\sqrt{3}}{6n} \left[\frac{1}{k} \sin k(\frac{5\pi}{3} + 2d - 2\beta) - \frac{1}{k+1} \sin(k+1)(\frac{5\pi}{3} + 2d - 2\beta) \right] + \\ + \frac{1}{6n} \left[\frac{1}{k+1} (\cos(k+1)(\frac{5\pi}{3} + 2d - 2\beta) + (-1)^k) + \frac{1}{k} (\cos k(\frac{5\pi}{3} + \right. \\ \left. + 2d - 2\beta) - (-1)^k) \right] \quad (A1.24)'''$$

$$A_{mIc} = \frac{1}{n} \int_{\frac{2\pi}{6}}^{\frac{3\pi}{2} + d - \beta} \sin(\omega t + \frac{\pi}{6}) \sin m \omega t \, d\omega t = \frac{\sqrt{3}}{4n} \left[\frac{1}{m-1} (\sin(m-1) \right. \\ \left. (\frac{3\pi}{2} + d - \beta) - \sin(m-1)\frac{7\pi}{6}) + \frac{1}{m+1} (\sin(m+1)\frac{7\pi}{6} - \sin(m+1) \right. \\ \left. (\frac{3\pi}{2} + d - \beta) \right] + \frac{1}{4n} \left[\frac{1}{m+1} (\cos(m+1)\frac{7\pi}{6} - \cos(m+1)(\frac{3\pi}{2} + d - \beta)) + \right. \\ \left. + \frac{1}{m-1} (\cos(m-1)\frac{7\pi}{6} - \cos(m-1)(\frac{3\pi}{2} + d - \beta)) \right] \quad (A1.25)$$

Pentru armonici pare ($m=2k$) relatia (A1.24) devine:

$$A_{mIc} = \frac{\sqrt{3}}{4n} \left[\frac{1}{2k-1} (\sin(2k-1)(\frac{3\pi}{2} + d - \beta) - \sin(2k-1)\frac{7\pi}{6}) + \right.$$

$$\begin{aligned}
 & + \frac{1}{2k+1} \cdot (\sin(2k+1)\frac{7\pi}{6} - \sin(2k+1)(\frac{3\pi}{2} + \alpha - \beta)) + \frac{1}{4\pi} \left[\frac{1}{2k+1} (\cos(2k+1)\frac{7\pi}{6} - \cos(2k+1)(\frac{3\pi}{2} + \alpha - \beta)) + \frac{1}{2k-1} (\cos(2k-1)\frac{7\pi}{6} - \cos(2k-1)(\frac{3\pi}{2} + \alpha - \beta)) \right] \quad (A1.25)'
 \end{aligned}$$

Pentru armonici impare ($m=2k+1$) relatia (A1.24) devine:

$$\begin{aligned}
 A_{mIc} = & \frac{\sqrt{3}}{8\pi} \left[\frac{1}{k} (\sin k(\pi + 2\alpha - 2\beta) - \sin k \frac{7\pi}{3}) + \frac{1}{k+1} (\sin(k+1)\frac{7\pi}{3} - \sin(k+1)(\pi + 2\alpha - 2\beta)) \right] + \frac{1}{8\pi} \left[\frac{1}{k+1} (\cos \frac{7\pi}{3}(k+1) - \cos(k+1)(\pi + 2\alpha - 2\beta)) + \frac{1}{k} (\cos k \frac{7\pi}{3} - \cos k(\pi + 2\alpha - 2\beta)) \right] \quad (A1.25)''
 \end{aligned}$$

$$\begin{aligned}
 A_{mId} = & \frac{1}{\pi} \int_{\frac{3\pi}{2} + \alpha}^{\frac{11\pi}{6}} \sin(\omega t - \frac{\pi}{6}) \sin m \omega t \, d\omega t = \frac{\sqrt{3}}{4\pi} \left[\frac{1}{m-1} (\sin(m-1)\frac{11\pi}{6} - \sin(m-1)(\frac{3\pi}{2} + \alpha)) + \frac{1}{m+1} (\sin(m+1)(\frac{3\pi}{2} + \alpha) - \sin(m+1)\frac{11\pi}{6}) \right] + \\
 & + \frac{1}{4\pi} \left[-\frac{1}{m+1} (\cos(m+1)(\frac{3\pi}{2} + \alpha) + \cos(m+1)\frac{11\pi}{6}) - \frac{1}{m-1} (\cos(m-1)\frac{7\pi}{6} - \cos(m-1)(\frac{3\pi}{2} + \alpha)) \right] \quad (A1.26)
 \end{aligned}$$

Pentru armonici pare ($m=2k$) relatia (A1.25) devine:

$$\begin{aligned}
 A_{mId} = & \frac{\sqrt{3}}{4\pi} \left[\frac{1}{2k-1} (\sin(2k-1)\frac{11\pi}{6} - \sin(2k-1)(\frac{3\pi}{2} + \alpha)) + \frac{1}{2k+1} (\sin(2k+1)(\frac{3\pi}{2} + \alpha) - \sin(2k+1)\frac{11\pi}{6}) \right] + \frac{1}{4\pi} \left[-\cos(2k+1)(\frac{3\pi}{2} + \alpha) + \cos(2k+1)\frac{11\pi}{6} + \frac{1}{2k-1} (-\cos(2k-1)(\frac{3\pi}{2} + \alpha) + \cos(2k-1)\frac{11\pi}{6}) \right] \quad (A1.26)'
 \end{aligned}$$

Pentru armonici impare ($m=2k+1$) relatia (A1.25) devine:

$$A_{mId} = \frac{\sqrt{3}}{8\pi} \left[\frac{1}{k} (\sin \frac{11k\bar{u}}{3} - \sin k(\bar{u} + 2d)) + \frac{1}{k+1} (\sin(k+1)(\bar{u} + 2d) - \sin \frac{11(k+1)\bar{u}}{3}) \right] + \frac{1}{8\pi} \left[\frac{1}{k+1} (-\cos(k+1)(\bar{u} + 2d) + \cos(k+1)\frac{11\bar{u}}{3}) + \frac{1}{k} (-\cos k(\bar{u} + 2d) + \cos \frac{11k\bar{u}}{3}) \right] \quad (A1.26)''$$

Inlocuind pe (A1.23)' - (A1.26)' în (A1.22) se obține expresia coeficientului A_{mI} pentru armonici pare:

$$A_{mIa} = \frac{2}{\pi} \left[\frac{1}{2k-1} \cos \frac{2k-1}{2}(\bar{u} + 2d - \beta) \cos \frac{2k-1}{2}(\frac{\pi}{3} - \beta) \sin \frac{k\pi}{3} - \frac{1}{2k+1} \cos \frac{2k+1}{2}(\bar{u} + 2d - \beta) \cos \frac{2k+1}{2}(\frac{\pi}{3} - \beta) \sin \frac{k\pi}{3} \right] \quad (A1.27)$$

Inlocuind pe (A1.23)'' - (A1.26)'' în (A1.22) se obține expresia coeficientului A_{mI} pentru armonici impare:

$$A_{mI} = \frac{1}{\pi} \left[\frac{(-1)^{k+1}}{4k(k+1)} + \frac{(-1)^{k+1}}{2k} \cos \frac{2(k+1)\bar{u}}{3} + \frac{(-1)^k}{2(k+1)} \cos \frac{2k\bar{u}}{3} - \frac{1}{k} \cos k(\bar{u} + 2d - \beta) \sin k(\frac{\pi}{3} - \beta) \sin \frac{(k-1)\bar{u}}{3} + \frac{1}{k+1} \cos(k+1)(\bar{u} + 2d - \beta) \sin(k+1)(\frac{\pi}{3} - \beta) \sin \frac{(k-1)\bar{u}}{3} \right] \quad (A1.28)$$

1.1.5. Calculul coeficientului B_{mI}

$$B_m = \frac{1}{\pi} \int_0^{2\bar{u}} \frac{u(t)}{U\sqrt{6}} \cos m\omega t \, d\omega t \quad (A1.29)$$

$$B_{mI} = B_{mIa} + B_{mIb} + B_{mIc} + B_{mId} \quad (A1.30)$$

$$B_{mIa} = \frac{1}{\pi} \int_{\frac{\pi}{6}+d}^{\frac{\pi}{2}} \sin(\omega t + \frac{\pi}{6}) \cos m\omega t \, d\omega t = \frac{\sqrt{3}}{4\pi} \left[\frac{1}{m-1} (\cos(m-1)\frac{\pi}{2} - \cos(m-1)(\frac{\pi}{6} + d)) + \frac{1}{m+1} (-\cos(m+1)\frac{\pi}{2} + \cos(m+1)(\frac{\pi}{6} + d)) \right] + \frac{1}{4\pi} \left[\frac{1}{m-1} (\sin(m-1)\frac{\pi}{2} - \sin(m-1)(\frac{\pi}{6} + d)) + \frac{1}{m+1} (\sin(m+1)\frac{\pi}{2} - \sin(m+1)(\frac{\pi}{6} + d)) \right]$$

$$- \sin(m+1)(\frac{\pi}{6} + d)) \quad (A1.31)$$

Pentru armonici pare ($m=2k$) relația (A1.31) devine:

$$B_{mIa} = \frac{\sqrt{3}}{4\pi} \left[-\frac{1}{2k-1} \cos(2k-1)(\frac{\pi}{6} + d) + \frac{1}{2k+1} \cos(2k+1)(\frac{\pi}{6} + d) \right] +$$

$$+ \frac{1}{4\pi} \left[\frac{1}{2k-1} ((-1)^{k+1} - \sin(2k-1)(\frac{\pi}{6} + d)) + \frac{1}{2k+1} ((-1)^k - \sin(2k+1)(\frac{\pi}{6} + d)) \right] \quad (A1.31)'$$

Pentru armonici impare ($m=2k+1$) relația (A1.31) devine:

$$B_{mIa} = \frac{\sqrt{3}}{8\pi} \left[\frac{1}{k} ((-1)^k - \cos k(\frac{\pi}{3} + 2d)) + \frac{1}{k+1} ((-1)^k + \cos(k+1)(\frac{\pi}{3} + 2d)) \right] +$$

$$\frac{1}{8\pi} \left[-\frac{1}{k} \sin k(\frac{\pi}{3} + 2d) - \frac{1}{k+1} \sin(k+1)(\frac{\pi}{3} + 2d) \right] \quad (A1.31)''$$

$$B_{mIb} = \frac{1}{\pi} \int_{\frac{\pi}{2}}^{\frac{5\pi}{6} + d - \beta} \sin(\omega t - \frac{\pi}{6}) \cos m\omega t \, d\omega t = \frac{\sqrt{3}}{4\pi} \left[\frac{1}{m-1} (\cos(m-1)(\frac{5\pi}{6} + d - \beta) - \cos(m-1)\frac{\pi}{2}) + \frac{1}{m+1} (-\cos(m+1)(\frac{5\pi}{6} + d - \beta) + \cos(m+1)\frac{\pi}{2}) \right] +$$

$$\frac{1}{4\pi} \left[\frac{1}{m-1} (-\sin(m-1)(\frac{5\pi}{6} + d - \beta) + \sin(m-1)\frac{\pi}{2}) + \frac{1}{m+1} (-\sin(m+1)(\frac{5\pi}{6} + d - \beta) + \sin(m+1)\frac{\pi}{2}) \right] \quad (A1.32)$$

Pentru armonici pare ($m=2k$) relația (A1.32) devine:

$$B_{mIb} = \frac{\sqrt{3}}{4\pi} \left[\frac{1}{2k-1} \cos(2k-1)(\frac{5\pi}{6} + d - \beta) - \frac{1}{2k+1} \cos(2k+1)(\frac{5\pi}{6} + d - \beta) \right]$$

$$\left(\frac{5\pi}{6} + d - \beta\right) + \frac{1}{4\pi} \left[\frac{1}{2k-1} (-\sin(2k-1)\left(\frac{5\pi}{6} + d - \beta\right) + (-1)^{k+1} \right) + \frac{1}{2k+1} (-\sin(2k+1)\left(\frac{5\pi}{6} + d - \beta\right) + (-1)^k \right] \quad (A1.32)''$$

Pentru armonici impare ($m=2k+1$) relația (A1.32) devine:

$$B_{m1b} = \frac{\sqrt{3}}{8\pi} \left[\frac{1}{k} (\cos k\left(\frac{5\pi}{3} + 2d - 2\beta\right) + (-1)^k) + \frac{1}{k+1} (-\cos(k+1)\left(\frac{5\pi}{3} + 2d - 2\beta\right) + (-1)^{k+1}) \right] + \frac{1}{8\pi} \left[\frac{1}{k} (-\sin k\left(\frac{5\pi}{3} + 2d - 2\beta\right) - \frac{1}{k+1} \sin(k+1)\left(\frac{5\pi}{3} + 2d - 2\beta\right) \right] \quad (A1.32)''$$

$$B_{mic} = \frac{1}{\pi} \int_{\frac{7\pi}{6}}^{\frac{11\pi}{6} + d - \beta} \sin(\omega t + \frac{\pi}{6}) \cos m \omega t \, d\omega t = \frac{\sqrt{3}}{4\pi} \left[\frac{1}{m-1} (\cos(m-1)\left(\frac{3\pi}{2} + d - \beta\right) - \cos(m-1)\frac{7\pi}{6}) + \frac{1}{m+1} (-\cos(m+1)\left(\frac{3\pi}{2} + d - \beta\right) + \cos(m+1)\frac{7\pi}{6}) \right] + \frac{1}{4\pi} \left[\frac{1}{m-1} (\sin(m-1)\left(\frac{3\pi}{2} + d - \beta\right) - \sin(m-1)\frac{7\pi}{6}) + \frac{1}{m+1} (\sin(m+1)\left(\frac{3\pi}{2} + d - \beta\right) - \sin(m+1)\frac{7\pi}{6}) \right] \quad (A1.33)$$

Pentru armonici pare ($m=2k$) relația (A1.33) devine:

$$B_{mic} = \frac{\sqrt{3}}{8\pi} \left[\frac{1}{k} (\cos k(\pi + 2d - 2\beta) - \cos \frac{7k\pi}{3}) + \frac{1}{k+1} (-\cos(k+1)(\pi + 2d - 2\beta) + \cos \frac{7(k+1)\pi}{3}) \right] + \frac{1}{8\pi} \left[\frac{1}{k} (\sin k(\pi + 2d - 2\beta) - \sin \frac{7k\pi}{3}) + \frac{1}{k+1} (\sin(k+1)(\pi + 2d - 2\beta) - \sin \frac{7(k+1)\pi}{3}) \right] \quad (A1.33)''$$

$$B_{mId} = \frac{1}{\pi} \int_{\frac{3\pi}{2} + d}^{\frac{4\pi}{6}} \sin(\omega t - \frac{\pi}{6}) \cos m \omega t \, d\omega t = \frac{\sqrt{3}}{4\pi} \left[\frac{1}{m-1} (\cos(m-1) \frac{11\pi}{6} - \cos(m-1) (\frac{3\pi}{2} + d)) + \frac{1}{m+1} (-\cos(m+1) \frac{11\pi}{6} + \cos(m+1) (\frac{3\pi}{2} + d)) \right] + \frac{1}{4\pi} \left[\frac{1}{m-1} (-\sin(m-1) \frac{11\pi}{6} + \sin(m-1) (\frac{3\pi}{2} + d)) + \frac{1}{m+1} (-\sin(m+1) \frac{11\pi}{6} + \sin(m+1) (\frac{3\pi}{2} + d)) \right] \quad (A1.34)$$

Pentru armonici pare ($m=2k$) relația (A1.34) devine:

$$B_{mId} = \frac{\sqrt{3}}{4\pi} \left[\frac{1}{2k-1} (\cos(2k-1) \frac{11\pi}{6} - \cos(2k-1) (\frac{3\pi}{2} + d)) + \frac{1}{2k+1} (-\cos(2k+1) \frac{11\pi}{6} + \cos(2k+1) (\frac{3\pi}{2} + d)) \right] + \frac{1}{4\pi} \left[\frac{1}{2k-1} (-\sin(2k-1) \frac{11\pi}{6} + \sin(2k-1) (\frac{3\pi}{2} + d)) + \frac{1}{2k+1} (-\sin(2k+1) \frac{11\pi}{6} + \sin(2k+1) (\frac{3\pi}{2} + d)) \right] \quad (A1.34)'$$

Pentru armonici impare ($m=2k+1$) relația (A1.34) devine:

$$B_{mId} = \frac{\sqrt{3}}{8\pi} \left[\frac{1}{k} (\cos \frac{11k\pi}{3} - \cos k(\pi + 2d)) + \frac{1}{k+1} (-\cos(\frac{11(k+1)\pi}{3} + \cos(k+1)(\pi + 2d)) \right] + \frac{1}{8\pi} \left[\frac{1}{k} (-\sin \frac{11k\pi}{3} + \sin k(\pi + 2d)) + \frac{1}{k+1} (-\sin \frac{11(k+1)\pi}{3} + \sin(k+1)(\pi + 2d)) \right] \quad (A1.34)''$$

Înlocuind în (A1.30) pe (A1.31)' - (A1.34)'' se obține expresia coeficientului B_{mI} pentru armonici pare:

$$B_{mI} = \frac{1}{\pi} \left[\frac{(-1)^{k+1}}{4k^2-1} + \frac{(-1)^{k+1}}{2k-1} \cos \frac{2(k-1)\pi}{3} + \frac{(-1)^k}{2k+1} \cos \frac{2(k+1)\pi}{3} - \frac{2}{2k-1} \sin \frac{2k-1}{2} (\pi + 2d - \beta) \cos \frac{2k-1}{2} (\beta - \frac{\pi}{3}) \sin \frac{k\pi}{3} + \right]$$

$$+ \frac{2}{2k+1} \sin \frac{2k+1}{2} (\bar{\pi} + 2d - \beta) \cos \frac{2k+1}{2} \left(\beta - \frac{\bar{\pi}}{3} \right) \sin \frac{k\bar{\pi}}{3} \quad (A1.35)$$

Inlocuind în (A1.30) pe (A1.31) - (A1.34) se obține; expresia coeficientului B_{mI} pentru armonici impare:

$$B_{mI} = \frac{1}{\bar{\pi}} \left[\frac{1}{k} \sin k(\bar{\pi} + 2d - \beta) \sin k \left(\frac{\bar{\pi}}{3} - \beta \right) \sin \frac{(k-1)\bar{\pi}}{3} + \frac{1}{k+1} \sin (k+1)(\bar{\pi} + 2d - \beta) \sin (k+1) \left(\frac{\bar{\pi}}{3} - \beta \right) \sin \frac{(k-1)\bar{\pi}}{3} \right] \quad (A1.36)$$

1.2. Cazul II $\left[0 \leq d \leq \frac{\bar{\pi}}{3} \right]$ și $\left[\beta - d < \frac{\bar{\pi}}{3} \right]$

Expresia funcției periodice $u(t)$ pe intervalul de o perioadă este:

$$\begin{aligned} \text{a) } & \left[\frac{\bar{\pi}}{6} + d, \frac{5\bar{\pi}}{6} + d - \beta \right] & u = U \sqrt{6} \sin \left(\omega t - \frac{\bar{\pi}}{6} \right) \\ \text{b) } & \left[\frac{3\bar{\pi}}{2} + d, \frac{13\bar{\pi}}{6} + d - \beta \right] & u = U \sqrt{6} \sin \left(\omega t - \frac{\bar{\pi}}{6} \right) \end{aligned}$$

Pe restul intervalului $[0, 2\bar{\pi}]$ $u(t) = 0$.

1.2.1. Calculul termenului A_{0II}

Se folosește relația (A1.1)

$$A_{0II} = A_{0IIa} + A_{0IIb} \quad (A1.37)$$

$$A_{0IIa} = \frac{1}{2\bar{\pi}} \int_{\frac{\bar{\pi}}{6} + d}^{\frac{5\bar{\pi}}{6} + d - \beta} \sin \left(\omega t + \frac{\bar{\pi}}{6} \right) d\omega t = \frac{1}{2\bar{\pi}} \left[\cos(d - \beta) + \cos \left(\frac{\bar{\pi}}{3} + d \right) \right] \quad (A1.38)$$

$$A_{0IIb} = \frac{1}{2\bar{\pi}} \int_{\frac{3\bar{\pi}}{2} + d}^{\frac{13\bar{\pi}}{6} + d - \beta} \sin \left(\omega t - \frac{\bar{\pi}}{6} \right) d\omega t = - \frac{1}{2\bar{\pi}} \left[\cos(d - \beta) + \cos \left(\frac{\bar{\pi}}{3} + d \right) \right] \quad (A1.39)$$

Inlocuind pe (A1.38) și (A1.39) în (A1.37) rezultă

$$A_{0II} = 0$$

1.2.2. Calculul coeficientului A_{1II}

Se calculează cu relația (A1.7)

$$A_{1II} = A_{1IIa} + A_{1IIb} \quad (A1.40)$$

$$A_{1IIa} = \frac{1}{\pi} \int_{\frac{\pi}{6} + d}^{\frac{5\pi}{6} + d - \beta} \sin(\omega t + \frac{\pi}{6}) \sin \omega t \, d\omega t = \frac{\sqrt{3}}{8\pi} \left[\sin(\frac{\pi}{3} + d) - \sin(\frac{5\pi}{3} + 2d - 2\beta) \right. \\ \left. + \frac{4\pi}{3} - 2\beta \right] + \frac{1}{8\pi} \left[-\cos(\frac{5\pi}{3} + 2d - 2\beta) + \cos(\frac{\pi}{3} + 2d) \right] \quad (A1.41)$$

$$A_{1IIb} = \frac{1}{\pi} \int_{\frac{3\pi}{2} + d}^{\frac{13\pi}{6} + d - \beta} \sin(\omega t - \frac{\pi}{6}) \sin \omega t \, d\omega t = \frac{\sqrt{3}}{8\pi} \left[\sin(\pi + 2d) - \right. \\ \left. - \sin(\frac{\pi}{3} + 2d - 2\beta) + \frac{4\pi}{3} - 2\beta \right] + \frac{1}{8\pi} \left[\cos(\frac{\pi}{3} + 2d - 2\beta) - \right. \\ \left. - \cos(\pi + 2d) \right] \quad (A1.42)$$

Inlocuind pe (A1.41) și (A1.42) în (A1.40) se obține:

$$A_{1II} = \frac{1}{\pi} \left[\frac{\pi\sqrt{3}}{3} - \frac{\beta\sqrt{3}}{2} + \frac{\sqrt{3}}{2} \cos(\frac{\pi}{3} + 2d - \beta) \cos(\frac{\pi}{6} - \beta) \right] \quad (A1.43)$$

1.2.3. Calculul coeficientului B_{1II}

Se calculează cu relația (A1.14)

$$B_{1II} = B_{1IIa} + B_{1IIb} \quad (A1.44)$$

$$B_{1IIa} = \frac{1}{\pi} \int_{\frac{\pi}{6} + d}^{\frac{5\pi}{6} + d - \beta} \sin(\omega t + \frac{\pi}{6}) \cos \omega t \, d\omega t = \frac{\sqrt{3}}{8\pi} \left[\cos(\frac{\pi}{3} + 2d) - \right. \\ \left. - \cos(\frac{5\pi}{3} + 2d - 2\beta) \right] + \frac{1}{8\pi} \left[\sin(\frac{5\pi}{3} + 2d - 2\beta) - \right. \\ \left. - \sin(\frac{\pi}{3} + 2d) + \frac{4\pi}{3} - 2\beta \right] \quad (A1.45)$$

$$B_{1IIb} = \frac{1}{\pi} \int_{\frac{3\pi}{2} + d}^{\frac{13\pi}{6} + d - \beta} \sin(\omega t - \frac{\pi}{6}) \sin \omega t \, d\omega t = \frac{\sqrt{3}}{8\pi} \left[\cos(\pi + 2d) - \right. \\ \left. - \cos(\frac{\pi}{3} + 2d - 2\beta) \right] + \frac{1}{8\pi} \left[\sin(\pi + 2d) - \sin(\frac{\pi}{3} + 2d - 2\beta) - \right. \\ \left. - \frac{4\pi}{3} + 2\beta \right] \quad (A1.46)$$

Inlocuind pe (A1.45) și (A1.46) în (A1.44) se obține:

$$B_{1111} = -\frac{\sqrt{3}}{2\pi} \sin\left(\frac{\pi}{3} + 2d - \beta\right) \cos\left(\frac{\pi}{6} - \beta\right) \quad (A1.47)$$

1.2.4. Calculul coeficientului A_{mII}

Se calculează cu relația (A1.21)

$$A_{mII} = A_{mIIa} + A_{mIIb} \quad (A1.48)$$

$$\begin{aligned} A_{mIIa} &= \frac{1}{\pi} \int_{\frac{\pi}{6}+d}^{\frac{5\pi}{6}+d-\beta} \sin\left(\omega t + \frac{\pi}{6}\right) \sin m\omega t \, d\omega t = \frac{\sqrt{3}}{4\pi} \left[\frac{1}{m-1} (\sin(m-1) \right. \\ & \left. \left(\frac{5\pi}{6} + d - \beta\right) - \sin(m-1) \left(\frac{\pi}{6} + d\right)\right) + \frac{1}{m+1} (-\sin(m+1) \left(\frac{5\pi}{6} + d - \beta\right) + \\ & \left. + \sin(m+1) \left(\frac{\pi}{6} + d\right)\right) \right] + \frac{1}{4\pi} \left[\frac{1}{m+1} (\cos(m+1) - \cos(m+1) \left(\frac{5\pi}{6} + d - \beta\right) + \right. \\ & \left. + \frac{1}{m-1} (\cos(m-1) \left(\frac{\pi}{6} + d\right) - \cos(m-1) \left(\frac{5\pi}{6} + d - \beta\right)) \right] \quad (A1.49) \end{aligned}$$

$$\begin{aligned} A_{mIIb} &= \frac{1}{\pi} \int_{\frac{3\pi}{2}+d}^{\frac{13\pi}{6}+d-\beta} \sin\left(\omega t - \frac{\pi}{6}\right) \sin m\omega t \, d\omega t = \frac{\sqrt{3}}{4\pi} \left[\frac{1}{m-1} (\sin(m-1) \right. \\ & \left. \left(\frac{13\pi}{6} + d - \beta\right) - \sin(m-1) \left(\frac{3\pi}{2} + d\right)\right) + \frac{1}{m+1} (\sin(m+1) \left(\frac{3\pi}{2} + d\right) - \\ & \left. - \sin(m+1) \left(\frac{13\pi}{6} + d - \beta\right)\right) \right] + \frac{1}{4\pi} \left[\frac{1}{m+1} (\cos(m+1) \left(\frac{13\pi}{6} + d - \beta\right) - \right. \\ & \left. - \cos(m+1) \left(\frac{3\pi}{2} + d\right) + \frac{1}{m-1} (\cos(m-1) \left(\frac{13\pi}{6} + d - \beta\right) - \cos(m-1) \right. \\ & \left. \left(\frac{3\pi}{2} + d\right)\right) \right] \quad (A1.50) \end{aligned}$$

Dat fiind forma relațiilor obținute nu s-a justificat scrierea separată a expresiilor pentru armonici pare, respectiv impare.

Se înlocuiește (A1.49) și (A1.50) în (A1.48) și se obține expresia coeficientului A_{mII} :

$$\begin{aligned} A_{mII} &= \frac{2}{\pi} \left[\frac{1}{m-1} \sin \frac{m-1}{2} \left(\frac{2\pi}{3} - \beta\right) \cos \frac{m-1}{2} \left(\frac{7\pi}{3} + 2d - \beta\right) \sin \frac{2\pi m}{3} + \right. \\ & \left. + \frac{1}{m+1} \sin \frac{m+1}{2} \left(\frac{2\pi}{3} - \beta\right) \cos \frac{m+1}{2} \left(\frac{7\pi}{3} + 2d - \beta\right) \sin \frac{2\pi m}{3} \right] \quad (A1.51) \end{aligned}$$

1.2.5. Calculul coeficientului B_{mII}

Se calculează cu relația (A1.29)

$$B_{mII} = B_{mIIa} + B_{mIIb} \quad (A1.52)$$

$$B_{mIIa} = \frac{1}{\pi} \int_{\frac{\pi}{6} + \alpha}^{\frac{5\pi}{6} + \alpha - \beta} \sin(\omega t + \frac{\pi}{6}) \cos m \omega t \, d\omega t = \frac{\sqrt{3}}{4\pi} \left[\frac{1}{m-1} (\cos(m-1) \left(\frac{5\pi}{6} + \alpha - \beta \right) - \cos(m-1) \left(\frac{\pi}{6} + \alpha \right)) + \frac{1}{m+1} (\cos(m+1) \left(\frac{\pi}{6} + \alpha \right) - \cos(m+1) \left(\frac{5\pi}{6} + \alpha - \beta \right)) \right] + \frac{1}{4\pi} \left[\frac{1}{m-1} (\sin(m-1) \left(\frac{5\pi}{6} + \alpha - \beta \right) - \sin(m-1) \left(\frac{\pi}{6} + \alpha \right)) + \frac{1}{m+1} (\sin(m+1) \left(\frac{5\pi}{6} + \alpha - \beta \right) - \sin(m+1) \left(\frac{\pi}{6} + \alpha \right)) \right] \quad (A1.53)$$

$$B_{mIIb} = \frac{1}{\pi} \int_{\frac{3\pi}{2} + \alpha}^{\frac{13\pi}{6} + \alpha - \beta} \sin(\omega t - \frac{\pi}{6}) \cos m \omega t \, d\omega t = \frac{\sqrt{3}}{4\pi} \left[\frac{1}{m-1} (\cos(m-1) \left(\frac{13\pi}{6} + \alpha - \beta \right) - \cos(m-1) \left(\frac{3\pi}{2} + \alpha \right)) + \frac{1}{m+1} (\cos(m+1) \left(\frac{3\pi}{2} + \alpha \right) - \cos(m+1) \left(\frac{13\pi}{6} + \alpha - \beta \right)) \right] + \frac{1}{4\pi} \left[\frac{1}{m-1} (\sin(m-1) \left(\frac{3\pi}{2} + \alpha \right) - \sin(m-1) \left(\frac{13\pi}{6} + \alpha - \beta \right)) + \frac{1}{m+1} (\sin(m+1) \left(\frac{3\pi}{2} + \alpha \right) - \sin(m+1) \left(\frac{13\pi}{6} + \alpha - \beta \right)) \right] \quad (A1.54)$$

Si în cazul lui B_{mII} se scrie o singură expresie pentru orice armonică de ordinul $m > 1$, înlocuind în (A1.52) pe (A1.53) și (A1.54).

$$B_{mII} = \frac{2}{\pi} \left[\frac{1}{m+1} \sin \frac{m+1}{2} \left(\frac{7\pi}{3} + 2\alpha - \beta \right) \sin \frac{m+1}{2} \left(\frac{2\pi}{3} - \beta \right) \sin \frac{2m\pi}{3} - \frac{1}{m-1} \sin \frac{m-1}{2} \left(\frac{7\pi}{3} + 2\alpha - \beta \right) \sin \frac{m-1}{2} \left(\frac{2\pi}{3} - \beta \right) \sin \frac{2m\pi}{3} \right] \quad (A1.55)$$

1.3. Cazul III $\left[\frac{\pi}{3} < \alpha < \pi \right]$

Expresia funcției periodice $u(t)$ pe intervalul de o pe-

rioada este:

$$a) \left[\frac{\pi}{6} + d; \frac{7\pi}{6} - \beta \right] \quad u = U \sqrt{6} \sin(\omega t - \frac{\pi}{6})$$

$$b) \left[\frac{5\pi}{6} + d; \frac{11\pi}{6} - \beta \right] \quad u = U \sqrt{6} \sin(\omega t + \frac{\pi}{6})$$

Pe restul intervalului $[0, 2\pi]$ $u(t) = 0$.

1.3.1. Calculul termenului A_{0III}

Se folosește relația (A1.1)

$$A_{0III} = A_{0IIIa} + A_{0IIIb} \quad (A1.56)$$

$$A_{0IIIa} = \frac{1}{2\pi} \int_{\frac{\pi}{6}+d}^{\frac{7\pi}{6}-\beta} \sin(\omega t - \frac{\pi}{6}) d\omega t = \frac{1}{2\pi} [\cos \beta + \cos d] \quad (A1.57)$$

$$A_{0IIIb} = \frac{1}{2\pi} \int_{\frac{5\pi}{6}+d}^{\frac{11\pi}{6}-\beta} \sin(\omega t + \frac{\pi}{6}) d\omega t = \frac{1}{2\pi} [-\cos \beta - \cos d] \quad (A1.58)$$

Înlocuind pe (A1.57) și (A1.58) în (A1.56) rezultă:

$$A_{0III} = 0$$

1.3.2. Calculul coeficientului A_{1III}

Se calculează cu relația (A1.7)

$$A_{1III} = A_{1IIIa} + A_{1IIIb} \quad (A1.59)$$

$$A_{1IIIa} = \frac{1}{\pi} \int_{\frac{\pi}{6}+d}^{\frac{7\pi}{6}-\beta} \sin(\omega t - \frac{\pi}{6}) \sin \omega t d\omega t = \frac{\sqrt{3}}{8\pi} [\sin(\frac{\pi}{3} + 2d) - \sin(\frac{\pi}{3} - 2\beta) + 2\pi - 2\beta - 2d] + \frac{1}{8\pi} [\cos(\frac{\pi}{3} + 2\beta) - \cos(\frac{\pi}{3} + 2d)] \quad (A1.60)$$

$$A_{1IIIb} = \frac{1}{\pi} \int_{\frac{5\pi}{6}+d}^{\frac{11\pi}{6}-\beta} \sin(\omega t + \frac{\pi}{6}) \sin \omega t d\omega t = \frac{\sqrt{3}}{8\pi} [-\sin(\frac{2\pi}{3} + 2d) +$$

$$\begin{aligned}
 & + \sin\left(\frac{2\pi}{3} - 2\beta + 2\pi - 2\beta - 2d\right) + \frac{1}{8\pi} \left[\cos\left(\frac{2\pi}{3} - 2\beta\right) - \right. \\
 & \left. - \cos\left(\frac{2\pi}{3} + 2d\right) \right] \quad (A1.61)
 \end{aligned}$$

Inlocuind pe (A1.60) și (A1.61) în (A1.59) se obține:

$$A_{1III} = \frac{\sqrt{3}}{2\pi} \left[\pi - \beta - d + \sin(d + \beta) \cos(d - \beta) \right] \quad (A1.62)$$

1.3.3. Calculul coeficientului B_{1III}

Se calculează cu relația (A1.14)

$$B_{1III} = B_{1IIIa} + B_{1IIIb} \quad (A1.63)$$

$$\begin{aligned}
 B_{1IIIa} &= \frac{1}{\pi} \int_{\frac{\pi}{6}+d}^{\frac{7\pi}{6}-\beta} \sin(\omega t - \frac{\pi}{6}) \cos \omega t \, d\omega t = \frac{\sqrt{3}}{8\pi} \left[\cos\left(\frac{\pi}{3} + 2d\right) - \right. \\
 & \left. - \cos\left(\frac{\pi}{3} - 2\beta\right) \right] + \frac{1}{8\pi} \left[\sin\left(\frac{\pi}{3} + 2d\right) - \sin\left(\frac{\pi}{3} - 2\beta\right) - \right. \\
 & \left. - 2\pi + 2\beta + 2d \right] \quad (A1.64)
 \end{aligned}$$

$$\begin{aligned}
 B_{1IIIb} &= \frac{1}{\pi} \int_{\frac{5\pi}{6}+d}^{\frac{11\pi}{6}-\beta} \sin(\omega t + \frac{\pi}{6}) \cos \omega t \, d\omega t = \frac{\sqrt{3}}{8\pi} \left[-\cos\left(\frac{2\pi}{3} + 2d\right) + \right. \\
 & \left. + \cos\left(\frac{2\pi}{3} - 2\beta\right) \right] + \frac{1}{8\pi} \left[-\sin\left(\frac{2\pi}{3} - 2\beta\right) + \sin\left(\frac{2\pi}{3} + 2d\right) + \right. \\
 & \left. + 2\pi - 2\beta - 2d \right] \quad (A1.65)
 \end{aligned}$$

Inlocuind pe (A1.64) și (A1.65) în (A1.63) se obține:

$$B_{1III} = -\frac{\sqrt{3}}{2\pi} \sin(d - \beta) \sin(d + \beta) \quad (A1.66)$$

1.3.4. Calculul coeficientului A_{mIII}

Se calculează cu relația (A1.21)

$$A_{mIII} = A_{mIIIa} + A_{mIIIb} \quad (A1.67)$$

$$\begin{aligned}
 A_{mIIIa} &= \frac{1}{\pi} \int_{\frac{\pi}{6} + d}^{\frac{7\pi}{6} - \beta} \sin(\omega t - \frac{\pi}{6}) \sin m \omega t \, d\omega t = \frac{\sqrt{3}}{4\pi} \left[\frac{1}{m-1} (\sin \right. \\
 & (m-1)(\frac{7\pi}{6} - \beta) - \sin(m-1)(\frac{\pi}{6} + d)) + \frac{1}{m+1} (\sin(m+1)(\frac{\pi}{6} + d) - \\
 & \left. - \sin(m+1)(\frac{7\pi}{6} - \beta)) \right] + \frac{1}{4\pi} \left[\frac{1}{m-1} (\cos(m-1)(\frac{7\pi}{6} - \beta) - \right. \\
 & \left. - \cos(m-1)(\frac{\pi}{6} + d)) + \frac{1}{m+1} (\cos(m+1)(\frac{7\pi}{6} - \beta) - \cos(m+1) \right. \\
 & \left. (\frac{\pi}{6} + d)) \right] \quad (A1.68)
 \end{aligned}$$

$$\begin{aligned}
 A_{mIIIb} &= \frac{1}{\pi} \int_{\frac{5\pi}{6} + d}^{\frac{11\pi}{6} - \beta} \sin(\omega t + \frac{\pi}{6}) \sin m \omega t \, d\omega t = \frac{\sqrt{3}}{4\pi} \left[\frac{1}{m-1} (\sin(m-1) \right. \\
 & (\frac{11\pi}{6} - \beta) - \sin(m-1)(\frac{5\pi}{6} + d)) + \frac{1}{m+1} (\sin(m+1)(\frac{5\pi}{6} + d) - \\
 & \left. - \sin(m+1)(\frac{11\pi}{6} - \beta)) \right] + \frac{1}{4\pi} \left[\frac{1}{m-1} (\cos(m-1)(\frac{5\pi}{6} + d) - \cos(m-1) \right. \\
 & \left. (\frac{11\pi}{6} - \beta)) + \frac{1}{m+1} (\cos(m+1)(\frac{5\pi}{6} + d) - \cos(m+1)(\frac{11\pi}{6} - \beta)) \right] \\
 & \quad (A1.69)
 \end{aligned}$$

Se înlocuiește (A1.68) și (A1.69) în (A1.67) și se obține expresia coeficientului A_{mIII} :

$$\begin{aligned}
 A_{mIII} &= \frac{2}{\pi} \left[\frac{1}{m-1} \sin \frac{m-1}{2} (\pi - d - \beta) \cos \frac{m-1}{2} (2\pi + d - \beta) \sin \frac{m\pi}{3} + \right. \\
 & \left. + \frac{1}{m+1} \sin \frac{m+1}{2} (\pi - d - \beta) \cos \frac{m+1}{2} (2\pi + d - \beta) \sin \frac{m\pi}{3} \right] \\
 & \quad (A1.70)
 \end{aligned}$$

Relația (A1.70) se particularizează și se obțin următoarele expresii:

- pentru armonici pare ($m=2k$):

$$A_{mIII} = \frac{2}{\pi} \left[\frac{(-1)^k}{2k-1} \cos \frac{2k-1}{2} (\alpha + \beta) \cos \frac{2k-1}{2} (\alpha - \beta) \sin \frac{2k\pi}{3} + \right. \\ \left. + \frac{(-1)^{k+1}}{2k+1} \cos \frac{2k+1}{2} (\alpha + \beta) \cos \frac{2k+1}{2} (\alpha - \beta) \sin \frac{2k\pi}{3} \right] \quad (A1.71)$$

• pentru armonici impare ($m=2k+1$)

$$A_{mIII} = \frac{1}{\pi} \left[\frac{(-1)^{k+1}}{k} \sin k(\alpha + \beta) \cos k(\alpha - \beta) \sin \frac{(2k+1)\pi}{3} + \right. \\ \left. + \frac{(-1)^k}{k+1} \sin(k+1)(\alpha + \beta) \cos(k+1)(\alpha - \beta) \frac{\sin(2k+1)\pi}{3} \right] \quad (A1.72)$$

1.3.5. Calculul coeficientului B_{mIII}

Se calculează cu relația (A1.29)

$$B_{mIII} = B_{mIIIa} + B_{mIIIb} \quad (A1.73)$$

$$B_{mIIIa} = \frac{1}{\pi} \int_{\frac{\pi}{6} + \alpha}^{\frac{7\pi}{6} - \beta} \sin(\omega t - \frac{\pi}{6}) \cos m\omega t \, d\omega t = \frac{\sqrt{3}}{4\pi} \left[\frac{1}{m-1} (\cos$$

$$(m-1)(\frac{7\pi}{6} - \beta) - \cos(m-1)(\frac{\pi}{6} + \alpha)) + \frac{1}{m+1} (\cos(m+1)(\frac{\pi}{6} + \alpha) - \\ - \cos(m+1)(\frac{7\pi}{6} - \beta)) \right] + \frac{1}{4\pi} \left[\frac{1}{m-1} (\sin(m-1)(\frac{\pi}{6} + \alpha) - \\ - \sin(m-1)(\frac{7\pi}{6} - \beta)) + \frac{1}{m+1} (\sin(m+1)(\frac{\pi}{6} + \alpha) - \sin(m+1) \\ (\frac{7\pi}{6} - \beta)) \right] \quad (A1.74)$$

$$B_{mIIIb} = \frac{1}{\pi} \int_{\frac{5\pi}{6} + \alpha}^{\frac{11\pi}{6} - \beta} \sin(\omega t + \frac{\pi}{6}) \cos m\omega t \, d\omega t = \frac{\sqrt{3}}{4\pi} \left[\frac{1}{m-1} (\cos \\ (m-1)(\frac{11\pi}{6} - \beta) - \cos(m-1)(\frac{5\pi}{6} + \alpha)) + \frac{1}{m+1} (\cos(m+1)(\frac{5\pi}{6} + \alpha) -$$

$$\begin{aligned}
 & -\cos(m+1)\left(\frac{11\sqrt{}}{6} - \beta\right) \Big] + \frac{1}{4\pi} \left[\frac{1}{m-1}(\sin(m-1)\left(\frac{11\sqrt{}}{6} - \beta\right) - \right. \\
 & - \sin(m-1)\left(\frac{5\sqrt{}}{6} + \alpha\right) + \frac{1}{m+1}(\sin(m+1)\left(\frac{11\sqrt{}}{6} - \beta\right) - \sin(m+1) \\
 & \left. \left(\frac{5\sqrt{}}{6} + \alpha\right) \right] \quad (A1.75)
 \end{aligned}$$

Se introduc (A1.74) și (A1.75) în (A1.73) și se obține expresia coeficientului B_{mIII} :

$$\begin{aligned}
 B_{mIII} = \frac{1}{\sqrt{}} \Big[& - \frac{2}{m-1} \sin \frac{m-1}{2}(\sqrt{} - \alpha - \beta) \sin \frac{m-1}{2}(2\sqrt{} + \alpha - \beta) \sin \frac{m\sqrt{}}{3} - \\
 & - \frac{2}{m+1} \sin \frac{m+1}{2}(\sqrt{} - \alpha - \beta) \sin \frac{m+1}{2}(2\sqrt{} + \alpha - \beta) \sin \frac{m\sqrt{}}{3} \Big] \quad (A1.76)
 \end{aligned}$$

Relația (A1.76) se particularizează și se obțin următoarele expresii:

- pentru armonici pare ($m=2k$):

$$\begin{aligned}
 B_{mIII} = \frac{2}{\sqrt{}} \Big[& \frac{(-1)^k}{2k-1} \cos \frac{2k-1}{2}(\alpha + \beta) \sin \frac{2k-1}{2}(\alpha - \beta) \sin \frac{2k\sqrt{}}{3} + \\
 & + \frac{(-1)^{k+1}}{2k+1} \cos \frac{2k+1}{2}(\alpha + \beta) \sin \frac{2k+1}{2}(\alpha - \beta) \sin \frac{2k\sqrt{}}{3} \Big] \quad (A1.77)
 \end{aligned}$$

- pentru armonici impare ($m=2k+1$):

$$\begin{aligned}
 B_{mIII} = \frac{1}{\sqrt{}} \Big[& \frac{(-1)^k}{k} \sin k(\alpha + \beta) \sin k(\alpha - \beta) \sin \frac{(2k+1)\sqrt{}}{3} + \\
 & + \frac{(-1)^{k+1}}{k+1} \sin(k+1)(\alpha + \beta) \sin(k+1)(\alpha - \beta) \sin \frac{(2k+1)\sqrt{}}{3} \Big] \quad (A1.78)
 \end{aligned}$$

ANEXA 2

(le capitolul III)

CALCULUL EXPRESIEI ANALITICE PENTRU COEFICIENTII TERMENILOR IN SINUS SI COSINUS AI ARMONICII FUNDAMENTALE A DEZVOLTARII IN SERIE FOURIER A FUNCTIEI $u(t)$

2.1. Cazul I ($0 \leq \alpha \leq \frac{\pi}{3}$ și $\alpha + \gamma < \frac{\pi}{3}$)

Pentru acest caz, expresia funcției periodice $u(t)$ pe intervalul de o perioadă este:

$\left[0 ; \frac{\pi}{6} + \alpha \right]$	$u(t) = 0$
$\left[\frac{\pi}{6} + \alpha ; \frac{\pi}{6} + \alpha + \gamma \right]$	$u(t) = \frac{1}{2} (u_{eR} + u_{eT}) - u_{eS}$
$\left[\frac{\pi}{6} + \alpha + \gamma ; \frac{\pi}{2} \right]$	$u(t) = u_{eR} - u_{eS}$
$\left[\frac{\pi}{2} ; \frac{\pi}{2} + \gamma_0 \right]$	$u(t) = u_{eR} - \frac{1}{2} (u_{eS} + u_{eT})$
$\left[\frac{\pi}{2} + \gamma_0 ; \frac{5\pi}{6} + \alpha \right]$	$u(t) = u_{eR} - u_{eT}$
$\left[\frac{5\pi}{6} + \alpha ; \frac{5\pi}{6} + \alpha + \gamma \right]$	$u(t) = \frac{1}{2} (u_{eR} + u_{eS}) - u_{eT}$
$\left[\frac{5\pi}{6} + \alpha + \gamma ; \frac{7\pi}{6} \right]$	$u(t) = 0$
$\left[\frac{7\pi}{6} ; \frac{7\pi}{6} + \gamma_0 \right]$	$u(t) = \frac{1}{2} (u_{eR} + u_{eT}) - u_{eS}$
$\left[\frac{7\pi}{6} + \gamma_0 ; \frac{3\pi}{2} + \alpha \right]$	$u(t) = u_{eR} - u_{eS}$
$\left[\frac{3\pi}{2} + \alpha ; \frac{3\pi}{2} + \alpha + \gamma \right]$	$u(t) = u_{eR} - \frac{1}{2} (u_{eS} + u_{eT})$
$\left[\frac{3\pi}{2} + \alpha + \gamma ; \frac{11\pi}{6} \right]$	$u(t) = u_{eR} - u_{eT}$
$\left[\frac{11\pi}{6} ; \frac{11\pi}{6} + \gamma_0 \right]$	$u(t) = \frac{1}{2} (u_{eR} + u_{eS}) - u_{eT}$
$\left[\frac{11\pi}{6} + \gamma_0 ; 2\pi \right]$	$u(t) = 0$

Se observă că pe fiecare interval pe care este nenulă funcția $u(t)$ se definește ca o diferență de două funcții sinu-

soidale, unele fiind tensiuni de fază, iar altele tensiuni de comutație.

Din rațiuni legate de simplificarea calculului se face în continuare o rearanjare a termenilor din expresia funcției $u(t)$ astfel încât fiecare termen să conțină doar una din funcțiile sinusoidale susmenționate pe întreg intervalul ei de continuitate.

În acest mod rezultă o altă scriere a expresiei funcției după cum urmează:

$$\begin{aligned}
 1) \left[\frac{\pi}{6} + \alpha; \frac{\pi}{6} + \alpha + \gamma \right] & \quad u(t) = \frac{1}{2}(u_{eR} + u_{eT}) = \frac{U\sqrt{2}}{4}(\sin\omega t + \sqrt{3} \cos\omega t) \\
 2) \left[\frac{\pi}{6} + \alpha + \gamma; \frac{5\pi}{6} + \alpha \right] & \quad u(t) = u_{eR} = U\sqrt{2} \sin\omega t \\
 3) \left[\frac{5\pi}{6} + \alpha; \frac{5\pi}{6} + \alpha + \gamma \right] & \quad u(t) = \frac{1}{2}(u_{eR} + u_{eS}) = \frac{U\sqrt{2}}{4}(\sin\omega t - \sqrt{3} \cos\omega t) \\
 4) \left[\frac{7\pi}{6}; \frac{3\pi}{2} + \alpha \right] & \quad u(t) = -u_{eS} = \frac{U\sqrt{2}}{2}(\sin\omega t + \sqrt{3} \cos\omega t) \\
 5) \left[\frac{3\pi}{2} + \alpha; \frac{3\pi}{2} + \alpha + \gamma \right] & \quad u(t) = -\frac{1}{2}(u_{eS} + u_{eT}) = \frac{U\sqrt{2}}{2} \sin\omega t \\
 6) \left[\frac{3\pi}{2} + \alpha + \gamma; \frac{11\pi}{6} + \gamma_0 \right] & \quad u(t) = -u_{eT} = \frac{U\sqrt{2}}{2}(\sin\omega t - \sqrt{3} \cos\omega t) \\
 1') \left[\frac{\pi}{6} + \alpha; \frac{\pi}{2} \right] & \quad u(t) = -u_{eS} = \frac{U\sqrt{2}}{2}(\sin\omega t + \sqrt{3} \cos\omega t) \\
 2') \left[\frac{\pi}{2}; \frac{\pi}{2} + \gamma_0 \right] & \quad u(t) = -\frac{1}{2}(u_{eS} + u_{eT}) = \frac{U\sqrt{2}}{2} \sin\omega t \\
 3') \left[\frac{\pi}{2} + \gamma_0; \frac{5\pi}{6} + \alpha + \gamma \right] & \quad u(t) = -u_{eT} = \frac{U\sqrt{2}}{2}(\sin\omega t - \sqrt{3} \cos\omega t) \\
 4') \left[\frac{7\pi}{6}; \frac{7\pi}{6} + \gamma_0 \right] & \quad u(t) = \frac{1}{2}(u_{eR} + u_{eT}) = \frac{U\sqrt{2}}{4}(\sin\omega t + \sqrt{3} \cos\omega t) \\
 5') \left[\frac{7\pi}{6} + \gamma_0; \frac{11\pi}{6} \right] & \quad u(t) = u_{eR} = U\sqrt{2} \sin\omega t \\
 6') \left[\frac{11\pi}{6}; \frac{11\pi}{6} + \gamma_0 \right] & \quad u(t) = \frac{1}{2}(u_{eR} + u_{eS}) = \frac{U\sqrt{2}}{4}(\sin\omega t - \sqrt{3} \cos\omega t)
 \end{aligned}$$

Pe restul intervalului $[0, 2\pi]$ $u(t) = 0$.

2.1.1. Calculul coeficientului A_{1RI}

Relația de calcule este:

$$A_{1R} = \frac{1}{T} \int_0^{2T} \frac{u(t)}{U\sqrt{6}} \sin \omega t \, d(\omega t) \quad (A2.1)$$

$$\begin{aligned} A_{1RI} &= A_{1RI1} + A_{1RI2} + A_{1RI3} + A_{1RI4} + A_{1RI5} + \\ &+ A_{1RI6} + A_{1RI1'} + A_{1RI2'} + A_{1RI3'} + A_{1RI4'} + \\ &+ A_{1RI5'} + A_{1RI6'} \end{aligned} \quad (A2.2)$$

$$\begin{aligned} A_{1RI1} &= \frac{1}{4\pi\sqrt{3}} \int_{\frac{\pi}{6}+\alpha}^{\frac{\pi}{6}+\alpha+\gamma} (\sin^2 \omega t + \sqrt{3} \sin \omega t \cos \omega t) d(\omega t) = \\ &= \frac{1}{4\pi\sqrt{3}} \left[-\frac{\sin 2\omega t}{4} + \frac{\omega t}{2} + \frac{\sqrt{3}}{2} \sin^2 \omega t \right]_{\frac{\pi}{6}+\alpha}^{\frac{\pi}{6}+\alpha+\gamma} = \\ &= \frac{1}{8\pi\sqrt{3}} \left[\gamma + 2 \sin \gamma \sin\left(\frac{\pi}{6} + 2\alpha + \gamma\right) \right] \end{aligned} \quad (A2.3)$$

$$\begin{aligned} A_{1RI2} &= \frac{1}{\pi\sqrt{3}} \int_{\frac{\pi}{6}+\alpha+\gamma}^{\frac{5\pi}{6}+\alpha} \sin^2 \omega t \, d(\omega t) = \frac{1}{\pi\sqrt{3}} \left[-\frac{\sin 2\omega t}{4} + \right. \\ &\left. + \frac{\omega t}{2} \right]_{\frac{\pi}{6}+\alpha+\gamma}^{\frac{5\pi}{6}+\alpha} = \frac{1}{2\pi\sqrt{3}} \left[\frac{2\pi}{3} - \gamma + \sin\left(\frac{2\pi}{3} - \gamma\right) \cos(2\alpha + \gamma) \right] \end{aligned} \quad (A2.4)$$

$$\begin{aligned} A_{1RI3} &= \frac{1}{4\pi\sqrt{3}} \int_{\frac{5\pi}{6}+\alpha}^{\frac{5\pi}{6}+\alpha+\gamma} (\sin^2 \omega t - \sqrt{3} \sin \omega t \cos \omega t) d(\omega t) = \\ &= \frac{1}{4\pi\sqrt{3}} \left[-\frac{\sin 2\omega t}{4} + \frac{\omega t}{2} - \frac{\sqrt{3}}{2} \sin^2 \omega t \right]_{\frac{5\pi}{6}+\alpha}^{\frac{5\pi}{6}+\alpha+\gamma} = \\ &= \frac{1}{8\pi\sqrt{3}} \left[\gamma + 2 \sin \gamma \sin\left(\frac{5\pi}{6} + 2\alpha + \gamma\right) \right] \end{aligned} \quad (A2.5)$$

$$\begin{aligned}
 A_{1R14} &= \frac{1}{2\pi\sqrt{3}} \int_{\frac{\pi}{6}}^{\frac{3\pi}{2}+\alpha} (\sin^2 \omega t + \sqrt{3} \sin \omega t \cos \omega t) d(\omega t) = \\
 &= \frac{1}{2\pi\sqrt{3}} \left[-\frac{\sin 2\omega t}{4} + \frac{\omega t}{2} + \frac{\sqrt{3}}{2} \sin^2 \omega t \right]_{\frac{\pi}{6}}^{\frac{3\pi}{2}+\alpha} = \frac{1}{4\pi\sqrt{3}} \\
 &\left[\frac{\pi}{3} + \alpha + \frac{\sqrt{3}}{2} + \sin\left(\frac{\pi}{3} + 2\alpha\right) \right] \quad (A2.6)
 \end{aligned}$$

$$\begin{aligned}
 A_{1R15} &= \frac{1}{2\pi\sqrt{3}} \int_{\frac{3\pi}{2}+\alpha}^{\frac{3\pi}{2}+\alpha+r} \sin^2 \omega t d(\omega t) = \frac{1}{2\pi\sqrt{3}} \left[-\frac{\sin 2\omega t}{4} + \right. \\
 &\left. + \frac{\omega t}{2} \right]_{\frac{3\pi}{2}+\alpha}^{\frac{3\pi}{2}+\alpha+r} = \frac{1}{4\pi\sqrt{3}} \left[r + \sin r \cos(2\alpha + r) \right] \quad (A2.7)
 \end{aligned}$$

$$\begin{aligned}
 A_{1R16} &= \frac{1}{2\pi\sqrt{3}} \int_{\frac{3\pi}{2}+\alpha+r}^{\frac{11\pi}{6}+r_0} (\sin^2 \omega t - \sqrt{3} \sin \omega t \cos \omega t) d(\omega t) = \\
 &= \frac{1}{2\pi\sqrt{3}} \left[-\frac{\sin 2\omega t}{4} + \frac{\omega t}{2} - \frac{\sqrt{3}}{2} \sin^2 \omega t \right]_{\frac{3\pi}{2}+\alpha+r}^{\frac{11\pi}{6}+r_0} = \\
 &= \frac{1}{4\pi\sqrt{3}} \left[\frac{\pi}{3} - \alpha - r + r_0 + 2\sin\left(\frac{\pi}{3} + r_0 - \alpha - r\right) \cos\left(\frac{\pi}{3} + r_0 - \alpha - r\right) \right] \\
 &\quad (A2.8)
 \end{aligned}$$

$$\begin{aligned}
 A_{1R11} &= \frac{1}{2\pi\sqrt{3}} \int_{\frac{\pi}{6}+\alpha}^{\frac{\pi}{2}} (\sin^2 \omega t + \sqrt{3} \sin \omega t \cos \omega t) d(\omega t) = \frac{1}{2\pi\sqrt{3}} \\
 &\left[-\frac{\sin 2\omega t}{4} + \frac{\omega t}{2} + \frac{\sqrt{3}}{2} \sin^2 \omega t \right]_{\frac{\pi}{6}+\alpha}^{\frac{\pi}{2}} = \frac{1}{4\pi\sqrt{3}} \left[\frac{\pi}{3} - \alpha + \right. \\
 &\left. + \frac{\sqrt{3}}{2} + \sin\left(\frac{2\pi}{3} + 2\alpha\right) \right] \quad (A2.9)
 \end{aligned}$$

$$A_{1R12} = \frac{1}{2\pi\sqrt{3}} \int_{\frac{\pi}{2}}^{\frac{\pi}{2}+r_0} \sin^2 \omega t d(\omega t) = \frac{1}{2\pi\sqrt{3}} \left[-\frac{\sin 2\omega t}{4} + \right.$$

$$+ \frac{\omega t}{2} \Big]_{\frac{\pi}{2}}^{\frac{\pi}{2} + \delta_0} = \frac{1}{4\pi\sqrt{3}} \left[\sin 2\delta_0 + 2\delta_0 \right] \quad (\text{A2.10})$$

$$\begin{aligned} A_{1RI3} &= \frac{1}{2\pi\sqrt{3}} \int_{\frac{\pi}{2} + \delta_0}^{\frac{5\pi}{6} + \alpha + \delta} (\sin^2 \omega t - \sqrt{3} \sin \omega t \cos \omega t) d(\omega t) = \\ &= \frac{1}{2\pi\sqrt{3}} \left[-\frac{\sin 2\omega t}{4} + \frac{\omega t}{2} - \frac{\sqrt{3}}{2} \sin^2 \omega t \right]_{\frac{\pi}{2} + \delta_0}^{\frac{5\pi}{6} + \alpha + \delta} = \\ &= \frac{1}{4\pi\sqrt{3}} \left[\frac{\pi}{3} + \alpha + \delta - \delta_0 + 2 \sin\left(\frac{\pi}{3} + \alpha + \delta - \delta_0\right) \cos(\alpha + \delta + \delta_0) \right] \end{aligned} \quad (\text{A2.11})$$

$$\begin{aligned} A_{1RI4} &= \frac{1}{4\pi\sqrt{3}} \int_{\frac{7\pi}{6}}^{\frac{7\pi}{6} + \delta} (\sin^2 \omega t + \sqrt{3} \sin \omega t \cos \omega t) d(\omega t) = \\ &= \frac{1}{4\pi\sqrt{3}} \left[-\frac{\sin 2\omega t}{4} + \frac{\omega t}{2} + \frac{\sqrt{3}}{2} \sin^2 \omega t \right]_{\frac{7\pi}{6}}^{\frac{7\pi}{6} + \delta} = \\ &= \frac{1}{8\pi\sqrt{3}} \left[\delta_0 + \frac{\sqrt{3}}{2} - \sin\left(\frac{2\pi}{3} + 2\delta_0\right) \right] \end{aligned} \quad (\text{A2.12})$$

$$\begin{aligned} A_{1RI5} &= \frac{1}{\pi\sqrt{3}} \int_{\frac{7\pi}{6} + \delta_0}^{\frac{11\pi}{6}} \sin^2 \omega t d(\omega t) = \frac{1}{\pi\sqrt{3}} \left[-\frac{\sin 2\omega t}{4} + \frac{\omega t}{2} \right]_{\frac{7\pi}{6} + \delta_0}^{\frac{11\pi}{6}} = \\ &= \frac{1}{2\pi\sqrt{3}} \left[\frac{2\pi}{3} - \delta_0 + \frac{\sqrt{3}}{4} + \frac{1}{2} \sin\left(\frac{\pi}{3} + 2\delta_0\right) \right] \end{aligned} \quad (\text{A2.13})$$

$$\begin{aligned} A_{1RI6} &= \frac{1}{4\pi\sqrt{3}} \int_{\frac{11\pi}{6}}^{\frac{11\pi}{6} + \delta} (\sin^2 \omega t - \sqrt{3} \sin \omega t \cos \omega t) d(\omega t) = \\ &= \frac{1}{4\pi\sqrt{3}} \left[-\frac{\sin 2\omega t}{4} + \frac{\omega t}{2} - \frac{\sqrt{3}}{2} \sin^2 \omega t \right]_{\frac{11\pi}{6}}^{\frac{11\pi}{6} + \delta} = \\ &= \frac{1}{8\pi\sqrt{3}} \left[\delta_0 - \frac{\sqrt{3}}{2} + \sin\left(\frac{\pi}{3} + 2\delta_0\right) \right] \end{aligned} \quad (\text{A2.14})$$

Inlocuind pe (A2.3) - (A2.14) în (A2.2) se obține:

$$A_{1RI} = \frac{\sqrt{3}}{2\pi} \left[\frac{2\pi}{3} + \sin\left(\delta_0 + \frac{\pi}{3}\right) \cos \delta_0 + \cos\left(\delta - \frac{\pi}{6}\right) \cos(2\alpha + \delta) \right] \quad (A2.15)$$

2.1.2. Calculul coeficientului B_{1RI}

$$B_{1R} = \frac{1}{\pi} \int_0^{2\pi} \frac{u(t)}{U\sqrt{6}} \cos \omega t \, d(\omega t) \quad (A2.16)$$

$$B_{1RI} = B_{1RI1} + B_{1RI2} + B_{1RI3} + B_{1RI4} + B_{1RI5} + B_{1RI6} + B_{1RI1}' + B_{1RI2}' + B_{1RI3}' + B_{1RI4}' + B_{1RI5}' + B_{1RI6}' \quad (A2.17)$$

$$\begin{aligned} B_{1RI1} &= \frac{1}{4\pi\sqrt{3}} \int_{\frac{\pi}{6} + \alpha}^{\frac{\pi}{6} + \alpha + \delta} (\sin \omega t \cos \omega t + \sqrt{3} \cos^2 \omega t) d(\omega t) = \\ &= \frac{1}{4\pi\sqrt{3}} \left[\frac{1}{2} \sin^2 \omega t + \frac{\sqrt{3}}{2} \omega t + \frac{\sqrt{3}}{4} \sin 2\omega t \right]_{\frac{\pi}{6} + \alpha}^{\frac{\pi}{6} + \alpha + \delta} = \\ &= \frac{1}{4\pi\sqrt{3}} \left[\delta\sqrt{3} + 2 \sin \delta \cos\left(\frac{\pi}{6} + 2\alpha + \delta\right) \right] \quad (A2.18) \end{aligned}$$

$$\begin{aligned} B_{1RI2} &= \frac{1}{\pi\sqrt{3}} \int_{\frac{\pi}{6} + \alpha + \delta}^{\frac{5\pi}{6} + \alpha} \sin \omega t \cos \omega t \, d(\omega t) = \frac{1}{2\pi\sqrt{3}} \left[\sin^2 \omega t \right]_{\frac{\pi}{6} + \alpha + \delta}^{\frac{5\pi}{6} + \alpha} = \\ &= -\frac{1}{2\pi\sqrt{3}} \sin\left(\frac{2\pi}{3} - \delta\right) \sin(2\alpha + \delta) \quad (A2.19) \end{aligned}$$

$$\begin{aligned} B_{1RI3} &= \frac{1}{4\pi\sqrt{3}} \int_{\frac{5\pi}{6} + \alpha}^{\frac{5\pi}{6} + \alpha + \delta} (\sin \omega t \cos \omega t - \sqrt{3} \cos^2 \omega t) d(\omega t) = \\ &= \frac{1}{4\pi\sqrt{3}} \left[\frac{1}{2} \sin^2 \omega t - \frac{\sqrt{3}}{2} \omega t - \frac{\sqrt{3}}{4} \sin 2\omega t \right]_{\frac{5\pi}{6} + \alpha}^{\frac{5\pi}{6} + \alpha + \delta} = \end{aligned}$$

$$= \frac{1}{8\pi\sqrt{3}} \left[-\delta\sqrt{3} + 2\sin\delta \cos\left(\frac{5\pi}{6} + 2\alpha + \delta\right) \right] \quad (\text{A2.20})$$

$$B_{1FI4} = \frac{1}{2\pi\sqrt{3}} \int_{\frac{3\pi}{6}}^{\frac{3\pi}{2}+\alpha} (\sin\omega t \cos\omega t + \sqrt{3} \cos^2\omega t) d(\omega t) = \frac{1}{2\pi\sqrt{3}}$$

$$\left[\frac{1}{2} \sin^2\omega t + \frac{\sqrt{3}}{2}\omega t + \frac{\sqrt{3}}{4} \sin 2\omega t \right]_{\frac{3\pi}{6}}^{\frac{3\pi}{2}+\alpha} = \frac{1}{4\pi\sqrt{3}}$$

$$\left[\alpha\sqrt{3} - \frac{1}{2} + \frac{\pi\sqrt{3}}{3} + \cos\left(\frac{\pi}{3} + 2\alpha\right) \right] \quad (\text{A2.21})$$

$$B_{1FI5} = \frac{1}{2\pi\sqrt{3}} \int_{\frac{3\pi}{2}+\alpha}^{\frac{3\pi}{2}+\alpha+\delta} \sin\omega t \cos\omega t d\omega t = \frac{1}{2\pi\sqrt{3}} \left[\sin^2\omega t \right]_{\frac{3\pi}{2}+\alpha}^{\frac{3\pi}{2}+\alpha+\delta} =$$

$$= -\frac{1}{4\pi\sqrt{3}} \sin\delta \sin(2\alpha + \delta) \quad (\text{A2.22})$$

$$B_{1FI6} = \frac{1}{2\pi\sqrt{3}} \int_{\frac{3\pi}{2}+\alpha+\delta}^{\frac{11\pi}{6}+\delta_0} (\sin\omega t \cos\omega t - \sqrt{3} \cos^2\omega t) d(\omega t) =$$

$$= \frac{1}{2\pi\sqrt{3}} \left[\frac{1}{2} \sin^2\omega t - \frac{\sqrt{3}}{2}\omega t - \frac{\sqrt{3}}{4} \sin 2\omega t \right]_{\frac{3\pi}{2}+\alpha+\delta}^{\frac{11\pi}{6}+\delta_0} =$$

$$= \frac{1}{4\pi\sqrt{3}} \left[-\frac{\pi\sqrt{3}}{3} - \delta_0\sqrt{3} + \alpha\sqrt{3} + \delta\sqrt{3} - 2 \sin\left(\frac{\pi}{3} + \delta_0 - \alpha - \delta\right) \right.$$

$$\left. \sin(\delta_0 + \alpha + \delta) \right] \quad (\text{A2.23})$$

$$B_{1FI1} = \frac{1}{2\pi\sqrt{3}} \int_{\frac{\pi}{6}+\alpha}^{\frac{\pi}{2}} (\sin\omega t \cos\omega t + \sqrt{3} \cos^2\omega t) d(\omega t) = \frac{1}{2\pi\sqrt{3}}$$

$$\left[\frac{1}{2} \sin^2\omega t + \frac{\sqrt{3}}{2}\omega t + \frac{\sqrt{3}}{4} \sin 2\omega t \right]_{\frac{\pi}{6}+\alpha}^{\frac{\pi}{2}} = \frac{1}{4\pi\sqrt{3}} \left[\frac{\pi\sqrt{3}}{3} + \right.$$

$$+\alpha\sqrt{3} + \frac{1}{2} + \cos\left(\frac{2\pi}{3} + 2\alpha\right)] \quad (A2.24)$$

$$\begin{aligned} B_{1R12} &= \frac{1}{2\pi\sqrt{3}} \int_{\frac{\pi}{2}}^{\frac{\pi}{2}+\delta_0} \sin\omega t \cos\omega t \, d(\omega t) = \frac{1}{4\pi\sqrt{3}} \left[\sin^2\omega t \right]_{\frac{\pi}{2}}^{\frac{\pi}{2}+\delta_0} = \\ &= \frac{1}{4\pi\sqrt{3}} \left[1 - \cos 2\delta_0 \right] \quad (A2.25) \end{aligned}$$

$$\begin{aligned} B_{1R13} &= \frac{1}{2\pi\sqrt{3}} \int_{\frac{\pi}{2}+\delta_0}^{\frac{5\pi}{6}+\alpha+\delta} (\sin\omega t \cos\omega t - \sqrt{3} \cos^2\omega t) \, d(\omega t) = \\ &= \frac{1}{4\pi\sqrt{3}} \left[\frac{1}{2} \sin^2\omega t - \frac{\sqrt{3}}{2} \omega t - \frac{\sqrt{3}}{4} \sin 2\omega t \right]_{\frac{\pi}{2}+\delta_0}^{\frac{5\pi}{6}+\alpha+\delta} = \\ &= \frac{1}{4\pi\sqrt{3}} \left[-\frac{\pi\sqrt{3}}{3} - \alpha\sqrt{3} - \delta\sqrt{3} + \delta_0\sqrt{3} - 2 \sin\left(\frac{\pi}{3} + \alpha + \delta - \delta_0\right) \right. \\ &\quad \left. \sin(\alpha + \delta + \delta_0) \right] \quad (A2.26) \end{aligned}$$

$$\begin{aligned} B_{1R14} &= \frac{1}{4\pi\sqrt{3}} \int_{\frac{7\pi}{6}}^{\frac{7\pi}{6}+\delta_0} (\sin\omega t \cos\omega t + \sqrt{3} \cos^2\omega t) \, d(\omega t) = \\ &= \frac{1}{4\pi\sqrt{3}} \left[\frac{1}{2} \sin^2\omega t + \frac{\sqrt{3}}{2} \omega t + \frac{\sqrt{3}}{4} \sin 2\omega t \right]_{\frac{7\pi}{6}}^{\frac{7\pi}{6}+\delta_0} = \\ &= \frac{1}{4\pi\sqrt{3}} \left[\delta_0\sqrt{3} - \frac{1}{2} - \cos\left(\frac{2\pi}{3} + \delta_0\right) \right] \quad (A2.27) \end{aligned}$$

$$\begin{aligned} B_{1R15} &= \frac{1}{\pi\sqrt{3}} \int_{\frac{3\pi}{2}+\delta_0}^{\frac{11\pi}{6}} \sin\omega t \cos\omega t \, d(\omega t) = \frac{1}{2\pi\sqrt{3}} \left[\sin^2\omega t \right]_{\frac{3\pi}{2}+\delta_0}^{\frac{11\pi}{6}} = \\ &= \frac{1}{2\pi\sqrt{3}} \left[-\frac{1}{2} + \cos\left(\frac{\pi}{3} + 2\delta_0\right) \right] \quad (A2.28) \end{aligned}$$

$$\begin{aligned}
 B_{1RI6} &= \frac{1}{4\pi\sqrt{3}} \int_{\frac{11\pi}{6}}^{\frac{11\pi}{6}+\delta_0} (\sin\omega t \cos\omega t - \sqrt{3} \cos^2\omega t) d(\omega t) = \\
 &= \frac{1}{4\pi\sqrt{3}} \left[\frac{1}{2} \sin^2\omega t - \frac{\sqrt{3}}{2}\omega t - \frac{\sqrt{3}}{4} \sin 2\omega t \right]_{\frac{11\pi}{6}}^{\frac{11\pi}{6}+\delta_0} = \\
 &= \frac{1}{8\pi\sqrt{3}} \left[-\delta_0\sqrt{3} - \frac{1}{2} + \cos\left(\frac{\pi}{3} + 2\delta_0\right) \right] \quad (A2.29)
 \end{aligned}$$

Înlocuind pe (A2.18)-(A2.29) în (A2.17) se obține:

$$B_{1RI} = -\frac{\sqrt{3}}{2\pi} \left[\sin\delta_0 \sin\left(\delta_0 + \frac{\pi}{3}\right) + \cos\left(\delta_0 - \frac{\pi}{6}\right) \sin(2\alpha + \delta_0) \right] \quad (A2.30)$$

2.2. Cazul II ($0 < \alpha \leq \frac{\pi}{3}$ și $\alpha + \delta > \frac{\pi}{3}$)

Pentru acest caz expresia funcției periodice $u(t)$ pe intervalul de o perioadă este:

$\left[0; \frac{\pi}{6} + \alpha\right]$	$u(t) = 0$
$\left[\frac{\pi}{6} + \alpha; \frac{\pi}{6} + \alpha + \delta\right]$	$u(t) = \frac{1}{2} (u_{eR} + u_{eT}) - u_{eS}$
$\left[\frac{\pi}{6} + \alpha + \delta; \frac{\pi}{2} + \delta_0\right]$	$u(t) = u_{eR} - \frac{1}{2}(u_{eS} + u_{eT})$
$\left[\frac{\pi}{2} + \delta_0; \frac{5\pi}{6} + \alpha\right]$	$u(t) = u_{eR} - u_{eT}$
$\left[\frac{5\pi}{6} + \alpha; \frac{5\pi}{6} + \alpha + \delta\right]$	$u(t) = \frac{1}{2} (u_{eR} + u_{eS}) - u_{eT}$
$\left[\frac{5\pi}{6} + \alpha + \delta; \frac{7\pi}{6} + \delta_0\right]$	$u(t) = \frac{1}{2}(u_{eR} + u_{eT}) - u_{eS}$
$\left[\frac{7\pi}{6} + \delta_0; \frac{3\pi}{2} + \alpha\right]$	$u(t) = u_{eR} - u_{eS}$
$\left[\frac{3\pi}{2} + \alpha; \frac{3\pi}{2} + \alpha + \delta\right]$	$u(t) = u_{eR} - \frac{1}{2}(u_{eS} + u_{eT})$
$\left[\frac{3\pi}{2} + \alpha + \delta; \frac{11\pi}{6} + \delta_0\right]$	$u(t) = \frac{1}{2}(u_{eS} + u_{eS}) - u_{eT}$
$\left[\frac{11\pi}{6} + \delta_0; 2\pi\right]$	$u(t) = 0$

Similar ca în paragraful 2.1 se rearanjează expresia

funcției $u(t)$ în forma următoare:

$$1) \left[\frac{\pi}{6} + \alpha; \frac{\pi}{6} + \alpha + \delta \right] \quad u(t) = \frac{1}{2}(u_{eP} + u_{eT}) = \frac{U\sqrt{2}}{4}(\sin \omega t + \sqrt{3} \cos \omega t)$$

$$2) \left[\frac{\pi}{6} + \alpha + \delta; \frac{5\pi}{6} + \alpha \right] \quad u(t) = u_{eR} = U\sqrt{2} \sin \omega t$$

$$3) \left[\frac{5\pi}{6} + \alpha; \frac{5\pi}{6} + \alpha + \delta \right] \quad u(t) = \frac{1}{2}(u_{eR} + u_{eS}) = \frac{U\sqrt{2}}{4}(\sin \omega t - \sqrt{3} \cos \omega t)$$

$$4) \left[\frac{5\pi}{6} + \alpha + \delta; \frac{3\pi}{2} + \alpha \right] \quad u(t) = -u_{eS} = \frac{U\sqrt{2}}{2}(\sin \omega t + \sqrt{3} \cos \omega t)$$

$$5) \left[\frac{3\pi}{2} + \alpha; \frac{3\pi}{2} + \alpha + \delta \right] \quad u(t) = -\frac{1}{2}(u_{eS} + u_{eT}) = \frac{U\sqrt{2}}{2} \sin \omega t$$

$$6) \left[\frac{3\pi}{2} + \alpha + \delta; \frac{11\pi}{6} + \alpha + \delta_0 \right] \quad u(t) = -u_{eT} = \frac{U\sqrt{2}}{2}(\sin \omega t - \sqrt{3} \cos \omega t)$$

$$1') \left[\frac{\pi}{6} + \alpha; \frac{\pi}{6} + \alpha + \delta \right] \quad u(t) = -u_{eS} = \frac{U\sqrt{2}}{2}(\sin \omega t + \sqrt{3} \cos \omega t)$$

$$2') \left[\frac{\pi}{6} + \alpha + \delta; \frac{\pi}{2} + \delta_0 \right] \quad u(t) = -\frac{1}{2}(u_{eS} + u_{eT}) = \frac{U\sqrt{2}}{2} \sin \omega t$$

$$3') \left[\frac{\pi}{2} + \delta_0; \frac{5\pi}{6} + \alpha + \delta \right] \quad u(t) = -u_{eT} = \frac{U\sqrt{2}}{2}(\sin \omega t - \sqrt{3} \cos \omega t)$$

$$4') \left[\frac{5\pi}{6} + \alpha + \delta; \frac{7\pi}{6} + \delta_0 \right] \quad u(t) = \frac{1}{2}(u_{eR} + u_{eT}) = \frac{U\sqrt{2}}{4}(\sin \omega t + \sqrt{3} \cos \omega t)$$

$$5') \left[\frac{7\pi}{6} + \delta_0; \frac{3\pi}{2} + \alpha + \delta \right] \quad u(t) = u_{eK} = U\sqrt{2} \sin \omega t$$

$$6') \left[\frac{3\pi}{2} + \alpha + \delta; \frac{11\pi}{6} + \delta_0 \right] \quad u(t) = \frac{1}{2}(u_{eR} + u_{eS}) = \frac{U\sqrt{2}}{4}(\sin \omega t - \sqrt{3} \cos \omega t)$$

Pe restul intervalului $[0, 2\pi]$ $u(t) = 0$.

2.2.1. Calculul coeficientului A_{1RII}

Se calculează folosind relația (A2.1)

$$A_{1RII} = A_{1RII1} + A_{1RII2} + A_{1RII3} + A_{1RII4} + A_{1RII5} + A_{1RII6} + A_{1RII1}' + A_{1RII2}' + A_{1RII3}' + A_{1RII4}' + A_{1RII5}' + A_{1RII6}' \quad (A2.31)$$

$$\begin{aligned}
 A_{1RII1} &= \frac{1}{4\pi\sqrt{3}} \int_{\frac{\pi}{6}+\alpha}^{\frac{\pi}{6}+\alpha+\delta} (\sin^2 \omega t + \sqrt{3} \sin \omega t \cos \omega t) d(\omega t) = \\
 &= \frac{1}{4\pi\sqrt{3}} \left[-\frac{\sin 2\omega t}{4} + \frac{\omega t}{2} + \frac{\sqrt{3}}{2} \sin^2 \omega t \right]_{\frac{\pi}{6}+\alpha}^{\frac{\pi}{6}+\alpha+\delta} = \\
 &= \frac{1}{8\pi\sqrt{3}} \left[\delta + 2 \sin \delta \sin\left(\frac{\pi}{6} + 2\alpha + \delta\right) \right] \quad (A2.32)
 \end{aligned}$$

$$\begin{aligned}
 A_{1RII2} &= \frac{1}{\pi\sqrt{3}} \int_{\frac{\pi}{6}+\alpha}^{\frac{5\pi}{6}+\alpha} \sin^2 \omega t d\omega t = \frac{1}{\pi\sqrt{3}} \left[-\frac{\sin 2\omega t}{4} + \frac{\omega t}{2} \right]_{\frac{\pi}{6}+\alpha}^{\frac{5\pi}{6}+\alpha} = \\
 &= \frac{1}{2\pi\sqrt{3}} \left[\frac{2\pi}{3} - \delta + \sin\left(\frac{2\pi}{3} - \delta\right) \cos(2\alpha + \delta) \right] \quad (A2.33)
 \end{aligned}$$

$$\begin{aligned}
 A_{1RII3} &= \frac{1}{4\pi\sqrt{3}} \int_{\frac{5\pi}{6}+\alpha}^{\frac{5\pi}{6}+\alpha+\delta} (\sin^2 \omega t - \sqrt{3} \sin \omega t \cos \omega t) d(\omega t) = \\
 &= \frac{1}{4\pi\sqrt{3}} \left[-\frac{\sin 2\omega t}{4} + \frac{\omega t}{2} - \frac{\sqrt{3}}{2} \sin^2 \omega t \right]_{\frac{5\pi}{6}+\alpha}^{\frac{5\pi}{6}+\alpha+\delta} = \\
 &= \frac{1}{8\pi\sqrt{3}} \left[\delta + 2 \sin \delta \sin\left(\frac{5\pi}{6} + 2\alpha + \delta\right) \right] \quad (A2.34)
 \end{aligned}$$

$$\begin{aligned}
 A_{1RII4} &= \frac{1}{2\pi\sqrt{3}} \int_{\frac{5\pi}{6}+\alpha+\delta}^{\frac{3\pi}{2}+\alpha} (\sin^2 \omega t + \sqrt{3} \sin \omega t \cos \omega t) d\omega t = \frac{1}{2\pi\sqrt{3}} \\
 &\left[-\frac{\sin 2\omega t}{4} + \frac{\omega t}{2} + \frac{\sqrt{3}}{2} \sin^2 \omega t \right]_{\frac{5\pi}{6}+\alpha+\delta}^{\frac{3\pi}{2}+\alpha} = \\
 &= \frac{1}{4\pi\sqrt{3}} \left[\frac{2\pi}{3} - \delta + 2 \sin\left(\frac{2\pi}{3} - \delta\right) \sin\left(\frac{\pi}{6} + 2\alpha + \delta\right) \right] \quad (A2.35)
 \end{aligned}$$

$$A_{1RII5} = \frac{1}{2\pi\sqrt{3}} \int_{\frac{3\pi}{2}+\alpha}^{\frac{3\pi}{2}+\alpha+\delta} \sin^2 \omega t d(\omega t) = \frac{1}{2\pi\sqrt{3}} \left[-\frac{\sin 2\omega t}{4} + \right.$$

$$+ \frac{\omega t}{2} \Big|_{\frac{3\pi}{2} + \alpha}^{\frac{3\pi}{2} + \alpha + \delta} = \frac{1}{4\pi\sqrt{3}} \left[\delta + \sin \delta \cos(2\alpha + \delta) \right] \quad (\text{A2.36})$$

$$\begin{aligned} A_{1R116} &= \frac{1}{2\pi\sqrt{3}} \int_{\frac{3\pi}{2} + \alpha + \delta}^{\frac{11\pi}{6} + \delta_0} (\sin^2 \omega t - \sqrt{3} \sin \omega t \cos \omega t) d(\omega t) = \\ &= \frac{1}{2\pi\sqrt{3}} \left[-\frac{\sin 2\omega t}{4} + \frac{\omega t}{2} - \frac{\sqrt{3}}{2} \sin^2 \omega t \right]_{\frac{3\pi}{2} + \alpha + \delta}^{\frac{11\pi}{6} + \delta_0} = \\ &= \frac{1}{4\pi\sqrt{3}} \left[\frac{\pi}{3} - \alpha - \delta + \delta_0 + 2 \sin\left(\frac{\pi}{3} - \alpha - \delta + \delta_0\right) \cos(\alpha + \delta + \delta_0) \right] \end{aligned} \quad (\text{A2.37})$$

$$\begin{aligned} A_{1R111} &= \frac{1}{2\pi\sqrt{3}} \int_{\frac{\pi}{6} + \alpha}^{\frac{\pi}{6} + \alpha + \delta} (\sin^2 \omega t + \sqrt{3} \sin \omega t \cos \omega t) d(\omega t) = \\ &= \frac{1}{2\pi\sqrt{3}} \left[-\frac{\sin 2\omega t}{4} + \frac{\omega t}{2} + \frac{\sqrt{3}}{2} \sin^2 \omega t \right]_{\frac{\pi}{6} + \alpha}^{\frac{\pi}{6} + \alpha + \delta} = \\ &= \frac{1}{4\pi\sqrt{3}} \left[\delta + 2 \sin \delta \sin\left(\frac{\pi}{6} + 2\alpha + \delta\right) \right] \end{aligned} \quad (\text{A2.38})$$

$$\begin{aligned} A_{1R112} &= \frac{1}{2\pi\sqrt{3}} \int_{\frac{\pi}{6} + \alpha + \delta}^{\frac{11\pi}{2} + \delta_0} \sin^2 \omega t d\omega t = \frac{1}{2\pi\sqrt{3}} \left[-\frac{\sin 2\omega t}{4} + \right. \\ &+ \left. \frac{\omega t}{2} \right]_{\frac{\pi}{6} + \alpha + \delta}^{\frac{11\pi}{2} + \delta_0} = \frac{1}{4\pi\sqrt{3}} \left[\frac{\pi}{3} - \alpha - \delta + \delta_0 + \sin\left(\frac{\pi}{6} + \alpha + \delta + \delta_0\right) \right. \\ &\left. \cos\left(\frac{\pi}{6} + \alpha + \delta - \delta_0\right) \right] \end{aligned} \quad (\text{A2.39})$$

$$\begin{aligned} A_{1R113} &= \frac{1}{2\pi\sqrt{3}} \int_{\frac{\pi}{2} + \delta_0}^{\frac{5\pi}{6} + \alpha + \delta} (\sin^2 \omega t - \sqrt{3} \cos \omega t \sin \omega t) d(\omega t) = \\ &= \frac{1}{2\pi\sqrt{3}} \left[-\frac{\sin 2\omega t}{4} + \frac{\omega t}{2} - \frac{\sqrt{3}}{2} \sin^2 \omega t \right]_{\frac{\pi}{2} + \delta_0}^{\frac{5\pi}{6} + \alpha + \delta} = \end{aligned}$$

$$= \frac{1}{4\pi\sqrt{3}} \left[\frac{\pi}{3} + \alpha + \delta - \delta_0 + 2 \sin\left(\frac{\pi}{3} + \alpha + \delta - \delta_0\right) \cos(\alpha + \delta + \delta_0) \right] \quad (\text{A2.40})$$

$$\begin{aligned} A_{1R114} &= \frac{1}{4\pi\sqrt{3}} \int_{\frac{5\pi}{6} + \alpha + \delta}^{\frac{7\pi}{6} + \delta_0} (\sin^2 \omega t + \sqrt{3} \cos \omega t \sin \omega t) d(\omega t) = \\ &= \frac{1}{4\pi\sqrt{3}} \left[-\frac{\sin 2\omega t}{4} + \frac{\omega t}{2} + \frac{\sqrt{3}}{2} \sin^2 \omega t \right]_{\frac{5\pi}{6} + \alpha + \delta}^{\frac{7\pi}{6} + \delta_0} = \\ &= \frac{1}{8\pi\sqrt{3}} \left[\frac{\pi}{3} + \delta_0 - \alpha - \delta + 2 \sin\left(\frac{\pi}{3} + \delta_0 - \alpha - \delta\right) \sin \right. \\ &\quad \left. (\alpha + \delta + \delta_0 - \frac{\pi}{6}) \right] \quad (\text{A2.41}) \end{aligned}$$

$$\begin{aligned} A_{1R115} &= \frac{1}{\pi\sqrt{3}} \int_{\frac{7\pi}{6} + \delta_0}^{\frac{3\pi}{2} + \alpha + \delta} \sin^2 \omega t d(\omega t) = \frac{1}{\pi\sqrt{3}} \left[-\frac{\sin 2\omega t}{4} + \right. \\ &\quad \left. + \frac{\omega t}{2} \right]_{\frac{7\pi}{6} + \delta_0}^{\frac{3\pi}{2} + \alpha + \delta} = \frac{1}{2\pi\sqrt{3}} \left[\frac{\pi}{3} + \alpha + \delta - \delta_0 + \sin(\alpha + \delta + \delta_0 + \frac{\pi}{6}) \right. \\ &\quad \left. \cos(\alpha + \delta - \delta_0 - \frac{\pi}{6}) \right] \quad (\text{A2.42}) \end{aligned}$$

$$\begin{aligned} A_{1R116} &= \frac{1}{4\pi\sqrt{3}} \int_{\frac{3\pi}{2} + \alpha + \delta}^{\frac{11\pi}{6} + \delta_0} (\sin^2 \omega t - \sqrt{3} \cos \omega t \sin \omega t) d(\omega t) = \\ &= \frac{1}{4\pi\sqrt{3}} \left[-\frac{\sin 2\omega t}{4} + \frac{\omega t}{2} - \frac{\sqrt{3}}{2} \sin^2 \omega t \right]_{\frac{3\pi}{2} + \alpha + \delta}^{\frac{11\pi}{6} + \delta_0} = \\ &= \frac{1}{8\pi\sqrt{3}} \left[\frac{\pi}{3} - \alpha - \delta + \delta_0 + 2 \sin\left(\frac{\pi}{3} + \delta_0 - \alpha - \delta\right) \cos(\alpha + \delta + \delta_0) \right] \quad (\text{A2.43}) \end{aligned}$$

Inlocuind pe (A2.32)-(A2.43) în (A2.31) se obține:

$$\begin{aligned} A_{1R11} &= \frac{\sqrt{3}}{2\pi} \left[\frac{2\pi}{3} + \sin\left(\frac{\pi}{3} + \alpha + \delta + \delta_0\right) \cos(\alpha + \delta - \delta_0) + \right. \\ &\quad \left. + \cos\left(\delta - \frac{\pi}{3}\right) \sin\left(\frac{\pi}{3} + 2\alpha + \delta\right) \right] \quad (\text{A2.44}) \end{aligned}$$

2.2.2. Calculul coeficientului B_{1RII}

Se calculează utilizând relația (A2.16).

$$B_{1RII} = B_{1RII1} + B_{1RII2} + B_{1RII3} + B_{1RII4} + B_{1RII5} + B_{1RII6} + B_{1RII1} + B_{1RII2} + B_{1RII3} + B_{1RII4} + B_{1RII5} + B_{1RII6} \quad (A2.45)$$

$$B_{1RII1} = \frac{1}{4\pi\sqrt{3}} \int_{\frac{\pi}{6}+\alpha}^{\frac{\pi}{6}+\alpha+\gamma} (\sin\omega t \cos\omega t + \sqrt{3} \cos^2\omega t) d(\omega t) =$$

$$= \frac{1}{4\pi\sqrt{3}} \left[\frac{\sin^2\omega t}{2} + \frac{\sqrt{3}}{2} \omega t + \frac{\sqrt{3}}{4} \sin 2\omega t \right]_{\frac{\pi}{6}+\alpha}^{\frac{\pi}{6}+\alpha+\gamma} =$$

$$= \frac{1}{8\pi\sqrt{3}} \left[\gamma\sqrt{3} + 2 \sin\gamma \cos\left(\frac{\pi}{6} + 2\alpha + \gamma\right) \right] \quad (A2.46)$$

$$B_{1RII2} = \frac{1}{\pi\sqrt{3}} \int_{\frac{\pi}{6}+\alpha+\gamma}^{\frac{5\pi}{6}+\alpha} \sin\omega t \cos\omega t d(\omega t) = \frac{1}{2\pi\sqrt{3}} \left[\sin^2\omega t \right]_{\frac{\pi}{6}+\alpha+\gamma}^{\frac{5\pi}{6}+\alpha} =$$

$$= -\frac{1}{2\pi\sqrt{3}} \sin\left(\frac{2\pi}{3} - \gamma\right) \sin(2\alpha + \gamma) \quad (A2.47)$$

$$B_{1RII3} = \frac{1}{4\pi\sqrt{3}} \int_{\frac{5\pi}{6}+\alpha}^{\frac{5\pi}{6}+\alpha+\gamma} (\sin\omega t \cos\omega t - \sqrt{3} \cos^2\omega t) d(\omega t) =$$

$$= \frac{1}{4\pi\sqrt{3}} \left[\frac{1}{2} \sin^2\omega t - \frac{\sqrt{3}}{2} \omega t - \frac{\sqrt{3}}{4} \sin 2\omega t \right]_{\frac{5\pi}{6}+\alpha}^{\frac{5\pi}{6}+\alpha+\gamma} =$$

$$= \frac{1}{8\pi\sqrt{3}} \left[-\gamma\sqrt{3} + 2 \sin\gamma \cos\left(\frac{5\pi}{6} + 2\alpha + \gamma\right) \right] \quad (A2.48)$$

$$B_{1RII4} = \frac{1}{2\pi\sqrt{3}} \int_{\frac{5\pi}{6}+\alpha+\gamma}^{\frac{3\pi}{2}+\alpha} (\sin\omega t \cos\omega t + \sqrt{3} \cos^2\omega t) d(\omega t) =$$

$$= \frac{1}{2\pi\sqrt{3}} \left[\frac{1}{2} \sin^2\omega t + \frac{\sqrt{3}}{2} \omega t + \frac{\sqrt{3}}{4} \sin 2\omega t \right]_{\frac{5\pi}{6}+\alpha+\gamma}^{\frac{3\pi}{2}+\alpha} =$$

$$= \frac{1}{4\pi\sqrt{3}} \left[\sqrt{3} \left(\frac{2\pi}{3} - \delta \right) + 2 \sin \left(\frac{2\pi}{3} - \delta \right) \cos \left(\frac{\pi}{6} + 2\alpha + \delta \right) \right] \quad (\text{A2.49})$$

$$\begin{aligned} B_{1RII5} &= \frac{1}{2\pi\sqrt{3}} \int_{\frac{3\pi}{2} + \alpha}^{\frac{3\pi}{2} + \alpha + \delta} \sin \omega t \cos \omega t \, d(\omega t) = \frac{1}{4\pi\sqrt{3}} \left[\sin^2 \omega t \right]_{\frac{3\pi}{2} + \alpha}^{\frac{3\pi}{2} + \alpha + \delta} = \\ &= - \frac{1}{4\pi\sqrt{3}} \sin \delta \sin(2\alpha + \delta) \end{aligned} \quad (\text{A2.50})$$

$$\begin{aligned} B_{1RII6} &= \frac{1}{2\pi\sqrt{3}} \int_{\frac{3\pi}{2} + \alpha + \delta}^{\frac{11\pi}{6} + \delta_0} (\sin \omega t \cos \omega t - \sqrt{3} \cos^2 \omega t) \, d(\omega t) = \\ &= \frac{1}{2\pi\sqrt{3}} \left[\frac{1}{2} \sin^2 \omega t - \frac{\sqrt{3}}{2} \omega t - \frac{\sqrt{3}}{4} \sin 2\omega t \right]_{\frac{3\pi}{2} + \alpha + \delta}^{\frac{11\pi}{6} + \delta_0} = \\ &= \frac{1}{4\pi\sqrt{3}} \left[-\sqrt{3} \left(\frac{\pi}{3} + \delta_0 - \alpha - \delta \right) - 2 \sin \left(\frac{\pi}{3} + \delta_0 - \alpha - \delta \right) \sin(\alpha + \right. \\ &\quad \left. + \delta + \delta_0) \right] \end{aligned} \quad (\text{A2.51})$$

$$\begin{aligned} B_{1RII11} &= \frac{1}{2\pi\sqrt{3}} \int_{\frac{\pi}{6} + \alpha}^{\frac{\pi}{6} + \alpha + \delta} (\sin \omega t \cos \omega t + \sqrt{3} \cos^2 \omega t) \, d\omega t = \\ &= \frac{1}{2\pi\sqrt{3}} \left[\frac{1}{2} \sin^2 \omega t + \frac{\sqrt{3}}{2} \omega t + \frac{\sqrt{3}}{4} \sin 2\omega t \right]_{\frac{\pi}{6} + \alpha}^{\frac{\pi}{6} + \alpha + \delta} = \\ &= \frac{1}{4\pi\sqrt{3}} \left[\delta \sqrt{3} + 2 \sin \delta \cos \left(\frac{\pi}{6} + 2\alpha + \delta \right) \right] \end{aligned} \quad (\text{A2.52})$$

$$\begin{aligned} B_{1RII12} &= \frac{1}{2\pi\sqrt{3}} \int_{\frac{\pi}{6} + \alpha + \delta}^{\frac{\pi}{2} + \delta_0} \sin \omega t \cos \omega t \, d\omega t = \frac{1}{4\pi\sqrt{3}} \left[\sin^2 \omega t \right]_{\frac{\pi}{6} + \alpha + \delta}^{\frac{\pi}{2} + \delta_0} = \\ &= \frac{1}{4\pi\sqrt{3}} \cos \left(\frac{\pi}{6} + \alpha + \delta + \delta_0 \right) \cos \left(\frac{\pi}{6} + \alpha + \delta - \delta_0 \right) \end{aligned} \quad (\text{A2.53})$$

$$\begin{aligned}
 B_{1F113} &= \frac{1}{2\pi\sqrt{3}} \int_{\frac{\pi}{2}+\delta_0}^{\frac{5\pi}{6}+\alpha+\delta} (\sin\omega t \cos\omega t - \sqrt{3} \cos^2\omega t) d(\omega t) = \\
 &= \frac{1}{2\pi\sqrt{3}} \left[\frac{1}{2} \sin^2\omega t - \frac{\sqrt{3}}{2}\omega t - \frac{\sqrt{3}}{4} \sin 2\omega t \right]_{\frac{\pi}{2}+\delta_0}^{\frac{5\pi}{6}+\alpha+\delta} = \\
 &= \frac{1}{4\pi\sqrt{3}} \left[-\sqrt{3}\left(\frac{\pi}{3} + \alpha + \delta - \delta_0\right) - 2 \sin\left(\frac{\pi}{3} + \alpha + \delta - \delta_0\right) \right. \\
 &\quad \left. \sin(\alpha + \delta + \delta_0) \right] \tag{A2.54}
 \end{aligned}$$

$$\begin{aligned}
 B_{1F114} &= \frac{1}{4\pi\sqrt{3}} \int_{\frac{5\pi}{6}+\alpha+\delta}^{\frac{7\pi}{6}+\delta_0} (\sin\omega t \cos\omega t + \sqrt{3} \cos^2\omega t) d(\omega t) = \\
 &= \frac{1}{4\pi\sqrt{3}} \left[\frac{1}{2} \sin^2\omega t + \frac{\sqrt{3}}{2}\omega t + \frac{\sqrt{3}}{4} \sin 2\omega t \right]_{\frac{5\pi}{6}+\alpha+\delta}^{\frac{7\pi}{6}+\delta_0} = \\
 &= \frac{1}{8\pi\sqrt{3}} \left[\sqrt{3}\left(\frac{\pi}{3} - \alpha - \delta + \delta_0\right) + 2 \sin\left(\frac{\pi}{3} + \delta_0 - \alpha - \delta\right) \right. \\
 &\quad \left. \cos\left(\alpha + \delta + \delta_0 - \frac{\pi}{6}\right) \right] \tag{A2.55}
 \end{aligned}$$

$$\begin{aligned}
 B_{1F115} &= \frac{1}{\pi\sqrt{3}} \int_{\frac{3\pi}{6}+\delta_0}^{\frac{3\pi}{2}+\alpha+\delta} \sin\omega t \cos\omega t d(\omega t) = \frac{1}{2\pi\sqrt{3}} \left[\sin^2\omega t \right]_{\frac{3\pi}{6}+\delta_0}^{\frac{3\pi}{2}+\alpha+\delta} = \\
 &= \frac{1}{2\pi\sqrt{3}} \cos\left(\frac{\pi}{6} + \alpha + \delta + \delta_0\right) \cos\left(\alpha + \delta - \delta_0 - \frac{\pi}{6}\right) \tag{A2.56}
 \end{aligned}$$

$$\begin{aligned}
 B_{1F116} &= \frac{1}{4\pi\sqrt{3}} \int_{\frac{3\pi}{2}+\alpha+\delta}^{\frac{11\pi}{6}+\delta_0} (\sin\omega t \cos\omega t - \sqrt{3} \cos^2\omega t) d(\omega t) = - \\
 &= \frac{1}{4\pi\sqrt{3}} \left[\frac{1}{2} \sin^2\omega t - \frac{\sqrt{3}}{2}\omega t - \frac{\sqrt{3}}{4} \sin 2\omega t \right]_{\frac{3\pi}{2}+\alpha+\delta}^{\frac{11\pi}{6}+\delta_0} =
 \end{aligned}$$

$$= \frac{1}{\sqrt{3}} \left[-\sqrt{3} \left(\frac{\pi}{3} + \delta_0 - \alpha - \delta \right) - 2 \sin \left(\frac{\pi}{3} + \delta_0 - \alpha - \delta \right) \right. \\ \left. \sin(\alpha + \delta + \delta_0) \right] \quad (A2.57)$$

Inlocuind pe (A2.46)-(A2.57) în (A2.45) se obține:

$$B_{1RII} = \frac{\sqrt{3}}{2\pi} \left[\cos \left(\frac{\pi}{3} + \alpha + \delta + \delta_0 \right) \cos(\alpha + \delta - \delta_0) + \cos \left(\frac{\pi}{3} - \delta \right) \right. \\ \left. \cos \left(\frac{\pi}{3} + 2\alpha + \delta \right) \right] \quad (A2.5b)$$

2.3. Cazul III $\left(\frac{\pi}{3} < \alpha < \frac{\pi}{3} + \delta_0 - \delta \right)$

Pentru acest caz expresia funcției periodice $u(t)$ pe intervalul de o perioadă este:

$\left[0 ; \frac{\pi}{6} + \alpha + \delta \right]$	$u(t) = 0$
$\left[\frac{\pi}{6} + \alpha + \delta ; \frac{\pi}{2} + \delta_0 \right]$	$u(t) = u_{eR} - \frac{1}{2}(u_{eS} + u_{eT})$
$\left[\frac{\pi}{2} + \delta_0 ; \frac{7\pi}{6} \right]$	$u(t) = u_{eR} - u_{eT}$
$\left[\frac{7\pi}{6} ; \frac{5\pi}{6} + \alpha + \delta \right]$	$u(t) = 0$
$\left[\frac{5\pi}{6} + \alpha + \delta ; \frac{7\pi}{6} + \delta_0 \right]$	$u(t) = \frac{1}{2}(u_{eR} + u_{eT}) - u_{eS}$
$\left[\frac{7\pi}{6} + \delta_0 ; \frac{11\pi}{6} \right]$	$u(t) = u_{eR} - u_{eS}$
$\left[\frac{11\pi}{6} ; \frac{3\pi}{2} + \alpha + \delta \right]$	$u(t) = 0$
$\left[\frac{3\pi}{2} + \alpha + \delta ; \frac{11\pi}{6} + \delta_0 \right]$	$u(t) = \frac{1}{2}(u_{eR} + u_{eS}) - u_{eT}$
$\left[\frac{11\pi}{6} + \delta_0 ; 2\pi \right]$	$u(t) = 0$

Similar ca în paragraful 2.1 se rearanjează expresia funcției $u(t)$ în forma următoare:

- 1) $\left[\frac{\pi}{6} + \alpha + \delta ; \frac{7\pi}{6} \right]$ $u(t) = u_{eR} = U\sqrt{2} \sin \omega t$
- 2) $\left[\frac{5\pi}{6} + \alpha + \delta ; \frac{11\pi}{6} \right]$ $u(t) = -u_{eS} = \frac{U\sqrt{2}}{2} (\sin \omega t + \sqrt{3} \cos \omega t)$

$$\begin{aligned}
 A_{1RIII3} &= \frac{1}{2\pi\sqrt{3}} \int_{\frac{3\pi}{2} + \alpha + \delta}^{\frac{11\pi}{6} + \delta_0} (\sin^2 \omega t - \sqrt{3} \cos \omega t \sin \omega t) d(\omega t) = \\
 &= \frac{1}{2\pi\sqrt{3}} \left[-\frac{1}{4} \sin 2\omega t + \frac{1}{2} \omega t - \frac{\sqrt{3}}{2} \sin^2 \omega t \right]_{\frac{3\pi}{2} + \alpha + \delta}^{\frac{11\pi}{6} + \delta_0} = \\
 &= \frac{1}{4\pi\sqrt{3}} \left[\frac{\pi}{3} - \alpha - \delta + \delta_0 + 2 \sin\left(\frac{\pi}{3} + \delta_0 - \alpha - \delta\right) \right. \\
 &\quad \left. \sin(\alpha + \delta + \delta_0) \right] \tag{A2.62}
 \end{aligned}$$

$$\begin{aligned}
 A_{1RIII1} &= \frac{1}{2\pi\sqrt{3}} \int_{\frac{\pi}{6} + \alpha + \delta}^{\frac{\pi}{2} + \delta_0} \sin^2 \omega t d(\omega t) = \frac{1}{2\pi\sqrt{3}} \left[-\frac{1}{4} \sin 2\omega t + \right. \\
 &\quad \left. \frac{1}{2} \omega t \right]_{\frac{\pi}{6} + \alpha + \delta}^{\frac{\pi}{2} + \delta_0} = \frac{1}{4\pi\sqrt{3}} \left[\frac{\pi}{3} + \delta_0 - \alpha - \delta - \sin\left(\frac{\pi}{3} + \delta_0 - \alpha - \right. \right. \\
 &\quad \left. \left. - \delta\right) \cos\left(\frac{2\pi}{3} + \alpha + \delta + \delta_0\right) \right] \tag{A2.63}
 \end{aligned}$$

$$\begin{aligned}
 A_{1RIII2} &= \frac{1}{2\pi\sqrt{3}} \int_{\frac{\pi}{2} + \delta_0}^{\frac{2\pi}{6}} (\sin^2 \omega t - \sqrt{3} \cos \omega t \sin \omega t) d(\omega t) = \\
 &= \frac{1}{2\pi\sqrt{3}} \left[-\frac{1}{4} \sin 2\omega t + \frac{1}{2} \omega t - \frac{\sqrt{3}}{2} \sin^2 \omega t \right]_{\frac{\pi}{2} + \delta_0}^{\frac{2\pi}{6}} = \\
 &= \frac{1}{4\pi\sqrt{3}} \left[\frac{2\pi}{3} - \delta_0 + 2 \sin\left(\frac{2\pi}{3} - \delta_0\right) \cos\left(\frac{\pi}{3} + \delta_0\right) \right] \tag{A2.64}
 \end{aligned}$$

$$\begin{aligned}
 A_{1RIII3} &= \frac{1}{4\pi\sqrt{3}} \int_{\frac{5\pi}{6} + \alpha + \delta}^{\frac{7\pi}{6} + \delta_0} (\sin^2 \omega t + \sqrt{3} \cos \omega t \sin \omega t) d(\omega t) = \\
 &= \frac{1}{4\pi\sqrt{3}} \left[-\frac{1}{4} \sin 2\omega t + \frac{1}{2} \omega t + \frac{\sqrt{3}}{2} \sin^2 \omega t \right]_{\frac{5\pi}{6} + \alpha + \delta}^{\frac{7\pi}{6} + \delta_0} = \\
 &= \frac{1}{8\pi\sqrt{3}} \left[\frac{\pi}{3} + \delta_0 - \alpha - \delta - 2 \sin\left(\frac{\pi}{3} + \delta_0 - \alpha - \delta\right) \right. \\
 &\quad \left. \cos\left(\frac{\pi}{3} + \alpha + \delta + \delta_0\right) \right] \tag{A2.65}
 \end{aligned}$$

$$A_{1R1114} = \frac{1}{\pi\sqrt{3}} \int_{\frac{2\pi}{6} + \delta_0}^{\frac{4\pi}{6}} \sin^2 \omega t \, d(\omega t) = \frac{1}{\pi\sqrt{3}} \left[-\frac{1}{4} \sin 2\omega t + \right. \\ \left. + \frac{1}{2} \omega t \right]_{\frac{2\pi}{6} + \delta_0}^{\frac{4\pi}{6}} = \frac{1}{2\pi\sqrt{3}} \left[\frac{2\pi}{3} - \delta_0 - \sin\left(\frac{2\pi}{3} - \delta_0\right) \cos \delta_0 \right] \quad (A2.66)$$

$$A_{1R1115} = \frac{1}{4\pi\sqrt{3}} \int_{\frac{3\pi}{2} + \alpha + \delta}^{\frac{4\pi}{6} + \delta} (\sin^2 \omega t - \sqrt{3} \cos \omega t \sin \omega t) d(\omega t) = \\ = \frac{1}{4\pi\sqrt{3}} \left[-\frac{1}{4} \sin 2\omega t + \frac{1}{2} \omega t - \frac{\sqrt{3}}{2} \sin^2 \omega t \right]_{\frac{3\pi}{2} + \alpha + \delta}^{\frac{4\pi}{6} + \delta} = \\ = \frac{1}{8\pi\sqrt{3}} \left[\frac{\pi}{3} + \delta_0 - \alpha - \delta + 2 \sin\left(\frac{\pi}{3} + \delta_0 - \alpha - \delta\right) \right. \\ \left. \cos(\alpha + \delta + \delta_0) \right] \quad (A2.67)$$

Înlocuind pe (A2.60 - A2.67) în (A2.59) se obține:

$$A_{1R111} = \frac{\sqrt{3}}{2\pi} \left[\pi - \alpha - \delta + \sin\left(\frac{\pi}{3} + \alpha + \delta + \delta_0\right) \cos(\alpha + \delta - \delta_0) \right] \quad (A2.68)$$

2.3.2. Calculul coeficientului B_{1R111}

Se calculează cu relația (A2.16).

$$B_{1R111} = B_{1R1111} + B_{1R1112} + B_{1R1113} + B_{1R1114} + B_{1R1115} + B_{1R1116} + B_{1R1117} + \\ + B_{1R1118} + B_{1R1119} \quad (A2.69)$$

$$B_{1R1111} = \frac{1}{\pi\sqrt{3}} \int_{\frac{\pi}{6} + \alpha + \delta}^{\frac{2\pi}{6}} \sin \omega t \cos \omega t \, d(\omega t) = \frac{1}{2\pi\sqrt{3}} \left[\sin^2 \omega t \right]_{\frac{\pi}{6} + \alpha + \delta}^{\frac{2\pi}{6}} = \\ = -\frac{1}{2\pi\sqrt{3}} \sin(\alpha + \delta) \sin\left(\frac{\pi}{3} + \alpha + \delta\right) \quad (A2.70)$$

$$B_{1R1112} = \frac{1}{2\pi\sqrt{3}} \int_{\frac{5\pi}{6} + \alpha + \delta}^{\frac{4\pi}{6}} (\sin \omega t \cos \omega t + \sqrt{3} \cos^2 \omega t) d(\omega t) =$$

$$= \frac{1}{2\pi\sqrt{3}} \left[\frac{1}{2} \sin^2 \omega t + \frac{\sqrt{3}}{2} \omega t + \frac{\sqrt{3}}{4} \sin 2\omega t \right]_{\frac{5\pi}{6} + \alpha + \delta}^{\frac{11\pi}{6}} =$$

$$= \frac{1}{4\pi\sqrt{3}} \left[\sqrt{3} (\pi - \alpha - \delta) - 2 \sin^2(\alpha + \delta) \right] \quad (A2.71)$$

$$B_{1R11113} = \frac{1}{2\pi\sqrt{3}} \int_{\frac{3\pi}{2} + \alpha + \delta}^{\frac{11\pi}{6} + \delta_0} (\sin \omega t \cos \omega t - \sqrt{3} \cos^2 \omega t) d(\omega t) =$$

$$= \frac{1}{2\pi\sqrt{3}} \left[\frac{1}{2} \sin^2 \omega t - \frac{\sqrt{3}}{2} \omega t - \frac{\sqrt{3}}{4} \sin 2\omega t \right]_{\frac{3\pi}{2} + \alpha + \delta}^{\frac{11\pi}{6} + \delta_0} =$$

$$= \frac{1}{4\pi\sqrt{3}} \left[\sqrt{3} \left(-\frac{\pi}{3} + \alpha + \delta - \delta_0 \right) - 2 \sin \left(\frac{\pi}{3} + \delta_0 - \alpha - \delta \right) \right.$$

$$\left. \sin(\alpha + \delta + \delta_0) \right] \quad (A2.72)$$

$$B_{1R11111} = \frac{1}{2\pi\sqrt{3}} \int_{\frac{\pi}{6} + \alpha + \delta}^{\frac{\pi}{2} + \delta_0} \sin \omega t \cos \omega t dt = \frac{1}{4\pi\sqrt{3}} \left[\sin^2 \omega t \right]_{\frac{\pi}{6} + \alpha + \delta}^{\frac{\pi}{2} + \delta_0} =$$

$$= \frac{1}{4\pi\sqrt{3}} \sin \left(\frac{2\pi}{3} + \alpha + \delta + \delta_0 \right) \sin \left(\frac{\pi}{3} - \alpha - \delta + \delta_0 \right) \quad (A2.73)$$

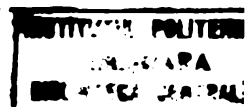
$$B_{1R11112} = \frac{1}{2\pi\sqrt{3}} \int_{\frac{\pi}{2} + \delta_0}^{\frac{7\pi}{6}} (\sin \omega t \cos \omega t - \sqrt{3} \cos^2 \omega t) d(\omega t) =$$

$$= \frac{1}{2\pi\sqrt{3}} \left[\frac{1}{2} \sin^2 \omega t - \frac{\sqrt{3}}{2} \omega t - \frac{\sqrt{3}}{4} \sin 2\omega t \right]_{\frac{\pi}{2} + \delta_0}^{\frac{7\pi}{6}} =$$

$$= \frac{1}{4\pi\sqrt{3}} \left[\sqrt{3} \left(-\frac{\pi}{3} + \delta_0 \right) - 2 \sin \left(\frac{2\pi}{3} - \delta_0 \right) \sin \left(\frac{\pi}{3} + \delta_0 \right) \right] \quad (A2.74)$$

$$B_{1R11113} = \frac{1}{4\pi\sqrt{3}} \int_{\frac{5\pi}{6} + \alpha + \delta}^{\frac{7\pi}{6} + \delta_0} (\sin \omega t \cos \omega t + \sqrt{3} \cos^2 \omega t) d(\omega t) =$$

$$= \frac{1}{4\pi\sqrt{3}} \left[\frac{1}{2} \sin^2 \omega t + \frac{\sqrt{3}}{2} \omega t + \frac{\sqrt{3}}{4} \sin 2\omega t \right]_{\frac{5\pi}{6} + \alpha + \delta}^{\frac{7\pi}{6} + \delta_0} =$$



$$= \frac{1}{2T\sqrt{3}} \left[\sqrt{3} \left(\frac{T}{3} - \alpha - \delta + \delta_0 \right) + 2 \sin \left(\frac{T}{3} + \delta_0 - \alpha - \delta \right) \right. \\ \left. \sin \left(\frac{T}{3} + \alpha + \delta + \delta_0 \right) \right] \quad (\text{A2.75})$$

$$B_{\text{IFIII4}} = \frac{1}{T\sqrt{3}} \int_{\frac{5T}{6} + t_0}^{\frac{11T}{6} + t_0} \sin \omega t \cos \omega t \, d(\omega t) = \frac{1}{2T\sqrt{3}} \left[\sin^2 \omega t \right]_{\frac{5T}{6} + t_0}^{\frac{11T}{6} + t_0} = \\ = - \frac{1}{2T\sqrt{3}} \sin \delta_0 \sin \left(\frac{2T}{3} - \delta_0 \right) \quad (\text{A2.76})$$

$$B_{\text{IFIII5}} = \frac{1}{4T\sqrt{3}} \int_{\frac{3T}{2} + \alpha + t}^{\frac{11T}{6} + t_0} (\sin \omega t \cos \omega t - \sqrt{3} \cos^2 \omega t) \, d(\omega t) = \\ = \frac{1}{4T\sqrt{3}} \left[\frac{1}{2} \sin^2 \omega t - \frac{\sqrt{3}}{2} \omega t - \frac{\sqrt{3}}{4} \sin 2\omega t \right]_{\frac{3T}{2} + \alpha + t}^{\frac{11T}{6} + t_0} = \\ = \frac{1}{8T\sqrt{3}} \left[\sqrt{3} \left(\frac{T}{3} + \delta_0 - \alpha - \delta \right) + 2 \sin \left(\frac{T}{3} + \delta_0 - \alpha - \delta \right) \right. \\ \left. \sin \left(\frac{T}{3} + \alpha + \delta + \delta_0 \right) \right] \quad (\text{A2.77})$$

Înlocuind pe (A2.70)-(A2.77) în (A2.69) se obține:

$$B_{\text{IFIII}} = - \frac{\sqrt{3}}{2T} \left[\frac{1}{2} - \cos \left(\frac{T}{3} + \alpha + \delta + \delta_0 \right) \cos \left(\alpha + \delta - \delta_0 \right) \right] \quad (\text{A2.78})$$

2.4. Cazul IV $\left(\frac{T}{3} + \delta_0 - \delta < \alpha < T - \delta \right)$

Pentru acest caz expresia funcției periodice $u(t)$ pe intervalul de o perioadă este:

$\left[0 ; \frac{T}{6} + \alpha + \delta \right]$	$u(t) = 0$
$\left[\frac{T}{6} + \alpha + \delta ; \frac{7T}{6} \right]$	$u(t) = u_{eR} - u_{eI}$
$\left[\frac{7T}{6} ; \frac{5T}{6} + \alpha + \delta \right]$	$u(t) = 0$
$\left[\frac{5T}{6} + \alpha + \delta ; \frac{11T}{6} \right]$	$u(t) = u_{eR} - u_{eS}$

Similar ca în paragraful 2.1 se rearanjează expresia

funcției $u(t)$ în forma următoare:

$$\begin{array}{ll}
 1) \left[\frac{\pi}{6} + \alpha + \delta; \frac{7\pi}{6} \right] & u(t) = u_{eR} = U \sqrt{2} \sin \omega t \\
 2) \left[\frac{5\pi}{6} + \alpha + \delta; \frac{11\pi}{6} \right] & u(t) = -u_{eS} = \frac{U\sqrt{2}}{2} (\sin \omega t + \sqrt{3} \cos \omega t) \\
 1') \left[\frac{\pi}{6} + \alpha + \delta; \frac{7\pi}{6} \right] & u(t) = -u_{eT} = \frac{U\sqrt{2}}{2} (\sin \omega t - \sqrt{3} \cos \omega t) \\
 2') \left[\frac{5\pi}{6} + \alpha + \delta; \frac{11\pi}{6} \right] & u(t) = u_{eR} = U \sqrt{2} \sin \omega t
 \end{array}$$

Re restul intervalului $[0, 2\pi]$ $u(t) = 0$.

2.4.1. Calculul coeficientului A_{1RIV}

Se calculează cu relația (A2.1).

$$A_{1RIV} = A_{1RIV} + A_{1RIV2} + A_{1RIV1} + A_{1RIV2} \quad (A2.79)$$

$$\begin{aligned}
 A_{1RIV1} &= \frac{1}{\pi\sqrt{3}} \int_{\frac{\pi}{6} + \alpha + \delta}^{\frac{7\pi}{6}} \sin^2 \omega t \, d(\omega t) = \frac{1}{\pi\sqrt{3}} \left[-\frac{1}{4} \sin 2\omega t + \right. \\
 &\quad \left. + \frac{1}{2} \omega t \right]_{\frac{\pi}{6} + \alpha + \delta}^{\frac{7\pi}{6}} = \frac{1}{2\pi\sqrt{3}} \left[\pi - \alpha - \delta + \sin(\alpha + \delta) \cos\left(\frac{\pi}{3} + \alpha + \delta\right) \right] \quad (A2.80)
 \end{aligned}$$

$$\begin{aligned}
 A_{1RIV2} &= \frac{1}{2\pi\sqrt{3}} \int_{\frac{5\pi}{6} + \alpha + \delta}^{\frac{11\pi}{6}} (\sin^2 \omega t + \sqrt{3} \cos \omega t \sin \omega t) \, d(\omega t) = \\
 &= \frac{1}{2\pi\sqrt{3}} \left[-\frac{1}{4} \sin 2\omega t + \frac{1}{2} \omega t + \frac{\sqrt{3}}{2} \sin^2 \omega t \right]_{\frac{5\pi}{6} + \alpha + \delta}^{\frac{11\pi}{6}} = \\
 &= \frac{1}{4\pi\sqrt{3}} \cdot \left[\pi - \alpha - \delta + 2 \sin(\alpha + \delta) \cos(\alpha + \delta) \right] \quad (A2.81)
 \end{aligned}$$

$$\begin{aligned}
 A_{1RIV1}' &= \frac{1}{2\pi\sqrt{3}} \int_{\frac{\pi}{6} + \alpha + \delta}^{\frac{7\pi}{6}} (\sin^2 \omega t - \sqrt{3} \cos \omega t \sin \omega t) \, d(\omega t) = \\
 &= \frac{1}{2\pi\sqrt{3}} \left[-\frac{1}{4} \sin 2\omega t + \frac{1}{2} \omega t - \frac{\sqrt{3}}{2} \sin^2 \omega t \right]_{\frac{\pi}{6} + \alpha + \delta}^{\frac{7\pi}{6}} = \\
 &= \frac{1}{4\pi\sqrt{3}} \left[\pi - \alpha - \delta + 2 \sin(\alpha + \delta) \cos(\alpha + \delta) \right] \quad (A2.82)
 \end{aligned}$$

$$A_{1RIV2}' = \frac{1}{\pi\sqrt{3}} \int_{\frac{5\pi}{6} + \alpha + \delta}^{\frac{11\pi}{6}} \sin^2 \omega t \, d(\omega t) = \frac{1}{\pi\sqrt{3}} \left[-\frac{1}{4} \sin 2\omega t + \right.$$

$$+ \frac{1}{2} \omega t \Big]_{\frac{5\pi}{6} + \alpha + \delta}^{\frac{11\pi}{6}} = \frac{1}{2\sqrt{3}} \left[\pi - \alpha - \delta - \sin(\alpha + \delta) \cos\left(\frac{2\pi}{3} + \alpha + \delta\right) \right] \quad (\text{A2.83})$$

Inlocuind pe (A2.80)-(A2.83) în (A2.79) se obține:

$$A_{1RIV} = \frac{\sqrt{3}}{2} \left[\pi - \alpha - \delta + \frac{1}{2} \sin 2(\alpha + \delta) \right] \quad (\text{A2.84})$$

2.4.2. Calculul coeficientului B_{1RIV}

Se calculează cu relație (A2.16).

$$B_{1RIV} = B_{1RIV1} + B_{1RIV2} + B_{1RIV1'} + B_{1RIV2'} \quad (\text{A2.85})$$

$$\begin{aligned} B_{1RIV1} &= \frac{1}{\sqrt{3}} \int_{\frac{\pi}{6} + \alpha + \delta}^{\frac{7\pi}{6}} \sin \omega t \cos \omega t \, d(\omega t) = \frac{1}{2\sqrt{3}} \left[\sin^2 \omega t \right]_{\frac{\pi}{6} + \alpha + \delta}^{\frac{7\pi}{6}} = \\ &= -\frac{1}{2\sqrt{3}} \sin(\alpha + \delta) \sin\left(\frac{\pi}{3} + \alpha + \delta\right) \quad (\text{A2.86}) \end{aligned}$$

$$B_{1RIV2} = \frac{1}{2\sqrt{3}} \int_{\frac{5\pi}{6} + \alpha + \delta}^{\frac{11\pi}{6}} (\sin \omega t \cos \omega t + \sqrt{3} \cos^2 \omega t) \, d(\omega t) = \frac{1}{2\sqrt{3}}$$

$$\begin{aligned} &\left[\frac{1}{2} \sin^2 \omega t + \frac{\sqrt{3}}{2} \omega t + \frac{\sqrt{3}}{4} \sin 2\omega t \right]_{\frac{5\pi}{6} + \alpha + \delta}^{\frac{11\pi}{6}} = \frac{1}{4\sqrt{3}} \left[\sqrt{3}(\pi - \alpha - \delta) - \right. \\ &\left. - 2 \sin^2(\alpha + \delta) \right] \quad (\text{A2.87}) \end{aligned}$$

$$B_{1RIV1'} = \frac{1}{2\sqrt{3}} \int_{\frac{\pi}{6} + \alpha + \delta}^{\frac{7\pi}{6}} (\sin \omega t \cos \omega t - \sqrt{3} \cos^2 \omega t) \, d(\omega t) =$$

$$= \frac{1}{2\sqrt{3}} \left[\frac{1}{2} \sin^2 \omega t - \frac{\sqrt{3}}{2} \omega t - \frac{\sqrt{3}}{4} \sin 2\omega t \right]_{\frac{\pi}{6} + \alpha + \delta}^{\frac{7\pi}{6}} =$$

$$= \frac{1}{4\sqrt{3}} \left[-\sqrt{3}(\pi - \alpha - \delta) - 2 \sin^2(\alpha + \delta) \right] \quad (\text{A2.88})$$

$$B_{1RIV2'} = \frac{1}{\sqrt{3}} \int_{\frac{5\pi}{6} + \alpha + \delta}^{\frac{11\pi}{6}} \sin \omega t \cos \omega t \, d(\omega t) = \frac{1}{2\sqrt{3}} \left[\sin^2 \omega t \right]_{\frac{5\pi}{6} + \alpha + \delta}^{\frac{11\pi}{6}} =$$

$$= \frac{1}{2\sqrt{3}} \sin(\alpha + \delta) \sin\left(\frac{2\pi}{3} + \alpha + \delta\right) \quad (\text{A2.89})$$

Inlocuind pe (A2.86)-(A2.89) în (A2.85) se obține:

$$B_{1RIV} = -\frac{\sqrt{3}}{2\pi} \sin^2(\alpha + \delta) \quad (\text{A2.90})$$

BIBLIOGRAFIE

1. ANGOI, A., "Complemente de matematici pentru ingineri din electrotehnică și telecomunicații", Editura tehnică, București, 1966.
2. ANTONIU, I.S., "Chestiuni speciale de electrotehnică", Editura Academiei RSR, București, 1956.
3. BOBE, B.K., "Introduction to A.C.drives" in "Adjustable speed A.C.drives", IEEE Press, New York, 1981.
4. BRUCE, F.M., GARDNER, R.J., RANLIVER, M.D., "Reduced-voltage starting of squirrel cage induction motors", IEEE Transactions, vol.IA-20 nr.1, 1984.
5. BIRINGER, P.R., SLOWIK, M.A., "Determination of harmonics of converter current and (or) voltage waveforms (new method for Fourier coefficient calculations); part.I: Fourier coefficients of homogeneous functions", IEEE Transactions, vol.IA-16, nr.2, 1980.
6. BIRINGER, P.P., SLOWIK, M.A., "Determination of harmonics of converter current and/or voltage waveforms (new method for Fourier coefficient calculations); part.II: Fourier coefficients of nonhomogeneous functions", IEEE Transaction vol.IA-16, nr.2, 1980.
7. BASU, R.R., "A variable speed induction motor using thyristors in the secondary circuit", IEEE Transactions, vol.PAS-90, nr.2, 1971.
8. BOGOEVICI, D., BOGOEVICI GH., "Asupra unei scheme de pornire a motoarelor asincrone cu rotor bobinat", Buletinul științific al I.P.Cluj-Napoca, vol.22/1979.
9. BOGOEVICI D., BOGOEVICI, GH. "Calculul caracteristicilor mecanice la pornirea unui motor asincron prin intermediul unui redresor semicomandat în circuitul rotoric", Buletinul științific al I.P.Cluj-Napoca, vol.21/1978.
10. BOGOEVICI GH., "Analiza armonică a tensiunii rotorice a unui motor asincron cu un redresor intercalat în circuitul rotoric" Buletinul științific și tehnic al I.P."Traian Vuia", tom.27(41), 1982.
11. BOGOEVICI GH., BOGOEVICI, D., SCARLEANU, P. "Considerations concerning the behavior of assymmetrically supplied linear motors", Proceedings of N.C.E.D., Cluj-Napoca, 1980.
12. BOGOEVICI GH., "Metodă de pornire a motorului asincron cu inele prin introducerea unui redresor semicomandat în circuitul rotoric", referat doctorat.
13. BROADLEY, F.C., SHEPPARD J.G., SUFFERD W., "Steady-state analysis of series resistance-inductance circuit controlled by assymetrical triggering of thyristors", IEEE Transaction vol.IA-9, nr.4, 1973.
14. BIRD, B.M., BROADWAY A.R.W., COLVILLE A.C.A., "Effects of subharmonics and winding assymetry on the performance of slipping machines", Proceedings IEE, vol.116, nr.1, 1971.
15. BRASOVAN M., "Acționări electromecanice", E.D.P., București, 1967.

16. BRASOVAN M., SERACIN E., BOGOVICI N., KOLEMAN A., TRIFA, V., "Acționări electrice-aplicații industriale", Editura tehnică, București, 1977.
17. COLLINAN P.J., ROGERS W.E. "Controlled starting of A.C. induction motors", IEEE Transactions, vol. IA-19, nr. 6, 1983.
18. CONNORS, D.P., JARIC D.A., DAUGMENT, R.N., "Considerations in applying induction motors with solid-state adjustable frequency controllers", IEEE Transactions, vol. IA-20, nr. 1, 1984.
19. CONNORS, D.P., JARIC D.A., "Application considerations for A.C. drives", IEEE Transactions, vol. IA-19, nr. 3, 1983.
20. CUMMINGS P.G., BOWENS W.D., MARTINY, W.J., "Induction motor efficiency test methods", IEEE Transactions, vol. IA-17, nr. 3 1981.
21. CUAPRADE, R. "Inverters for uninterruptible power supplies IEEE, Transactions, vol. IA-13, nr. 4, 1977.
22. DORDEA, T., "Mașini electrice", E. D. P., București, 1977.
23. DORDEA, T., "Asupra ecuațiilor mașinilor electrice de curent alternativ", Studii și cercetări de energetică și electrotehnică, tom. 16, nr. 1, 1966.
24. DUBEYG, K., "Classification of thyristor commutation methods" IEEE, Transactions, vol. IA-19, nr. 4, 1983.
25. DE BUCA, F.G.G., GISTELANCA, P., DE BACKERD, "A simple but reliable loss model for inverter-supplied induction motor", IEEE, Transactions, vol. IA-20, nr. 1, 1984.
26. DOUVILLE, E.L., "Selection and applications of variable speed motor drive systems", IEEE Transactions, vol. IA-18, nr. 6, 1982.
27. DEWAN S.B., "Optimum input and output filters for a single-phase rectifier power supply", IEEE Transactions, vol. IA-17, nr. 3, 1981.
28. DARACHI, E., TUNSOIU, A., BOBOS, L., TONESCU, N., "Electronica", E. D. P. București, 1979.
29. GRAHAM, A.D., SCHONHOLZER E.T., "Line harmonics of converters with D.C.-motor loads", IEEE Transactions, vol. IA-19, nr. 1, 1983.
30. GIBBONS, W.P., "Current and voltage waveform distortion analysis on three-phase "wye" power systems with rectifier loads", IEEE Transactions, vol. IA-19, nr. 2, 1983.
31. GALLAGHER, J.N., "Line current waveforms and harmonics for a large multiphase thyristor converter system", IEEE Transactions, vol. IA-13, nr. 5, 1977.
32. NIMEI, T., NAKANISHI S., FUNABIKI, S., "Generalized analytical model for a thyristor-controlled variable inductor", IEEE Transactions, vol. IA-19, nr. 4, 1983.
33. NEUMANN K., STUMPEL G., "Thyristoren", B.G. Teubner, Stuttgart, 1969.
34. JOETTEN R., MAEDER G., "Control methods for good dynamic performance induction motor drives based on current and voltage as measured quantities", IEEE Transactions, vol. IA-19

- nr.3,1983.
35. JIDA, S., MIYAKI, S., "One method for selection of circuit parameters of a selfcommutated rectifier", IEEE Transaction, vol. IA-18, nr.3, 1982.
 36. KENLY, W. L., BOSS, B. K., "Triac speed control of three-phase induction motor with phase-locked loop regulation" IEEE Transaction, vol. IA-12, nr.5, 1976.
 37. KRUSE, P. C., LIPO, T. A., "Analysis and simplified representations of a rectifier-inverter induction motor drive", IEEE Transactions, vol. PAS-88, nr.5, 1969.
 38. КОСИЧЕНКО, ПИОНОВСКИ, L., "Machines électriques", tome II, Editions, MIR, Moscou, 1979.
 39. АУММЕР F., "Electrische Antriebsstechnik", Springer Verlag, Berlin, 1971.
 40. АЛЕКСАН, A., "Actionări electrice", ed. II-a, E. D. P. București 1979.
 41. АЛЕКСАН, A., ЛЕОН M., "Mutatoare", E. D. P., București, 1978.
 42. KIMMUND H. P., "Torque pulsation of an induction motor with speed control by a static frequency converter in the slipping circuit", Proceedings of ICEM, Bruxelles, 1978
 43. KLINGS NIKH E. A., JORDAN, M. E., "Poliphase induction motor performance and losses on nonsinusoidal voltage sources" IEEE Transactions, vol. PAS-87 nr.3, 1968.
 44. KASSAI, A., "Tiristor-és triac vezérlés precizen és kényel mesek", Radiotechnika nr.6, 1981.
 45. АОВАС, K. P. "Analiza regimurilor tranzitorii ale mașinilor electrice", Editura tehnică, București, 1980.
 46. LIPO, T. A., "The analysis of induction motors with voltage control by simetrically triggered thyristors", IEEE Transactions, vol. PAS-90, nr.2, 1971.
 47. LAZAR, M. T., SHEORAD, E., "Three-phase circuits with voltage control by integral-cycle single-phase mode triggering of thyristors", IEEE Transactions, vol. IA-18, nr.5, 1982.
 48. LE NUU N., JACOBOWITZ A., FERRET, R., "A self-controlled synchronous motor drive usign terminal voltage system", IEEE Transactions, vol. IA-18, nr.1, 1982.
 49. MATHWATE E. R., АУЗНЕАСОВ, S. B. "Natural commutation of current-source thyristor inverter by cage-rotor induction machines", IEEE Transactions, vol. IA-17, nr.3, 1981.
 50. LEVI E., "Design considerations for motors used inadjustable-speed drives", IEEE Transactions, vol. IA-20, nr.4, 1984.
 51. LINDSAY, J. K., "Measurement problems in determining the efficiency of thyristor supplied motor drives", IEEE Transactions, vol. IA-15, nr.1, 1979.
 52. LEWIS H. W., WOODBURY F. A., "Large motors on limited capacity transmission lines", IEEE Transactions, vol. IA-14, nr.3 1978.
 53. LILLEN, H., "Thyristors et triacs", Editions Dunod, Paris, 1971.

54. LAVIA, POLJE R.J., "Induction motor speed control with static inverter the rotor", IEEE Transactions, vol. PAS-85, nr. 1, 1966.
55. Mc MURRAY W., "A comparative study of simmetrical three-phase circuits for phase-controlled A.C.-motor drives", IEEE Transactions, vol. IA-10, nr. 3, 1974.
56. MOCANU C.I., "Teoria circuitelor electrice", E.D.P. Bucuresti, 1979.
57. MUNGHENASI, J., "Design and application of a solid state AC, motor starter", in "Adjustable speed AC drives", IEEE Press, New York, 1981.
58. MORIN B.N., WENDESTRÖM, C.N., "Effect of modifications on the efficiency of A.C. induction motors", IEEE Transactions vol. IA-19, nr. 6, 1983.
59. MURPHY J.M.D., EGAN M.G., "A comparison of PWM strategies for inverter-fed induction motors", IEEE Transactions, Vol. IA-19, nr. 3, 1983.
60. MENZIES, R.W., BRECK BUNLER M., NAUMAN N., "Optimal control of commutation pulses", IEEE Transactions, vol. IA-19, nr. 1, 1983.
61. MIYARI, S., ASAGI N., FUKAO, T., FUJIMURA., "Equivalence in harmonics between cycloconverters and bridge converters", IEEE Transactions, vol. IA-15, nr. 1, 1979.
62. MOISESCU G., "Tiristoare în practică", Mutatoare cu comutație de la rețea", Editura tehnică, Bucuresti, 1970.
63. MEYER, M., "Tiristoarele în practică". Mutatoare cu comutație forțată.", Editura tehnică, Bucuresti, 1970.
64. NOVAC, I. și colectiv "Mașini și acționări electrice", E.D.P. Bucuresti, 1982.
65. NICHOLS W.N., BRIED F., VALENTINE R.D., HANSEN J.E., "Advances in capacitor starting", IEEE Transactions, vol. IA-20, nr. 1, 1984.
66. NOWOJANY D.W., FAH A.F., "The analysis of induction machines controlled by series connected semiconductor switches", IEEE Transactions, vol. PAS-87, nr. 2, 1966.
67. OLIVIER G., SILIANOVIC V.R., "Evaluation of phase-commutated converter for slip-power control in induction drives", IEEE Transactions, vol. IA-19, nr. 1, 1983.
68. OMBARI, T., OKITSU, T., "Bias voltage controlled three-phase converter with high power factor", IEEE Transactions, Vol. IA-16, nr. 5, 1980.
69. PAHEL, N.S., AGHA R.G., "Generalized techniques of harmonic elimination and voltage control in thyristor inverters; part. I-harmonic elimination", IEEE Transactions, vol. IA-9, nr. 3, 1973.
70. PAHEL, N.S., AGHA R.G., "Generalized techniques of harmonics elimination and voltage control in thyristor inverters; part. II-voltage control techniques", IEEE Transactions, vol. IA-10 nr. 5, 1974.
71. PAHEL, N.K., MUDAY, G.K., "Modified sequence-control technique for improving the performance of regenerative bridge conver-

- ters", IEEE Transactions, vol. IA-19, nr. 5, 1983.
72. PUSCASU, S., MARCOVICI I., "Mărimi și regimuri electrice nesinusoidale", Editura "Scrisul românesc", Craiova, 1974.
 73. FAIGLE D.A., "Induction motor speed control by stator voltage control", IEEE Transactions, vol. PAS-87, nr. 2, 1968.
 74. ROBERTSON S.D.T., HEBBAN K.M., "Torque pulsation in induction motors with inverter drives", IEEE Transactions, vol. IGA-7, nr. 2, 1971.
 75. ROWAN T.M., LIPCI A., "A quantitative analysis of induction motor performance improvement by SCR voltage control IEEE Transactions, vol. IA-19, nr. 4, 1983.
 76. ROEMERKORTY E., ANASCHALAN, M., "Dynamic performance of a closed-loop induction motor speed control with phase-controlled SCR's in the rotor", IEEE Transactions, vol. IA-15, nr. 5, 1979.
 77. RAMSDAN R.S., "Power electronics", Chapman and Hall Press, London, 1973.
 78. RICHTER, R., "Mașini electrice", vol. IV, Editura tehnică, București, 1960.
 79. SOARA I., VAZDAULIANU V., COLTA V., POPOVICI D., "Utilizările ele energiei electrice", Editura Facla, Timișoara, 1983.
 80. SOARA I., "Eine neue Methode zur Bestimmung der Streureaktanzen des Drehstromsehlfinginduktionmotors", ETZ-A, vol. 93, nr. H. 23, 1969.
 81. SAVESCU M., "Metode în analiza circuitelor electronice", Ed științifică și enciclopedică, București, 1985.
 82. STOUT J.N., "Capacitor starting of large motors", IEEE Transactions vol. IA-14, nr. 3, 1978.
 83. SCOTT A.L., VALENTIN R.D., "Large grinding mill drives update", IEEE Transactions, vol. IA-18, nr. 6, 1982.
 83. SCHOLE, D., "Induction motors for variable frequency power supplies", IEEE Transactions vol. IA-1b, nr. 4, 1982.
 85. STRATFORD R.P., "Rectifier harmonics in power systems", IEEE Transactions, vol. IA-16, nr. 2, 1980.
 86. STRATFORD R.P., "Harmonic pollution on power systems—a change implilosophy", IEEE Transactions, vol. IA-16, nr. 5, 1980.
 87. STRATFORD R.P., "Analisis and control of harmonics current in systems with static power converters", IEEE Transactions vol. IA-17, nr. 1, 1981.
 88. STORIN M., LEVITIN Y., ZANDEMAN, D., "Stability of controlled rectifiers, phenomena and experiment", IEEE Transactions, vol IA-20, nr. 4, 1984.
 89. SMITH Jr. R.L., STRATFORD R.P., "Power system harmonics effects from adjustable-speed drives", IEEE Transactions, vol. IA-20, nr. 4, 1984.
 90. SHIFF D.D., "Harmonic analysis and suppression for electrical systems supplying static power converters and other nonlinear loads", IEEE Transactions, vol. IA-15, nr. 5, 1979.

91. STEFANOVIC, V.R., "Power factor improvement with a nonlinear phase-controlled converter", IEEE Transactions, vol. IA-16, nr.2, 1979.
92. SKOFFERD W., SLEMANG R., "Rotor impedance control of the wound-rotor induction motor", AIEE Transactions, vol. PAS-78, nr.10, 1959.
93. ŠKARAVIČIĆ M., HOJANOVSKI D., "Nacortne osobnosti roboti asinhronoga elektrodvigatelja s vipriamitelnim mostom v tepi rotora", Electricestvo, nr.3, 1969.
94. SAAL, C., SZABO W., "Sisteme de acționare electrică. Determinarea parametrilor de funcționare", Editura tehnică, București, 1971.
95. SERACIN E., POPOVICI D., "Tehnica acționărilor electrice", Editura tehnică, București, 1986.
96. TUNOȘIU GH., SERACIN E., SAAL C., "Acționări electrice", Editura tehnică, București, 1982.
97. TIMMEL H., KASUBA N., "Bemerkungen zur Zweipunktgeschwindigkeitregelung von Linearmotoren", Elektrische, nr.28, 1974.
98. VENKATESAN, K., MURPHY J.F., "Comparative study of the losses in voltage and current source inverter fed induction motors", IEEE Transactions, vol. IA-18, nr.3, 1982.
99. WILLIAMS JR. A.I., GRIFFIN M.S. "Evaluating the effects of motor starting on industrial and commercial power systems" IEEE Transactions, vol. IA-14, nr.4, 1978.
100. YU L.Y.M., "Constant starting torque control of wound rotor induction motor", IEEE Transactions, vol. PAS-89, nr.4-1970.
101. ZIOMAS P.D., "Synthesis of optimum gain functions for static power converters", IEEE Transactions, vol. IA-19, nr.3, 1983.
102. ZABAR, Z., BRUNNER G., "Bypass operation by cyclic firing of the bridge thyristors" in Proceedings IEE, vol.126, nr.9, 1979.
103. x x x Contract de cercetare științifică 113/80, COSIIMANU.
104. x x x "Regulirisele asinhronie dvigateli", Naukovaia dumka, Kiev, 1978.

C U P R I N S

	Pag.:
INTRODUCERE.	1
Cap.1. PORNIREA MOTOARELOR ASINCRONE, METODE DE PORNIRE, TENDINTE MODERNE.	5
1.1. Pornirea mașinilor electrice în regim de motor ca proces electric și energetic	5
1.2. Pornirea mașinii de inducție în regim de motor. Elemente de principiu.	6
1.3. Metode de pornire a motoarelor asincrone cu procedee clasice.	11
1.3.1. Pornirea prin reducerea tensiunii de alimentare.	11
1.3.2. Pornirea prin modificarea impedanței echivalente a circuitului statoric	13
1.3.3. Pornirea prin modificări în circuitul rotoric	16
1.3.4. Metode de pornire care folosesc dispozi- tive auxiliare.	20
1.4. Tendințe moderne în tehnica de pornire a mașinii de inducție.	21
1.4.1. Probleme generale	21
1.4.2. Pornirea prin reducerea tensiunii de alimentare.	24
1.4.3. Pornirea prin modificarea impedanței echivalente a circuitului statoric.	26
1.4.4. Pornirea prin modificări în circuitul rotoric	27
1.5. Concluzii	30
Cap.2. ANALIZA ARMONICĂ A TENSIUNII ROTORICE	33
2.1. Metode de analiză a regimurilor nesinusoi- dale în electrotehnică. Alegerea metodei adecvate pentru analiza propusă	33
2.2. Determinarea formei de undă a tensiunii rotorice în cazul considerării comutației ideale. Condiții inițiale	37
2.3. Expresiile coeficienților seriei Fourier a funcției $u(t)$ în cazul (I).	46

2.4.	Expresiile coeficienților seriei Fourier a funcției $u(t)$ în cazul (II)	47
2.5.	Expresiile coeficienților seriei Fourier a funcției $u(t)$ în cazul (III)	47
2.6.	Exemplu de calcul	48
2.7.	Concluzii	49
Cap.3.	DETERMINAREA EXPRESIILOR ARMONICII FUNDAMENTALE A TENSIUNII ROTORICE ÎN CONDIȚIILE CONSIDERĂRII COMUTAȚIEI REALE.	53
3.1.	Probleme generale.	53
3.2.	Procesul comutației reale în dispozitive cu semiconductoare	53
3.3.	Stabilirea formei și a intervalelor de variație a tensiunii u_R , la un redresor trifazat semicomandat în cazul considerării comutației reale.	56
3.4.	Calculul valorilor coeficienților A_{1R} și B_{1R} ai termenilor în sinus și respectiv în cosinus ai armonicii fundamentale a funcției $u(t)$	79
3.5.	Concluzii.	80
Cap. 4.	CALCULUL DE DETERMINARE A PARAMETRILOR ECHIVALENȚI ȘI ÎNFĂȘURĂRII ROTORICE ȘI A MĂRIMILOR DE PORNIRE PENTRU UN MOTOR ASINCRON CU MOTOR BOBINAT CU UN REDRESOR TRIFAZAT ÎN PUNTE SEMI-COMANDATA, CONECTAT LA AMBELE ÎNFĂȘURĂRI ROTORICE.	86
4.1.	Probleme generale	86
4.2.	Determinarea parametrilor schemei echivalente și a mărimilor de pornire	87
4.3.	Procedeu de calcul pentru determinarea mărimilor R_e, X_e, K_{Ip} și K_{Mp} . Exemplu de calcul.	93
4.4.	Observații, concluzii	95
Cap. 5.	REZULTATE EXPERIMENTALE	100
5.1.	Probleme generale	100
5.2.	Motorul de acționare.	100
5.3.	Redresorul trifazat semicomandat în punte	101
5.4.	Încercări pe stand	103
5.5.	Observații, concluzii.	111

Cap. 6. CONCLUZII FINALE, PERSPECTIVE.	113
ANEXA 1	116
ANEXA 2	135
BIBLIOGRAFIE.	159